



جمهورية العراق
وزارة التعليم العالي والبحث العلمي
جامعة كربلاه
كلية التربية للعلوم الصرفة
قسم علوم الحياة

دراسة فسلجية وكيموحيوية ونسجية
لمرض ابيضاض الدم المقاوم للحاد غير الوراثي
في محافظة كربلاه المقدسة

أطروحة

مقدمة الى مجلس كلية التربية للعلوم الصرفة /جامعة كربلاه، قسم علوم الحياة وهي جزء من
متطلبات نيل درجة الدكتوراه فلسفة في علوم الحياة / فسلجية

من قبل الطالب

همام علي هادي

بكالوريوس وماجستير كلية التربية للعلوم الصرفة - جامعة كربلاه

باشراف

أ.د. ستار جاسم حتروش أ.م.د. رشا حسن جاسم

تموز 2018

شوال 1439



الَّذِي خَلَقَنِي فَهُوَ يَهْدِنِي (78) وَالَّذِي هُوَ يُطْعِمُنِي وَيَسْقِنِي (79) وَإِذَا مَرَضْتُ
فَهُوَ يَشْفِنِي (80) وَالَّذِي يُمِيتُنِي ثُمَّ يُحْيِنِي (81)

صدق الله العلي العظيم

سورة الشعراة الآية 78-81

إلى

فيض الرحمة و مدينة العلم و نور الهدى و سفينة النجاة رسول الهدى

محمد بن عبد الله وآل بيته الطيبين الطاهرين (صلوات الله عليهم أجمعين)

من خط طريق حياتي وأحاطني بدفع قلبه والدي أمتنا و عرفاناً

من آزرتني في حياتها وزرعت الأمل و مدتني بسر الحياة معلمي الأمية والدتي الحنونة

من أجد فيهم النجوى النفسي والصدى الروحي أخوتي وأخواتي .. زوجتي وأولادي

من سقوني العلم من بحر علمهم الزاخر أستاذى المشرفين

من ترسم صورهُم في مخيلتي دائمًا أصدقائي وأحبابي

أهدى لهم ثمرة جهدي المتواضع

هام

الحمد والشكر والثناء لله رب العالمين والصلة والسلام على أشرف خلق الله أجمعين سيدنا
وحبينا محمد عليه أفضل الصلاة وأتم التسليم وعلى أهل بيته ومن تبعهم بحسان الى يوم
الدين

أتقدم بمزيد من الشكر والعرفان لأناس يقدرون معنى النجاح والإبداع الى من كان لها قدم السبق
في ركب العلم والتعليم أستاذتي المشرفين الأفاضل (أ.د. ستار جاسم حتروش و أ.م.د. رشا
حسن جاسم) فهم أهل للشكر والتقدير لمنحي الكثير من معرفتهم و لجهودهم المضنية طيلة مدة
الدراسة وفي تعليمي أسلوب البحث العلمي القويم، كما تتسابق الكلمات وتتزاحم العبارات لتنظم عقد
الشكر والاستنان الى من بذل ولم يتطرق العطاء الدكتور (أسامة احمد هادي) أخصائي أمراض الدم
فأليه أهدي عبارات الشكر والتقدير اذ لم يأل جهدا في ارشادي وتوجيهي ثناء عملي في البحث.

من أي أبواب الثناء سندخل وبأي أبيات القصيدة اعبر وفي كل لمسة من وجودكم وأنكم
للمكرمات أسطر كنتم كسحابة معطاءة سقت الأرض فاخضرت الى (أ.م.د. جبار عبادي محمد و
م.م. إحسان علي لفترة و م.م. نور صباح مطلب) في كلية التربية للبنات / جامعة الكوفة لجهودهم
المضني معي ومساعدتي طيلة فترة البحث . ولا يفوتي أن اشكر الأخوان منتسبي مختبر الأورام
السرطانية و أمراض الدم وكذلك اشكر كافة منتسبي مختبر مستشفى عفك العام في محافظة القادسية
على مد يد العون والمساعدة والوقوف الى جاني .

كما أتقدم بوافر شكري وامتناني الى السيد العميد المحترم ورئيس قسم علوم الحياة وكل كادر
ومنتسبي قسم علوم الحياة وعمادة كلية التربية للعلوم الصرفة والى كل من ساهم في النجاح وتقديم هذا
العمل مع مزيدا من التقدير والاحترام ولو أنني أويت كل بلاغة وأفنيت بحر النطق في التنظيم والنشر لما
كنت بعد القول إلا مقصراً، ومعترفاً بالعجز عن واجب الشكر ، وأتقدّم بوافر الامتنان الى الدكتور علي
رحيم الاسدي في مختبر التقاطع النسجي وكل منتسبيه في مستشفى الحسين التعليمي في محافظة كربلاء.
تلوح في سمائها دوماً نجوم برّاقة، لا يخفى بريقها عنا لحظة واحدة، ترقب إضاءتها بقلوب ولهانة، ونسعد
بمعانها في سمائها كل ساعة، فاستحقت وبكل فخر أن يرفع اسمها في عالياتها زملائي في الدراسة (يعرب
مضر، علاء حسين، فيصل عبد السجاد واحمد سرحان وزيتب نزار) وكل زملائي واصدقائي وكل
من قصد الله بدعاء لي وكل من مد يد المساعدة لي جزاه الله عني خيرا.

المحتويات

رقم الصفحة	العناوين	الترتيب
	الأية القرآنية	
	الإهداء	
	الشكر والتقدير	
I		المحتويات
VI		قائمة المختصرات
VII		قائمة الأشكال
IX		قائمة الجداول
		الخلاصة
	الفصل الأول – المقدمة والتحري في الأدبيات	
1		المقدمة
3	الخلايا اللمفية	1-1
4	تطور الخلايا اللمفية	2-1
5	سرطان الدم	3-1
5	وبائية سرطان الدم	4-1
6	أسباب الإصابة بسرطان الدم	5-1
9	العلامات والأعراض	6-1
10	تشخيص سرطان الدم	7-1
12	فرضيات الإصابة بابيضاض الدم اللمفي الحاد	8-1
14	علاج سرطان الدم	9-1
16	التاثيرات الجانبية للعلاجات الكيميائية	10-1
17	ما آل المرض	11-1
19	الأكسدة الخلوية الطبيعية والإجهاد التأكسدي	12-1
22	الإجهاد التأكسدي و السرطان	13-1
24	اللكتينات	14-1
24	التعريف	1-14-1
24	نظرة تاريخية على اللكتينات	2-14-1
26	استخدامات اللكتينات	3-14-1
27	هرمون الاريثروبوبوتين	15-1

المحويات

28	هرمون الببتيد الأذيني المدر للصوديوم	16-1
29	العناصر النزرة	17-1
35		أهداف الدراسة

الفصل الثاني - عينات الدراسة وطرق العمل

36	مرضى الدراسة ومجموعة السيطرة	1-2
38	المواد والعدد الكيميائية	2-2
40	الأجهزة والأدوات المستخدمة	3-2
41	الحصول على عينات الدراسة	4-2
41	جمع عينات الدم والمصل	1-4-2
41	سحب نخاع ورشفة نقى العظم	2-4-2
42	تحضير مسحات نقى العظم	1-2-4-2
42	تحضير المقاطع النسجية للعظم	2-2-4-2
42	التصبيغ والتحميل	3-2-4-2
43	تحضير شرائح بصبغة سودان نوع B	4-2-4-2
43	التصوير المجهرى	5-2-4-2
43	جمع عينات الإدرار	4-4-2
44	تقييم مستوى اللكتين C-Type Lectin Domain Family 4 Member E (CLEC4E) البشري في أمصال مجاميع الدراسة	5-2
45	تقدير تركيز المالون ثانى الالديهيد في أمصال عينات الدراسة	6-2
47	تقدير تركيز وفعالية إنزيم السريوبلازمين المؤكسد Ceruloplasmin Oxidase في أمصال عينات الدراسة	7-2
49	قياس مستويات هرمون الايريثروبایوتین في أمصال مجاميع الدراسة	8-2
51	فحوصات الدم	9-2
51	التعداد الكلى لخلايا الدم البيض لدى عينات الدراسة	1-9-2
52	حساب العدد الكلى للصفائح الدموية لدى عينات الدراسة	2-9-2
53	تقدير تركيز بروتين الهيموغلوبين في عينات الدراسة	3-9-2
54	قياس مستويات الحديد الكلية في أمصال عينات الدراسة	4-9-2
56	تقدير سعة ارتباط الحديد الكلية في أمصال عينات الدراسة	5-9-2
57	قياس مستويات الفيريتين في أمصال مجاميع الدراسة	6-9-2
58	تقييم مستويات بعض العناصر النزرة في أمصال عينات الدراسة الحالية	10-2

المحويات

58	تقييم وظائف الكلية لعينات مجاميع الدراسة		11-2
58	قياس مستويات هرمون البيتيد الأذيني المدر للصوديوم في أمصال مرضى ابيضاض الدم الممفي الحاد و أفراد مجموعة السيطرة		1-11-2
59	تقدير مستوى اليوريا في أمصال مجموعات الدراسة		2-11-2
61	تقدير مستوى الكرياتينين في أمصال مجموعات الدراسة		3-11-2
62	تقدير تركيز حامض اليورك في أمصال مجموعات الدراسة		4-11-2
63	قياس مستويات الألبومين الدقيق في عينات الإدرار لمجموعة الدراسة		5-11-2
65	تقييم وظائف الكبد لمرضى الدراسة ومجموعة السيطرة		12-2
65	Aspartate Alanine Transaminase (ALT) و إنزيم Transaminase (AST)	تقدير فعالية الإنزيمات الناقلة لمجموعة الأمين في أمصال عينات الدراسة	1-12-2
67	تقدير فعالية إنزيم الفوسفاتيز القاعدي (ALP) في أمصال عينات الدراسة		2-12-2
69	تقدير تركيز البروتينات الكلية في أمصال عينات الدراسة		3-12-2
70	التحليل الإحصائي		13-2

الفصل الثالث – النتائج والمناقشة

71	أفراد مجاميع الدراسة		1-3
73	تقييم مستويات اللكتين CLEC4E في أمصال المرضى المصابين ب أبيضاض الدم الممفي الحاد و أفراد مجموعة السيطرة		2-3
77	تقييم مستويات الإجهاد التأكسدي في أمصال مجموعتي الدراسة		3-3
77	تقييم مستويات Malondialdehyde في أمصال المرضى المصابين ب أبيضاض الدم الممفي الحاد و أفراد مجموعة السيطرة		1-3-3
80	تقييم مستويات الفعالية الإنزيمية و تركيز Ceruloplasmin Oxidase في أمصال المرضى المصابين ب أبيضاض الدم الممفي الحاد و أفراد مجموعة السيطرة		2-3-3
85	تقييم مستويات هرمون الاريثروبويوتين في أمصال مجموعتي الدراسة		4-3
88	ارتباطية معايير الدراسة وحساسيتها في التنبؤ بالمرض وتشخيص الإصابة وتعقب الاستجابة للعلاج الكيميائي		5-3
92	تقييم بعض معايير الدم في عينات مجموعتي الدراسة		6-3
92	العدد الكلي لكريات الدم البيض في عينات مرضى أبيضاض الدم الممفي الحاد و		1-6-3

المحويات

		أفراد مجموعة السيطرة
95	تقييم تعداد الصفيحات الدموية في عينات مرضى ابيضاض الدم اللمفى الحاد و أفراد مجموعة السيطرة	2-6-3
97	تقييم مستويات الهيموغلوبين في عينات مرضى ابيضاض الدم اللمفى الحاد و أفراد مجموعة السيطرة	3-6-3
100	مستويات الحديد و قابلية ارتباط الحديد الكلية في عينات مرضى ابيضاض الدم اللمفى الحاد و مجموعة السيطرة	4-6-3
105	مستويات الفريتين في عينات مرضى ابيضاض الدم اللمفى الحاد و أفراد مجموعة السيطرة	5-6-3
108	تقييم مستويات بعض العناصر النزرة في أمصال مجموعتي الدراسة	7-3
108	تقييم مستويات بعض العناصر النزرة في أمصال أفراد مجموعة السيطرة و مرضى ابيضاض الدم اللمفى الحاد عند تشخيص الإصابة	1-7-3
111	تقييم العلاقة الارتباطية بين العناصر النزرة في مجموعتي الدراسة	2-7-3
112	تقييم مستويات العناصر النزرة في أمصال أفراد مجموعة السيطرة و مرضى ابيضاض الدم اللمفى الحاد بعد العلاج	3-7-3
116	العلاقة الارتباطية بين العناصر النزرة المقيمة في مجموعة المصابين بابيضاض الدم اللمفى الحاد بعد تلقيهم العلاج	4-7-3
119	دراسة اثر الإصابة بابيضاض الدم اللمفى الحاد و تقييم تأثير العلاج الكيميائي في وظائف الكلية	8-3
119	تقييم وظائف الكلية لمجموعة الأفراد الأصحاء و مرضى ابيضاض الدم اللمفى الحاد قبل تلقي العلاج الكيميائي	1-8-3
123	دراسة العلاقة الارتباطية لمعايير تقييم وظائف الكلية في مجموعتي الدراسة	2-8-3
124	تقييم وظائف الكلية لمجموعة الأفراد الأصحاء و مرضى ابيضاض الدم اللمفى الحاد بعد تلقي العلاج الكيميائي	3-8-3
134	دراسة العلاقة الارتباطية بين معايير تقييم وظائف الكلية لدى مجموعة المصابين بابيضاض الدم اللمفى الحاد بعد تلقي العلاج الكيميائي	4-8-3
136	دراسة اثر الإصابة بابيضاض الدم اللمفى الحاد و تقييم تأثير العلاج الكيميائي في وظائف الكبد	9-3
136	تقييم وظائف الكبد لمجموعة الأفراد الأصحاء و مرضى ابيضاض الدم اللمفى الحاد قبل تلقي العلاج الكيميائي	1-9-3
139	دراسة العلاقة الارتباطية بين معايير تقييم وظائف الكبد في مجموعتي الدراسة	2-9-3

المحويات

140	تقييم وظائف الكبد لمجموعة الأفراد الأصحاء و مرضى ابيضاض الدم اللمفي الحاد بعد تلقي العلاج الكيميائي	3-9-3
146	دراسة العلاقة الارتباطية بين معايير تقييم وظائف الكبد في المجموعة المصابة بعد تلقي العلاج الكيميائي	4-9-3
147	الدراسة النسجية لأثر الإصابة ب أبيضاض الدم اللمفي الحاد و تقييم تأثير العلاج الكيميائي في الدم المحيطي ونخاع العظم	10-3
151	الاستنتاجات	
152	النوصيات والدراسات المستقبلية	
153	المصادر	
الخلاصة باللغة الانكليزية		



قائمة المختصرات

Abbreviation	Meaning
ACS	American Cancer Society
ALL	Acute Lymphoblastic Leukemia
AML	Acute Myeloid Leukemia
Analysis of Variance	ANOVA
ANP	Atrial Natriuretic Peptide
CD	Cluster Of Differentiation
CLEC4E	C-Type Lectin Domain Family 4 Member E
CLP	Common Lymphoid Progenitor
CMP	Common Myeloid Progenitor
DLC	Differential Leukocyte Count
DNA	Deoxy Ribonucleic Acid
EOP	Erythropoietin
FAB	French-American-British Classification System
GOT	Glutamate Pyruvate Transaminase
GPT	Glutamate Oxaloacetate Transaminase
Hb	Hemoglobin
HLA	Human Leukocyte Antigen
HSC	Hemopoietic Stem Cell
IHC	Immune Histo Chemistry
MAD	Malondialdehyde
PLT	Platelet
RBCs	Red Blood Cell Count
ROS	Reactive Oxygen Species
SBB	Sudan Black B
TIBC	Total Iron Binding Capacity
WBC	White Blood Cell
WHO	World Health Organization

قائمة الأشكال

رقم الصفحة	العنوان	رقم الشكل
3	موقع إنتاج الخلايا المكونة لنسج الدم	1-1
19	التركيب لبعض أنواع الجذور الحرة الاوكسجينية والتركيب الكيميائي للشكل الفراغي للهياكل الوسطية للمركب Malondialdehyde	2-1
28	أهم الوظائف الحيوية التي يشارك هرمون EPO بادانها داخل جسم الإنسان	3-1
37	التوزيع التفصيلي لمرضى الدراسة ومجموعة السيطرة	1-2
75	مستويات اللكتين CLEC4E المصللي في عينات المرضى بابيضاض الدم اللمفي الحاد عند التشخيص وبعد تلقي العلاج الكيميائي	1-3
79	مستويات MDA المصللي في عينات المرضى بابيضاض الدم اللمفي الحاد عند التشخيص وبعد تلقي العلاج الكيميائي	2-3
84	تركيز إنزيم Ceruloplasmin Oxidase (g / L) في أمصال عينات المرضى بابيضاض الدم اللمفي الحاد عند التشخيص وبعد تلقي العلاج الكيميائي	3-3
85	مستويات فعالية إنزيم Ceruloplasmin Oxidase (U / L) في أمصال عينات المرضى بابيضاض الدم اللمفي الحاد عند التشخيص وبعد تلقي العلاج الكيميائي	4-3
87	مستويات هرمون EOP لدى مرضى ابيضاض الدم اللمفي الحاد عند التشخيص وبعد تلقي العلاج الكيميائي	5-3
94	تعداد كريات الدم البيض لمرضى ابيضاض الدم اللمفي الحاد عند التشخيص وبعد تلقي العلاج الكيميائي	6-3
96	معدلات الصفيحات الدموية لمرضى ابيضاض الدم اللمفي الحاد عند التشخيص وبعد تلقي العلاج الكيميائي	7-3
99	مستويات الهايموغلوبين لمرضى ابيضاض الدم اللمفي الحاد عند التشخيص وبعد تلقي العلاج الكيميائي	8-3
102	مستويات الحديد في الدم لمرضى ابيضاض الدم اللمفي الحاد عند التشخيص وبعد تلقي العلاج الكيميائي	9-3
104	مستويات قابلية ارتباط الحديد الكلية في الدم لمرضى ابيضاض الدم اللمفي الحاد عند التشخيص وبعد تلقي العلاج الكيميائي	10-3
107	مستويات الفريتين في الدم لمرضى ابيضاض الدم اللمفي الحاد عند التشخيص وبعد تلقي العلاج الكيميائي	11-3
113	مستويات العناصر النزرة (Fe, Cu, Zn, and Ni) المقيمة في أمصال المجموعة المصابة بابيضاض الدم اللمفي الحاد عند التشخيص وبعد تلقي العلاج	12-3
128	مستويات هرمون ANP في أمصال مرضى ابيضاض الدم اللمفي الحاد عند تشخيص إصابتهم بالمرض وبعد تلقيهم العلاج الكيميائي	13-3

قائمة الأشكال

129	الأعضاء الحيوية التي يتداخل هرمون ANP في تنظيم وظائفها بشكل مباشر أو غير مباشر	14-3
130	مستويات Urea في أمصال مرضى ابيضاض الدم اللمفوي الحاد عند تشخيص إصابتهم بالمرض وبعد تقييم العلاج الكيميائي	15-3
130	مستويات Creatinin في أمصال مرضى ابيضاض الدم اللمفوي الحاد عند تشخيص إصابتهم بالمرض وبعد تقييم العلاج الكيميائي	16-3
133	مستويات Uric Acid في أمصال مرضى ابيضاض الدم اللمفوي الحاد عند تشخيص إصابتهم بالمرض وبعد تقييم العلاج الكيميائي	17-3
134	مستويات Microalbumin في عينات الإدرار لمرضى ابيضاض الدم اللمفوي الحاد عند تشخيص إصابتهم بالمرض وبعد تقييم العلاج الكيميائي	18-3
140	مستويات GOT في عينات أمصال مرضى ابيضاض الدم اللمفوي الحاد عند تشخيص إصابتهم بالمرض وبعد تقييم العلاج الكيميائي	19-3
141	مستويات GPT في عينات أمصال مرضى ابيضاض الدم اللمفوي الحاد عند تشخيص إصابتهم بالمرض وبعد تقييم العلاج الكيميائي	20-3
141	مستويات ALP في عينات أمصال مرضى ابيضاض الدم اللمفوي الحاد عند تشخيص إصابتهم بالمرض وبعد تقييم العلاج الكيميائي	21-3
142	مستويات STP في عينات أمصال مرضى ابيضاض الدم اللمفوي الحاد عند تشخيص إصابتهم بالمرض وبعد تقييم العلاج الكيميائي	22-3
148	قطع نسجي لخزة نخاع العظم لمريض بابيضاض الدم اللمفوي الحاد قبل العلاج الكيميائي تحت القوة X400	23-3
148	قطع نسجي لخزة نخاع العظم لمريض بابيضاض الدم اللمفوي الحاد بعد العلاج الكيميائي تحت القوة X400	24-3
149	مسحة لنخاع العظم لمريض مصاب بابيضاض الدم اللمفوي الحاد قبل العلاج الكيميائي تحت القوة X400	25-3
149	مسحة لنخاع العظم لمريض مصاب بابيضاض الدم اللمفوي الحاد بعد العلاج الكيميائي تحت القوة X400	26-3
150	مسحة الدم لمريض مصاب بابيضاض الدم اللمفوي الحاد قبل العلاج الكيميائي تحت القوة X400	27-3
150	مسحة الدم لمريض لمريض مصاب بابيضاض الدم اللمفوي الحاد بعد العلاج الكيميائي تحت القوة X400	28-3

قائمة الجداول

رقم الصفحة	العنوان	رقم الجدول
11	الخصائص الخلوية الشكلية للأصناف الثانوية لمرض ALL	1-1
18	أهم العوامل المحددة لمآل مرض ابيضاض الدم التمفي الحاد	2-1
38	التفاصيل العمرية لأفراد مجتمع الدراسة من الأصحاء والمصابين بابيضاض الدم التمفي الحاد	1-2
39	المواد والعدد الكيميائية	2-2
40	الأجهزة والأدوات المستخدمة	3-2
71	عينات الدراسة حسب العمر لمرضى ابيضاض الدم التمفي الحاد مع الأصحاء	1-3
71	توزيع مجتمع مرضى ابيضاض الدم التمفي الحاد و الأفراد الأصحاء حسب الجنس	2-3
74	مستويات اللكتين (pg/ml) في العينات المصلية لمرضى ابيضاض الدم التمفي الحاد و الأفراد الأصحاء	3-3
74	مستويات اللكتين (pg / ml) CLEC4E في العينات المصلية لذكور و إناث المرضى بابيضاض الدم التمفي الحاد و الأفراد الأصحاء	4-3
77	مستويات MDA (mM) في عينات مرضى ابيضاض الدم التمفي الحاد و الأفراد الأصحاء	5-3
78	مستويات MDA (mM) في العينات المصلية لذكور و إناث المرضى بابيضاض الدم التمفي الحاد و الأفراد الأصحاء	6-3
81	مستويات تركيز إنزيم Ceruloplasmin Oxidase (g / L) في عينات مرضى ابيضاض الدم التمفي الحاد و الأفراد الأصحاء	7-3
81	مستويات فعالية إنزيم Ceruloplasmin Oxidase (U / L) في عينات مرضى ابيضاض الدم التمفي الحاد و الأفراد الأصحاء	8-3
82	مستويات تركيز إنزيم Ceruloplasmin Oxidase (g / L) في العينات المصلية لذكور و إناث المرضى بابيضاض الدم التمفي الحاد و الأفراد الأصحاء	9-3
83	مستويات فعالية إنزيم Ceruloplasmin Oxidase (U / L) في العينات المصلية لذكور و إناث المرضى بابيضاض الدم التمفي الحاد و الأفراد الأصحاء	10-3
85	مستويات هرمون EOP في أمصال الأفراد المصابين بابيضاض الدم التمفي الحاد و الأفراد الأصحاء	11-3
86	مستويات هرمون EOP في أمصال الذكور و الإناث المصابين بابيضاض الدم التمفي الحاد و الأفراد الأصحاء من الجنسين	12-3

قائمة المداول

89	مستوى الارتباطية بين المعايير المقيدة كدوال ورمية لتشخيص الإصابة بابيضاض الدم الممفي الحاد	13-3
90	مستويات الحساسية المحسوبة لكل معيار مقيم ومستويات الحساسية الارتباطية	14-3
91	مستوى الارتباطية بين المعايير المقيدة كمعايير متابعة لاستجابة المرضى المصابين بابيضاض الدم الممفي الحاد للعلاج الكيميائى	15-3
92	تعداد كريات الدم البيض (WBCs/cm^3) لدى الأفراد المصابين بابيضاض الدم الممفي الحاد ومجموعة السيطرة	16-3
93	مستويات كريات الدم البيضاء في عينات الدم لذكور و إناث المرضى بابيضاض الدم الممفي الحاد و أفراد مجموعة السيطرة	17-3
95	تعداد الصفائح الدموية في عينات الأفراد المصابين بابيضاض الدم الممفي الحاد و الأفراد الأصحاء	18-3
96	تعداد الصفائح الدموية في عينات الدم لذكور و إناث المرضى بابippyاض الدم الممفي الحاد والأفراد الأصحاء	19-3
97	مستويات الهيموغلوبين (g/L) في عينات المصابين بابippyاض الدم الممفي الحاد عند تشخيص الإصابة وكذلك في أفراد مجموعة السيطرة	20-3
98	مستويات الهيموغلوبين (L/L) في عينات الذكور و الإناث المرضى بابippyاض الدم الممفي الحاد و الأفراد الأصحاء	21-3
100	مستويات الحديد ($\mu\text{g}/\text{dl}$) في عينات الدم للمصابين بسرطان الدم الممفي الحاد و الأفراد الأصحاء	22-3
101	مستويات الحديد في عينات الدم لذكور و إناث المرضى بابippyاض الدم الممفي الحاد و الأفراد الأصحاء	23-3
102	مستويات قابلية ارتباط الحديد الكلية في الدم عند المصابين و أفراد مجموعة السيطرة	24-3
103	مستويات قابلية ارتباط الحديد الكلية في عينات الدم لذكور و إناث المرضى بابippyاض الدم الممفي الحاد والأفراد الأصحاء	25-3
106	مستويات الفرتين في الدم عند الأفراد المصابين التشخيص مقارنة بأقرانهم من الأصحاء	26-3
106	مستويات الفيرتين في عينات الدم لذكور و إناث المرضى بابippyاض الدم الممفي الحاد و الأفراد الأصحاء	27-3
108	مستويات العناصر المقيدة في أمصال الأفراد الأصحاء ومرضى ابippyاض الدم	28-3

قائمة المجدول

	المفي الحاد عند التشخيص	
110	مستويات Fe و Cu و Ni و Zn المقيمة في أمصال مجموعتي الدراسة من الذكور و الإناث	29-3
111	العلاقات الارتباطية للعناصر النزرة المُقيمة في أمصال مجموعة السيطرة	30-3
112	العلاقات الارتباطية للعناصر النزرة المُقيمة في أمصال المجموعة المصابة قبل تلقي العلاج الكيميائي	31-3
113	مستويات العناصر المقيمة في أمصال أفراد مجموعة السيطرة و مرضى أبيضاض الدم المفي الحاد بعد تلقي العلاج	32-3
115	مستويات Fe و Cu و Ni و Zn المقيمة في أمصال الأفراد الأصحاء ومجموعتي المرضى ب أبيضاض الدم المفي الحاد من الذكور و الإناث بعد تلقيهم العلاج الكيميائي	33-3
116	العلاقات الارتباطية للعناصر النزرة المُقيمة في أمصال المجموعة المصابة بعد تلقي العلاج الكيميائي	34-3
120	مستويات بعض المعايير المستخدمة في تقييم وظائف الكلية لدى أفراد مجموعة السيطرة و المصابين ب أبيضاض الدم المفي الحاد قبل تلقي العلاج	35-3
122	مستويات بعض معايير تقييم وظائف الكلية لدى الأفراد الأصحاء من الذكور و الإناث و المرضى ب أبيضاض الدم المفي الحاد عند التشخيص	36-3
123	العلاقات الارتباطية لمعايير تقييم وظائف الكلية في أمصال مجموعة السيطرة	37-3
124	العلاقات الارتباطية لمعايير تقييم وظائف الكلية في أمصال المجموعة المصابة عند التشخيص	38-3
125	مستويات بعض المعايير المستخدمة في تقييم وظائف الكلية لدى أفراد مجموعة السيطرة و المصابين ب أبيضاض الدم المفي الحاد بعد تلقي العلاج	39-3
127	مستويات بعض معايير تقييم وظائف الكلية لدى الأفراد الأصحاء من الذكور و الإناث و المرضى ب أبيضاض الدم المفي الحاد بعد تلقي العلاج الكيميائي	40-3
135	العلاقات الارتباطية لمعايير تقييم وظائف الكلية في أمصال المجموعة المصابة بعد تلقي العلاج الكيميائي	41-3
137	مستويات بعض المعايير المستخدمة في تقييم وظائف الكبد لدى المصابين ب أبيضاض الدم المفي الحاد عند التشخيص الأولي بالإصابة و أفراد مجموعة السيطرة	42-3
138	مستويات بعض معايير تقييم وظائف الكبد لدى الذكور و الإناث المرضى ب أبيضاض الدم المفي الحاد عند التشخيص الأولي بالإصابة والأفراد الأصحاء	43-3

قائمة المداول

139	العلاقات الارتباطية لمعايير تقييم وظائف الكبد في أمصال مجموعة السيطرة	44-3
139	العلاقات الارتباطية لمعايير تقييم وظائف الكبد في أمصال المجموعة المصابة عند التشخيص	45-3
143	مستويات بعض المعايير المستخدمة في تقييم وظائف الكبد لدى المصابين بابيضاstr الدم اللمفي الحاد بعد تلقي العلاج الكيميائي و أفراد مجموعة السيطرة	46-3
144	مستويات بعض معايير تقييم وظائف الكبد لدى الذكور و الإناث المرضى بابيضاstr الدم اللمفي الحاد بعد تلقي العلاج الكيميائي والأفراد الأصحاء	47-3
146	العلاقات الارتباطية لمعايير تقييم وظائف الكبد في أمصال المجموعة المصابة بعد تلقي العلاج الكيميائي	48-3

الخلاصة

ازداد معدل الإصابة بالأمراض السرطانية مع ارتفاع واضح في معدلات الإصابة بسرطان الدم إذ يمثل هذا المرض المرتبة الثانية ضمن الأمراض السرطانية الشائعة في العراق لعام 2017 بعد أن كان يمثل المرتبة السابعة عام 1989، كما يمثل المرتبة الأولى ضمن الأمراض السرطانية الشائعة في الأطفال . يختلف حدوث سرطان الدم بأنواعه كافة باختلاف العمر والجنس والعرق والتوزيع الجغرافي . عالمياً يصاب عشرة أشخاص من 100000 شخص بسرطان الدم في حين يشكل المصابين بسرطان الدم اللمفي الحاد نصف عدد المصابين، وعلى نحو خاص، يصيب سرطان الدم الذكور أكثر من الإناث تصل أعلى نسبة للإصابة بابيضاض الدم اللمفاوي الحاد لدى الأطفال من 3 إلى 7 سنوات. خلال الفترة الممتدة من بداية شباط 2016 وإلى نهاية تشرين الأول 2017 في مركز الأورام السرطانية لأمراض الدم التابع لمدينة الحسين الطبية في محافظة كربلاء ، تم جمع 30 عينة لمرضى مصابين بابيضاض الدم اللمفي الحاد تراوحت أعمارهم ما بين 2-13 سنة من خلا تاریخهم العائلي من أيّة إصابة سرطانية وذلك قبل تقييم للعلاج الكيميائي تم تقسيم مرضى الدراسة الى قسمين استناداً الى الجنس، حيث تضمنت الدراسة 19 ذكرأً تراوحت أعمارهم ما بين 2 و12 سنة و 11 أنثى مصابة تراوحت أعمارهن ما بين السنة و 13 سنة، تم متابعة مرضى الدراسة خلال مراحل تقييم العلاج الكيميائي. اشتملت عينات مجموعة السيطرة على 30 عينة تراوحت أعمارهم ما بين 1-13 سنة (18 ذكرأً و12 أنثى) تم انتقاءهم استناداً الى مجموعة من الضوابط المحددة في الدراسة.

تم تقييم مجموعة من المعايير الكيمويية والنسجية في عينات مرضى الدراسة قبل وبعد تلقي العلاج ومقارنة النتائج المسجلة مع ما سُجل في مجموعة السيطرة . بينت نتائج الدراسة أوضحت النتائج المسجلة ارتفاعاً معنوياً ($p<0.05$) في مستويات كل من CLEC4E و MDA و EOP و Ceruloplasmin Oxidase Concentration في مجموعة المصابين بابيضاض الدم اللمفي الحاد، قبل تقييم العلاج، مقارنة بالاصحاء. سجلت الدراسة الحالية انخفاضاً في مستويات CLEC4E و Ceruloplasmin Oxidase Concentration عن ما تم في حين سجلت مستويات هرمون EOP ارتفاعاً كبيراً بعد تلقي العلاج الكيميائي، أما MDA فقد بقيت مستوياتها مقاربة لم تسجله عند التشخيص.

بيّنت الدراسة وجود فروقات كبيرة ($p=0.000$) عند تقييم عدد من معايير الدم، حيث لوحظ ارتفاعاً كبيراً في مستويات WBC و Ferritin Concentration لدى مرضى الدراسة مقارنة بالاصحاء في حين كانت النتائج معاكسة لذلك عند حساب Platelets و Hb Concentration و Iron Concentration و TIBC. بعد العلاج لوحظ انخفاضاً معنوياً في تعداد WBC و TIBC و Iron Concentration و Ferritin Concentration عن ما تم تسجيله عند التشخيص في حين سجل ارتفاع في مستويات Platelets ومن جانب آخر فلم تسجل مستويات Hb Concentration اختلافاً إحصائياً عن معدلاتها قبل تلقي العلاج الكيميائي.

عند التشخيص، سجلت الدراسة وجود انخفاضاً معنوياً ($p<0.05$) في مستويات كل من Fe و Cu و Zn و Ni في أمصال مجموعة المرضى مقارنة بالاصحاء، إلا أن المعالجة الإحصائية لنتائج عينات المرضى بعد تلقي العلاج الكيميائي ومقارنتها مع مجموعة السيطرة، يُظهر أن تلقي العلاج الكيميائي لم يكن ناجعاً بما يكفي لرفع مستوى العناصر الأربع في أمصال عينات الدراسة من المصابين بسرطان الدم اللمفي الحاد لتصل الى مستوياتها الطبيعية، حيث بقيت مستويات العناصر المقيمة في العمل الحالي منخفضة معنوية ($p < 0.05$) مقارنة بمجموعة الأصحاء.

بهدف دراسة تأثير الإصابة بابيضاض الدم اللمفي الحاد في قيام الكلية بوظائفها الحيوية ومتابعة اثر العلاج الكيميائي في تلك الوظائف فقد تم اختبار مستويات عدد من المعايير، تشير نتائج الدراسة الى وجود ارتفاع معنوي ($p=0.000$) في تركيز كل من ANP و Urea في أمصال المرضى و مستويات Microalbumin البولي مقارنة بمستوياتها في مجموعة السيطرة، وبشكل معاكس أشارت الدراسة الحالية الى انخفاض معنوي ($p=0.001$) في مستوى Creatinin المصلي لدى أفراد المجموعة المصابة بمستوياته لدى الأفراد السليمين. أظهرت الدراسة وجود فروقاً إحصائية امتازت بالمعنى ($p=0.000$) عند مقارنة ANP و Urea و Creatinin و Uric Acid و Creatinin.

الخلاصة



عند المرضى بابيضاض الدم اللمفي الحاد بعد تلقيهم العلاج الكيميائي مع أقرانهم الأصحاء، حيث لوحظ ارتفاعاً كبيراً للمعايير الخمس المقيدة في عينات المرضى مقارنة بمستوياتها لدى الأصحاء.

عند تقييم وظائف الكبد، لوحظبقاء مستويات كل من إنزيمي GPT و STP وكذلك مستويات ALP لدى مرضى سرطان الدم ضمن المدى المسجل لدى الأفراد الأصحاء في مجموعة السيطرة من جانب آخر، سجلت الدراسة الحالية وجود ارتفاع في مستويات إنزيم ALP عند المرضى تجاوز ضعف ما تم تسجيله في مجموعة الأطفال الأصحاء. أما بعد تلقي العلاج الكيميائي فقد أظهرت الدراسة ارتفاعاً معنوياً ($p=0.000$) لمستويات GPT و GPT و ALP لمجموعة المرضى مقارنة بالاصحاء مقابل انخفاضاً معنوياً ($p=0.000$) في مستويات STP في مجموعة المرضى مقارنة بالاصحاء. أشارت الدراسة الى رصد العديد من الفروقات بين الذكور المرضى والأصحاء وكذلك الحال بين الإناث المصابات والسليمات على مستوى المقارنات الضمنية بين المجموعتين في مرحلة التشخيص وبعد تلقي العلاج، وكما مبين في الجدول أدناه الذي يوجز العلاقة بين المصابين من كلا الجنسين بأقرانهم الأصحاء.

Parameters	قبل تلقي العلاج		Parameters	بعد تلقي العلاج	
	Male	Female		Male	Female
CLEC4E	↑**	↑*	CLEC4E	N.S.	N.S.
MDA	↑*	↑*	MDA	↑*	↑*
Ceruloplasmin Oxidase Concentration	N.S.	↑*	Ceruloplasmin Oxidase Concentration	N.S.	N.S.
Ceruloplasmin Oxidase Activity	↑*	↑**	Ceruloplasmin Oxidase Activity	N.S.	N.S.
EOP	↑**	↑**	EOP	↑**	↑**
WBC	↑**	↑**	WBC	N.S.	N.S.
Platelets	↓**	↓**	Platelets	↓*	↓*
Hb Concentration	↓**	↓**	Hb Concentration	↓*	↓*
Iron Concentration	↓**	↓**	Iron Concentration	↓**	↓**
TIBC	↓**	↓**	TIBC	↓**	↓**
Ferritin Concentration	↑**	↑**	Ferritin Concentration	N.S.	↑*
Fe	↓**	↓**	Fe	↓**	↓**
Cu	↓**	↓**	Cu	↓**	↓**
Zn	N.S.	↓*	Zn	N.S.	↓*
Ni	↓**	↓**	Ni	↓**	↓**
ANP	↑**	↑**	ANP	↑**	↑**
Urea	↑**	↑**	Urea	↑**	↑**
Creatinin	↓*	N.S.	Creatinin	↑**	↑**
Uric Acid	↑**	↑**	Uric Acid	↑**	↑**
Microalbumin	↑**	↑**	Microalbumin	↑**	↑**
GOT	N.S.	N.S.	GOT	↑**	↑**
GPT	N.S.	N.S.	GPT	↑**	↑**
ALP	↑**	↑**	ALP	↑**	↑**
STP	N.S.	N.S.	STP	↓**	↓**

*: تعني ان الفرق بين المجموعتين كانت عند مستوى ($p \leq 0.05$) و**: تعني ان الفرق بين المجموعتين كانت عند مستوى ($p \leq 0.005$)

تضمنت الدراسة الحالية وجود حالات ارتباط معندة بها إحصائياً عند مقارنة معايير الدراسة الحالية كانت أبرزها ما تم تسجيله من علاقة CLEC4E و EOP التي امتازت بكونها ايجابية في 100% من عينات الدراسة عند التشخيص وسالبة عند ذات العينات بعد تلقي العلاج الكيميائي.

أظهرت نتائج الدراسة النسبية أن نسبة 80% من الأطفال المصابين بابيضاض الدم اللمفي الحاد كانوا من الصنف الأول L₁ و 17% من الصنف الثاني L₂ و 3% من النوع الثالث L₃، وعد الصنف الأول ذو مآل جيد للمرض إذ تكون الاستجابة جيدة للعلاج ويمررون بمرحلة الشفاء بعد أخذ العلاج.

الفصل الأول

المقدمة واستعراض المراجع



يعد ابيضاض الدم اللمفوي الحاد من الأمراض السرطانية الخطيرة جداً في العالم (Miller and Daoust, 2000)، يعرف بأنه مجموعة من الأضطرابات التي تصيب النسيج المكون للدم مسببة تكون خلايا الدم البيض غير الناضجة، والتي تعرف بالأنسجة النباتية Haematopoietic Tissues في نقي العظم Bone Marrow والدم، والتي تؤدي إلى فشل نقي العظم في أداء وظائفه الطبيعية (Eyal and Attar, 2010) وفضلاً عن ذلك ارتفاع الخلايا غير الناضجة داخل الأعضاء مثل الكبد والطحال والعقد اللمفية والدماغ والخصى. يقسم ابيضاض الدم إلى نوعين: ابيضاض دم اللمفوي الحاد (Acute leukemia) والذي يتتطور بسرعة، وابيضاض دم اللمفوي العزمن (National Cancer Institute, 2009) والذي يتطور ببطء (Chronic leukemia) (Hoffbrand, et al., 2004).

إن الأسباب وراء حدوث مرض ابيضاض الدم لم تحدد بشكل دقيق، ولكن اقتربت الدراسات فعل عدة عوامل في ذلك، منها التعرض للإشعاع والمواد الكيميائية وكل منها دور في تسرطن خلية الدم لكي تظهر الحالة المرضية المتمثلة بابيضاض الدم (Hoffman et al., 2000)، ولكن كيف تتفاعل هذه العوامل مع بعضها البعض حتى تساهم في ظهور المرض، أن ذلك محوراً أساسياً لكثير من الدراسات في هذا المضمار (Hewlett, et al., 1995; Delima, et al., 1997; Seiter, 2007).

يعد سرطان الدم اللمفوي الحاد أكثر انتشاراً لدى الأطفال مقارنةً مع البالغين (Reis, et al., 2008; Parine, et al., 2012) حيث تبلغ ذروة الإصابة بمرض ابيضاض الدم اللمفوي الحاد في فترة الطفولة المبكرة إذ يشكل الأطفال (أقل من عشر سنوات) حوالي 85% من حالات ابيضاض الدم الحاد (Robinson, et al., 2000; Litzow, 2001; World Cancer Report, 2014) ثم تزداد نسبة الإصابة بالأنواع الثلاثة الأخرى لمرض ابيضاض الدم اللمفوي بتقدم العمر، مما يعطي إشارة إلى دور العمر Aging على الخلايا الجذعية المخلقة للدم أو على البيئة الدقيقة لنقي العظام (Redalli et al., 2005; Appelbaum, et al., 2006)، أوضحت دراسة Linet (Linet, et al., 2003) أن نسبة حدوث المرض في الذكور ولجميع الفئات العمرية إلى الإناث تصل 1:1.3 مما قد يشير إلى امتلاك الذكور ميلاً فسلجية لحدوث مرض ابيضاض الدم الحاد وربما لحدوث مرض السرطان بصورة عامة حيث أشارت إحصائيات مجلس السرطان العراقي

(Ministry of Health, Iraqi Cancer Board, 2017) الى ازدياد معدلات الإصابة في الذكور مقارنة مع الإناث ، فقد اشارت هذه الإحصائيات الى ان اعداد المصابين بابيضاض الدم في الفترة التي تلت العام 1993 قد ازدادت بصورة كبيرة عما كانت عليه ، وان هذه الزيادة شملت كلا الجنسين ولا سيما في المناطق الجنوبية من العراق (Iraqi Cancer Registry, 1999)، وبهدف التعرف على النسب المئوية للإصابة بمرض ابيضاض الدم اللمفي الحاد في العراق الذي يشكل 46% من باقي السرطانات ومن خلال هذه الزيادة في حالات الإصابة بمرض ابيضاض الدم اللمفي الحاد بالمقارنة مع الأمراض السرطانية الأخرى صممت الدراسة الحالية.

أهداف الدراسة

صممت الدراسة الحالية لتحقيق عدداً من الأهداف، يمكن إجمال الأبرز من بينها بما يلى :

- التحري عن مستويات بروتين **CLEC4E** في أمصال المصابين بابيضاض الدم اللمفي الحاد من خلا تاریخهم العائلي من الإصابة السرطانية ومقارنتها بمستوياته لدى الأفراد الأصحاء بغية التقصي عن إمكانية تسميته كدالة تشخيصية لحدوث الإصابة، وتتبع مستوياته خلال مراحل العلاج لدراسة إمكانية تسميته كدالة لتتبع مدى الاستجابة للعلاج وتقييم مستوى الشفاء.

تقدير مستويات هرمون **EOP** في أمصال مجموعة المرضى عند التشخيص وبعد تلقي العلاج لتقييم مستويات الخلل الحاصل في آلية إنتاج مكونات الدم خلال مرحلة الإصابة بسرطان الدم، ودراسة تأثير العلاج الكيميائي في تلك آلية.

دراسة مستويات الأكسدة الخلوية خلال مرحلة الإصابة بسرطان الدم اللمفي الحاد وتقييم مستوى الضرر الخلوي المحتمل، ومتتابعة معدلات التأكسد أثناء تلقي العلاج الكيميائي ودراسة فاعليته العلاجية.

تقييم مستويات بعض لعناصر النزرة ذات العلاقة بمعايير الدراسة المختارة في أمصال مجموعة المرضى عند تشخيص إصابتهم وبعد تلقيهم العلاج الكيميائي ومقارنتها بمستوياتها عند أقرانهم في مجموعة السيطرة.

تقييم إمكانية الكليتين والكبد في اداء وظائفها خلال مرحلة الإصابة وأنباء مراحل العلاج دراسة التغيرات النسيجية المحتملة كنتيجة للإصابة بسرطان الدم اللمفي الحاد ومتابعتها أثناء مراحل تلقي العلاج الكيميائي

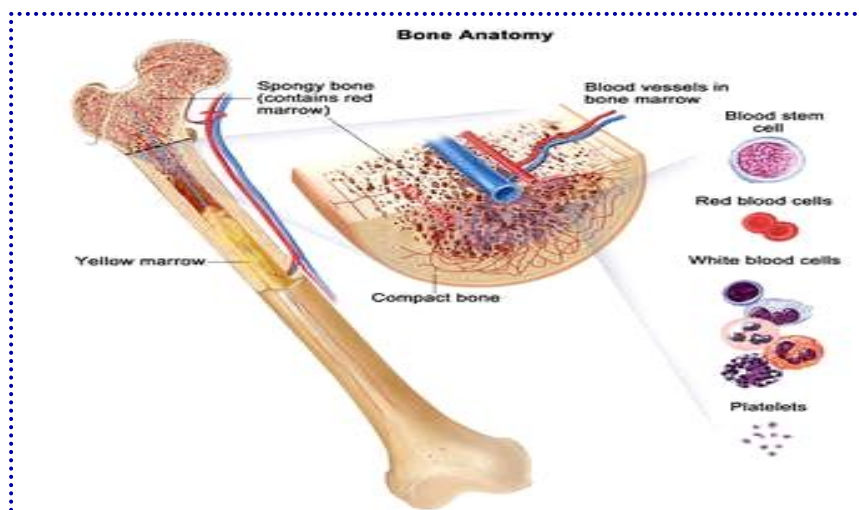
١-١: الخلايا المتفية

تشكل خلايا الدم المتفية Lymphocytes نسبة تتراوح مابين 28-42% من المجموع الكلي لخلايا الدم البيضاء (Rogers, 2011)، ويتراوح قطر الخلية المتفية في الأوعية الدموية ما بين 15 و 16 مايكرومتر (Junqueir, 2010). تتحرك الخلايا المتفية بصورة بطيئة في مجرى الدم وتتركز داخل العقد المتفية والطحال والغدة الزعترية واللوزتين والأنسجة المتفية في الجهاز الهضمي (Ker, 2009) وتدخل مجرى الدم عبر القنوات المتفية ويغادر بعضها الأنسجة ويعود الى مجرى الدم وتبقى لسنة واحدة أو أكثر في الأنسجة (Junqueir, 2010). تميز الخلية المتفية بقدرتها على الانسلاخ عبر الأوعية الدموية بعملية Diapedesis وأيضا العودة إلى مجرى الدم (Ker, 2009). تعمل الخلايا المتفية على تنظيم الاستجابة المناعية المكتسبة، و هي بثلاث أنواع:

الخلايا المتفية البائية (B Lymphocyte): تنتج وتنتطور داخل نقي العظم وجزئيا داخل العقد المتفية ولها دور في المناعة الخلطية عبر إنتاج الأضداد المناعية.

الخلايا المتفية الثانية (T Lymphocyte): تنتج في نقي العظم ثم تتطور في الغدة الزعترية، تقوم الخلايا المتفية الثانية بتنظيم وظيفة الخلايا البائية، وتساهم بشكل مباشر في قتل المستضدات الغريبة فضلا عن مساهمة الخلايا الثانية في الاستجابة المناعية الخلوية وفي عمليات رفض الزرع النسجي وبعض أنواع تفاعلات فرط الحساسية (Steine-Martin *et al.*, 1998).

الخلايا القاتلة الطبيعية (Natural Killer Cells): تميز بقابليتها على تحطيم الخلايا المصابة بالفيروسات فضلا عن تحطيم الخلايا السرطانية (Junqueir, 2010).



الشكل ١-١: موقع إنتاج الخلايا المكونة لنسيج الدم



2-2: تطور الخلايا المتفية

إن التمايز المبكر للخلايا الجذعية المكونة للدم إما أن يتخذ المسار المولد للخلايا المتفية العام أو أن يدخل المسار المولد للخلايا الدموية النخاعية Common Lymphoid Progenitor (CLP) (Reya *et al.*, 2001). تكتسب الخلايا Common Myeloid Progenitor (CMP) معلمات سطحية Cell Surface Markers وعوامل تحفيز الاستنساخ المميزة لكل مرحلة من مراحل الانقسام، ويقوم المسار المولد للخلايا المتفية بإنتاج جميع أنواع الخلايا المتفية (البائية والثانوية والخلايا القاتلة الطبيعية) مع فقدان القابلية لتوليد سلالات من الخلايا النخاعية أو الكريات الدموية الحمر أو خلايا النواة Megakaryocytes (Robert *et al.*, 2006).

تطور الخلايا المتفية بثلاث مراحل هي:

المرحلة الأولى (مرحلة الأرومة المتفية Lymphoblast): يصل قطرها مايكرومتر، يتراوح حجم النواة إلى السايتوبلازم بنسبة 1:4، كما تحتوي على نوية أو نوويتين ذات سايتوبلازم قليل 20-10.

المرحلة الثانية (مرحلة ما قبل الأرومة المتفية Pro-lymphoblast): يبلغ قطرها مايكرومتر ذات كروماتين كثيف نسبياً وتحتوي على نوية.

المرحلة الثالثة (مرحلة الخلية المتفية الناضجة Lymphocyte): وبدورها تصنف بشكل بسيط إلى خلايا لمفافية صغيرة ومتسطدة وكبيرة، وتصنف الخلايا المتفية إلى نوعين هما الخلايا المتفية البائية وتشكل 20-10% من الخلايا المتفية في حين تشكل الخلايا المتفية الثانية 60-80% من الخلايا المتفية (Ceisla, 2007).

تنتطور خلية الأرومة المتفية إلى خلية لمفافية ثانية عند توجهها إلى الغدة الزعترية إذ ينطوي مسار تخليق الخلايا المتفية داخل الغدة الزعترية خلال أسبوعين (Eidenschenk *et al.*, 2006)، في حين تتطور الخلايا البائية بمراحلتين: الأولى تمثل المرحلة غير المعتمدة على المستضدات Antigen Independent Stage والتي تحصل بصورة أساسية في الكبد الجنيني ونقى العظم للأجنة والبالغين، أما الثانية فتحدث في العقد المتفية والطحال بصورة أساسية وتعتمد على المستضدات (Dorshkind and Montecino-Rodriguez, 2007).



3-1: سرطان الدم

بعد السرطان Cancer احد مسببات الوفاة الرئيسية في العالم، إذ يأتي بالمرتبة الثانية بعد أمراض القلب والأوعية الدموية (Jemalet *et al.*, 2007; Boyle and Levin, 2008) وقد استخدم مصطلح السرطان لوصف مجموعة العوارض الصحية التي تنشأ عن الانقسام غير الطبيعي لخلايا شاذة مظهرياً ونورياً تتميز بمقدرتها على الانفصال والغزو ومن ثم اختراق أنسجة جديدة غالباً ما تكون بعيدة عن النسيج التي تولدت فيه (Cortes, 2001). تم وصف أكثر من مئة نوع مختلف من الأمراض السرطانية في العالم (Wood, *et al.*, 2007)، ويعد سرطان الدم (ابيضاض الدم) واحداً من أكثر أنواع السرطانات شيوعاً (Hoffbrand, *et al.*, 2005).

ينجم ابيضاض الدم (هي سرطان الدم و النسيج الإسفنجي الموجود في مركز العظم (نخاع العظم)) عن الزيادة في إنتاج وتوليد وانقسام عدد كبير من الخلايا اللمفاوية غير الفاضحة وغير الطبيعية التشكّل وغير القادرة على القيام بوظائفها بشكل صحيح في نخاع العظم على حساب توليد بقية الخلايا البيضاء والحرماء و الصفيحات الدموية الطبيعية. وضفت ملامح الدراسات البحثية الأولى عن ابيضاض الدم في العام 1845 حيث شرع كل من Bennett في سكتلاندا و Virchow في ألمانيا، كلا على حِدا، بدراسة أسباب الموت لمجموعة من الجثث التي كان قد ثبتَ تشریحياً تضخم الكبد و الطحال فيها، ومن هنا ظهر مصطلح الدم الأبيض (Weiss's Blut) الذي أطلقه Virchow والذي ترجم إلى اللغة الإغريقية فظهرت تسمية Leukemia للإشارة إلى سرطان الدم. يتميز ابيضاض الدم بازدياد إنتاج خلايا الدم البيضاء Leukocyte ويشتمل هذا النوع من السرطانات على مدى واسع من الأمراض (Ceisla, 2007). في العام 1889 أطلق الطبيب Epstein مصطلح ابيضاض الدم الحاد Acute Leukemia نتيجة ملاحظته لوفاة عدد من الأشخاص خلال أشهر قليلة اثر معاناتهم للأعراض الأولية للمرض (Epstein, 1889).

4-1: وبائية سرطان الدم

ازداد معدل الإصابة بالأمراض السرطانية مع ارتفاع واضح في معدلات الإصابة بابيضاض الدم إذ يمثل هذا المرض المرتبة الثانية ضمن الأمراض السرطانية العشرة الشائعة في العراق لعام 2017 (Ministry of Health, Iraqi Cancer Board, 2017) بعد أن كان يمثل المرتبة السابعة عام 1989 (Ministry of Health, Iraqi Cancer Board, 1993)، كما يمثل ابيضاض



الدم المرتبة الأولى ضمن الأمراض السرطانية العشرة الشائعة في الأطفال (Ministry of Health, Iraqi Cancer Board, 2008)

يختلف حدوث ابيضاض الدم بأنواعه كافة باختلاف العمر والجنس والعرق والتوزيع الجغرافي عالمياً، يصاب عشرة أشخاص من 100000 شخص بسرطان الدم في حين يشكل المصابين بسرطان الدم اللمفي الحاد نصف عدد المصابين (Craige, et al., 2006)، وعلى نحو خاص، يصيب سرطان الدم الذكور أكثر من الإناث (Hoffbrand, et al., 2006) إذ تكون نسبة الذكور إلى الإناث هي 2:3 في الأنواع الحادة من ابيضاض الدم و 1:2 في ابيضاض الدم اللمفاوي في حين تتمثل 1,3:1 في ابيضاض الدم النخاعي. يحدث ابيضاض الدم الحاد في جميع الفئات العمرية ، في حين تنتشر حالات الإصابة بابيضاض الدم النخاعي الحاد في البالغين وتزداد نسبته مع التقدم في العمر، من جانب آخر نجد إن الأشخاص في الفئة العمرية ما بين 40 و 60 عاماً هم الأكثر عرضة للإصابة بابيضاض الدم وأخيراً تصل أعلى نسبة للإصابة بابيضاض الدم اللمفاوي الحاد لدى الأطفال من 3 إلى 7 سنوات (Ross, 2003).

1-5: مسببات الإصابة بسرطان الدم

يحدث التحول السرطاني لخلايا الدم نتيجة تدمير آلية السيطرة على عملية الانقسام الخلوي الطبيعي و إيقاف عملية التمايز الخلوي فضلاً عن عدم الخضوع لآلية الموت المبرمج (Gabriel, 2004). تمتلك الخلايا المتحولة القابلية العالية على التجدد الذاتي بسبب تراكم الطفرات في الجينات الخلوية المسؤولة عن هذه الفعاليات (Liang and Pui, 2005). يعتقد إن تحول الخلية الطبيعية إلى خلية سرطانية يحصل بخطوات متعددة ومتوازية، إذ إن الطفرات تعمل على تغيير سلوك الخلية وذريتها بشكل دائم و ينشأ مرض ابيضاض الدم نتيجة طفرات جسمية في الخلايا المكونة للدم (Lucio, 1993). تحدث الطفرات المؤدية إلى حدوث السرطانات المختلفة عن مجموعة من العوامل (Hejmadi, 2010)، يأتي في مقدمتها:

• الإصابات الفيروسية.

• التعامل المباشر أو غير المباشر مع المواد الكيميائية المسرطنة .Carcinogenesis

• التعرض للإشعاع.

تتغير الفيروسات المختصة باستهداف DNA ضمن كروموسومات الخلية الطبيعية، في حين يحمل بعض فيروسات RNA إنزيم الاستنساخ العكسي Reverse Transcriptase الذي يتوجه استنساخ RNA من DNA ينغرس الناتج ضمن كروموسومات الخلية مؤدياً إلى تنشيط الجينات السرطانية Oncogenes أو تثبيط عمل الجينات الكابحة للسرطان (Ruddon, 2007)، وقد تسبب الفيروسات تغيرات في المادة الوراثية للخلية مثل الكسور الكروموسومية أو تلف لمنطقة أو أكثر في الكروموسوم فضلاً عن الانقسامات الخلوية الشاذة (Liang and Pui, 2005). شخصت بعض الفيروسات مثل Bovine Leukemia Virus و Feline Leukemia Virus بكونها من المسببات الأساسية لابيضاض الدم في الحيوان (Butel, 2007).

بعد الفيروس المسبب لابيضاض الخلية الثانية - Human T-Cell Leukemia (HTLV-

I,II) النوع الفيروسي الوحيد المثبت علاقته بإحداث ابيضاض الدم في الإنسان (Wartenberg, et al., 2008) HTLV-I. فقد أشار الباحثان Mahieux و Gessain إلى العلاقة الوثيقة بين الفيروس HTLV-I و ازدياد نسبة خطورة الإصابة بمرض ابيضاض الدم اللمفي نوع T و سرطان الأنسجة اللمفية (Gessain and Mahieux, 2003). في حين إن لفيروس Epstein-Barr علاقة Lymphoma باستحداث مرض ابيضاض الدم اللمفي الحاد Acute Lymphocytic Leukemia نوع β-(β-) ALL، في حين وجد إن لفيروس نقص المناعة Human Immunodeficiency Virus (HIV) أثر في إحداث خلل في عملية التكاثر اللمفي (Ibrahim and Osman, 2011; Butel, 2007).

يعد البنزين و مشتقاته من المواد الكيماوية المعروفة بارتباطها بازدياد الإصابة بسرطان الدم وخاصة AML (Yaris, *et al.*, 2004; Khan, 2007)، حيث لوحظ ازدياد الإصابة بابيضاض الدم لدى العاملين بالمبارات والمذيبات الكيماوية وكذلك المتعاملين مع مادة اوكسيد الاثيلين (Ethylene Oxide) (Davico, *et al.*, 1998; Shu, *et al.*, 2004; Sinner, *et al.*, 2005; Belson, *et al.*, 2007).

إن استعمال العلاج الكيماوي، وبصفة خاصة المركبات المؤكلة Alkylating Agents مثل Chlorambucil و Melphalan بوصفها أصناف من العقاقير المستخدمة في علاج الأمراض



السرطانية و الحميدة، ارتبط بازدياد نسب الإصابة بابيضاض الدم عموماً و AML بشكل خاص، علاوة على ذلك فقد لوحظ ان نسب الإصابة هذه تتزايد في حال ترافق العلاج الكيماوي مع العلاج الإشعاعي (Deschler and Lübbert, 2008).

يحدث الفعل التطفيري للإشعاع عبر التوليد المتزايد للجذور الحرة التي تلعب دوراً مباشراً في التأثير على المادة الوراثية مسببة تغيراً كمياً أو نوعياً في تركيبها مما يؤدي إلى حدوث الطفرات وبالتالي حصول النمو والانقسام غير المسيطر عليه للخلية المصابة (Ikediobi, 2004). تلعب الجذور الحرة دوراً كبيراً في تنشيط الجينات المحفزة للإصابة للسرطان إلى جانب الدور التي تلعبه في تحفيز انتشار السرطان إلى أنسجة جديدة ونشوء ما يعرف بالورم الثانوي وذلك عبر تداخل نشاط الجذور الحرة مع ميكانيكيات الدفاعات المناعية (Ortíz-Ardila, et al., 2017).

تبعاً للأدوار التي تلعبها الجذور الحرة في الخلية الطبيعية وتحولها إلى خلية سرطانية تقسم مراحل التأثير إلى ثلاث مراحل هي:

مرحلة البدء Initiation

نتيجة لتأثير المادة الوراثية في الحامض النووي منقوص الأوكسجين بنشاط الجذور الحرة تخضع الخلية في هذه المرحلة إلى حدوث الطفرات والتغيرات الوراثية مما يؤدي إلى حدوث تغيرات وتحورات في الطبيعة التركيبية للخلية، ونتيجة لذلك يحدث زيادة في الانقسام الخلوي (Das, 2002).

مرحلة التحفيز Promoting

تتميز هذه المرحلة بنشاط المسارات الإيسيمية بشكل كبير مؤدية إلى توليد عدد من المركبات التي تزيد بدورها من توليد أنواع جديدة من جذور حرة بعد تأثر المادة الوراثية بنشاط الجذور الحرة وانخفاض في فعالية مضادات الأكسدة الدافعية وتركيزها وبالتالي فقدان حالة التوازن (Das, 2002).

مرحلة الانتشار Propagation

تنسم هذه المرحلة بظهور الورم السرطاني كمحصلة نهائية للفزيادة المفرطة في النمو والانقسام والتمايز للخلية السرطانية وتعد المرحلة الأخيرة في حدوث السرطان (Das, 2002; Edmunds, 2007).



يعد مرض ابيضاض الدم دليلاً قوياً على التأثيرات الإشعاعية وتعتمد الإصابة إحداث بهذا النوع من السرطان على نوعية وكمية الجرعة الإشعاعية وعمر الكائن الحي عند التعرض للإشعاع والزمن الذي مضى بعد التشعيع، وعلى الرغم من ازدياد حدوث مرض ابيضاض الدم في الأشخاص الذين تعرضوا للإشعاع عند قصف مدينتي هiroshima وNakazaki في اليابان أبان الحرب العالمية الثانية إلا أنه انخفض بعد فترة من التعرض ولا يوجد دليل على أن خطر الإشعاع قد زال وعاد إلى المستويات الطبيعية (Ishimaru and Ishimaru, 1975).

1-6: العلامات والأعراض

تظهر الأعراض والعلامات نتيجة لدخول خلايا الأرومة Blast من نخاع العظم إلى مجرى الدم لذا تكون من أوائل العلامات السريرية ارتفاع معدل خلايا الدم البيضاء وقلة في عدد الصفائح الدموية (Bain, 2010) يعني المرضى بصورة عامة من الضعف والإعياء والحمى وفقدان الوزن والكسل فضلاً عن النزف، وعند ارتشاح خلايا الأرومة Blast إلى الأعضاء المختلفة أو العقد اللمفية فإنها تسبب تضخم الكبد والطحال والعقد اللمفية وقد يؤدي ذلك إلى الآم في العظام نتيجة وجود خلايا الأرومة هناك (Joomla, 2011).

من أهم العلامات السريرية للمرضى المصابين بابيضاض الدم اللمفى الحاد (Joomta, 2011; Mittal and Meehan, 2001)

ارتفاع درجة الحرارة: يعني المرضى من ازدياد في درجة الحرارة والآم ، كما لا يستجيب المريض إلى العلاج بالمضادات الحيوية نتيجة فقدان خلايا الدم البيضاء لاسيما الخلايا الحبيبية الناضجة وكثرة الخلايا غير الناضجة.

الآم العظام: يعني المريض من الآم العظام والمفاصل نتيجة لترسب الخلايا المسرطنة تحت طبقات السطوح العظمية أو داخل المفصل

النزف: يعني المصاب من النزف نتيجة لقلة إنتاج الصفائح الدموية أو بسبب جروح صغيرة.

انتفاخ في المنطقة البطنية: انتفاخ يحدث في المنطقة البطنية نتيجة لحصول تضخم الكبد والطحال.

تضخم الغدة الزعترية.



الألم الرأس والتقيؤ: يحصل عند دخول الأرومات إلى الجهاز العصبي المركزي (CNS) والمبایض والخصى والرئة والكلى والقلب والأمعاء وبقية الأعضاء.

ظهور البقع والإعياء والضعف: انتشار الخلايا السرطانية تحت الجلد يؤدي لظهور بقع ملونة. كذلك دخول الخلايا السرطانية Leukemic cell إلى اللثة Gums يؤدي إلى الألم والفزف في اللثة.

7-1: تشخيص سرطان الدم

يعتمد التفريق بين سرطان الدم اللمفي الحاد (ALL) وسرطان الدم النخاعي الحاد (AML) بصورة أساسية على الصفات المظهرية Morphology للخلايا السرطانية واصطباغها بالأصباغ الكيموخلوية Cytochemical Stains (Cheson, et al., 1990) في نقي العظم دوراً خاصاً ومهمأً للتفريق بين مرضى ALL و AML Blast (Ching-Hon, et al., 2004).

استناداً إلى الأسلوب المتفق عليه والمعرف بالتصنيف الفرنسي الأمريكي البريطاني (FAB)، صُنف سرطان الدم اللمفي الحاد إلى ثلاثة أنواع ثانوية هي:

① النوع الثانوي الأول ويرمز له L_1 الذي يتميز بوجود خلايا موحدة وصغرى الحجم

② النوع الثانوي الثاني ويرمز له L_2 الذي يتميز بوجود خلايا متغيرة كبيرة الحجم

③ النوع الثانوي الثالث ويرمز له L_3 وتميز فيه الخلايا بكونها كبيرة مع وجود فجوات Vacuoles.

يوضح الجدول 1-1 الخصائص الخلوية الأساسية للتفريق بين الأنواع الثلاث لمرض ابيضاض الدم اللمفي الحاد ALL اعتماداً على الخصائص السايتوبلازمية والنوية فضلاً عن حجم خلية الأرومة (Hoffbrand, et al., 2005).



الجدول 1-1: الخصائص الخلوية الشكلية للأصناف الثانوية لمرض ALL
 (Ching-Hong, *et al.*, 2004; Sarkodee-Adoo, *et al.*, 2014)

L ₃	L ₂	L ₁	الخصائص الخلوية
كبيرة الحجم عادةً	متغيرة وكبيرة الحجم	صغرى عادةً	حجم الخلية
متجانس و Stippled	متغيرة	متجانس وربما يكون كثيف في بعض الخلايا	هيئه الكروماتين النووي
منتظم بيضوي أو مستدير	غير منتظم ذو تعرجات او طيات	منتظم	شكل النواة
واضحة وبارزة عادةً	مرئية عادةً وكبيرة الحجم	غير مرئية أو صغيرة وغير واضحة عادةً	النوعية
متوفّر بصورة معتدلة	متغيرة	قليلة	كمية السايتوبلازم
قاعدي قوي	متغيرة	خفيف إلى معتدل	قاعدية السايتوبلازم
بارز وواضح	متغيرة	متغيرة	وجود الفجوات السايتوبلازمية

إذ تكون الأرومة اللمفية من الصنف الأول صغيرة بالحجم ومتجانسة في حين تكون خلايا الأرومة اللمفية متغيرة بالحجم والشكل في الصنف الثنائي الثاني وتكون الأرومة اللمفية للنوع L₃ بكونها متغيرة في الحجم وذات سايتوبلازم قاعدي قوي مع وجود فجوات سايتوبلازمية واضحة مشابه لمرض Burkett (Gilliland and Tallman, 2002).

تصل نسبة الإصابة في الصنف L₁ لدى الأطفال إلى 70-80% يكون أعلى النسب من الحالات ويشكل L₂ نسبة 25% من حالات لدى الأطفال ويشكل L₃ نسبة 1-2% من حالات الإصابة بابيضاض الدم اللمفي الحاد لدى الأطفال (Bain, 2010).

تلعب تقنية Immunophenotyping دوراً أساسياً في تشخيص الأصناف الثلاث لمرض ابيضاض الدم اللمفي الحاد (Bene, *et al.*, 1995; Paredes-Aguilera, *et al.*, 2001)، إذ يمكن تشخيص ثلاثة أصناف رئيسية لهذا المرض حسب هذه التقنية ، وتشمل هذه الأصناف: طليعة الخلايا البائية Precursor B lymphoblast (Pre-B Cell ALL) وخلايا اللمفية البائية الناضجة (Paredes-Aguilera, *et al.*, T Cell ALL) والخلايا اللمفية التائية Mature B Cell ALL.



(2001). لكل نوع من الخلايا معلمات سطحية خاصة Surface Markers أو معلمات سايتوبلازمية تظهر خلال مراحل تطورها وتستخدم لتمييز الخلوي (Bene, et al., 1995).

تكون طليعة الخلايا البائية لمرض ابيضاض الدم اللمفي الحاد Early Pre-B Cell لمعلمة CD10 وتدعى Common-B cell في حين تظهر الايجابية للكلوبولينات السطحية نوع M-CD19 وكتلتي التمايز Surface Immunoglobulin (IgMs) في الخلايا البائية الناضجة عادةً (Paredes-Augilera, et al., 2001) في حين اعتمد تصنيف مرض ابيضاض الدم الحاد لسلالة الخلايا اللمفية نوع T-Cell ALL (T-Cell ALL) على مراحل التمايز داخل الغدة الزعترية (Onciu, et al., 2002).

يفيد التصنيف الثانوي للمرض في تحديد مآل المرض ويساعد في اختيار العلاج الملائم لمرض ابيضاض الدم اللمفي الحاد (Bain, 2010)، وقد اقترحت منظمة الصحة العالمية WHO نظاماً جديداً لتصنيف الأمراض الخبيثة التي تصيب الدم أو اللمف أو الأنسجة المولدة للدم أو الملف لتشخيص مرض ابيضاض الدم اللمفي الحاد، ويعتمد كل من التصنيفين WHO و FAB على التقسيم المظاهري بصورة كبيرة (Foa and Vitale, 2002).

8-1: فرضيات الإصابة بـ ابيضاض الدم اللمفي الحاد

يُعد الأطفال دون سن الـ 13 سنة الفئة الأكثر إصابة بـ ALL حيث يمثلون نسبة 80% من مجموع المصابين بسرطان الدم حول العالم (Craige, et al., 2006) ويعد هذا المرض نادراً في الأعمار المحصورة من 25-35 سنة (Catovsky, 2005). بهدف تفسير العلاقة بين الإصابة بسرطان الدم من النوع ALL والأعمار الدنيا للمرض عبر مجموعة من الفرضيات، أهمها:

■ فرضية دمج المجتمع (Population Mixing Hypothesis Kinlen)

إذا افترض الباحث أن سبب شيوعاً لإصابة بـ ابيضاض الدم لدى الأطفال يعود إلى تعرضهم إلى عوامل العدوى المرضية بعد خلط المجتمع بصورة غير طبيعية مع حاملي المرض (Kinlens, 1995).



فرضية Smith (فرضية العدوى الولادية)

تشير هذه الفرضية إلى إن سبب ازدياد نسب الإصابة بمرض ALL لدى الأطفال يعود إلى تعرضهم للعدوى في داخل الرحم خلال المرحلة الجنينية مما ينتج عنه الإصابة بالمرض من النوع β (Smith, 1998). أشار Lehtinen إلى ازدياد مخاطر الإصابة بمرض ALL لدى الأطفال الأمهات المصابات بالعدوى في القناة التناسلية (Lehtinen, 2003)، كما تزداد نسبة مخاطر الإصابة لدى الأطفال الأمهات المصابات بفيروس Epstein-Barr، من ناحية أخرى أشارت بعض الدراسات إلى إن إصابة الأم بالعدوى خلال فترة الحمل يزيد من خطورة إصابة الطفل بابيضاض الدم (Lehtinen, et al., 2003; Namburg, et al., 2002) و ما زال من غير الواضح كون الإصابة قليلة أو بعد الولادة ذات دور بتحفيز تطور مرض ابيضاض الدم أو إن الإصابة خلال كلا الفترتين تؤدي إلى ظهور المرض (McKinney, et al., 1999; McNally and Eden, 2004).

فرضية Greave (فرضية العدوى المتأخرة)

تشير هذه النظرية إلى إن الإصابة بمرض ابيضاض الدم الممفي تحتاج إلى طفتين على الأقل لظهور المرض، لذا فعزل الأطفال ذوي النسيلة ما قبل اللوكيمي المكتسبة قبل الولادة في بيئه صحية خلال المرحلة المبكرة من حياتهم (Malcolm et al., 1998)، يؤدي إلى استجابة مناعية غير طبيعية لاسيمما بعد التعرض إلى عوامل العدوى الشائعة في عمر يتزامن مع تطور الخلايا الممفية، وما يدعم هذه الفرضية أن معظم حالات الأطفال المصابين بابيضاض الدم الذين تتراوح أعمارهم بين 2-6 سنوات يعانون من طفرة في جين TEL-AML و تعد الطفرة الأولى لهذه النظرية (Greaves, 1997).

وأشار بعض الباحثين (Louhiala, et al., 1995; Smith, et al., 1999) إلى وجود علاقة للعدوى بمستحاث مرض ابيضاض الدم لدى الأطفال، فقد بينت دراسة Greave (1988) إن لعوامل العدوى دوراً محفزًا لنشوء ALL لدى الأطفال، من خلال دراسة أنماط أعمار الأطفال المصابين بالعدوى وذروة إصابتهم بمرض ابيضاض الدم.



9-1: علاج سرطان الدم

يتميز مرض ابيضاض الدم اللمفي الحاد بمسار سريري سريع وتكون خلايا الدم البيض فيه غير ناضجة Immature Blood Cells ويطلب العلاج الآني لسرعة ظهور أعراضه وتجمع الخلايا الخبيثة التي بدورها تنتقل إلى مجرى الدم وتنشر في أعضاء الجسم (Bain, 2010).

نظراً لخصوصية هذا النوع من السرطان لذا فإن عملية العلاج تعد عملية معقدة ومتعددة الجوانب وتختلف من نوع لأخر من أنواع سرطانات الدم ومن مريض لأخر. تعتمد عملية العلاج على جوانب متعددة ومترادفة مثل مسلك الخلايا السرطانية وكثافتها ومدى انتشارها إضافة إلى عمر المريض وحالته الصحية وبنائه الجسدي. يعد البدء المبكر بالعلاج خطوة مهمة في التعامل مع المرض؛ إذ يستهدف العلاج الوصول بالمريض إلى مرحلة حصار الخلايا المصابة بابيضاض الدم والوصول بها إلى ما يعرف بحالة الاستقرار وبعد ذلك القضاء عليها (Plummer *et al.*, 2016).

تمر مراحل العلاج بعد خطوات تبدأ بمرحلة الاستقرار Remission Induction يليها مرحلة ترسيرخ الاستقرار Consolidation وهذه تميز بالحرص على حماية الجهاز العصبي المركزي والمرحلة الأخيرة للعلاج تتضمن عملية الوقاية والمحافظة Maintenance على مكتسبات المراحل الأولى من العلاج (Chessells, *et al.*, 1995; Chu, *et al.*, 2006). بعد التنبؤ بمؤشرات الإصابة المرض والتken بالمردود العلاجي أهم متطلبات بدء العلاج وهذه تحدد من قبل الطبيب المختص عبر معطيات الفحوصات السريرية والمختبرية والتي بموجبها يتم تصنيف حالات الإصابة بابيضاض الدم إلى ثلاث فئات نسبة إلى ضراوة المرض:

• الأولى: فئة ذات الخطير القياسي Standard Risk و هذه الفئة تستجيب للعلاج وتحقق نسب شفاء عالية نسبيا.

• الثانية: فئة الخطير المرتفع High Risk

• الثالثة: فئة الخطير الشديد Very High Risk

أما الفئتين الأخيرتين فتستلزم أساليب علاجية مكثفة فقد تكون معقدة نسبياً تتنوع أساليب العلاجات المستخدمة في التعامل مع ابيضاض الدم ابتدأً بالعلاج الإشعاعي Radiotherapy الذي يستخدم في علاج حالات الأورام الحميدة والخبيثة باستخدام X-Ray أو Gamma Ray إذ تعمل هذه الأشعة بفعالية كبيرة على قتل الخلايا المصابة في طور التكاثر وذلك من خلال إحداث ضرر في



DNA لهذه الخلايا مما يعدل من التعبير الجيني وموت الخلايا المنقسمة (Linetet *et al.*, 2007; Boyle and Levin, 2008). يعد التداخل السلبي الناجم عن التعامل مع الإشعاع أحد أهم المشاكل المصاحبة لعلاج مرض ابيضاض الدم؛ حيث يؤثر الإشعاع في خلايا الأنسجة الطبيعية مسبباً ضرراً قد يرتفع إلى مستوى الإصابة بنوع جديد من السرطان نتيجة الأذى التطفيري الذي يطال DNA الخلايا السليمة من ناحية أخرى نجد إن للإشعاع تأثيراً سلبياً آخر يشمل في إمكانية تثبيط نخاع العظم مؤدياً إلى تلفه بشكل دائم (Canalle *et al.*, 2004; Alberst, *et al.*, 2008).

يمثل **العلاج الكيميائي Chemotherapy** النوع الثاني من العلاجات المستخدمة في التعامل مع سرطان الدم ويتم فيه إعطاء المريض أدوية من نوع Busulfan, Hydroxyurea, Tasigna, Etoposide, glivec, Daunorubicin,(National Cancer Institute, USA; Leukemia- Version,2014) تمر إستراتيجية العلاج الكيميائي بثلاث مراحل:

◀ **مرحلة الحث Induction** وفيها يتم تهدئة المرض عبر تدمير واستبدال الخلايا المصابة بأخرى سلية، وخلال هذه المرحلة يعطى المريض أدوية ذات تأثير قوي لفترة طويلة نسبياً قد تصل إلى شهر تبعاً لصنف سرطان الدم وفيها تخلف خلايا دم جديدة.

◀ **مرحلة التكيف Intensification** وهي مرحلة ملاحقة الخلايا السرطانية عبر إعطاء المريض العلاجات الكيميائية المستخدمة في مرحلة الحث ولكن الأدوية قد تعطى في دورة واحدة أو اثنين لخمسة أيام على مدار شهر إلى ثلاثة أشهر.

◀ **مرحلة المداومة Maintenance** وهي المرحلة التي يتم التركيز فيها على الحيلولة دون نمو الخلايا السرطانية مرة أخرى؛ وفيها يتم تلقي علاجات كيميائية ضعف من المرحلتين السابقتين ولكن لفترة زمنية أطول قد تمت إلى ثلاثة سنوات. لا تعطى علاجات المداومة في جميع أنواع سرطان الدم لكنها تعتبر مرحلة مقبولة وضرورية في علاج سرطان الدم اللمفي الحاد(Lacklitz,2003).

تستخدم مركبات حيوية ينتجهها الجسم طبيعياً أو الأدوية المصنوعة من مركبات حيوية لعلاج **بيونولوجية Biotherapy** في تعزيز دفاعات الجسم ضد المرض نفسه، وهي **بنوعين: الأجسام المضادة للفيروسات ألفا والعلاج الموجه** ويكون باستخدام العقاقير التي تهاجم أنواع معينة من الخلايا السرطانية دون الإضرار بالخلايا السليمة.



يمثل التداخل الجراحي إجراءً نادراً ما يستخدم في التعامل مع سرطانات الدم، فعلى سبيل المثال يتم إزالة الطحال جراحياً عند تلقي العلاج الكيميائي مع تقلص الورم الموجود في الطحال والذي يكون متضخماً مما يسبب تدمير خلايا الدم الحمراء والصفائح الدموية مما ينجم عنه حدوث النزيف وفقر الدم (Doubek, *et al.*, 2009).

10-1: التأثيرات الجانبية للعلاجات الكيميائية

يعد استخدام العلاج الكيميائي بوصفه أحد الوسائل المستعملة في علاج الأمراض السرطانية الذي ارتبط استخدامه مع ازدياد الإصابة بابيضاض الدم الملفاوي الحاد (Deschler and Lübbert, 2008) وقد ينشأ ابيضاض الدم الملفاوي الحاد بوصفه ورماً ثانياً (Second Neoplasm) ناتج من ابيضاض الدم النخاعي الحاد AML نتيجة التأثيرات الجانبية من المعالجة بالعقاقير الكيميائية (Tsuboi, *et al.*, 2003)، وتشير الدراسات إلى أن مرض ابيضاض الدم الملفاوي الحاد يمثل ما يقارب 10% من حالات ابيضاض الدم الحاد التي تنشأ بوصفه ورماً ثانياً (SN) في كل من البالغين والأطفال (Hunger, *et al.*, 1992). إن الإصابة بابيضاض الدم الثانوي Myelodysplasia قد تنتج عن إصابة سابقة بسوء النمو النخاعي Leukemia أو نتيجة استعمال سابق للعلاج الكيميائي في علاج أمراض سرطانية أو غير سرطانية (Deschler and Lübbert, 2008).

يعد تحديد الجرعة المناسبة من المبادئ الأساسية لعلاج السرطان إذ إن تقليل الجرعة يسبب انخفاضاً في نسب الشفاء، فتقليل جرعة العلاج بنسبة 20% ممكن أن يؤدي إلى انخفاض نسب الشفاء بنسبة 50%， أما في حالة التعرض لجرعات مفرطة عندها قد لا يستطيع المريض تحمل الآثار الجانبية الناتجة عن العلاج، علماً إن قتل الخلايا السرطانية لا يزداد مع زيادة جرعة العلاج مما أصبح ضرورة تشكيل قواعد تفصيلية "للجرعات"، والتي توجه الطبيب إلى الجرعة الصحيحة، يتم تحديد الجرعة حسب المساحة السطحية لجسم المريض، ويتم حساب المساحة السطحية للجسم من خلال صيغة رياضية، وذلك باستعمال طول وزن المريض (Page and Takimoto, 2004). يأتي عمل هذه العلاجات من خلال آلية للتأثير والقضاء على الخلايا السرطانية، حيث يتطلب استخدام العلاجات الكيميائية فهم شامل لعلم الأورام، وحركيات الدواء، علاوة على ذلك مقاومة الأدوية، يتم في الوقت الحالي علاج الإصابات السرطانية في مراحله الأولى باستعمال العلاج الكيميائي لوحده.



يختلف استخدام العلاج الكيميائي لكل مرحلة من مراحل الإصابة بسرطان الدم باختلاف النوع وعليه يتم تحديد نوع العلاج الكيميائي، وجرعاته استناداً إلى مدى استجابة المريض للعلاج الكيميائي ومستوى خطورة المرض (Cstagnola, et al., 2005; Thomas, et al., 2006)؛ حيث تكمن فاعلية العلاج الكيميائي في قدرته على تثبيط مراحل التطور والنمو السريع للخلايا السرطانية التي هي بطبيعتها خلايا نشطة وسريعة الانقسام والتكاثر، مما يعيق وظائفها الحيوية بالانقسام و يؤدي إلى تدميرها.

هناك العديد من الآثار الجانبية للعقاقير الكيميائية العلاجية على بعض أنواع الخلايا الطبيعية التي تنمو بسرعة وتتكاثر بغزارة وبشكل مستمر الاستبدال كما هو الحال في الشعر ومخاطية الأمعاء والدم ونخاع العظام ، وهذا يفسر ما يحصل من تأثيرات سمية شائعة للعلاج الكيميائي على الشعر والأمعاء (تقى وإسهال) والدم (انخفاض في عدد خلاياها) ونخاع العظام (انخفاض فعالية الجهاز المناعي) (Aapro, et al., 1998)، ويعُد من أهمها وأكثرها شيوعاً ما يعرف اصطلاحاً بـ“تثبيط النخاع العظمي والناجم عن التأثير المدمر للعقاقير الكيميائية على أنسجة النخاع العظمي وخلاياه.

يستمر تعداد كل نوع من خلايا الدم بالانخفاض خلال مدد متفاوتة عقب تلقي المعالجات، حيث يبلغ تعداد الكريات البيض والصفائح الدموية مستوى الندرة خلال مدد تتراوح ما بين 3 إلى 7 أيام وأحياناً خلال 14 يوم، بينما قد يبلغ تعداد الكريات الحمر ذلك المستوى خلال عدة أسابيع، إذ أنها تعيش لفترة أطول (Lanzkowsky, 2011). علاوة على ذلك تظهر عوارض أخرى عند حالات ابيضاض الدم والأورام اللمفية يعرف بمثلازمة انحلال الورم وتعتبر إحدى التأثيرات الجانبية للعلاج الكيميائي وينتج عن هذا الانحلال السريع للخلايا اللوكيمية واللمفاوية اختلال في نسب بعض المعادن بالدورة الدموية يظهر ذلك بأرتفاع معدلات الفوسفات وحامض البوليك وانخفاض معدلات البوتاسيوم مما يؤثر على الكليتين والقلب والجهاز العصبي (Bethesda, 2006) وبعد عدة جرع من العلاج الكيميائي يصل المريض إلى مرحلة الشفاء التام عندما تكون نسبة الارومات اللمفية في نخاع العظم أقل من 5% مع عدم وجود الارومات اللمفية في الدم المحيطي (Howard and Hamilton, 1999 ; Hean, 1995)

11-1: مآل المرض

يمثل مآل المرض النسبة المئوية لمرضى ابيضاض الدم اللمفي الحاد الذين قد يتمكنون من البقاء على قيد الحياة خلال مدة تتراوح ما بين 5-15 سنوات عقب إتمام دورة العلاج، ورغم تواجد تغيرات



عديدة بين المرضى إلا أنه توجد عوامل كثيرة محددة لمال المرض ويمكن من خلالها التنبؤ بمصير مرضى سرطان الدم اللمفي الحاد أما إن يكون جيد أو سيئ (Mittal and Meehan, 2001). يبين **الجدول 1-2** أهم العوامل التي تحدد مآل ابيضاض الدم اللمفي الحاد (Schumacher, *et al.*, 2002; Gillil and Tallman, 2002).

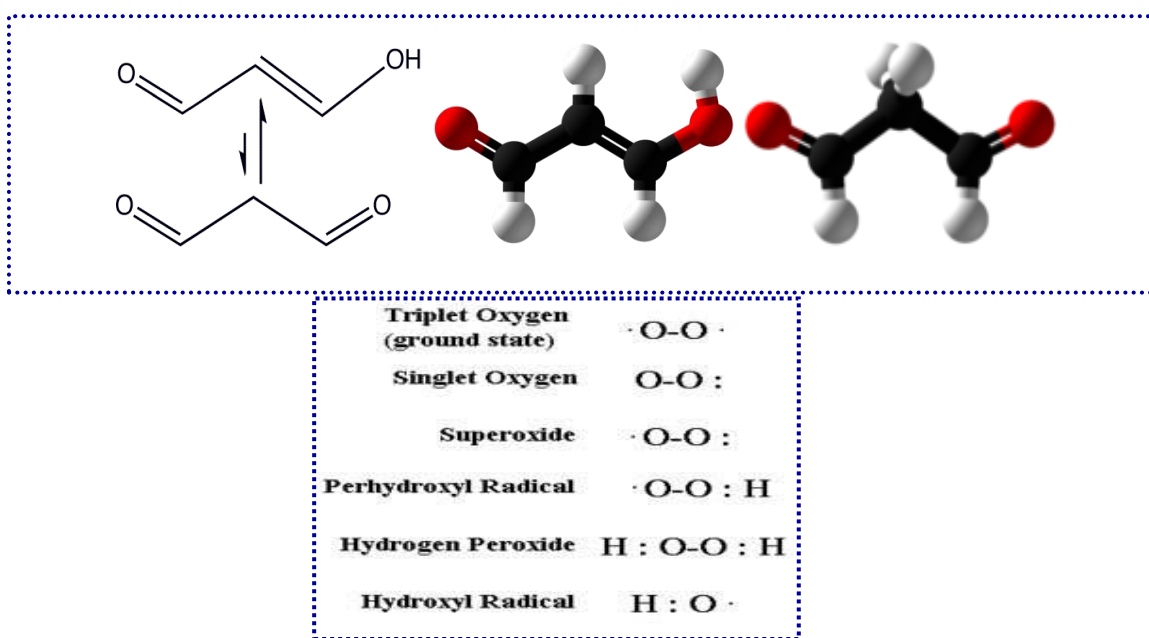
الجدول 1-2: أهم العوامل المحددة لمال مرض ابيضاض الدم اللمفي الحاد

Poor Prognosis مصير المرض السيئ	Good Prognosis مصير المرض الجيد
أكثر من 50 سنة واقل من سنتين	العمر يتراوح بين 2-9 سنوات
شكل الأرومة (Blast) هو L ₂	شكل الأرومة (Blast) نوع L ₁
العرق الأسود	العرق الأبيض
الذكور	الإناث
قيمة الهيموغلوبين أقل من 7 غرام /ديسيلilitر	قيمة الهيموغلوبين أقل من 10 غرام /ديسيلilitر
عدد خلايا الدم البيض أقل من 50×10^9 /لتر	عدد خلايا الدم البيض أقل من 10×10^9 /لتر
إصابة الجهاز العصبي المركزي CNS	غياب اصابة الجهاز العصبي المركزي CNS
عدم المرور بفترة نقاهة تامة Complete Remission بعد 14 يوم من العلاج	مرور بفترة تامة للنقاوة Complete Remission بعد 14 يوم من العلاج

يُعدُّ مآل المصابين بابيضاض الدم اللمفي الحاد من الأطفال دون سن 13 عاماً جيداً عادة، حيث يحصل تراجع للأعراض للمرض في جميع الأطفال المرضى تقريباً، ويشفى 85% منهم شفاءً كاملاً، أمّا مآلء في البالغين المصابين بابيضاض الدم اللمفي الحاد فهو أقل جودةً، لأنَّ 40% فقط من المصابين بهذه الحالة يشفون تماماً. تقوم معالجةً ابيضاضِ الدم اللمفي الحاد على توليفه من الـ علاج الكيميائي والإشعاعي، وفي بعض الحالات، يمكن أن يحتاج الأمر إلى زرع نقي العظم Bone Marrow Transplantation أيضاً لتحقيق الشفاء، إذا لم يكن الشفاء ممكناً، وهناك خطرٌ من أن يؤدّي غيابُ أو نقص كريات الدم السليمة إلى جعل الشخص معرضاً بشدةً لحالات عدوٍ مهدّدة للحياة بسبب نقص كريات الدم البيضاء أو لنزف خطير وغير مسيطر عليه بسبب نقص الصفيحات .(Wartenberg, *et al.*, 2008)

12-1: الأكسدة الخلوية الطبيعية والإجهاد التأكسدي

يعد الأوكسجين العنصر الأساس للشروع في عمليات الاحتراق وتحرير الطاقة من الجزيئات الخلوية المختلفة و طبيعاً يتم تحول 1-3% من كمية الأوكسجين المستنشق إلى جزيئات Reactive Oxygen Species (ROS) تعرف بالمؤكسدات **Oxidants** مثل Reactive Species فعالة (RS). تقسم الجزيئات الفعالة هذه تبعاً Reactive Nitrogen Species (RNS) و (ROS) Superoxide Free Radicals مثل Non Radical Molecules والصنف الثاني هي المركبات غير الجذرية Malondialdehyde و Hydrogen Peroxide.



الشكل 1-2: التركيب لبعض أنواع الجذور الحرة الأوكسجينية والتركيب الكيميائي

لل Malondialdehyde والشكل الفراغي للهياكل الوسطية للمركب

تلعب RS أدواراً محورية في عدد من العمليات الحيوية مثل عملية البلعمة Phagocytosis (Atalay and El-Aaksonene, 2000) كذلك تشارك الجذور الحرة في التصنيع الحيوي Prostaglandin من خلال أكسدة الأحماض الدهنية غير المشبعة بعملية الأكسدة الفوقية للدهون في الصفائح الدموية، كما إن لاوكسيد النتریک (NO^{\cdot}) دوراً أساسياً في تنظيم مستوى ضغط الدم، علاوة على الدور المحوري الذي تلعبه في الفعل العلاجي للعقاقير (Ghareeb and Sarhan, 2014) و



أخيراً دورها المساعد في تحطيم الأنسجة السرطانية أثناء العلاج الإشعاعي (Kanner, *et al.*, 1999).

تعد المايتوكوندريا المصدر الرئيسي للجزيئات الفعالة RS المنتجة طبيعياً وذلك عن طريق التحولات الطاقية الحاصلة عبر سلسة نقل الالكترونات (السلسلة التنفسية) على طرفي غشاء المايتوكوندريا أثناء عمليات الأكسدة و إنتاج الطاقة داخل الخلية، على ذلك نجد أن عدداً من إنزيمات Cytochrome 450 تلعب دوراً تحفيزاً مهماً في إنتاج تلك الجزيئات الفعالة، و اضافه الى إنتاجها داخلياً نجد إن هناك العديد من الظروف الخارجية ذات الأثر الكبير في زيادة المنتج الطبيعي من الفصائل الفعالة مثل التعرض للملوثات بأنواعها والتدخين المفرط وارتفاع مستويات أملاح الحديد والأصباغ الصناعية في الأغذية المستهلكة و أخيراً التعرض للإشعاع المؤين (Fenech, 2000; Szczepanska, *et al.*, 2003; American Cancer Society, 2015).

تقوم الخلية بحماية مكوناتها الحيوية كالبروتينات ووحدات الأحماض الدهنية غير المشبعة ضمن تركيب الدهون الفوسفاتية Phospholipids في الأغشية الخلوية اضافه الى المكونات النووية، من الضرر الخلوي الذي يمكن إن تسببه الجزيئات المؤكسدة (Veena, *et al.*, 2012) حيث تؤدي هذه الأنظمة أدوارها في حماية الخلية عبر: القيام بعمليات الإصلاح Repair Processes للموقع المهاجمة في الخلية أو من خلال القيام بشطر أو تجزئة Compartmentalization الجذور الحرارة الناتجة عن عمليات الأكسدة الخلوية مانعة إياها من إظهار فعلها التخريبي من ناحية ومن ناحية أخرى الحيلولة دون تكون جذور حرارة جديدة منها (Fahmy, *et al.*, 2014).

تبرز إنزيمات المنظومة الدفاعية Defense Enzymes كمضادات للمركبات المؤكسدة مثلها Superoxide Dismutase (SOD) الذي يقوم بتحفيز تفاعل التعامل مع جذر Superoxide الحر، وإنزيمات Catalase و Peroxidase التي تحفز تفاعلات التعامل مع جزيئات Lipid Peroxide و Hydrogen Peroxide و أخيراً تضم الخلايا طبيعياً على مضادات التأكسد الداخلية والخارجية المنشأ Endogenous and Exogenous Antioxidants غير الإنزيمية Free Radical (Dietrich, *et al.*, 2002).

.....

Plant Flavonoids و Vitamin C و Vitamin E و Glutathione مثل Scavengers .(Fenech, 2000; Prabha, *et al.*, 2012)

يعرف الإجهاد التأكسدي الخلوي Cellular Oxidative Stress على انه حالة عدم التوازن بين الـ فصائل الأوكسجينية أو النايتروجينية الفعالة والمعروفة اصطلاحاً بالـ مؤكسدات (Lefta, 2017; Matlab, 2017) لصالحة الجزيئات المؤكسدات Antioxidants و أنظمة مضادات الأكسدة Oxidants الرياضة المفرطة (Sastre, *et al.*, 2010) الحمل (Lamprecht, *et al.*, 2004) والتقدم في السن (Chang, *et al.*, 2017) والتدخين (Sohal, 2002) وأمراض القلب الوعائية (Al-Nemeroff and Goldschmidt, 2012) والداء السكري (Ivanov and Vasileva, 2011) و هشاشة العظام والتهاب المفاصل الرثوي (Schrag, *et al.*, 2011) و أمراض الكبد والجهاز الهضمي (Bjelakovic, *et al.*, 2011) و الزهايمير (Frustaci, *et al.*, 2012) والتوحد (Hangauer, *et al.*, 2017) وأخيراً أشارت الدراسات الى تزامنية حدوث الإجهاد التأكسدي مع أنواع مختلفة من السرطانات .

تصنف ROS حسب تفاعلاتها الى جذور مختزلة Reducing Radicals وجذور مؤكسدة Oxidizing Radicals، وعند اتحاد الجذور الحرة للأوكسجين مع جزيئات المادة الحية في الأنسجة والخلايا الجسمية تحولها الى جذور حرة جديدة، وان هذه السلسلة من التفاعلات المولدة للجذور الحرة تكون منتظمة الحدوث في الجسم وتزداد في الحالات المرضية ملحقة الأذى بالخلايا الحية، وان الضرر الناتج عن تفاعلات الجذور الحرة يكون غير محسوس لحين الوصول الى مرحلة متقدمة من الأذى الذي يسمى بالأذى التأكسد (Atalay and El-Aaksonene, 2000).

تُظهر الجذور الحرة فعلها في إلحاقة لأذى وتحطيم الجزيئات الحيوية في الخلية عبر عدة آليات؛ أهمها:

■ الأكسدة الفوقية للدهون Lipid Peroxidation إذ تعمل الجذور الحرة على بدء وتحث عملية الأذى للمركبات الدهنية ثم تحطيمها وتوليد جذور حرة أخرى.

■ تحطيم الأوصار البيتيدية مؤدية الى تغير في تركيب البروتينات الخلوية مسببة فقدان نشاطها وتغيير في قابليتها على إظهار وظائفها الحيوية.



■ تحطيم الجسيمات الحالة Lysosomes Damage

حيث تؤدي الجذور الحرة دوراً مهماً في تحطيم أغشية الجسيمات الحالة، مما يؤدي إلى تحرير الإنزيمات الهاضمة Lysozymes إلى داخل الخلية واستهداف أهم العضويات فيها.

■ تحطيم الأغشية الخلوية Membrane Damage

تهاجم الجذور الحرة الأغشية الخلوية وتؤدي إلى فقدان نشاطها النفاذى الطبيعي، حيث تحدث عملية الأكسدة الفوقيه للدهون عندما يفوق إنتاج الجذور الحرة قدرة الأنظمة الداعية المضادة للأكسدة لكسحها او التخلص من نواتجها ونتيجة لأكسدة الأحماض الدهنية غير المشبع الموجود في الأغشية الخلوية يتكون غشاء مشرب تنفذ السوائل والمواد منه واليه بدون تحكم أي فقدان صفة النفاذية الاختيارية للغشاء Selective Lipid Permeability (Suwimol, 2005) إذ يتكون هيدروبيروكسيد الدهن Hydroperoxide عند أكسدة الحوامض الدهنية ومن ثم يحدث تجزؤ Fragmentation Malondialdehyde (MDA) بالأخير مركبات ذات سلاسل قصيرة هي (Block, et al., 2002).

■ التغيرات النووية

أشارت الدراسات إلى الدور الذي يلعبه جذر الهيدروكسيل (OH⁻) في التفاعل مع جزيء DNA وذلك عبر شطب القواعد النتروجينية المفردة الأواصر الهيدروجينية، والـ Guanine بشكل خاص التي تعد أكثر القواعد النتروجينية حساسية تجاه عمليات الأكسدة (Sheikh, et al., 2012) علاوة على ذلك اظهر جذر السوبر اوكسيد السالب (O⁻) دوراً كبيراً في الأكسدة غير الطبيعية للأحماض النووية مؤدياً إلى تولد أنواع جديدة من الجذور الحرة مثل جذر الهيدروكسيل (Costantini, 2014) و بيروكسي الهيدروجين (H₂O₂) (Kolling, et al., 2011).

13- الإجهاد التأكسدي و السرطان

تبعاً للأدوار التي تلعبها الجذور الحرة في الخلية الطبيعية وتحولها إلى خلية سرطانية تقسم مراحل التأثير إلى ثلاثة مراحل:

■ المرحلة الأولى- خطوة البدء (الشرع)

نتيجة لتأثير المادة الوراثية في الحامض النووي منقوص الأوكسجين بنشاط الجذور الحرة تخضع الخلية في هذه المرحلة إلى حصول تغيرات على المستوى الجزيئي ينجم عنها حدوث الطفرات



و بالتالي إحداث جملة من ال تغيرات والتحورات في الطبيعة التركيبية للخلية ، ونتيجة لذلك يحدث زيادة في الانقسام الخلوي.

● المرحلة الثانية- خطوة التحفيز Promoting Step

تتميز هذه المرحلة بنشاط المسارات الايضية بشكل كبير مؤدية الى توليد عدد من المركبات التي تزيد بدورها من توليد أنواع جديدة من الجذور الحرة بعد تأثير المادة الوراثية بنشاط الجذور الحرة وانخفاض في فعالية الدفاعات الخلوية المضادة لعمليات التأكسد وبالتالي فقدان حالة التوازن و ظهور الخلية السرطانية.

● المرحلة الثالثة - خطوة الانتشار Progression Step

تنسم هذه المرحلة بظهور الورم السرطاني كمحصلة نهائية للزيادة المفرطة في النمو والانقسام والتمايز للخلية السرطانية و تعد المرحلة الأخيرة في حدوث السرطان.

خلوياً، تتغير مستويات عدد من مضادات الأكسدة في الحالات المصاحبة لزيادة عمليات الأكسدة المستحثة بالجذور الحرة حيث يصبح النشاط الطبيعي لأنظمة مضادات التأكسد غير كافٍ لکبح و إيقاف الإنتاج المفرط للجذور الحرة أو التعامل مع الأذى الناجم عنها في العديد من الحالات المرضية يتقدمها مرض السرطان (Porporato, *et al.*, 2017)، فقد أشارت الدراسات الحديثة إلى إن انخفاض مستويات نظام مضاد التأكسد Mn-SOD يؤدي إلى زيادة نشاط الجينات المحفزة للسرطان مؤدياً إلى إحداث حالة التسرطن؛ علاوة على ذلك فقد لوحظ نشاط غير مسبوق لمستوى التعبير الجيني للخلايا السرطانية عند انخفاض مستوى إنتاج مضادات التأكسد من النوع (Plastaras, *et al.*, 2002)

أشارت العديد من الدراسات إلى الدور الذي تلعبه مضادات الأكسدة غير الإنزيمية مثل الكلوتاثيون في علاج بعض الأورام السرطانية، إذ تعمل هذه المركبات على تثبيط نمو الخلايا السرطانية (Amer, 2001)، في حين أظهرت دراسات أخرى أن لمضادات الأكسدة هذه دوراً في منع حدوث المسرطن من ناحية والقضاء على الخلايا السرطانية من ناحية أخرى (Damianaki, *et al.*, 2000; Pathak, *et al.*, 2003).

حديثاً أشارت عدداً من الدراسات للدور الكبير الذي تلعبه مضادات التأكسد في حماية الجسم من الأمراض المزمنة، فقد أثبتت البحوث أن المغذيات المصنفة كمضادات أكسدة خارجية مثل فيتامين C



و فيتامين E ومجموعة من المركبات الطبيعية والمتناولة تغذوياً والمضادة للتأكسد تلعب دوراً مهماً في كبح نمو الخلايا السرطانية في حين أكدت دراسات أخرى على دور هذه المركبات في الحيلولة دون حدوث السرطان وتقليل احتمال انتشاره (Parolini, *et al.*, 2015) وأدت نتائج هذه الدراسات إلى التوجه نحو استخدام مضادات الأكسدة في أنواع عديدة من العلاجات المختلفة ومنها الأورام السرطانية كعلاجات بديلة (Saedi, *et al.*, 2014).

14-1: اللكتينات

1-14-1: التعريف

بروتينات (بروتينات سكرية) معقدة التركيب ترتبط على السطح الخلوي وتترافق مع الحشوة الخارجية خلوية extracellular Matrix وتعمل كجزيئات توسط آليات الترابط بين الخلايا المجاورة أو داخل الخلية من خلال دوره التكبي (Rabia, *et al.*, 2013)، علاوة على ذلك وجودها في جميع الخلايا حقيقة النواة (Raymond, 2007; Pela'ez and Long, 2007; Kim, *et al.*, 2007)، وكذلك في بعض الفيروسات (Zampini, *et al.*, 2003)، وبذلك في بعض البكتيريا (Optizst, *et al.*, 2007; Chandrasekarant, *et al.*, 2008) لها القدرة على الارتباط بالسكريات الأحادية البسيطة منها والمشتقة وبانتقائية عالية يجعلها مميزة للنوع المرتبطة اليه فقط (De Wolf and Brett, 2000; Pierini, 2007; Rasha, 2010).

1-14-2: نظرة تاريخية على اللكتينات

اكتشفت اللكتينات وتم عزلها ببدايةً في النباتات فقد عزل أول أنواع اللكتينات من نبات الخروع في العقد الأخير من القرن التاسع عشر وعرفت حينها باسم Agglutinin أي المتلازن وذلك لمقدرة هذا النوع من المركبات على التلازن (الارتباط لا تأصرياً) إلى سطوح كريات الدم الحمراء لتبدياً من حينها الدراسات الموسعة عنها والتعرف على أدوارها (Sharon and Lis, 2004) الحيوية، ثم مالبث أن تم عزل العديد منها من مصادر حيوانية كسمك الانقلتراي الرفاعي (Keher, *et al.*, 2006) وسرطان البحر من نوع حذوة الحصان (Tirape, *et al.*, 2007) وبعض أنواع الرخويات (Aprikian, *et al.*, 2007) والبكتيريا (Yu, *et al.*, 2007; Huang, *et al.*, 2007) عندما تم تسميتها باللكتينات.



للكتينات وظائف عديدة ومتعددة في الخلايا المختلفة تتدرج من دورها في السيطرة على إنتاج البروتينات السكرية وزيادة الترابط بين الخلايا إلى مساهمتها في تحفيز وتطور الجهاز المناعي ضد الأمراض عبر تحفيز انقسام الخلايا المفاوية (Morgan and Watkines, 2000). في نهايات القرن العشرين بدأت المحاولات الأولى للتحري عن وجود الكتينات في جسم الإنسان، بعدها تم عزل وتشخيص أنواع عديدة منها من عينات نسيجية ومصلية للإنسان (Sharon and Lis, 2004; Rasha, 2010).

صنفت الكتينات المتعددة في مجموعتين كبيرتين استناداً إلى اعتمادها المعدني ، الأولى: الكتينات المعتمدة في تلازمها على وجود أيون الكالسيوم Ca^{2+} (**C-Type Lectins**) والثانية: مجموعة الكتينات المستقلة عن الكالسيوم والمعتمدة على S (**S-Type Lectins**) (Tielker, *et al.*, 2005). تتضمن عائلة **C-Type Lectins** كل من الكتينات القابلة للذوبان في الماء والبروتينات التكاملية في غشاء الخلية، حيث تتميز حاجتها لا يوجد Ca^{2+} من أجل فعاليتها وتركيب متسلسل من الأحماض الامينية الثابتة التي يشتمل وزنها على ما يقارب 15% من مكوناً كاربوهيدراتياً (Quesenberry, *et al.*, 2003).

تقسم عائلة C-Type Lectins إلى مجموعتين: ترتبط الأولى عبر تكوين أواصر مع سكر الكالكتوز، في حين ترتبط الثانية عبر تكوين أواصر مع سكر المانوز ، ونتيجة لهذه الانتقائية في الارتباط تعمل الكتينات في هذه العائلة كمستقبلات للروابط الداخلية أو الخارجية من ضمنها سطوح خلايا المسيبة للأمراض السرطانية بالاستناد إلى تركيبها الجيني (Liu, *et al.*, 2007)، كما تؤدي أدواراً حاسمة في المناعة الفطرية ضد الفيروسات والبكتيريا حيث الخلايا القاتلة الطبيعية، ومستقبلات إنزيم البلعم أيضاً تشارك بشكل مباشر أو غير مباشر في كبح الخلايا السرطانية (Quesenberry, *et al.*, 2003; Roos, *et al.*, 2007) Mannose Binding Lectin. أكدت الدراسات الحديثة أن (MBL) الذي أضيف إلى المسارات الدفاعية للخلايا ويعتبر أحد المؤشرات الكيميائية التي تتغير مستوياتها عند التعرض للإصابة بالسرطانات كونها وبذا فقد تم تعريفه كأحد الدوال المرضية، وقد تم تحديد مدياته لدى الأفراد الأصحاء وكذلك تم قياس مستوياته لدى المصابين في كثير من الأمراض (Damodaran, *et al.*, 2008)

تعمل الكتينات كمستضدات بروتينية ترتبط مع البروتينات السكرية على أسطح الخلايا وفي بعض الأحيان تكون بروتينات دهنية على خلايا الدم الحمراء والخلايا المفاوية كما تعمل بعض أنواع



الكتينات كمواد مسببة للحساسية (Fang, *et al.*, 2010) Allergens، من جانب آخر أكد العديد من العلماء في اختبارات أجريت خارج الجسم على أنواع من الكتينات يمكن أن تثير استجابات مناعية مختلفة بعد أن يتم سحب بعض أنواع الكتين من القناة الهضمية للحيوانات المختبرية إذ يمكن أن ترتفع مستويات الأضداد المناعية من نوع IgG و IgE من خلال قياس الأجسام المضادة في الأمعاء والكبد والبنكرياس والطحال وغدة التوئه حيث أظهرت النتائج ارتفاع مستوى الأجسام المضادة للكتينات في الدم وتقرحات الأمعاء مع ملاحظة وجود علاقة مباشرة بين الارتفاع في تركيز الأجسام المضادة وبين شدة الأعراض الناتجة عن زيادة استهلاك جرع الكتينات وتنوع الأمعاء وغدة التوئه هي الهدف الرئيسي لارتفاع مما يحدث خلل في تطور الخلايا اللمفية وحدوث سرطان الدم (Singh, *et al.*, 2009; Rabia, *et al.*, 2011; Movafagh, *et al.*, 2013) تلازم الكتين مع مستضدات الدم وبعض الأحيان لخلايا الدم بشكل كامل من خلال ارتباطه على سطح تلك الخلايا حيث تعمل الخلايا المناعية من نوع NK (Monocytes, Neutrophils) على الارتباط وحدوث التلازم مع خلايا الدم أو من خلال آلية المتمم بواسطة المسار الكلاسيكي وتحطيمها مما يسبب الأنيميا وسرطان الدم (Udeogu and Awuchi, 2016).

3-14-1: استخدامات الكتينات

وظفت خصائص الكتين وميزاتها العديدة في مجالات مختلفة، فقد استخدمت الكتينات النباتية والحيوانية الخام وكذلك المنقة في علاج عدد كبير من المُمرضات البكتيرية والفiroسية والفطرية التي تهاجم أجسام الكائنات المختلفة (Lam and Ng, 2011) فقد أشارت الدراسات إلى امتلاك أنواع من الكتينات فعالية مضادة للبكتيريا إذ سببت تثبيط نمو البكتيريا مثل *E.coli* و *K.pnuemonea* و *Salmonella Typhi* (Wani, *et al.*, 2011) تم استخدام الكتينات كمضادات للفيروسات، وجد أن MBL فعالاً في منع الإصابة والعدوى بفيروس H9N2، في حين أشارت الدراسات إلى دور MBL في الحيلولة دون الإصابة بفيروس نقص المناعة المكتسبة (HIV-1) لدى الإنسان (Lam and Ng, 2011) وذلك عبر منع تضاعف هذا الفيروس (Swanson, *et al.*, 2010). علاوة على ما تقدم، وجد أن الـكتينات تأثيراً مضاداً لنشاط فيروسات الكورونا، Activity Anti-Corona Viral و خاصة الـكتين من النوع MBL حيث يدخل في مرحلة مبكرة من دور النسخ المتماثل، (Keyaerts, *et al.*, 2007) Replication Cycle.



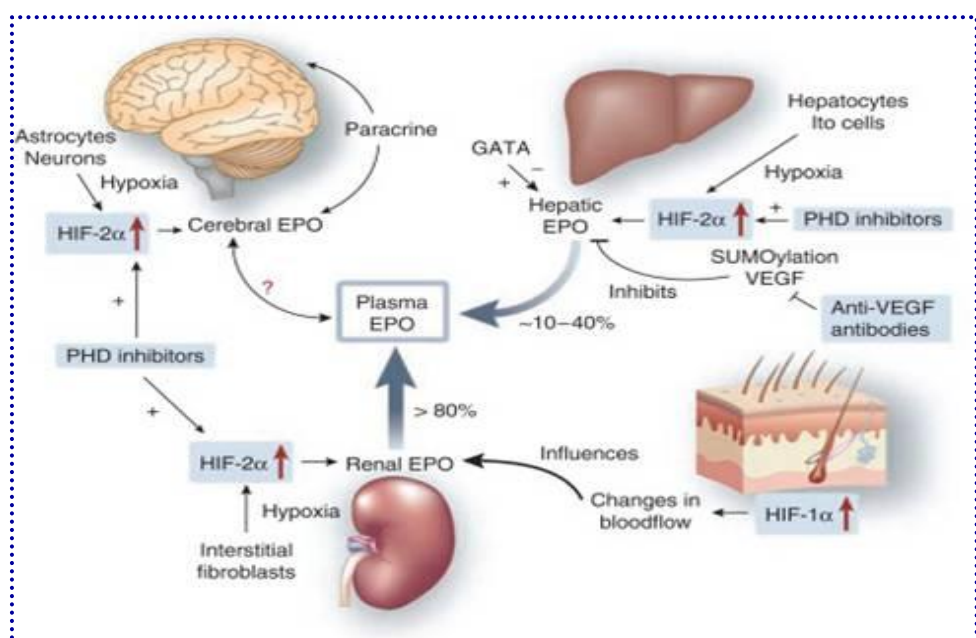
فهناك دراسات متفرقة أشارت إلى فعاليتها المضادة للجراثيم الممرضة (Ngai and Ng 2007) ونجاحها في مكافحة الديدان الخيطية (Wang, et al. 2005).

استخدمت اللكتينات في تمييز فصائل الدم المختلفة (Ng, et al., 2006) والتحري عن الإصابات المرضية المختلفة والسرطانية منها بشكل خاص لدى الإنسان ورصد تقدمها (Hatakeyama, et al., 2007). تعمل بعض اللكتينات على تثبيط تطور بعض الإلأمراض كالأمراض السرطانية ، فمثلاً اللكتين المنقى من الفطر *Flammulina velutipes* أدى إلى تثبيط انتشار سرطان الدم leukemia (Ng, et al., 2006) و اللكتين المنقى من الفاوصوليا الحمراء الداكنة يعمل على تقليل نشاط خلايا ابصاص الدم اللمفي، كما وجد أن للكتينات المقدرة على الارتباط مع العاقاقير المضادة للأورام السرطانية مثل مركبات Chlorambucil و Olaunomy اذ ظهرت زيادة في فعالية هذه المركبات العلاجية بوجود اللكتينات معها (Mody, et al. 1995; Lam and Ng, 2011).

استخدمت اللكتينات على نطاق واسع في التحضيرات التشخيصية والأغراض التحليلية في الكيمياء الحياتية والخطية والمناعة والعلوم الأخرى (Mody, et al., 1995)، كاستخدامها في دراسة الكاربوهيدرات ومشتقاتها على سطوح الخلايا (Sharon, 1987) ، واستخدامها كدلائل لتمييز الخلايا كتمييز الخلايا الجذعية عن طريق تحديد الكاربوهيدرات الموجودة على سطح الخلية Wearne et al., 2006).

15-1: هرمون الاريثروبويوتين

EPO (Erythropoietin) بروتين سكري وزنه الجزيئي 30,4 كيلو دالتون ؛ ينتج من الخلايا الطلائية الشعرية حول الفصية Peritubular Capillary Endothelial Cells في الكلية بشكل أساسي عند البالغين وبكميات قليلة في الكبد عند الأجنة (Marie, et al., 2017). يسيطر EPO على إنتاج كريات الدم الحمر Erythropoiesis من نخاع العظم الأحمر الذي يعد مصدراً له. يؤدي انخفاض مستويات إنتاج هذا الهرمون أو تعطل عمله إلى توقف إنتاج جسيمات الدم الحمراء والخلايا الموجودة في نخاع العظم فتتوقف عندها عملية إنتاج كريات الدم الحمراء (Harroon, et al., 2003). يعتمد توليف وإفراز هذا الهرمون على تركيز الأوكسجين في الدم إذ يعد نقصان مستوى الأوكسجين عاملًا محفزاً رئيسياً لإنتاج EPO (Percy, 2008).



الشكل 1-3: أهم الوظائف الحيوية التي يشارك هرمون EPO بادئها داخل جسم الإنسان

16-1: هرمون البيتيد الأذيني المُدر للصوديوم

ينتج هرمون البيتيد الأذيني المُدر للصوديوم (ANP) Atrial Natriuretic Peptide (ANP) بشكل بدائي من هرمون أولي Preprohormones ثم يتحول إلى الهيئة الفعالة المتمثلة بتوكيب حلقي طرفي مؤلف من 17 حامض أميني متصلة بجسور ثنائية الكبريت (Morikis, *et al.*, 2015). يخزن هرمون ANP في حبيبات خاصة في الخلايا العضلية القلبية للأذين ابتداءً بشكل بيتيد أولi ويفرز إلى بيتيد ناضج متكون من 28 حامض أميني ويدخل الدورة الدموية استجابةً إلى الضغط الحاصل في جدران الأذين (Angeli, *et al.*, 2015). هناك نسخة أخرى لهرمون ANP تعرف بـ Urodilatin تحتوي على 4 أجزاء طرفية من N-terminal توجد في الكلية وهناك بيتيدات أخرى تعود إلى عائلة البيتيدات الصوديومية مثل البيتيد الصوديومي نوع B-Type Natriuretic Peptide الذي يتواجد في الـ Natriuretic Peptides الأذينية ويكون مستواه مرتفعاً في Congestive Heart Failure البطنين استجابةً إلى إجهاد القلبخصوصاً لدى مرضى فشل القلب Patients و البيتيد الصوديومي نوع C-type Natriuretic Peptide منخفضة في القلب ويتوارد بمستويات عالية في الخلايا الغضروفية وله دور في نمو العظام الطويلة (Nathanson, *et al.*, 2016).



يبلغ عمر النصف لـ ANP 3 دقائق ولـ BNP 21 دقيقة، ينتج هرمون ANP ويخزن وينطلق بوساطة شرائين العضلة القلبية إذ يتم إفرازه استجابة إلى العديد من الإشارات التي تنتج من فرط الدم (Wang, *et al.*, 2013). ينظم هرمون ANP التوازن لسوائل الجسم كما يسيطر على توازن الماء والصوديوم والبوتاسيوم والدهون إذ يتحرر من خلايا العضلة القلبية من الردهة العليا للشريان استجابة إلى ضغط الدم العالي (Schlueter, *et al.*, 2014) من خلال الدراسات الفسيولوجية والكيموحيوية وجد أن هرمون ANP يؤثر أيضاً على فعاليات أعضاء أخرى في الجسم مثل الدماغ والكلى والرئة (Angeli, *et al.*, 2015).

يُزال هرمون ANP عبر مستقبلات نوع NPR-C الموجودة في الرئة والكليتين والكبد والأنسجة الدهنية ، إذ إن تنشيط ANP وتثبيط عمله يتم عبر تقسيمه من خلال أنزيم Neutral Endo Peptidases (NEPs) (Jujic' , *et al.* .., 2014) حيث يرتبط الهرمون بمستقبلاتها لتعمل على اختزال حجم الدم ولذلك يقل النتاج القلبي وبالتالي تنظيم ضغط الدم، وتزيد من عملية تحليل الدهون وتقلل إعادة امتصاص الصوديوم من الكلية ، و يؤثر هرمون ANP على الجسم من خلال التأثير على ضغط الدم وهذه الزيادة تحدث بوساطة نظام الرنين-انجيوتنسين-الاديسيرون (RAAS) والتأثير على موقع التنظيم في الدماغ حيث يحافظ هذا النظام على توازن الماء في الجسم (Potter, 2011).

بيّنت عدد من الدراسات أن ارتفاع مستوى هرمون ANP يستخدم علامة مهمة للعديد من الأمراض منها الأمراض التي لها علاقة بالقلب والكبد والدم (Andrade, *et al.*, 2011; Benedini, *et al.*, 2012) كما ترتفع مستويات الـ ANP في الدم ويدل هذا الارتفاع على حدوث خلل في معدل ترشيح كبيبات الكليتين نتيجة الإصابة ببعض الإمراض السرطانية مثل سرطان البروستات أبيضاض الدم الحاد بالإضافة إلى تأثيرات بعض العقاقير المستخدمة في العلاج الكيميائي لا أبيضاض الدم على القلب والكليتين (Bando, *et al.*, 2014; Uhlman, *et al.*, 2017).

17-1: العناصر النزرة

مجموعة من العناصر الانتقالية المتواجدة بمستويات ضئيلة للغاية لا تتعدي 50 ملي غرام / كيلوغرام، في أنسجة وسوائل الجسم (Davidm, *et al.*, 2011). يحصل عليها تغذياً ولا غنى للجسم عنها كونها تلعب أدواراً محورية في استمرارية العديد من الفعاليات الحيوية يتقدمها الدور الذي تظهره غالبيتها كمرافقات إنزيمية لعدد من الأنظمة الإنزيمية في الخلية، فقد تزامن نقصان مستوياتها

مع ظهور العوارض المرضية المرتبطة بتلك الإنزيمات في اداء أدوارها المساعدة كعوامل محفزة للتفاعلات الحيوية داخل الخلايا (Rana and Salah, 2016)

أشارت العديد من الدراسات الى إن التغيرات في مستوى عدد من العناصر النزرة كان مصاحباً لطيفاً واسعاً من الاعتلالات الصحية البسيطة منها، كتساقط الشعر ومشاكل الجلد واضطرابات الهضم ونوبات البرد المتكررة واضطرابات النوم والتعب غير المبرر الى المشاكل الصحية الكبيرة والمعقدة مثل أمراض القلب والأوعية الدموية والداء السكري والتعقيبات طويلة الأمد الناجمة عنه والسمنة والتوحد والزهايمر وأخيراً الإصابة بالسرطان وتقدم مراحله بسرعة (Ozgur, et al., 2013; Hamidreza, et al., 2017).

بعد النحاس **Copper** احد العناصر النزرة الأساسية في إنتاج الطاقة عبر المشاركة على عمليات الأكسدة والاختزال (Zuo, et al., 2006)، علاوة على الدور الذي يلعبه في عملية تخليق الدم والسيطرة على عمل الهيموغلوبين (Gaetke, et al., 2014). يساعد النحاس في عملية التمثيل الغذائي وتنظيم ضغط الدم وسرعة التئام الجروح وحماية الجسم من الإصابة بفقر الدم المنجل وشاشة العظام ويعمل مع كل من الخارصين وفيتامين C في عمل الأنسجة المرنة ويلعب دوراً مهماً في تنظيم التعبير الجيني و الحيلولة دون الإصابة بسرطان الدم (Khoshdel, et al., 2015; Zaki and Farag, 2010)

يؤدي نقصان مستوى النحاس المتناول تغذويًا أو تعطل آليات الاستفادة منه خلويًا الى ظهور العديد من العوارض المرضية تتدرج من بعض الاعتلالات العصبية البسيطة واضطرابات انتقال الإشارات الكهربائية في الجهاز العصبي المركزي الى واضطراب نخاع العظم و فقر الدم وأخيراً نقص إنتاج كريات الدم البيضاء (Angelova, et al., 2011; Labib, et al., 2014). يمكن أن يعود انخفاض مستوى النحاس في الدم الى مرض موروث كما هي الحال في Meknes's Disease الذي يشخص المريض فيه بعدم إمكانية امتصاص النحاس في الأمعاء (Ozgur, et al., 2013)، أما الزيادة في تركيز النحاس (ما يعرف بالتسنم بالنحاس) فغالباً ما يعود الى بعض الأمراض مثل Wilson Disease وفيه يقل طرح النحاس عبر الصفراء ويتراكم في الكبد والكليبة والدماغ (Sadhra, et al., 2007).

يوجد حوالي 2 غرام من **الخارصين Zinc** في جسم الإنسان البالغ يتوزع بنسبة 25% في العضلات و 65% في العظام وما تبقى في أجزاء الجسم الأخرى، يتواجد الخارصين في كافة مكونات



الخلايا ويتركز في النواة. تعد الغدة الكظرية والجلد وبعض مناطق من الدماغ والبنكرياس ومشيمة العين و البروستات والنطف من الأنسجة الغنية بالخارجيين (Mazdak, et al., 2010). يعد الخارجيين من المعادن الأساسية غذائياً ويؤثر بصورة جلية في أيض البروتينات والدهون والكاربوهيدرات والفسفور في معظم الكائنات الحية (Molina, et al., 2015)، فضلاً عن ذلك فهو مهم في تصنيع الأحماض النووية والتي تسيطر على مستويات إنتاج البروتينات في الخلية (Carl, et al., 2008).

أحد أهم وظائف الخارجيين في الجسم هي وضيفته كمرافق إنزيمي Cofactor في المنظومة الكاملة Holoenzyme للإنزيمات المعدنية المعروفة باحتياجها للزنك في أداء وظيفتها ، حيث يعد الخارجيين Cofactor لحوالي 300 إنزيم.

يكون الخارجيين ضرورياً لاستقرار الاندماج بين الإنزيم والمادة الأساسية في بعض الإنزيمات وفي إنزيمات أخرى يمثل الخارجيين الاليون المركزي لفاعلية تلك الإنزيمات ولكن غالباً ما يقوم الخارجيين بأداء كلتا الوظيفتين مثلاً يحدث في إنزيم Alcohol Dehydrogenase والإمكانية Carboxypeptidase A في الطعام و Alkaline Phosphatase في البكتيريا، و Deoxythymidine Kinase في الأنسجة الرابطة تحت الجلد (Johnson, 2001).

يشترك الخارجيين في دورة كريبيس Krebs Cycle لإنتاج الطاقة (Dar, et al., 2008) يتداخل الخارجيين مع فيتامين E وفي حالة وجود الخارجيين بمستوى قليل أو معدوم فان فيتامين E يكون غير فعال وزيادة نسبة وجود الخارجيين تمكنه من ان يحتل موقع ارتباط كل من الحديد والنحاس في الدهون والبروتين، وكذلك الحامض النووي DNA، وبذلك تظهر قدرته الفعلية المباشرة كمضاد للأكسدة، لأن عنصر الحديد يعد من العناصر الفعالة في عملية الأكسدة والاختزال وبذلك يستطيع أن يكون الجذور عالية الفعالية من ال H_2O_2 الذي يحلل بiroوكسيدات الدهون الى جذر Peroxyl و Alloxyl وهذه الجذور تعمل على أكسدة الدهون (Stevens and Lowe, 2000; Stevens and Lowe, 1996)، ومن الوظائف المهمة الأخرى للخارجيين هي مشاركته في النظام الداعي لمضادات الأكسدة وان التحطّم التأكسدي للغشاء الخلوي الذي يتم بواسطة الجذور الحرّة يحدث في حالة عدم وجود الخارجيين أو وجوده بنسبة ضئيلة جداً (Prasad and Kicuk, 2002)، إن الآلية التي يعمل من خلالها الخارجيين كمضاد للأكسدة غير معروفة بشكل دقيق ولكن وجد إن



الخارصين يزيد من عملية بناء Metallothionein وكذلك البروتين الغني بالحامض الاميني Cysteine الذي يعمل كطارد للجذور الحرة (Radhakrishnan, et al., 2013). وجد إن الغذاء المقدم للفئران والحاوي على نسبة من الخارصين والكروم قد قلل بشكل معنوي مستوى إنتاج Malondialdehyde في المصل والأنسجة (Lefta, 2017)، كما أثبتت الدراسات الطبية أهمية الخارصين في التئام الجروح والحرائق (Carpentieri, et al., 1986).

ينتشر الخارصين بشكل واسع خلال الجسم ويُلعب دوراً أساسياً في عدد من العمليات الوظيفية للجسم فعند إعطاء الخارصين المشع عن طريق الفم او الوريد يصل تركيزه الأعلى في الكبد وامتصاصه من الأمعاء الدقيقة عادة يتراوح من 40-50% من الكمية المتناولة، وينخفض امتصاص الخارصين عندما يكون الغذاء غنياً بالكلاسيوم (Hardi, et al., 2003).

اختلاف الوظائف العامة لهذا العنصر يتأثر بتركيز الخارصين نفسه، و يختلف الاحتياج الدقيق للخارصين باختلاف العمر والجنس، كذلك تختلف الجرعة الموصى بها تغذوياً في اليوم الواحد للبالغين تبعاً للبلدان، ففي الولايات المتحدة الأمريكية تكون الجرعة الموصى بها 15 ملي غرام للذكور و 12 ملي غرام للإناث مع ملاحظة إضافة 5 ملي غرام للمرضعات في الاشهر الاربعة الاولى من الرضاعة و 2,5 ملي غرام في الأشهر المتبقية من الرضاعة (NAS / NRC, 1989 ; WHO, 2013).

طبعياً، يطرح الخارصين عن طريق الغائط و البول و غدد الشعر الدهنية و الجلد و العرق و السائل المنوي و الحليب . تترافق مجموعة كبيرة من العوارض الصحية مع نقصان مستويات الخارصين في الجسم و تعالج هذه الأعراض بتناول الأطعمة و المكمّلات الغذائيّة الحاويّة على هذا العنصر (Shils and Shike, 2006)، في حين ترتبط حالات الإصابة ب فقر الدم المنجل و خلل في الوظيفة المناعية لخلايا T- lymphocyte مع النقص الحاد في الخارصين (Molina, et al,) (2015).

يُعد الحديد Iron أحد العناصر النزرة المهمة لديمومة العديد من العمليات الحيوية في الجسم، كميته في الجسم لا تزيد عن 5 غرامات، 60% منها يتترك في الدم وفي الكبد والكلى ونخاع العظم (Yang, 2015). يدخل الحديد في تركيب الهيموغلوبين (البروتين الأساس في تركيب كريات الدم الحمراء والذي يقوم بعملية نقل الأوكسجين من الرئتين إلى خلايا الجسم بهدف ديمومة عمليات الأكسدة) كذلك يدخل في تركيب Myoglobin (البروتين المسؤول عن خزن الأوكسجين لاستخدامه آنياً في انقباض العضلات (Yu, et al., 2007).



يلعب الحديد دور العامل المرافق لعدد كبير من إنزيمات الأكسدة والاختزال ويخزن الحديد في الطحال بوساطة البروتين الخازن للحديد Ferritin (Yamanishi, *et al.*, 2005)، ينتقل الحديد في الدم محمولاً بوساطة البروتين الناقل للحديد Transferrin، و طبعيا يكون مشبعا بالحديد بنسبة 30%. تعرف سعة ارتباط الحديد الكلية Total Iron Binding Capacity (TIBC) على إنها كمية الحديد التي تشبّع Transferrin بشكل كامل (100%) (Toyokuni, 2002)، وتعكس TIBC حالة الحديد في الجسم حيث يشير ارتفاع هذه النسبة إلى انخفاض مستوى الحديد في الدم والعكس صحيح. يعد الاختلال في نسبة TIBC مؤشراً معتداً به صحيا للدلالة على حدوث العديد من العوارض الصحية الوراثية منها وغير الوراثية، أهمها اعتلالات الكبد والأنيميا الناتجة عن نقص الحديد والالتهابات المزمنة وسوء التغذية والعديد من أنواع السرطانات يأتي في سرطان الدم في مقدمتها (Mazdak, *et al.*, 2010).

النقص الحاصل في مستويات الحديد يؤدي إلى خلل أو تعطل العمليات الحيوية التي يشارك بها هذا العنصر، وينجم هذا النقص عن العديد من العوامل أهمها:

+ النقصان في كمية الحديد المتناولة تغذويًا : يشمل الحديد هيتين رئيسيتين ،الأولى هي حديد الهيم Hem Iron الموجودة في الأغذية الحيوانية والثانية هيئه الحديد غير الهيمي وهي الهيئة الموجودة في الأغذية النباتية، وامتصاص الهيئة الأولى للحديد يكون أسهل (Garnbino, *et al.*, 2006)

+ عدم القدرة على امتصاص الحديد : طبعيا ، يتم امتصاص 15% من الحديد المتناول تغذويًا، ويشكل عدم مقدرة الجسم على امتصاص تلك النسبة نتيجة لمرض مناعي ذاتي (حساسية القمح Celiac disease) او نتيجة استئصال جزء من المعدة جراحيا أو في حالات القرحة المعدية الشديدة (Zarychanski, *et al.*, 2008)، وقد يعود الخلل في امتصاص الحديد ناجماً عن تناول الأدوية الخاصة بعلاج الروماتزم (Oppenheimer, 2001)، كذلك تعد الإصابة الفطرية للجسم أو القصور الكلوي الحاد وأخيراً يشكل إصابة أحد أجزاء الجهاز الهضمي (المعدة والقولون تحديداً) أهم مسببات قصور الجسم عن امتصاص الحديد (Iyama, *et al.*, 2003; Ozgur, *et al.*, 2013).





النَّزْفُ وَفَقْدَانُ الدِّمَاءِ: يَحْدُثُ طَبِيعِيًّا فَقْدَانُ حَجمٍ مُعِينٍ مِنَ الدِّمَاءِ لِدِىِ الْإِنَاثِ الْبَالِغَةِ وَهَذَا يُمْكِنُ تَعْوِيْضَهُ طَبِيعِيًّا، إِلَّا إِنْ قَرَاتِ الْحِيْضُ الطَّوِيلَةِ وَالْمُتَرَامِنَةِ مَعَ حَجْمٍ غَيْرِ طَبِيعِيٍّ مِنَ الدِّمَاءِ الْمُفَقُودِ يَسْبِبُ نَقْصَانًا فِي مَسْتَوَيَاتِ الْحَدِيدِ (Fairbanks, *et al.*, 2007).

النيكل Nickel مِنَ الْعِنَاصِرِ النَّزَرِةِ الَّتِي تَعْمَلُ كَعَامِلٍ مَرَاقِفٍ لِعَدْدٍ مِنَ الْإنْزِيمَاتِ ، تَتَقدِّمُهَا منظومة الإنزيمات الدَّفاعِيَّةِ المُضادَّةِ لِلتَّأْكُسِ (Das and Dhundasi, 2008) ، وَيُسَاهِمُ الْنيكلُ كَمَكْوَنٍ أَسَاسِيٍّ فِي بَنَاءِ فيتَامِينِ B₁₂. يَسْبِبُ نَقْصَ الْنيكلِ بِطَئِ النَّمَوِ وَمَشَاكِلَ فِي الْخُصُوبَةِ وَخَلُلَ فِي تَنظِيمِ عَمَلِ الْعِنَاصِرِ الْأُخْرَى، أَمَّا زِيَادَةُ مَسْتَوَيَاتِهِ إِلَى اضْطِرَابِ النَّمَوِ وَوَعْدَ الْقَدْرَةِ فِي إِنْتَاجِ خَلَيَا الدِّمَاءِ (Knight, *et al.*, 2004). وَجَدَ انْ كَرْبُونَاتِ الْنيكلِ إِحْدَى الْمَرَكَبَاتِ الْكِيمِيَّيَّةِ الَّتِي تَحُثُّ تَحْوِلَ الْخَلِيَّةِ الطَّبِيعِيَّةِ إِلَى خَلِيَّةِ سُرْطَانِيَّةِ، كَوْنُهُ مَرَكُبٌ شَدِيدٌ سُمِّيٌّ يَنْتَقِلُ مِنَ الرَّئَتَيْنِ بِالْتَّنَفُّسِ وَيَنْتَقِلُ إِلَى الدِّمَاءِ مَا يَؤَدِّيُ إِلَى اسْتِسْقَاءِ الدِّمَاغِ مُؤَدِّيَا إِلَى الإِصَابَةِ بِالْسُّرْطَانِ (Nielsen, 2008).

الفصل الثاني

عيّنات الدراسة وطرق العمل

2-1: مرضى الدراسة ومجموعة السيطرة

خلال الفترة الممتدة من بداية شباط 2016 والى نهاية تشرين الاول 2017 في مركز الأورام السرطانية لأمراض الدم التابع لمدينة الحسين الطبية في محافظة كربلاء ، تم جمع 30 عينة لمرضى مصابين بابيضاض الدم المفوي الحاد تراوحت أعمارهم ما بين 2-13 سنة ($\pm 6,80$) (3,79) من خلا تاريخهم العائلي من أيّة إصابة سرطانية وذلك قبل تلقيهم للعلاج الكيميائي بعد الحصول على الموافقات الرسمية وبمساعدة الكادر الطبي المشرف على المرض في هذا المركز. تم تقسيم مرضى الدراسة الى قسمين استناداً الى الجنس، حيث تضمنت الدراسة 19 ذكرًا تراوحت أعمارهم ما بين 2 و12 سنة و 11 أنثى مصابة تراوحت أعمارهن ما بين 2 و13 سنة.

تمت عملية التخدير الأولى للإصابة (قبل تلقي العلاج الكيميائي) من قبل الأطباء المختصين و عبر مجموعة من الفحوصات السريرية والمخترية . دونت المعلومات الكاملة عن مرضى الدراسة الحالية عبر المحاور الشفوية مع ذوي المرضي وبالتعاون مع الأطباء المشرفين عليهم ووفقاً للأسئلة الواردة في استمار الاستبيان الخاصة بالعمل الحالي والمعدة مسبقاً استناداً إلى رأي المختصين.

استماراة الاستبيان للمريض:

العمر:	المستوى التعليمي:للفرد/للوالدين/	
الجنس:	الوضع الاجتماعي والمادي:	
عنوان السكن:	مركز المدينة:	القرى والأرياف :
الأدوية المستعملة:	التاريخ المرضي:	
الأقارب:	التاريخ العائلي للمرض	
الأخوة والأخوات:	الأحوال والحالات:	
الأعمام والعمات:		

تم انتقاء الأفراد الأصحاء كمجموعة سيطرة وفقاً لمجموعة من المحددات، تضمنت:

- (1) أن يكون أفراد مجموعة السيطرة ممن يبدون بمظهر صحي، وان يكونوا من ذوي السلوكيات التغذوية الجيدة و من ذوي البنى الجسمانية الطبيعية من حيث الوزن والطول.
- (2) أن تكون اعمار أفراد مجموعة السيطرة مقارب للعمر المدروس لمجموعة الأفراد المصابين بابيضاض الدم اللمفي الحاد مع مراعاة التنوع في الجنس للأفراد المختارين بما يسمح إجراء المقارنة الإحصائية للنتائج المتحصل عليها لتمييز الفروق الفردية.
- (3) أن لا يكون الفرد مصاباً حالياً أو بوقت سابق بأي نوع من أنواع السرطان علاوة على النوع موضوع الدراسة الحالية.
- (4) يجب أن يكون التاريخ العائلي لأفراد مجموعة السيطرة خلواً من أي إصابة سرطانية.
- (5) تجنب الأفراد الذين خضعوا لأي تداخل جراحي سابق (فترة تقل عن الخمس سنوات عن وقت إجراء الدراسة الحالية).
- (6) أن لا يكون الأفراد المنتقيين ممن يعاني نوعاً من الأمراض التي تستلزم تلقي علاجاً بشكل دائم.

للغرض التأكيد من المعلومات الخاصة بمجموعة السيطرة تم الاستعانة بذوي الأطفال قبل اخذ العينة.

الشكل 2-1 يظهر التوزيع التفصيلي لعينات الدراسة والنسب المئوية للجنسين في مجموعة المصابين بابيضاض الدم اللمفاوي ومجموعة الأفراد الأصحاء (مجموعة السيطرة).



الشكل 2-1: التوزيع التفصيلي لمرضى الدراسة ومجموعة السيطرة

الجدول 2-1 يبين التفصيل الكامل لمتوسط أعمار المجاميع المتضمنة في الدراسة مع المديات العمرية لكل مجموعة.

الجدول 2-1: التفصيلات العمرية لأفراد مجاميع الدراسة من الأصحاء والمصابين بابيضاض الدم المفوي الحاد

<i>Subjects (n)</i>	<i>Gender (n)</i>	<i>Age (Year) Mean ± S.D.</i>	<i>Min-Max Age (Year)</i>	<i>Age Range (Year)</i>
<i>Patients 30</i>	<i>Male 19</i>	<i>6.690 ± 3.941</i>	<i>2.000 - 12.000</i>	<i>10.000</i>
	<i>Female 11</i>	<i>7.000 ± 3.651</i>	<i>2.000 - 13.000</i>	<i>11.000</i>
<i>Controls 30</i>	<i>Male 18</i>	<i>5.960 ± 3.355</i>	<i>1.000 - 12.000</i>	<i>11.000</i>
	<i>Female 12</i>	<i>6.700 ± 3.773</i>	<i>2.000 - 13.00</i>	<i>11.000</i>

2-2: المواد والعدد الكيميائية

تعود المواد الكيميائية والعدد المختبرية الجاهزة إلى عدد من الشركات ذات المناشئ المختلفة، والجدول 2-2 يبين المواد والعدد الكيميائية المستخدمة في الدراسة الحالية والشركات المجهزة وبلد التجهيز.

الجدول 2-2: المواد والعدد الكيميائية

Kits and Chemicals	Company and Country
ALP Kit	Biomerieux,
ANP Kit	Elabscience, China
Biotinylated Enzyme	Demeditec Diagnostics GmbH, Germany
Creatinine Kit	Arkray, Japan
EDTA	BDH, England
Erythropoietin-EPO Kit	Abcam, U.S.A
Ferritin Kit	Boditech, Korea
GOT Kit	Randox, France
GPT Kit	Randox, France
Human CLEC4E (C-Type Lectin Domain Family 4 Member E) ELISA Kit	Elabscience, China
Iron Test Kit	Giesse, Korea
Leishmane Stain	Sigma, U.S.A
Microalbumin Kit	Linear Chemicals, Spain
Peroxidase Enzyme	Demeditec Diagnostics GmbH Germany,
P-Phenylenediamine	Merck, Germany
Sodium Azide	Fluka, Switzerland
Sodium Chloride	BDH, England
Sudan Black B Stain	Sigma, U.S.A
Thiobarbituric Acid	Merck ,Germany
Total Iron Binding Capacity Kit	Boditech, Korea
Total Protein Kit	Randox, France
Trichloro Acetic Acid	Hokio and Williams, England
Uric Acid Kit	Pariksha Biotech Private Limited, India
Ethanol	Merck, Germany
Methanol	Fluka, Switzerland

Xylene	Merck, Germany
Haematoxylin-Eosin Dye	Sigma, U.S.A
Violet Gentian Dye	Sigma, U.S.A

3-2: الأجهزة والأدوات المستخدمة

تم إنجاز الفحوصات الخاصة بمعايير الدراسة الحالية بشكل تام في كل من: مختبر الكيمياء الحياتية - قسم الكيمياء - كلية التربية للبنات - جامعة الكوفة و المختبر المركزي التابع لكلية الصيدلة - جامعة الكوفة، وأخيراً المختبر المركزي التابع لمستشفى عفك العام - محافظة القادسية.

الجدول 3-2 يبين التفصيل الخاص بالشركات المصنعة للأجهزة المستخدمة في العمل الحالي و طراز هذه الأجهزة.

الجدول 3-2: الأجهزة والأدوات المستخدمة

Instruments	Manufacturers and Country	Model
Atomic Absorption	Shimadzu	AA – 6300
Centrifuge	Hermle, Germany	Z 200 A
Cooled Incubator	Memmrt, Germany	854-Schwabach
Distillator	Manesty, Denmark	
ELISA (Micropate Washer)	Genex Laboratories, USA	MW – 100A
ELISA(Micropate Reader)	Genex Laboratories, USA	MR – 100
Frozen	Kelon, Chain	-
Microscope	Olympus, UK	



Sensitive Balance	A&B Company, Japan	D 0001
Spectrophotometer	Emclab, Germany	V-1100D Spect.
Water Bath	Korea	LWB-111D

2-4: الحصول على عينات الدراسة

1-4-2: جمع عينات الدم و المصل

صباحاً وبعد فترة صيام لا تقل عن ثمان ساعات، تم جمع 5 مللي لتر من الدم الوريدي لكل من المرضى الذين تم تشخيصهم كمصابين بابيضاض الدم الوريدي وأفراد مجموعة السيطرة، نقل 100 ميكرو ليتر منه إلى أنبوبة ابندروف لاتمام فحص حساب العدد الكلي لكريات الدم البيض، في حين وضع نصف ملليلتر من الدم في أنبوبة تحوي مانع التخثر لاجل اتمام فحوصات المسحات الدموية وعدد الصفائح الدموية ومستوى الهموغلوبين. ترك الدم المتبقى في درجة حرارة المختبر حتى التخثر، بعدها تم فصل المصل عند سرعة 3000 دورة / دقيقة لمدة 10 دقائق باستخدام جهاز الطرد المركزي. تم تقسيم العينات المصلية إلى عدة اقسام وحفظت في أنابيب ابندروف: القسم الأول تم استخدامه لإنجاز فحوصات تقدير مستويات اللكتين والفربيتين وهرمون الإيرثروبلايوتين، القسم الثاني خُصص لإنجاز فحوصات تقييم مستوى الإجهاد التأكسدي الخلوي، أما القسم الثالث فتم استخدامه لتقييم وظائف الكبد والكليتين، في حين خُصص القسم الأخير من العينة المصلية لقياس مستوى بعض العناصر النزرة التي يتوقع أن يكون لها علاقة بابيضاض الدم المفدي الحاد. حفظت الأمصال بعد تقسيمها عند درجة حرارة - 20°C لحين إجراء الفحوصات المختبرية المحددة لمعايير الدراسة الحالية.

2-4-2: سحب نخاع ورشفة نقى العظم

تم الحصول على عينة من نخاع ونقي العظم للأفراد المصابين بابضاض الدم اللمفي الحاد عن طريق التدخل المباشر و الحصري للطبيب المختص، حيث تم اخذ العينة من عظم الورك باستخدام محقنة خاصة اعدت لهذا الغرض، فيخرج سائل نقى العظم اللزج مخلوطا ببعض الدم، ثم وباستعمال نيدل خاصه بقطر كبير نسبيا ذات نهاية دائيرية حادة تدخل في العظم نفسه فتقطع وتؤخذ الخزعة (Biopsy) على شكل اسطوانة دقيقة من العظم.

1-2-4-2: تحضير مسحات نقى العظم

تم تحضير مسحات نقى العظم لمرضى الدراسة الحالية عند التشخيص واثناء العلاج بوضع قطرات صغيرة من رشة نقى العظم على بعد 1 سم من حافة الشريحة ثم سحب العينة على الشريحة بواسطة شريحة ثانية بزاوية 30° تقريباً لغرض توزيع مكونات عينة نقى العظم على الشريحة بطول 3-5 سم.

2-2-4-2: تحضير المقاطع النسجية للعظم

تم تحضير المقاطع النسجية لمرضى الدراسة الحالية عند التشخيص واثناء العلاج من خلال تثبيت النسيج في محلول Formal Saline لمدة 12-48 ساعة. بعد مرور فترة التثبيت تم غسل شضبية العظم بالماء المقطر وتركت مدة 12 ساعة لتجف. بعد جفاف عينة العظم المستخدمة تم تمريرها في احواض من الكحول الايثيلي بتواكيز تصاعدية (70 و 80 و 90 و 95 و 100 % على التوالي) حيث بقيت لمدة 1,5-2 ساعة في كل تركيز وذلك لإزالة الماء منها ، ، تلا ذلك ترويق العينات بالزايلين مرتين ولمدة تراوحت ما بين 1,5-1 ساعة في كل مرة وذلك للتأكد من ازالة كل بقايا المحاليل الكحولية منها. شُربت العينات بشمع البرافين المنصهر بدرجة حرارة 56-58°م وذلك بوضع مقاطع العينات فيه مرتين ولمدة 1,5-1 ساعة لكل مرة، وبعد اتمام خطوة التسريب تم طمر العينات في قوالب خاصة حاوية على شمع البرافين المنصهر وتركت لتتصلب. تم تحضير مقاطع نسيجية بسمك 4 مايكروميتر باستخدام جهاز المشراح الدوار Rotary Microtome وثبتت

النماذج على شرائح زجاجية باستعمال لاصق Meyers Albumin، بعدها وضعت الشرائح في الفرن بدرجة 56-58°C بصورة عمودية لمدة 20 دقيقة لإزالة الشمع الزائد منها.

3-2-4-2: التصبيغ والتحميل

صبغت جميع المقاطع النسجية بصبغة الهيماتوكسيلين-الإيوسين Haematoxylin-Eosin وتم وضع الشرائح في الزايلين لمدة خمس دقائق للتخلص من الشمع بعدها مررت بسلسلة تراكيز تنازلية من الكحول الأثيلي (100%，90%，80%，70%，50%) لمدة دقيقتين في كل تراكيز، بعدها غمرت بصبغة الهيماتوكليلن لمدة دقيقة واحدة ثم غسلت بالماء المقطر لمدة دقيقتين ثم مررت بالكحول الحامضي ثلاث مرات لازالة الصبغة الزائدة، بعدها صبغت بصبغة الإيوسين لمدة 15 ثانية بعدها مررت بسلسلة من التراكيز التصاعدي من الكحول الأثيلي (50%，70%，90%，95%，100%) لمدة دقيقتين في كل تراكيز ماعدا التراكيز الأخير لمدة خمس دقائق ثم خضعت لمرحلة الترويق بالزايلين لمدة 10 دقائق، بعدها مرحلة التحميل وثبتت غطاء الشرحة وتركت على صفيحة ساخنة لمدة 8 ساعات وبذلك كانت جاهزة للفحص.

4-2-4-2: تحضير شرائح بصبغة سودان نوع B

بعد تحضير الشرائح تم وضعها في بخار الفورمالين لمدة عشر دقائق من خلال وضع ورقة الترشيح في الفورمالين ثم رقلت إلى داخل الحاضنة في درجة 37°C بعدها غسلت الشرائح بالماء العادي لمدة عشر دقائق وترك تتجف، بعدها غمرت بمحلول الصبغة لمدة ساعة، ثم مررت مرتين في الكحول الأثيلي بتركيز 70% لـ 3-5 دقائق ثم غسلت بالماء العادي لمدة دقيقتين وتركت لتجف، وثم صبغت بصبغة ليشمان لمدة خمس دقائق

حضرت صبغة ليشمان بأدابة 1 غرام من مسحوق الصبغة في 100 مل من كحول الميثanol.

5-2-4-2: التصوير المجهرى

صورت المقاطع النسجية باستخدام المجهر الضوئي MEIJI Light من نوع Canon Digital Camera المزود بكاميرا عالية الدقة من نوع Microscope.

4-4: جمع عينات الادrar

تم جمع عينات الادرار باخذ أول عينة ادرار صباحا و باهمل الادرار ببداية التبول وذلك بتوصية الامهات اثناء جمع العينة، اخذت عينات البول من المرضى اثناء فترة التشخيص وبعد تلقي العلاج بمعدل 5 مل في علبة بلاستيكية، كذلك جمع الادرار من مجموعة السيطرة بنفس المقدار.

5-2: تقييم مستوى اللكتين C-Type Lectin Domain Family 4 Member E (CLEC4E) في امصال مجاميع الدراسة

تم تقييم مستوى اللكتين في العينات المصلية لمجموعتي الدراسة الحالية باستخدام العدة المجهزة من قبل شركة Elabacince

الاساس النظري

اتبعت طريقة Sandwich-EnzymeLinked Immune Sorbent Assay (Sandwich-ELISA) في تقدير كمية اللكتين في امصال عينات الدراسة. تستند هذه التقنية الى التفاعل بين اللكتين CLEC4E الموجود في المصل (وكذلك في العينة المرجعية "Standared" المجهزة في عدة القياس) مع الجسم المضاد المتخصص (Specific Antibody) باللكتين CLEC4E ثم ربط الكاشف عن الجسم المضاد المتخصص باللكتين الى البايوتين (Biotinylated Detection Antibody Specific CLEC4E) يتميز البايوتين بقابلية عالية لارتباط بالافيدين Avidin والذي بدوره يرتبط بواقع اربع وحدات مع الانزيم Avidin-HRP Conjugate لتكوين معقد Horseradish Peroxidase (HRP). تحدث عملية التقدير عند تتبع الفعالية الانزيمية الناجمة عن عمل انزيم HRP على مادته الاساس عند اطافتها ويلاحظ التغير وحدث التفاعل عبر مراقبة التغير في اللون الى الازرق على صفيحة العمل. يتم ايقاف التفاعل باضافة حامض الكبريتيك عندها سيتحول اللون الى الاصفر مباشرة. تفاصي الكثافة الضوئية باستخدام المطيافية اللونية عند الطول الموجي 450 ± 2 نانوميتر. تفاصي كمية



اللكتين في العينات المصلية عبر مقارنتها مع المنحنى القياسي المحضر من التراكيز المرجعية المتدروجة (78,13، 156,25، 312,5، 625، 1250، 2500,5000 بيكوغرام/ مليلتر) و المجهزة في عدة العمل.

طريقة العمل

تتضمن طريقة العمل اضافة 100 ميكروليتر من العينة المصلية او العينة القياسية الى الصفيحة المجهزة مع عدة العمل ثم تحضن الصفيحة عند درجة حرارة 37°C لمدة 90 دقيقة. بعد اكتمال فترة الحضن يتم اضافة Antibod Biotinylated Detection يتم تحضن الصفيحة لمدة ساعة واحدة وعند درجة حرارة 37°C. يتم غسل الصفيحة لثلاث مرات بمحلول الغسل المجهز في عدة العمل، يستبعد بمحلول الغسل في كل مرة بعدها يتم اضافة HRP 100 ميكروليتر من Conjugate وتعاد الصفيحة الى الحاضنة لمدة 30 دقيقة وعند درجة الحرارة ذاتها. تعاد خطوة الغسيل للصفيحة بمحلول الغسل ولخمس مرات، بعدها يتم اضافة 90 ميكروليتر من محلول المادة الاساس، بعد اتمام عملية الاصافة الاخيرة تعاد الصفيحة الى الحاضنة لمدة 15 دقيقة وعند درجة حرارة 37°C. واخيراً، يضاف 50 ميكروليتر من محلول الايقاف الى كل تقرير في الصفيحة المستخدمة. تقرأ النتيجة عند الطول الموجي 450 نانومتر عقب اضافة محلول الايقاف مباشرةً ثم تحسب التراكيز وفقاً للبرنامج المجهز مع جهاز ELISA.

ملاحظة: للحصول على افضل النتائج واكثرها دقة، يجب مراعاة ا تكون المحلول المجهز في عدة القياس عند

درجة حرارة الغرفة (18-25°C) قبل البدء بالعمل.

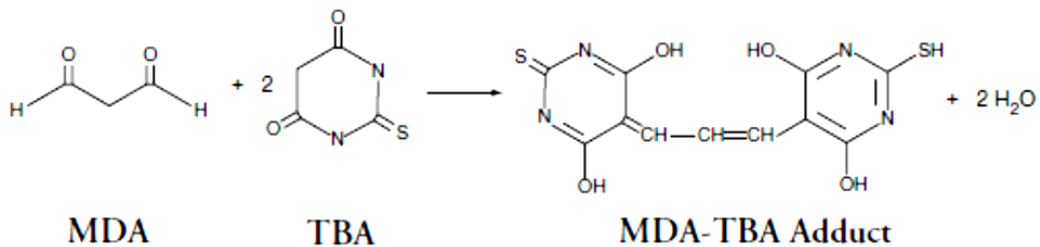
2-6: تقدير تركيز المالون ثانوي الالديهيد في امصال عينات الدراسة

يعتبر المالون ثانوي الالديهيد دالة مهمة للاكسدة الفوقية للدهون Lipid Peroxidation وهو الناتج النهائي لها، وعليه فان عملية قياس مستويات المالون ثانوي الالديهيد تعد احدى اهم وسائل تقييم معدل الاجهاد التاكسدي الخلوي.

الاساس النظري

يستند الاساس النظري لتقدير مستوى المالون ثنائي الايديهيد الى التفاعل اللوني الحاصل بين المالون ثنائي الايديهيد وحامض الثايباربيتوريك لتكوين:

Malondialdehyde - Thiobarbituric Acid (MDA-TBA) Complex



تعد طريقة تفاعل حامض الثايباربيتوريك مع المادة الاساس واحدة من الطرق الفليلة والمهمة في تقدير مستوى المالون ثنائي الايديهيد المنتج خلويًا، و تتطلب هذه الطريقة اتمام التفاعل اعلاه في درجات حرارة عالية (90-100°م) وفي محیط حامضي. يمثل الطول الموجي بين 530-540 نانومتر الطول الموجي الاعظم لقياس المعقد الناتج (MDA-TBA).

طريقة العمل

تتضمن طريقة العمل مزج 150 ملليلتر من المصل مع 1 ملليلتر من حامض الخليليك ثلاثي الكلور (TCA) بتركيز 17.5%， بعدها يضاف 1 ملليلتر من حامض الثايباربيتوريك (TBA) بتركيز 0.6%. باستخدام المازج الكهربائي (Vortex) يتم مجاشة مكونات الانابيب المستخدمة، بعد اتمام خطوة المجاشة يتم تسخين الانابيب في حمام مائي بدرجة حرارة 100°م لمدة 15 دقيقة.

1 تبرد الانابيب باستخدام ماء الحنفية، بعد الوصول الى درجة حرارة المختبر يتم اضافة 20 ملليلتر من محلول حامض الخليليك ثلاثي الكلور بتركيز 70%， يترك المزيج مستقرًا لمدة 20 دقيقة وبدرجة حرارة 25°م، ثم تفصل الطبقتين العضوية و المائية عن بعضهما البعض باستخدام جهاز الطرد المركزي بمعدل 3000 دوره بالدقيقة لمدة 15 دقيقة. يتم عزل الطبقة العضوية الحاوية على المعقد الناتج والذي يقاس تركيز المالون ثنائي الايديهيد فيه لونيا عند الطول الموجي 534 نانوميتراً.

المحاليل المستخدمة

٤٠٠ محلول حامض الخليك ثلاثي الكلور (17.5%): حضر محلول بإذابة 17.5 غ من حامض الخليك ثلاثي الكلور في 100 ملليلتر من الماء المقطر. يُحفظ محلول بدرجة حرارة 4°C.

٤٠ محلول حامض الخليك ثلاثي الكلور (70%): حضر المحلول بإذابة 70 غم من حامض الخليك ثلاثي الكلور في 100 مل من الماء المقطر. يمكن حفظ المحلول بدرجة حرارة ٤° م لحين استخدامه.

٥٠٠ محلول حامض الثايوباربيتوريك (٠.٦%): حضر هذا محلول عند القياس (آنياً) وذلك بإذابة ٠.٦ غم من حامض الثايوباربيتوريك في ١٠٠ مل من الماء المقطر.

7-2: تقدير تركيز وفعالية إنزيم السريوبلازمين المؤكسد في امصال عينات الدراسة Oxidase

تم تقييم مستويات التركيز والفعالية الانزيمية لـ سيرلوبلازمين المؤكسد باتباع طريقة Rice المحورة.

•الاساس النظري

طريقة العمل

تضمنت طريقة العمل استخدام انبوبتين زجاجيتين: الاولى للنموذج (A) والثانية للخلب (B)، اما خطوات العمل فكانت كالتالي: اضيف 1 ملليلتر من محلول المادة الاساس Blank الى كل من الانبوبة A و B و حضنت لمدة 5 دقائق في درجة حرارة 37°C، ثم تمت اضافة 100 ميكروليلتر من المصل الى الانبوبة A و 100 ميكروليلتر من الماء اللايوني الى الانبوبة B ثم اعيدتا الانابيب للحضن عند نفس الدرجة الحرارية ولمدة 15 دقيقة. الخطوة

الاخيرة تضمنت اضافة 3 ملليلتر من محلول التثبيط العامل البارد Cold Working Inhibition Solution الى كل من الانبوبتين ثم قياس الامتصاصية عند الطول الموجي λ 450 نانوميتر لتقدير الفعالية الانزيمية للسيرلوبلازمين المؤكسد، في حين كان قياس الامتصاصية عند الطول الموجي 605 يمثل تركيز انزيم السيرلوبلازمين المؤكسد.

المحاليل المستخدمة

٢٠٠ ملح p-phenylenediamine.2HCl: تم تحضير الملح باذابة 2 غم من *p*-phenylenediamine في اقل حجم من كحول الايثانول المطلق Absolute Ethanol ثم الترشيح خالى ورق ويتمنان رقم 1. تدريجياً وبلطف تم اضافة حامض الهيدروكلوريك المركز الى الراشح عندها ظهر الراسب الوردي. رشح الراسب الناتج ثم غسل بالكحول الميثيلي Methanol بعدها تم تجفيف الملح الناتج (*p*-phenylenediamine.2HCl) عند درجة حرارة 70°C.

بهدف الحصول على ملح تام النقاوة تم اذابة الملح الناتج من الخطوة السابقة في الماء المقطر الساخن الى درجة حرارة 60°C مع اضافة مسحوق الفحم Charcoal Powder الى محلول الملح الساخن وتركه لمدة 5 دقائق ثم رشح المزيج. بـردا محلول الملح النقي ثم رسب الملح باضافة الاسيتون البارد بالتدريج حتى ظهرت العُكرة، لاجل الحصول افضل النتائج تم اجراء الخطوة الاخيرة بوضع الاناء الحاوي على محلول الملح في حمام ثلجي. ترك الاناء الحاوي على الملح النقي في الثلاجة لعدة ساعات بعدها تم ترشيح بلورات الملح النقي من محلول البارد وجفف الى هيئته البلورية تحت الضغط المخلل باستخدام Vacuum Desiccators.

٢٠٠ محلول الخلات المنظم Acetate Buffer Solution (بتركيز 0.1 مولاري و pH 5.2)

: حضر محلول المنظم بواسطة الاضافة التدريجية من الحجم الكافي من محلول خلات الصوديوم بتركيز 0.4 مولاري (Solution A) الى محلول حامض الخليك بتركيز 0.4 مولاري (Solution B) حتى الوصول بالدالة الحامضية للمحلول المنظم الى 5.2.

Solution A: حضر باذابة 3.28 غم من خلات الصوديوم في 100 ملليلتر من الماء المثمر مع المزج.

Solution B: حضر المحلول باخذ 2.31 ملليلتر من حامض الخليك الثلجي

ومزج مع الماء المقطر في قنينة حجمية واكمي الحجم الى 100 ملليلتر بالماء المقطر.

Substrate Buffer Solution: تم تحضير هذا

المحلول باذابة 0.1 غم من بلورات ملح *p*-phenylenediamine.2HCl في 100 ملليلتر

من محلول الخلات المنظم Acetate Buffer Solution (تركيز 0.1 مولاري و pH 5.2)

الحاوي على 0.4 ميكرومولاري من (EDTA-2Na).

Stock Inhibition Solution: تم وزن 0.65 غم من ازيد

الصوديوم (0.1 مولاري) و 2.922 غم من كلوريد الصوديوم (0.5 مولاري) ثم ذوبت في

100 ملليلتر من الماء اللايوني، وحفظ المحلول بدرجة حرارة -20°C لحين الاستخدام.

Working Inhibition Solution: حضر المحلول العامل

باخذ 3 ملليلتر من محلول التثبيط الاصل واكمي الحجم الى 100 ملليلتر بواسطة الماء

اللايوني، وحفظ عند درجة حرارة لا تزيد عن 4°C حيث استخدم بارداً.

الحسابات

تم حساب كل من الفعالية والتركيز لانزيم السيروبلازمين المؤكسد وفقاً للمعادلات الآتية:

$$\text{الفعالية الانزيمية لسيروبلازمين المؤكسد (وحدة / لیتر)} = \text{امتصاصية (B - A)} \times 349,04$$

$$\text{تركيز انزيم السيروبلازمين المؤكسد (غم / لیتر)} = \text{امتصاصية (B - A)} \times 87,5$$

8-2: قياس مستويات هرمون الايريثروبایوتین في امصال مجاميع الدراسة

تمت عملية قياس مستوى هرمون الايريثروبایوتين في العينات المصالية لافراد مجموعتي العمل الحالي باستخدام العدة الخاصة بقياس مستويات هرمون الايريثروبایوتين و المصنعة من قبل شركة Abcam.

الاساس النظري

ارتكتزت طريقة قياس مستويات هرمون الايرثروبایوتین في امصال مجموعتي الدراسة **الحالية الى طريقة-Sandwich-EnzymeLinked Immune Sorbent Assay (Sandwich)**. يقوم مبدأ العمل على ارتباط الايرثروبایوتین (Ag) في عينة المصل مع الجسم **ELISA** المضاد احادي النسيلة المختص بالايرثروبایوتین المعزول من الفأر **Mouse Monoclonal Antibody Specific for Erythropoietin (Ab₁)** الذي غطيت به حفر صفيحة العمل المجهزة. حضن المزيج المكون (**Ab₁-Ag**) مع الجسم المضاد المختص بالايرثروبایوتین متعدد **Rabbit Anti-Erythropoietin Polyclonal Antibody (Ab₂)**، بعد تكون المعقد (**Ab₁-Ag-Ab₂**) والمقترن الى انزيم **(HRP)**, بعد تكون المعقد **Double-Antibody Horseradish Peroxidase** عندها تضاف المادة الاساس (مادة ملونة) ليتم التفاعل الانزيمي، وبتاكسد المادة الاساس يحدث التغير اللوني وتكونين المعقد الازرق. يتم ايقاف التفاعل الانزيمي باضافة الحامض المجهز مع عدة العمل ليتغير لون المعقد الى الاصفر. شدة لون المعقد الناتج تتناسب بشكل مباشر مع تركيز هرمون الايرثروبایوتین في العينة المقاسة، والذي يقارن مع المنهى القياسي المحضر عبر قياس الامتصاصية لتراكيز متدرجة (**0 ، 2,5 ، 5 ، 20 ، 50 ، 100 ، 200 ملي وحدة دولية / ملليلتر على التوالي**) من هرمون الايرثروبایوتين والمجهزة ضمن مكونات عدة العمل.

طريقة العمل

ابتدأت عملية القياس بضبط درجة حرارة كل من العينات المصلية ومحاليل العدة المجهزة من قبل الشركة المصنعة عند درجة حرارة المختبر (درجة الحرارة لا تقل عن **20°م** ولا تزيد عن **25°م**) تضمنت الخطوات الاولية للعمل تخفيف كل من محاليل التراكيز المتدرجة لمنحنى المعايرة القياسية باستخدام **Erythropoietin Assay Diluent** والعينات المقاسة باستخدام محلول المنظم **Specimen Diluent** المجهزة في عدة العمل بسبة تخفيف **1:1** مع المزج باستخدام **Shaker**.

اضيفت **100 مايكروليتر** من محلول العينة المصلية المخفف (التراكيز القياسي لهرمون الايرثروبایوتين) الى كل حفرة من الصفيحة المجهزة في عدة العمل مع التحريك البسيط لمدة دقيقة

واحدة فقط، غطيت الصفيحة بالغطاء الخاص بها ثم تركت عند درجة حرارة المختبر لمدة ساعتين. بعد انتهاء مدة الحضن المقررة حسب تعليمات كتيب العدة المجهزة تم التخلص تجفيف حفر الصفيحة المستخدمة بعد التخلص من السائل الموجود فيها بطريقة الصب او لا تلا ذلك عملية التجفيف باستخدام اوراق التجفيف الخاصة. اضيف 200 ملليلتر من محلول Ab_2 المقترن الى انزيم HRP الى كل حفرة من الصفيحة المجهزة مع التحريك برفق ثم تغطية الصفيحة بغطاء جديد، وتركها عند درجة حرارة المختبر لساعتين اخرى بعدها تم التخلص من السائل المتبقى في جمع حفر الصفيحة بطريقة الصب ثم غسلت الصفيحة لثلاث مرات متتالية باستخدام محلول الغسل المجهز مع العدة وبعد اتمام عملية الغسل بما لا يقل عن 400 ملليلتر (الحجم الكلي المستخدم من محلول الغسل) تمت عملية التخلص من بقايا محلول الغسل بطريقة التجفيف باوراق التجفيف المجهزة مع عدة العمل ثم قلبت الصفيحة على ورقة التجفيف.

تم اضافة 200 ملليلتر من محلول المادة الاساس (0.01 عياري من محلول بيروكسيد الهيدروجين + 0.35 غرام / ليتر من رباعي مثيل البنزيلين)، المحضر قبل فترة لا تتجاوز ال 15 دقيقة، لكل حفرة مع التحريك بلطف ثم الحضن لمدة 25 دقيقة بدرجة حرارة المختبر. 100 ملليلتر من محلول الايقاف (2 عياري من محلول حامض الكبريتيك) تمت اضافتها الى كل حفرة من الصفيحة مع التحريك بقوه لحين تغير اللون الى الاصفر. في غضون 15 دقيقة فقط تمت عملية القياس الامتصاصية عند الطول الموجي 450 نانوميتر.

9-2: فحوصات الدم

9-2-1: التعداد الكلي لخلايا الدم البيض لدى عينات الدراسة

تم حساب عدد كريات الدم البيض في العينات الدموية لكل من مجموعة المرضى بابيضاض الدم اللمفي الحاد ومجموعة الافراد الاصحاء.

••••• الاساس النظري



تستند طريقة حساب عدد كريات الدم البيض في عينة الدم الى استخدام محلول حامضي ملون (Turk's Solution) يعمل على تكسير كريات الدم الحمر ويصبح نواة كريات الدم البيض مما يجعل عملية تعدادها سهل.

طريقة العمل

تضمنت طريقة القياس اضافة 0,4 ملليلتر من Turk's Solution الى 20 مايكروليتر من الدم، ثم اخذت قطرة من المزيج على حافة شريحة زجاجية مخصصة لعد الكريات وفحست تحت المجهر.

المحاليل المستخدمة

Turk's Solution : حضر محلول Turk بلضافة 2 ملليلتر من حامض الخليل الثاجي في المحلول المائي لصبغة Violet Gentian بتركيز 1% في قنينة حجمية سعة 100 ملليلتر.

الحسابات

تم حساب عدد خلايا الدم البيضاء في المربعات الطرفية الاربعة التي يقسم كل منها الى 16 مربع وقسمت على عدد المربعات وضربت في عامل التخفيف (200) ثم استخرج العدد الكلي لخلايا الدم البيض ووفقا للمعادلة الآتية:

$$\text{[عدد خلايا الدم البيض الكلي / سم}^3 = \frac{\text{عدد الخلايا المحسوبة في المربعات الطرفية الاربعة}}{\times \text{عامل التخفيف} \times \text{الحجم]}}$$

عدد خلايا الدم البيض الكلي / سم³ = عدد الخلايا المحسوبة في المربعات الطرفية الاربعة ×
 $10^6 \times 200$

2-9-2: حساب العدد الكلي للصفائح الدموية لدى عينات الدراسة

تم حساب العدد الكلي للصفائح الدموية في عينات مجموعة المرضى بابيضاض الدم المفوي الحاد ومجموعة الافراد الاصحاء المتضمنين في الدراسة الحالية.

••• الاساس النظري

يسنند احتساب العدد الكلي للصفائح الدموية الى مبدأ تحليل كريات الدم الحمراء في نموذج الدم المقاس وذلك عبر مفاعলته مع محلول اوکزالات الامونيوم بعد مزجه مع مانع التخثر Ethylene Diamine Tetra Acetate (EDTA) حيث تظهر الصفائح الدموية واضحة ولامعة بعد تحليل كريات الدم الحمراء.

طريقة العمل

تم سحب 1.9 ملليلتر من محلول 1% اوکزالات الامونيوم بواسطة الماصة الدقيقة EDTA واضيف الى 100 مايكروليلتر من الدم (الذي وضع في انبوبة حاوية على Micropipate (مانع التخثر)), ثم رُجت انبوبة الخليط جيداً وترك لمنطقة (Chamber) 10 دقائق. حضرت شريحة مسح قمة الماصة بالقطن ثم وضع قطرات من محلول على شريحة العد ثم غطيت الشريحة بالغطاء الزجاجي المنظف مسبقاً بواسطة محلول اوکزالات الامونيوم، بعدها وضعت الشريحة في طبق بتري الحاوي على ورقة ترشيح مرطبة (عمل بيئة رطبة) وترك لمنطقة 20 دقيقة في درجة حرارة المختبر (20-25°C) كي تستقر الصفائح الدموية . وضفت الشريحة تحت المجهر ليتم العد باستخدام قوة التكبير 40 مع تقليل الضوء عبر التحكم بالمكثف.

المحاليل المستخدمة

٤٠ محلول اوکزلات الامونيوم (1%): تم تحضير محلول اوکزلات بذابة 1 غرام من اوکفالات الامونيوم في 100 مل من الماء المقطر. رُشح محلول المحضر باستخدام أوراق ترشيح بقطر 0.22 ميكرومتر وحفظ بدرجة حرارة 4°C.

الحسابات

حسبت عدد الصفائح الكلية وفقاً للمعادلة الآتية :

[عدد الصفائح الدموية / سم³ = عدد الصفائح المحسوبة × عامل التخفيف × الحجم]

$$\text{عدد الصفائح الدموية / سم}^3 = \frac{\text{الصفائح الدموية المحسوبة}}{10 \times 200}$$

3-9-2: تقدير تركيز بروتين الهيموغلوبين في عينات الدراسة

اتبعت طريقة Drabkin في تقدير تركيز الهيموغلوبين في عينات مجموعة المرضى بابيضاض الدم الملفي الحاد ومجموعة الافراد الاصحاء.

••الاساس النظري

يُستند قياس مستوى الهيموغلوبين إلى مقارنة شدة اللون للمعقد الناتج من تفاعل السيانيد مع الهيموغلوبين عند الطول الموجي 540 نانومتر مع مرجع قياسي.

طريقة العمل

اضيف 20 مایکرولیتر من الدم الى 5 ملليلتر من محلول Drabkin، مُزج الناتج جيداً وتركت الانبوبة الحاوية على المزيج لمدة 10 دقائق في درجة حرارة المختبر ثم تم القياس عند الطول الموجي 540 نانوميتر وسُقطت نتيجة القراءة على المنحنى القياسي المحضر من عدد متدرج من الهيموغلوبين مع محلول Drabkin لايجاد تركيز الهيموغلوبين في العينة المقاسة.

المحاليل المستخدمة

Drabkin محلول: حضر المحلول باذابة كل من سيانيد البوتاسيوم (50 مليغرام) وسيانيد البوتاسيوم الحديدكي (200 مليغرام) وبيكاربونات الصوديوم (100 مليغرام) في 100 ملليلتر من الماء المقطر.

الحسابات

تم حساب تركيز الهيموغلوبين بتطبيق المعادلة الآتية:

ي **عامل التخفيف**

1000 ×

4-9-2: قياس مستويات الحديد الكلية في امصال عينات الدراسة

تم حساب تركيز الحديد الكلي في مصل الدم لعينات مجموعة المرضى قبل وبعد العلاج وافراد مجموعة السيطرة باستخدام العدة المجهزة Kit من قبل شركة Giesecke.

الأساس النظري

يقوم اساس تقدير تركيز الحديد في الدم على مبدأ تفكك ايون الحديديك Ferric ion عن البروتين الحامل له Transferrin في وسط حامضي ($pH = 4.8$) ثم احتزاله إلى ايون الحديدوز Ferrous ion.

طريقة العمل

اشتملت عملية القياس استخدام ثلاثة انباب: الاولى انبوبة العينة والثانية انبوبة الكفو والثالثة انبوبة محلول القياسي. تضمنت طريقة العمل اضافة 900 ميكروليتر من Reagent Working الى الانابيب الثلاثة والتي تحوي كل منها على 200 ميكروليتر من: العينة (في الانبوبة الاولى) والماء المقطر (في الانبوبة الثانية) و المحلول القياسي (في الانبوبة الثالثة)، ثم تمزج الانابيب بقوة، بعدها اضيف 100 ميكروليتر من Reagent C، بعد مزج الانابيب تم

حضرناها لمدة 5 دقائق في الحاضنة عند درجة حرارة 37°C. تم قياس الامتصاصية عند الطول الموجي 593 نانومتر بعد انتهاء فترة الحضن مباشرة.

الحاليل المستخدمة

Reagent B: خضر الكاشف العامل باذابة Working Reagent في القينية

الحاوية على Reagent A مع المزج حتى تمام الذوبان.

Reagent A: تحوي قنينة هذا محلول على 45 ملليلتر من محلول

Thiourea Hydrochloric Guanidine Buffer بتركيز 100 ميكرومolar.

Reagent B: تضم العبوة الحاوية على 10 ملي مolar من الباودر الكافي

لتكون 45 ملليلتر من محلول المختزل.

Reagent C: تحتوي قنية هذا الكاشف على 20 ملليلتر من Ferene Buffer

بتركيز 19 ملي مolar.

Standard Solution: تحتوي القنينة على 10 ملليلتر من محلول القياسي للحديد

بتركيز 100 مليغرام / 100 ملليلتر.

النلاحظة: محلول العمل يكتنز بقيمة فعالة عند بقائه في درجة حرارة المختبر، أما في حال حفظه بدرجة حرارة

8°C فسيبقى فعالاً لثلاثة أسابيع.

الحسابات

تم حساب تركيز الحديد الكلي في العينات المصالية وفقاً للمعادلة الآتية:

$$\text{تركيز الحديد الكلي (مايكروغرام / 100 ملليلتر)} = \frac{(\text{امتصاصية العينة} - \text{امتصاصية محلول الكفر}) \times \text{تركيز محلول القياسي}}{\text{امتصاصية محلول القياسي} \times 1000}$$

2-9-5: تقدير سعة ارتباط الحديد الكلية في امصال عينات الدراسة

تم حساب سعة ارتباط الحديد الكلية في مصل الدم لعينات مجموعة المرضى قبل وبعد العلاج وافراد مجموعة السيطرة باستخدام العدة المجهزة من قبل شركة Boditech.

الأساس النظري •••

يرتبط الحديد المصلي الى البروتين الناقل للحديد Transferrin لكن هذا البروتين يرتبط الى ثلث مقدار الحديد المصلي فقط، اما المقدار المتبقى من الحديد فيمثل سعة ارتباط الحديد الكلي غير المشبع للبروتين الناقل للحديد Unsaturated Iron-Binding Capacity of Transferrin (UIBC) اما مقدار الحديد الذي يشبع موقع البروتين الناقل للحديد فيعرف بسعة الحديد الكلي المرتبط Total Iron-Binding Capacity (TIBC).

تعتمد الطريقة اللونية في تقدير TIBC على اشباع موقع البروتين الناقل للحديد بزيادة من ايون الحديديك Fe^{3+} اما المتبقى من ايون الحديديك فيتم امتصاصه بواسطة كاربونات المغنيسيوم والراسب الناتج يتم فصله بواسطة تقنية الطرد المركزي ليتم بعدها تقدير كمية الحديد في الراسب الناتج.

طريقة العمل

تضمنت طريقة تقدير الحديد الكلي في المصل مزج 250 ميكروليتر من المصل مع 500 ميكروليتر من محلول R_1 (محلول ايون الحديد Fe^{+3} بتركيز 86,5 ميكرومولي) في أنبوبة ذات استخدام واحد Disposable Centerifuge Tube، ثم مزج الخليط وترك ليستقر لمدة 20 دقيقة في درجة حرارة المختبر. تمت اضافة 180 مليغرام من المادة R_2 (كربونات المغنيسيوم) الى كل انبوب بحذر ثم حرك المزيج وترك ليستقر لمدة 30 دقيقة بعدها مزج الخليط بقوه لمدة 5 دقائق، تلا ذلك عملية ادخال الانابيب في جهاز الطرد المركزي لمدة 10 دقائق عند سرعة 3000 دورة / دقيقة بعدها تم استخدام 500 ميكروليتر من الراسح لقياس كمية الحديد لونياً عند الطول الموجي 580 ± 20 نانوميتر.

الحسابات

تم حساب سعة الارتباط الحديد الكلي في المصل وفقاً للمعادلة الآتية:

تمت عملية قياس مستوى البروتين الخازن للحديد (Ferritin) في العينات المصطنية لافراد مجموعتي الدراسة الحالية باستخدام خطوات العمل المحددة بالعدة الخاصة بقياس مستويات الفريتين و المصنعة من قبل شركة Boditech.

••الاساس النظري

تقوم فكرة تقدير مستوى الفيريتين على مبدأ التفاعل المناعي (Antibody-Antigen) بطريقة Recombinant Sandwich Flourescence Immuno Assay حيث يتم تكوين معقد ليتم من تفاعل Ferritin-Antibody Anti Human Ferritin-Flourescence Conjugated ليتم تثبيت المعقد المكون بواسطة Immobilized-Antigen المجهز على صفيحة بعدها تفاعل اشارة الفلورة مع ازيدية تركيز الفيريتين في العينة Nitrocellulose Matrix المقاسة.

طريقة العمل

تضمنت طريقة العمل اضافة 30 مایکرولیتر من المصل الى الانبوب الحاوي على المحلول المنظم التشخيصي وغلق الانبوب باحكام ثم مزج المحتوى بقوة، بعد ذلك تم سحب 75 مایکرولیتر من محتوى الانبوب وحمل على خرطوشة الاختبار المجهزة مع عدة العمل ثم ترك النموذج المحمى على الخرطوشة لمدة 10 دقائق في درجة حرارة المختبر. تمت قراءة النتيجة عبر وضع الخرطوشة المحمى عليها مزيج التفاعل في جهاز القياس. النتيجة المتحصل عليها كانت نتيبة التساقط على منحنى قياسي محضر لتركيز متدرجة من الفريتين وبواقع ثلث مكررات لكل تركيز مماجع عملية القياس دقيقة للغاية.

10-2: تقييم مستويات بعض العناصر النزرة في امصال عينات الدراسة الحالية

تمت عملية تقدير مستويات كل من الحديد والنحاس والزنك والنيكل في العينات المصلية لكل من مجموعة الأطفال المصابين سرطان الدم اللمفي الحاد ومجموعة الأفراد الأصحاء باستخدام تقنية المطيافية الذرية الاهببية.

11-2: تقييم وظائف الكلية لعينات مجاميع الدراسة

1-11-2: قياس مستويات هرمون البيتيد الأذيني المدر للصوديوم في امصال مرضى اب Livingston
الدم اللمفي الحاد وافراد مجموعة السيطرة

تمت عملية تقييم مستويات هرمون البيتيد الأذيني المدر للصوديوم Atrial Natriuretic Peptide (ANP) في امصال مجموعة مرضى اب Livingston (عند التشخيص واثناء مرحلة تلقي العلاج الكيميائي) و مجموعة افراد مجموعة السيطرة باستخدام العدة المناعية المجهزة من قبل شركة Elabacince .

••• الاساس النظري

تقوم فكرة تقدير مستويات هرمون ANP في المصل على مبدأ التنافس بين تركيز معلوم من هذا الهرمون محتوى في صفيحة القياس المجهزة مع عدة العمل وتركيزه المراد ايجاده في العينة المقدمة للتحليل لارتباط مع Biotinylated Detection Antibody باستخدام تقنية Competitive-EnzymeLinked Immune Sorbent Assay(Competitive-ELISA) يلي ذلك ارتباط المعدن الناتج (Ag_(Known+Sample)-Ab) الى Avidin-HRP Conjugate ثم قياس تركيز الهرمون عبر متابعة تركيز المادة الاساس المتحولة الى ناتج بفعل انزيم HRP حيث يتتناسب تركيز الهرمون تناسبا طردياً مع شدة اللون المتحصل عليها.

طريقة العمل

تضمنت عملية القياس اضافة 150 مايكروليلتر من عينة المصل (او التراكيز المتدروجة القياسية المجهزة مع العدة) الى حفر الصفيحة (Micro Wells) ثم أضيف 150 مايكروليلتر من Biotinylated Detection Antibody لكل حفرة، بعدها تم تغطية الصفيحة بالغطاء الخاص بها والمجهز مع العدة وحضنها لفترة 45 دقيقة في درجة حرارة المختبر.

بعد اتمام فترة الحضن تمت عملية الغسل للصفيحة لثلاث مرات بحجم كلي من محلول الغسيل مقداره 350 مايكروليلتر بعدها تم ازالة المتبقي من محلول الغسيل بشكل كامل بواسطة الماصة ثم قلبت الصفيحة على ورقة سيلولوزية مجهزة ضمن مكونات العدة لغرض التجفيف.

الخطوة التالية تضمنت اضافة 100 ميكروليتر من الانزيم المرتبط الى الافدين HRP الى كل حفرة ثم تحريك الصفيحة بشكل دائري، ثم اعقب ذلك خطوة الحضن لمدة 30 دقيقة عند درجة حرارة 37°C، بعدها تم غسل الصفيحة وسحب الفائض من محلول الغسل مرة اخرى، تلا خطوة الغسيل اضافة 90 ميكروليتر من محلول المادة الاساس لكل حفرة وتحريك الصفيحة ثم حضنها عند درجة حرارة 37°C لفترة 15 دقيقة.

اخيراً، اضيف 150 ميكروليتر من محلول الايقاف ليتحول عندها لون الصفيحة من اللون الازرق الى الاصفر، حيث تتناسب شدة اللون الناتج ضوئياً مع تركيز الهرمون في العينة. تمت القراءة عند الطول الموجي 450 نانوميتر.

11-2: تقدير مستوى اليوريا في امصال مجموعات الدراسة

تم تقدير تركيز اليوريا في امصال مرضى الدراسة الحالية عند التشخيص واثناء العلاج علاوة على الافراد الاصحاء في مجموعة السيطرة باستخدام العدة التحليلية المجهزة من قبل شركة Biomerieux.

••••• الأساس النظري

يستند الأساس النظري لتقدير تركيز اليوريا عبر احتساب فعالية إنزيم Urease في المحيط القاعدي حيث تتفاعل الأمونيا مع Hypochlorite ليكون 2,2-Salicylate Dicarboxyindophenol أخضر اللون والذي تقام شدته عند الطول الموجي 580 نانوميتر.



طريقة العمل

اعتمدت طريقة العمل المقارنة المباشرة بين امتصاصية العينة المصلية مجهلة التركيز للأشعة المسلط مقارنة بامتصاصية عينة قياسية. تضمنت طريقة القياس اضافة 10 ميكروليتر من المصل و 10 ميكروليتر من العينة القياسية في انبوبيتين منفصلتين ثم اضافة 1 مليليتر من

Working Solution الى كل من الانبوبتين ثم مزجت بقوة و تركت بدرجة حرارة 20-25°C لمدة 5 دقائق، بعد ذلك تم اضافة 200 ملليلتر من Alkaline Solution (محلول الايقاف) ومزجت محتويات الانابيب بقوة ثم تركت لعشر دقائق تماماً بدرجة حرارة 20-25°C، واخيراً تم قراءة الامتصاصية عند الطول الموجي 580 نانوميتر.

المحاليل المستخدمة

•• محلول العينة القياسية Standard Solution: تحتوي العبوة على محلول Urea بتركيز

8.33 ملي مolar

••• محلول العامل Working Solution: تم تحضيره بمزج محتويات عبوة محلول Reagent 2 الى مكونات العبوة الحاوية على محلول Reagent 3 ثم مزج المكونات حتى تتجانس.

••• محلول Reagent 2: يتكون هذا محلول من Sodium salicylate بتركيز 62 ملي مolar و Sodium Nitroprusside بتركيز 3.35 ملي مolar و EDTA بتركيز 1 ملي مolar.

••• محلول Reagent 3: وهو عبارة عن Phosphate Buffer Solution (بتركيز 50 ملي مolar و عند $pH = 8$)

••• محلول القاعدي Alkaline Reagent: يتكون هذا محلول من Sodium Hydroxide بتركيز 0.5 مolar و Sodium Hypochlorite بتركيز 4.8 ملي مolar.

الحسابات

تم حساب مستوى اليوريا في المصل بتطبيق المعادلة الآتية :

2-11-3: تقدير مستوى الكرياتينين في امصال مجموعات الدراسة

تم تقدير مستوى الكرياتينين في امصال مجاميع الدراسة باستخدام العدة التشخيصية المجهزة من قبل شركة Biolabo.



•• الاساس النظري

اعتمد مبدأ امكانية تفاعل Creatinine مع Picric Acid لتكوين محلول Creatinine ذو لون اصفر مائل الى البرتقالي كاساس لتقدير مستوى Creatinine.

طريقة العمل

تضمنت عملية قياس مستوى Creatinine في المصل اضافة 1 ملليلتر من Working Reagent الى كل من 100 ميكروليتر من المصل (انبوبة العينة) و 100 ميكروليتر من الماء المقطر (انبوبة الكفؤ) و 100 ميكروليتر من محلول القياسي (انبوبة محلول القياسي)، مزجت الانابيب بقوة ثم تمت عملية القياس عند الطول الموجي 490 نانومتر.

حضر كاشف العمل بحسب الإرشادات المدونة في ورقة التعليمات الخاصة بالعدة التشخيصية عن طريق مزج كمية من محلول مع كمية متساوية من محلول ورج محلول جيدا، تم حفظ Working Reagent وال محلاليل الاخرى بدرجة حرارة 2-8°C.

المحاليل المستخدمة

Working Reagent: حضر هذا محلول حسب الإرشادات المبينة في عدة العمل

عبر مزج حجم متساوية من Reagent 2 و Reagent 1 ثم مزجت المكونات وحفظ محلول الناتج في الثلاجة بدرجة حرارة 2-8°C خلال فترة العمل.

Reagent 1: محلول Picric Acid بتركيز 38 ملي مolar

Reagent 2: محلول Sodium Hydroxide بتركيز 1,6 ملي مolar

Standard Creatinine Solution: وهو محلول القياسي المستخدم وتركيزه

177 ملي مolar

الحسابات

تم حساب مستوى Creatinine في امصال مجاميع الدراسة عبر تطبيق المعادلة الآتية:

4-11-2: تقدير تركيز حامض اليورك في امصال مجموعات الدراسة

تم تقييم مستويات uric acid في امصال عينات الدراسة باستخدام العدة المجهة من قبل شركة Pariksha Biotech Private Limited.

••• الأساس النظري

يُلْكَسِد Uric Acid بوجود إنزيم Uricase ليكون Allantoin مع بيروكسيد الهيدروجين والذى له القابلية على إكسدة Dichlorohydroxy Benzene Sulphonic Acid (DCHBS) و(4-AAP) بوجود إنزيم Peroxidase (POD) ليكون معقد أحمر يقرأ امتصاصيته عند الطول الموجي 505 نانومتر.



طريقة العمل

تضمنت عملية تقدير مستوى Uric Acid في المصل اضافة 1 ميليليتير من Enzyme Reagent الى كل من 100 ميكروليتر من المصل (انبوبة العينة) و 100 ميكروليتر من الماء المقطر (انبوبة الكفؤ) و 100 ميكروليتر من محلول القياسي (انبوبة المحلول القياسي)، مزجت الانابيب بقوة ثم حضنت لمدة 10 دقائق بعد ضبط درجة حرارة الحاضنة عند 37°C، بعدها تمت عملية القياس عند الطول الموجي 505 نانومتر.

الحسابات

تم حساب مستوى Uric Acid في امصال مجاميع الدراسة عبر تطبيق المعادلة الآتية:

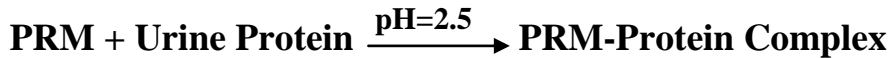
$$10 \times \frac{\text{امتصاصية الكفؤ}}{\text{امتصاصية الكفؤ}}$$

2-11-5: قياس مستويات الألبومين الدقيق في عينات الادrar لمجموعتي الدراسة

تم تقييم مستويات البروتين البولي الدقيق Microalbuminurin في عينات الادrar لافراد مجموعتي الدراسة باستخدام العدة المجهزة من قبل شركة Linear Chemicals

••• الاساس النظري

تستند فكرة تقييم مستويات Microalbumin الى تفاعل مجموعة الامين الحرة (القاعدية - الطرفية) من البروتين مع Pyrogallol Red Molibdate (PRM) في محیط حامضي لتكوين معقد يمتص الاشعة المرئية عند الطول الموجي 600 نانومتر.



طريقة العمل

تضمنت طريقة العمل استخدام ثلاثة انبيب: انبوبة العينة و انبوبة الكفؤ و انبوبة محلول القياسي، احتوت الانبوبة الاولى على 20 ميكروليتر من الادرار في حين احتوت الثانية على 20 ميكروليتر من الماء المقطر اما الانبوبة الاخيرة فاحتوت على 20 ميكروليتر من محلول القياسي. تمت اضافة 1 ملليلتر من Reagent 1 الى كل واحدة من الانابيب الثلاث ثم مزجت بقوة وحضنت عند درجة حرارة 37°C لمدة خمس دقائق. تمت القراءة عند الطول الموجي 600 نانومتر.

المحاليل المستخدمة

Reagent 1 •••
يتكون من Succinat Buffer (Pyrogallol Reagent) Reagent 1
 التركيز 2,5 pH + 0,06 ملي مولار Pyrogallol Red
 التركيز 0,04 ملي مولار Sodium Dodocyl Sulphate +
 التركيز 0,08 ملي مولار (SDS)

••• محلول بروتين البول القياسي: تحتوي عبوة محلول القياسي على Albumin بتركيز 2 غرام / ليتر.

الحسابات

تم حساب مستوى Microalbumin في ادرار مجاميع الدراسة عبر تطبيق المعادلة

الاتية:

ركيز محلول القياسي

محلول

12-2: تقييم وظائف الكبد لمرضى الدراسة ومجموعة السيطرة

1-12-2: تقدير فعالية الانزيمات الناقلة لمجموعة الامين Aspartate Transaminase

وأنزيم (AST)AlanineTransaminase (ALT) في امصال عينات الدراسة

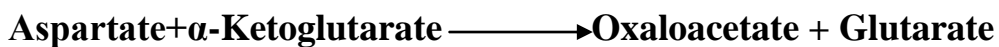
تم الاستعانة بالعدة المجهزة من قبل شركة Randox في قياس مستويات الفعالية الانزيمية

لكل من الانزيمين الناقلين للمجموعة الامينية.

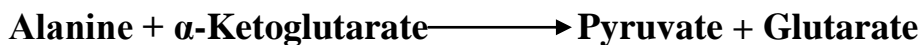
••• الاساس النظري

يرتكز تقييم مستوى فعالية الانزيمات الناقلة لمجموعة الامين الى احتساب كمية المركبات الايضية الناتجة عن عمل هذه الانزيمات. يعمل انزيم Aspartate Transaminase على نقل مجموعة الامين من حامض الاسبارتنيك (Aspartate) الى الفا-(AST/GOT) كيتواحمض كلوتاريک (α -Ketoglutarate) منتجاً بذلك اوكيز الاوكسالات (Oxaloacetate). من جانب اخر، يحفز انزيم AlanineTransaminase (ALT/GPT) تفاعل انتقال مجموعة الامين من الحامض الاميني الالنين (Alanine) الى الفا-كيتواحمض الكلوتاريک (α -Ketoglutarate) منتجاً بذلك البايروفيت (Pyruvate).

GOT



GPT

**2,4-Dinitro Phenyl**

تقييم مستويات فعالية هذين الانزيمين عبر قياس مستويات

. Pyruvate و Oxaloacetate والتي تمثل الهيئة المشتقة لكل من Hydrazine

 طريقة العمل

تضمنت خطوات قياس مستوى فعالية انزيم GOT اضافة 1 ملليلتر من الكاشف

رقم 1 ("R₁") في انبوبة الاختبار ثم الحضن عند درجة حرارة 37° م ولمدة 5 دقائق بعدها تم اضافة 200 ميكروليلتر من المصل مع المزج بقوة بعدها تعداد الانابيب الى الحاضنة لمدة ساعة واحدة وعند نفس الدرجة الحرارية. بعد انتهاء فترة الحضن الاخيرة تم اضافة 1 ملليلترمن الكاشف رقم 3 ("R₃") مكونات الانابيب ثم مزجها بقوة وترك الانابيب في درجة حرارة المختبر لمدة 20 دقيقة، واخيراً تم اضافة 10 ملليلتر من محلول الايقاف (هيدروكسيد الصوديوم بتركيز 0,4 عياري) مع المزج بقوة بعدها تركت الانابيب لمدة 5 دقائق فقط بدرجة حرارة المختبر. تم القياس عند الطول الموجي 505 نانوميتراً.لغرض قياس فعالية انزيم GPT تم اضافة 1 ملليلتر من الكاشف رقم 2 ("R₂)

الى انبيب اختبار زجاجية ثم حضنت هذه الانابيب في درجة حرارة 37° م ولمدة 5 دقائق بعدها تم اضافة 200 ميكروليلتر من المصل مع المزج بقوة بعدها اعيدت الانابيب الى الحاضنة لمدة 30 دقيقة بدرجة حرارة 37° م تلا ذلك اضافة 1 ملليلتر من الكاشف رقم 3

("R₃") مزجت محتويات الانابيب بقوة ثم تركت بدءلاجة حرارة المختبر لمدة 10 دقائق بعد ذلك تم اضافة 10 ملليلتر من هيدروكسيد الصوديوم بتركيز 0,4 عياري مع المزج لمحتويات التفاعل، بعدها تركت الانابيب بدرجة حرارة المختبر لمدة 5 دقائق قبل القياس عند الطول الموجي 505 نانوميتراً.

طبقت خطوات العمل باستخدام عينات قياسية مجهزة مع كل عدة لاجل احتساب الفعالية الانزيمية لكل من انزيم GOT و GPT.

المحاليل المستخدمة

R₁: يتكون من محلول Phosphate Buffer عند pH 7,5 وبتركيز 85 ملي مولاري؛ Aspartate و التركيز 200 ملي مولاري و اخيراً α-Ketoglutarate بتركيز 2 ملي مولاري. هذا الكاشف مجهز بقنينة سعة 100 ملilitر معتمة وهو محلول المادة الأساس لانزيم GOT.

R₂: ويكون من محلول Phosphate Buffer عند pH 7,5 وبتركيز 85 ملي مولاري؛Alanine و التركيز 200 ملي مولاري و اخيراً α-Ketoglutarate بتركيز 2 ملي مولاري. هذا الكاشف مجهز بقنينة سعة 100 ملilitر معتمة وهو محلول المادة الأساس لانزيم GPT.

R₃: ويكون من 2,4-Dinitro Phenylhydrazin بتركيز 1 ملي مولاري وحامض الهيدروكلوريك بتركيز 0,1 ليتر / ليتر . وهذا محلول ملون ويجب التعامل معه بحذر لامكانية اذاه للعين والجهاز التنفسى والجلد.

NaOH بتركيز 0,4 عياري: وتحضر من إذابة 1 غم من هيدروكسيد الصوديوم Sodium Hydroxide في لتر من الماء المقطر.

ملاحظة: هذه العدة يجب أن تحفظ في درجة حرارة لا تزيد عن 8 °C.

الحسابات

طبقت المعادلة الآتية لإيجاد الفعالية الإنزيمية لكل من انزيم GOT و GPT.

12-2: تقدير فعالية إنزيم الفوسفاتيز القاعدي (ALP) في امصال Alkaline Phosphatase (ALP)

عينات الدراسة

تم تقدير فعالية إنزيم الفوسفاتيز القاعدي الموجود في امصال مرضى الدراسة الحالية عند التشخيص واثناء العلاج علاوة على الافراد الاصحاء في مجموعة السيطرة باستخدام العدة التحليلية المجهزة من قبل شركة Biomerieux.

•• الأساس النظري

يستند الأساس النظري في تقدير فعالية إنزيم الفوسفاتيز القاعدي إلى احتساب لكمية الفينول المتحرر باستخدام Phenol Potassium Ferric Cyanide، ثم ايقاف التفاعل الانزيمي باستخدام مادة 4-Amino Antipyrine Sodium Arsenate.

طريقة العمل

تضمنت طريقة العمل استخدام اربعة انباب زجاجية، الاول للعينة Sample والثاني كان انبوب السيطرة Control والثالث كان للمادة القياسية Standard والاخير كان الانبوب الخل (الكاف). الخطوة الاولى اشتملت على اضافة 2 ملليلتر من الكاشف رقم 1 Reagent-1 (R₁) الى الانبوب الاربعة ثم تم حضن الانبوب الاربعة لمدة 5 دقائق وعند درجة حرارة 37°C. بعدها تم اضافة 50 مايكروليتر من المصل الى انبوبة العينة Sample و 50 مايكروليتر من الكاشف رقم 2 Reagent-2 (R₂) الى انبوبة Standard و 50 مايكروليتر من الماء المقطر الى انبوبة الخل، تعداد الانبوب الى الحاضنة عند درجة حرارة 37°C لمدة 15 دقيقة. بعد انتهاء فترة الحضن الاخيرة تم اضافة 0,5 ملليلتر من الكاشف رقم 3 Reagent-3 (R₃) الى الانبوب الاربعة مع المزج بقوة بعدها تم اضافة 0,5 ملليلتر من الكاشف رقم 4 Reagent-4 (R₄) للانبوب الاربعة مع المزج بقوة ثم وضعت الانبوب الاربعة في مكان مظلم لمدة 10 دقائق. تمت عملية القياس عند الطول الموجي 510 نانوميترا.

المحاليل المستخدمة

R₁: وهو محلول المادة الأساس ويكون من Disodium Phenyl Phosphate

بتركيز 5 ملي مولاري مع محلول المنظم Carbonate - Bicarbonate بتركيز 50 ملي مولاري و pH 10.

R₂: وهو محلول الفينول بفعالية الذي يسبب فعالية انزيمية مقدارها 142 وحدة / لتر.

R₃: وهو محلول المادة الموقفة للتفاعل ويتألف من 4-Aminoantipyrine بتركيز 60 ملي مولاري مع Sodium Arsenate بتركيز 75 غم / لتر.

R₄: وهو محلول ملون شديد السمية لأنه مكون من Potassium Ferricyanide بتركيز 150 ملي مولاري.

الحسابات

لعرض حساب الفعالية الانزيمية لكل عينة مقاسة تم اتباع المعادلة الآتية:

$$142 \times \frac{\text{Contr}}{\text{Blank}}$$

12-3: تقدير تركيز البروتينات الكلية في امصال عينات الدراسة

تم تقدير كمية البروتين الكلي في العينات المصلية لمجاميع الدراسة باستخدام العدة المجهزة من قبل شركة Randox.

•• الأساس النظري

يرتكز الأساس النظري لتقدير كمية البروتين إلى طريقة Biurate والتي تعتمد على التفاعل المباشر بين البروتين مع Copper Sulphate في وسط قاعدي لتكوين معقد ازرق - بنفسجي يقاس عند الطول الموجي 540 نانوميتر.

طريقة العمل



تضمنت عملية قياس كمية البروتين الكلي في المصل مزج 50 ملليغرام من المصل (او عينة البروتين القياسي) مع 2,5 ملليلتر **Biurate Reagent** من ، ثم الحضن لمدة 30 دقيقة عند درجة حرارة 37°C، تلا ذلك تمت عملية القياس عند الطول الموجي 540 نانومتر.

المحاليل المستخدمة

• Biurate Reagent: جهز هذا الكاشف في عبوة بلاستيكية معتمدة سعة 100 ملليلتر،

ويتكون هذا الكاشف من: Sodium Hydroxide بتركيز 100 ملي مolar +

Potassium Azide بتركيز 16 ملي مolar + Potassium Tartateate بتركيز 15 ملي

مolar + Copper Sulphate بتركيز 6 ملي مolar .

• Standard Protein Solution: جهز هذا المحلول من قبل الشركة المصنعة

في عبوة زجاجية سعة 5 ملليلتر وبتركيز 6 غرام/100 ملليلتر.

الحسابات

تم حساب كمية البروتين في كل عينة من عينات الدراسة باستخدام المعادلة الآتية:

التركيز العينة القياسية

العينة

13-2: التحليل الاحصائي

تم التحليل الاحصائي للنتائج المتحصل عليها في الدراسة الحالية باستخدام الاصدار العشرين من البرنامج (SPSS) Statistical Package for the Social Science (SPSS). تم التعبير عن النتائج بدالة المتوسط ± الانحراف المعياري (Mean ± S.D.). باستخدام اختبار الطالب - t test (Student's t-test) تمت عملية المقارنة الاحصائية بين مجموعتي الدراسة الرئيسيتين، في حين تم تطبيق اختبار تحليل المتغيرات Analysis of Variance (ANOVA) لمقارنة نتائج المجاميع الفرعية الاربعة المتضمنة في الدراسة والمستندة الى الاختلاف في الجنس. تم تطبيق احتساب معامل الارتباط بيرسون Person's Correlation لقياس مستويات الارتباط بين المعايير المقيدة في الدراسة الحالية. اعتمدت النتائج المحصلة احصائياً عند مستوى احتمالية اقل 5% ($p < 0.05$)

الفصل الثالث

النتائج والمناقشة



1-3: أفراد مجاميع الدراسة

شملت عينات الدراسة الحالية على 60 فرداً تقسموا في مجموعتين تضمنت الأولى 30 مريضاً 19 منهم من الذكور (63%) و 11 أنثى (37%) أما المجموعة الثانية فقد تضمنت 30 طفلاً الأصحاء، 18 منهم من الذكور حيث شكلوا بنسبة 60% من أفراد مجموعة السيطرة و 12 أنثى سليمة بنسبة 40% من أفراد هذه المجموعة. الجدول 1-3 يظهر متوسط أعمار أفراد مجموعة الدراسة الحالية والمديات العمرية لهم، في حين يبين الجدول 3-2 توزيع المرضى المصابين بابيضاخت الدم اللمفي الحاد و الأفراد الأصحاء حسب الجنس.

الجدول 1-3: عينات الدراسة حسب العمر لمرضى ابويضاخت الدم اللمفي الحاد مع الأصحاء

Subjects (n)	Mean \pm S.D. (Year)	Min-Max Age (Year)	Age Range (Year)	p - value
<i>Patients</i> 30	6.800 ± 3.786	2.000 - 13.000	11.000	
<i>Controls</i> 30	6.200 ± 3.452	1.000 - 13.000	12.000	0.528

الجدول 3-2: توزيع مجاميع مرضى ابويضاخت الدم اللمفي الحاد و الأفراد الأصحاء حسب الجنس

Subjects (n)	Gender (n)	Age (Year) Mean \pm S.D.	Min-Max Age (Year)	Age Range (Year)	p- value
<i>Patients</i> 30	<i>Male</i> 19	6.690 ± 3.941	2.000 - 12.000	10.000	0.831 <i>For 1vs2</i>
	<i>Female</i> 11	7.000 ± 3.651	2.000 - 13.000	11.000	
<i>Controls</i> 30	<i>Male</i> 18	5.960 ± 3.355	1.000 - 12.000	11.000	0.527 <i>For 1vs3</i>
	<i>Female</i> 12	6.700 ± 3.773	2.000 - 13.00	11.000	

1: Male Patients, 2:Female Patients, 3: Healthy Males, and 4:Healthy Females. The Mean Difference is Significant at 0.05 Level



أوضحت الدراسة إن نسبة الإصابة بابيضاض الدم اللمفي الحاد عند الذكور كانت أكبر مما في الإناث، أما انتقاء أفراد مجموعة السيطرة فقد جاء للتماشي مع أعداد أفراد مجموعة المرضى، وقد جاءت هذه النتائج متقاربة مع الإحصائيات المحلية والعالمية حول وبائية هذا النوع من السرطانات (Boyle and Levin, 2008)، وزارة الصحة، مجلس السرطان في العراق، (2008) و التي أكدت على ارتفاع نسبة الإصابة بابيضاض الدم اللمفي الحاد لدى الذكور مقارنة بالإناث، إذ كانت نسبة إصابة الذكور إلى الإناث هي 1.3 : 1. أشارت الدراسات السابقة إلى أن الاختلاف في نسب الإصابة بابيضاض الدم اللمفي الحاد عند الذكور مقارنة بالإناث يعود إلى القائير المحتمل للهرمونات والعوامل المرتبطة بالجنس (Linet, et al., 2003).

أوضحت النتائج المتحصل عليها من استمار الاستبيان المصمم في الدراسة الحالية تأثير كل من عوامل التدخين السلبي والتعرض للمواد الكيميائية ومشتقات النفط والعلاجات السابقة التي تناولها المرضى إضافة إلى مجموعة من العوامل والملوثات غير المشخصة قد أسهمت في إحداث الإصابة بابيضاض الدم وجاءت النتائج متفقة مع عدد من الدراسات التي أوزعت أسباب الإصابة إلى عوامل بيئية وكيميائية مختلفة (American Cancer Society, 2014; Linet, et al., 2007). أوجدت الدراسة الحالية ان التعرض لأشعاع المؤين قد تصدر الأسباب التي قد ترتبط بالإصابة بمرض ابويضاض الدم اللمفي الحاد وقد اتفقت نتائج العمل الحالي مع عدد من الدراسات المرتكزة إلى عينات لمصابين بابيضاض الدم اللمفي الحاد (Liang and Pui, 2005; Larson and Anastasi, 2008; Wartenberg, et al., 2008).

بيّنت المعلومات الإحصائية لوبائية مرض السرطان والتي ارتكزت إليها الدراسة الحالية أن عدد الحالات السرطانية المسجلة في محافظة كربلاء المقدسة على مدى خمسة أعوام فقط (من 2012 ولغاية 2017) قد بلغت 3892 إصابة، وفي إحصائية أكثر حداً سُجّلت إصابة 127 طفل بابيضاض الدم اللمفي الحاد في محافظة كربلاء المقدسة لعام 2017 غالبيتهم من خلا تاريخهم العائلي من الإصابات السرطانية. يُعزى ارتفاع أعداد الإصابات السرطانية لا سيما سرطان الدم نتيجة ل تعرض المنطقة للتلوث الإشعاعي والكيميائي بشكل كبير مما أدى إلى ازدياد حدوث الطفرات المسببة للإصابة في توليد ابويضاض الدم Leukemogenesis ومن ثم حصول المرض (الiban، 2012؛ اسماعيل، 2010؛ الشمري، 2005؛ الدليمي، 2003؛ العبيدي، 2002).

تشير النتائج المتحصل عليها في استمار الاستبيان الخاصة بأفراد الدراسة الحالية إن المناطق الريفية والأطراف قد سجلت حالات الإصابة الأكثر من بين أفراد المجموعة المصابة وقد يفسر ذلك من جوانب عدة: (1) الإصابة السرطانية أنت نتيجة للإصابة BLV virus والذي يعد أحد الأسباب الرئيسية في احداث مرض ابيضاض الدم الحاد لدى الأشخاص الذين يتعاملون مع الماشية المصابة بهذا الفيروس الرجعي، إذ تم دراسة إمراضية هذا الفيروس في 571 حالة مصابة بابيضاض الدم الحاد في الدول الآسيوية (Lee, *et al.*, 2005). (2) قد يعود السبب في ارتفاع معدلات الإصابة لقاطني المناطق الريفية وأطراف المدن كناتج للتreatment المباشر مع المبيدات، فقد درس الدور المسرطن للمبيدات في الحيوانات (IARC, 1991) كما درست أهم التغيرات الوراثية الخلوية التي قد يتعرض لها العمال في مجال صناعة واستخدام المبيدات (Turner, 2010; Ohrr, *et al.*, 1991) مما يعطي إشارة إلى أثر المواد الكيميائية والمبيدات الزراعية في رفع حالات الإصابة. (3) وأخيراً، تعرض المناطق الريفية وأطراف محافظة كربلاء المقدسة للإشعاع من خلال استخدام الأسلحة الحاوية على اليورانيوم أبان حرب الخليج و مالتها من معارك ولما كان هذا العنصر ذو نشاط إشعاعي كبير حيث تتحل ذراته ببطيء مطلقة طاقة على هيئة إشعاع، ويبلغ عمر نصف اندثار 4.9×10^9 سنة مما يجعل هذه المناطق ملوثة لفترة طويلة للغاية، والمعلوم وفقاً للعديد من الدراسات السابقة فان هذا العنصر يسبب العديد من الطفرات المؤدية بنتيجتها إلى حدوث السرطان، والسرطان محور الدراسة الحالية يعد من أكثر الأنواع حدوثاً (Iraqi Cancer Board, 2003; Kufe, *et al.*, 2000; ; 2000; 2008, Habib, *et al.*, 2005)

3-2: تقييم مستويات اللكتين CLEC4E في أمصال المرضى المصابين بابيضاض الدم المفي الحاد و أفراد مجموعة السيطرة

أوضح التحليل الإحصائي باستخدام اختبار t-Student وجود فرقاً معنوياً ($p = 0.000$) عند مقارنة مجموعتي الدراسة (المرضى بابيضاض الدم المفي الحاد والأفراد الأصحاء) معاً ، حيث أوضحت النتائج المسجلة ارتفاعاً شديداً في مستويات اللكتين المقاس، قارب الضعف، في أمصال المجموعة محور الدراسة (المرضى بابيضاض الدم المفي الحاد) عنه في مجموعة السيطرة وكما يظهر في الجدول 3-3.

الجدول 3-3: مستويات اللكتين (pg / ml) في العينات المصلية لمرضى بابيضاض الدم اللمفي الحاد و الأفراد الأصحاء

<i>Subjects (n)</i>	<i>CLEC4E Concentration (pg / ml) Mean ± S.D.</i>	<i>Min-Max CLEC4E Concentration (pg / ml)</i>	<i>Range</i>	<i>p- value</i>
<i>Patients 30</i>	0.429 ± 0.265	0.030 - 1.070	1.040	
<i>Controls 30</i>	0.222 ± 0.129	0.060 - 0.480	0.420	0.000

بغية التقصي عن تأثير الجنس في مستويات اللكتين المصلي المنتج، تم تطبيق الإحصائي للمتغيرات **Analysis of Variance (ANOVA)** لمقارنة النتائج المسجلة في عينات الدراسة بعد تصنيفها استناداً إلى جنس العينة. أوجدت الدراسة الحالية ارتفاعاً معتد به إحصائياً (p = 0.005) لمستويات اللكتين المقاس في العينات المصلية للذكور المصابين ببابيضاض الدم اللمفي الحاد مقارنة بأقرانهم في مجموعة السيطرة، وهذه النتيجة كانت متناسبة مع ما سُجل عند مقارنة مستويات اللكتين في عينات الإناث المصابات مع أقرانهن في مجموعة السيطرة (p = 0.019) في حين لم تسجل أي فروق معنوية لمستويات اللكتين المصلي عند إجراء المقارنة بين الجنسين في كل من مجموعتي الدراسة كلاً على حدا، وكما مبين في الجدول 3-4.

الجدول 3-4: مستويات اللكتين CLEC4E (pg / ml) في العينات المصلية لذكور و إناث المرضى ببابيضاض الدم اللمفي الحاد و الأفراد الأصحاء

<i>Subjects (n)</i>	<i>Gender (n)</i>	<i>CLEC4E Concentration (pg / ml) Mean ± S.D.</i>	<i>Min-Max CLEC4E Concentration (pg / ml)</i>	<i>Range</i>	<i>p- value</i>
<i>Patients 30</i>	<i>Male 19</i>	0.424 ± 0.269	0.030 - 1.070	1.040	0.865
	<i>Female 11</i>	0.438 ± 0.271	0.100 - 0.810	0.710	For 1vs2 0.832
<i>Controls 30</i>	<i>Male 18</i>	0.228 ± 0.130	0.062 - 0.480	0.420	For 3vs4 0.005
	<i>Female 12</i>	0.210 ± 0.131	0.060 - 0.460	0.400	For 1vs3 0.019
<i>For 2vs4</i>					

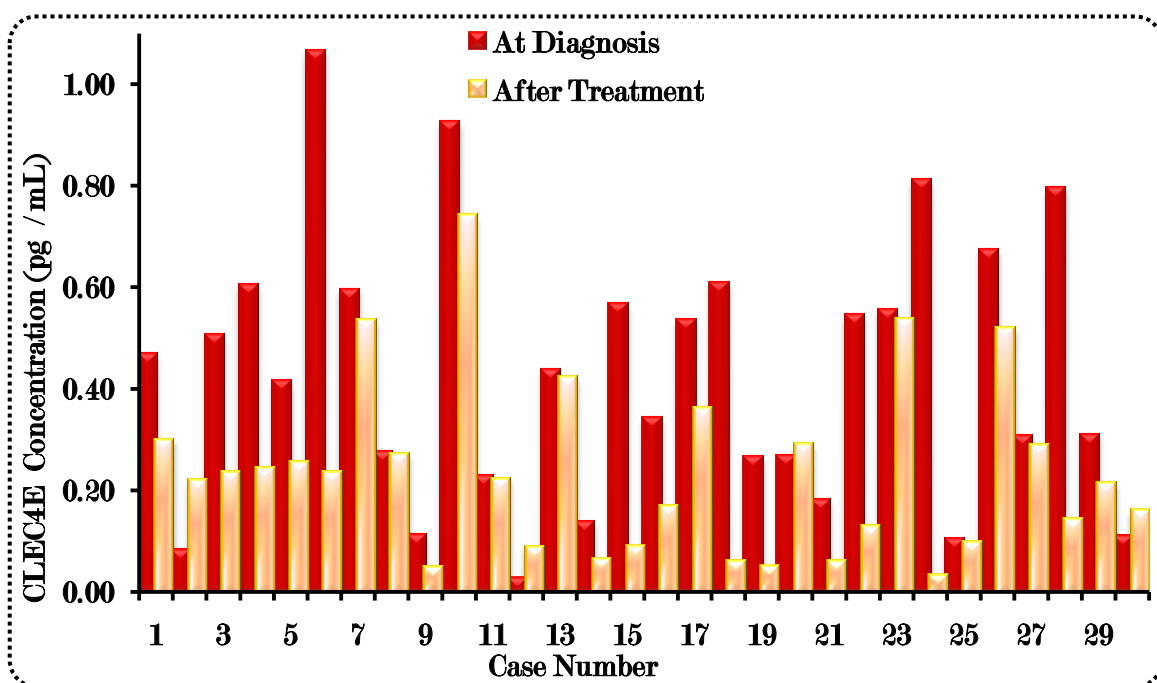
1: Male Patients, 2:Female Patients, 3: Healthy Males, and 4:Healthy Females. The Mean Difference is Significant at 0.05 Level



على الرغم من إن أوطأ مستويات اللكتين المسجلة (0.030 pg/ml) في مجموعة مرضى الدراسة قد كانت في عينة ذكر بعمر 12 عاماً كانت إصابته في مراحلها الأولى، إلا إن أعلى مستويات اللكتين المقيم (1.070 pg/ml) كانت أيضاً من نصيب عينة ذكر في الخامسة من العمر، وهذا يمكن أن يشير إلى إن لسن المصاب دوراً في قابلية التصدي للإصابة السرطانية مما يفسر نسب الشفاء العالية في الأطفال بسن يزيد عن 7 سنوات مقارنة بأقرانهم في أعمار أقل.

بغية التقصي عن تأثير العلاج الكيميائي في إنتاج اللكتين المصلي تم متابعة مستوياته في عينات المرضى بعد تلقي ما لا يقل عن جرعتين متواлиتين من العلاج الكيميائي.

يظهر **الشكل 3-1** انخفاضاً في مستويات اللكتين المصلي المقاس لدى 80 % من مرضى ابيضاض الدم اللمفوي الحاد (24 من 30 مريضاً) بعد تلقيهم ما لا يقل عن جرعتين من العلاج الكيميائي.



الشكل 3-1: مستويات اللكتين CLEC4E المصلي في عينات المرضى ب أبيضاض الدم اللمفوي الحاد عند التشخيص وبعد تلقي العلاج الكيميائي

لم تنشر نتائج التحري في المراجع والأدبيات السابقة إلى وجود دراسة لتقييم مستويات اللكتين CLEC4E في عينات الأفراد الأصحاء أو عينات لمصابين ب أبيضاض الدم اللمفوي الحاد مما يجعل الدراسة الحالية محاولة لتقديم دراسة كاملة عن مستويات هذا الصنف من اللكتينات في عينات سلية و





أخرى مصابة بابيضاض الدم اللمفي الحاد، ومن ناحية أخرى صممت الدراسة الحالية كمحاولة لتقديم هذا النوع من الكتينات كدالة ورمية جديدة لتمييز الإصابة السرطانية عن عدمها.

أظهرت نتائج العمل موضوع الدراسة أن هذا الصنف من الكتينات ينتج طبيعياً لدى الإنسان إلا إن مستوياته ترتفع بمقدار كبير للغاية عند حدوث الإصابة بالسرطان من النوع ALL ، حيث سجلت الدراسة ارتفاع في مستويات CLEC4E في 26 من أصل 30 عينة مقيمة (الحساسية 87%)، علاوة على ذلك فقد وجد إن مستويات هذا البروتين تزداد بشكل طردي مع تقدم الإصابة السرطانية.

أشارت الدراسة إلى عدم وجود فروقاً في مستويات هذا النوع من البروتينات بين الجنسين ضمن المجموعة الواحدة سواء كانت لأفراد مصابين أو أصحاء، في حين بينت الدراسة إلى أن المستويات الدنيا لهذا البروتين كانت أعلى عند الإناث منها في الذكور في حين سجلت عينة الذكور المصابين المستويات الفردية الأعلى مما سجل في الإناث.

يمكن أن تفسر الزيادة المرصودة في مستوى الكتين CLEC4E لدى المصابين بابيضاض الدم اللمفي الحاد من خلال ارتباط استحث تث تخليقها بالتحول الحاصل في الخلايا السرطانية ، وقد جاءت نتائج الدراسة الحالية متواقة مع دراسات أخرى عملت على تقييم أنواع مختلفة من الكتينات في عينات لأفراد مصابين لأنواع مختلفة من السرطانات (Rasha, *et al.*, 2010; Pradhan, *et al.*, 2011; Sallenbach, *et al.*, 2011; Asgharzadeh, *et al.*, 2015).

أثبتت الدراسة انخفاضاً ملحوظاً في مستويات الكتين CLEC4E بعد تلقي العلاج الكيميائي مما يشير إلى إمكانية استخدام هذا البروتين في متابعة الحالة الصحية للمريض ومدى استجابته للعلاج، ويمكن أن يدل هذا النقصان في مستويات الكترين بشكل يقاربها من مستويات نظرائهم في مجموعة السيطرة على استجابة الجسم للعلاج المقدم عبر كبح تكاثر الخلايا السرطانية مما يؤدي إلى انخفاض إنتاج هذا البروتين، كذلك قد ينجم النقصان في مستوى الكتين CLEC4E كرد فعل لعملية الإبادة التي تحصل في الخلايا السليمة والمصابة بعد تلقي العلاج الكيميائي، أما العينات الأربع التي لم يسجل فيها انخفاض لمستوى الكترين فقد يعود السبب في ذلك إلى تقدم مراحل الإصابة أو نتيجة مقاومة العلاج المطبق. جاءت النتائج المتحصل عليها في هذا الجانب متواقة مع عدد من الدراسات (Nomura, *et al.*, 2006; Song, *et al.*, 2008; Lam and Ng, 2011) التي ارتكزت إلى دراسة مستويات الكتينات الخام (Crude Lectins) في المرضى المصابين بسرطان الكلية فقد عزت



هذه الدراسات الزيادة الحاصلة في مستوى اللكتين على انه احد أنواع البروتينات المخلقة و المفرزة بسبب الإصابة بالأمراض ولاسيما السرطانية منها.

3-3: تقييم مستويات الإجهاد التأكسدي في أمصال مجموعتي الدراسة

تم تقييم مستوى الإجهاد التأكسدي الخلوي المحتمل حدوثه كرد فعل للإصابة السرطانية في عينات مرضى ابيضاض الدم اللمفي الحاد مقارنة بالأفراد الأصحاء في مجموعة السيطرة عبر تقييم مستوى المالون ثائي الأليهيد (MDA) كمعيار للأكسدة الخلوية في حين تم تقييم مستويات فعالية وتركيز الإنزيم المؤكسد للسيرلوبلازمين Ceruloplasmin Oxidase كمعيار لنظام الدفاع الداخلي المضاد للأكسدة.

3-3-1: تقييم مستويات Malondialdehyde في أمصال المرضى المصابين ب أبيضاض الدم اللمفي الحاد و أفراد مجموعة السيطرة الأصحاء

أوضحت النتائج المسجلة لتقييم مستويات MDA في عينات الدراسة الحالية ارتفاعاً معنوياً (p < 0.05) لهذا المعيار في مرضى ابيضاض الدم اللمفي الحاد مقارنة بمجموعة السيطرة وكما مبين في الجدول 3-5.

الجدول 3-5: مستويات MDA (mM) في عينات مرضى ابيضاض الدم اللمفي الحاد و الأفراد الأصحاء

Subjects (n)	MDA Concentration (mM) Mean ± S.D.	Min-Max MDA Concentration (mM)	Range	p - value
<i>Patients</i> 30	0.433 ± 0.481	<i>0.010 - 1.860</i>	<i>1.850</i>	<i>0.001</i>
<i>Controls</i> 30	0.126 ± 0.111	<i>0.000 - 0.390</i>	<i>0.390</i>	

عند مقارنة أفراد مجموعتي الدراسة من الذكور و الإناث ضمنياً، بينت الدراسة غياب الفروق الإحصائية عند مقارنة الذكور مع الإناث في كل مجموعة، في حين سجلت الدراسة وجود فرقاً إحصائياً كبيراً ($p = 0.010$) لمستويات MDA عند مقارنة الذكور المصابين مع أقرانهم في مجموعة السيطرة، وبنفس المنوال، فقد سجلت الدراسة وجود فرقاً معنوياً ($p = 0.043$) لمستويات MDA عند إجراء المقارنة بين مجموعتي الإناث المرضى و الأصحاء وكما مبين في الجدول 3-6.

• •

الجدول 3-6: مستويات MDA (mM) في العينات المصلية لذكور و إناث المرضى بابيضاض الدم اللمفي الحاد و الأفراد الأصحاء

<i>Subjects (n)</i>	<i>Gender (n)</i>	<i>MDA Concentration (mM) Mean ± S.D.</i>	<i>Min-Max MDA Concentration (mM)</i>	<i>Range</i>	<i>p - value</i>
<i>Patients 30</i>	<i>Male 19</i>	<i>0.424 ± 0.423</i>	<i>0.010 - 1.410</i>	<i>1.400</i>	<i>0.848 For 1vs2</i>
	<i>Female 11</i>	<i>0.451 ± 0.605</i>	<i>0.010 - 1.860</i>	<i>1.850</i>	<i>0.977 For 3v4</i>
<i>Controls 30</i>	<i>Male 18</i>	<i>0.127 ± 0.116</i>	<i>0.000 - 0.390</i>	<i>0.390</i>	<i>0.010 For 1v3</i>
	<i>Female 12</i>	<i>0.123 ± 0.107</i>	<i>0.010 - 0.290</i>	<i>0.290</i>	<i>0.043 For 2v4</i>

1: Male Patients, 2:Female Patients, 3: Healthy Males, and 4:Healthy Females. The Mean Difference is Significant at 0.05 Level

بعد ما لا يقل عن أسبوعين من تلقي ثاني جرعة من العلاج الكيميائي (كحد أدنى للجرعات المطبقة في خطة العلاج) تم قياس مستويات MDA في أمصال مجموعة المرضى ومقارنة النتائج مع ما تم تسجيله لنتائج العينات قبل تلقي العلاج. بينت النتائج وجود انخفاض نسبي غير مقبول إحصائياً في 18 عينة من مرضى ابipyاض الدم اللمفي الحاد، في حين سجلت الدراسة ارتفاعاً لمستوى MDA في 10 عينات مصابة في حين لم تتغير مستويات هذا المعيار في 2 من العينات المقيدة، وكما يلاحظ في الشكل 3-2.

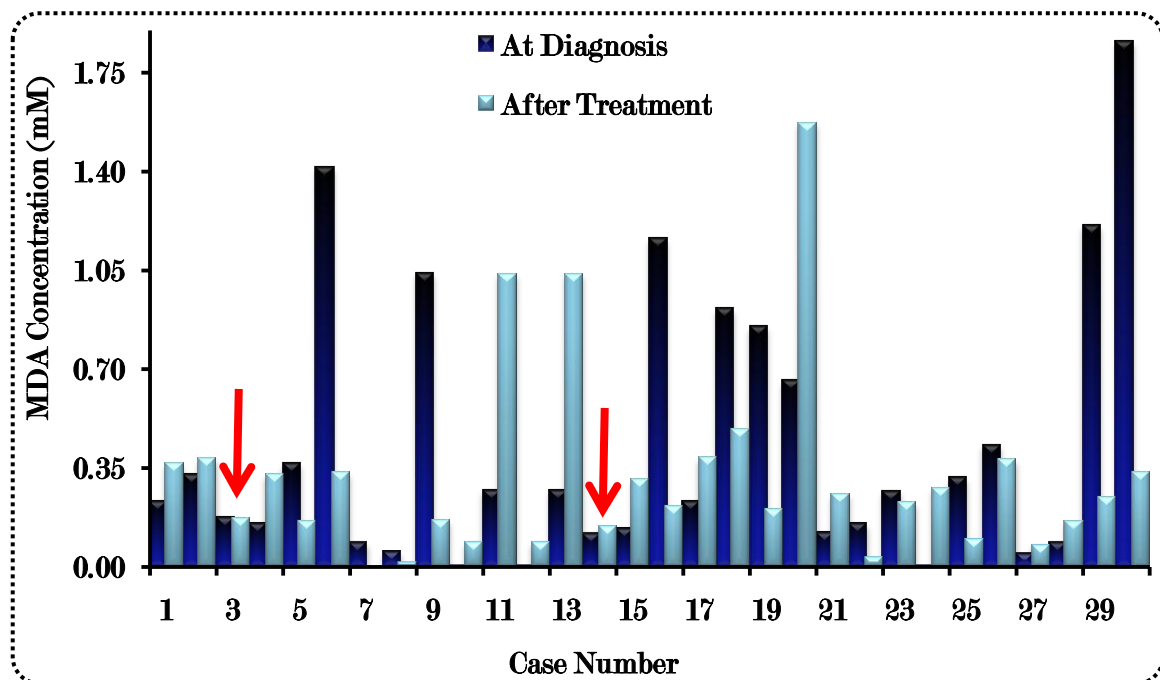
يمكن أن يفسر التذبذب في مستويات MDA المتحصل عليها عبر عدة فرضيات:

② **الفرض الأولي:** يمكن ان يفسر النقصان المعتمد في مستويات MDA بعد تلقي جرعتين من العلاج الكيميائي في إن عدد الجرعات المأخوذة (جرعتين) كانت غير كافية في إحداث الأثر المطلوب في خفض مستوى الضرر الخلوي الناجم عن فرط التأكسد، و مما يؤكّد صحة هذا الفرض الانخفاض الشديد المسجل لل MDA في كل من العينات بالأرقام 6 و 9 و 16 و 18 و 19 و 29 و 30 على التوالي والتي تلقي أصحابها أكثر من جرعتين (3-6 جرعات) من العلاج الكيميائي وهذا يشير الى ان

مستويات التأكسد الخلوي المفرط يتراجع بشكل مباشر مع تقدم خطة العلاج المطبقة، مما يمنح هذا المعيار أهمية في تتبع نجاح خطة العلاج.

❸ الفرض الثاني: قد يرجع الارتفاع في مستويات MDA المسجلة إلى مقاومة الخلية للعلاج الكيميائي مما ينجم عنه ارتفاع في مقدار الإجهاد التأكسدي كرد فعل على المركب الكيميائي المستخدم في العلاج.

❹ الفرض الثالث: يمكن أن تفسر المستويات المتقاربة لـ MDA عند نفس العينات (المؤشرة بالأسهم في الشكل 2-3) أثناء التشخيص وبعد تلقي العلاج الكيميائي بعد ملائمة العلاج المستخدم أو تقدم المرحلة السرطانية مما يجعل العلاج غير مجيء في كبح التسرطن أو منع امتداد الورم.



الشكل 3-2: مستويات MDA المصلي في عينات المرضى بابيضاض الدم اللمفي الحاد عند التشخيص وبعد تلقي العلاج الكيميائي

يصاحب عملية تحول الخلية الطبيعية إلى خلية سرطانية تغير في العديد من الفعاليات الأيضية مما يؤدي إلى تولد عدد من الجزيئات بمستويات أعلى من الطبيعي، وتعد وسطيات ونواتج تفاعلات الأكسدة من ابرز تلك المنتجات الخلوية غير الطبيعية (Chen, et al., 2001).

طبعياً يتواجد نظام صارم ومسطر عليه لدخول وخروج المواد من وإلى داخل الخلية الطبيعية، وأن نظام تدفق المواد Efflux System إلى داخل الخلية الطبيعية يمنع من دخول أو تراكم المركبات



الغريبة الى داخل الخلية أما في الخلايا السرطانية فأن هذا النظام يكون معطلاً كلياً أو جزئياً مما يسمح بدخول تلك المركبات الى داخل الخلية وبالتالي يؤثر عليها سلبا بالرغم من إن الخل الحقيقي لنظام نفاذية جدران الخلايا السرطانية غير معروف لحد الان.(Banerjee and Manda, 2015)

MDA مركب عضوي ذو وزن جزيئي واطئ ، ينتج من الأكسدة الفاقنة للدهون، يتفاعل مع مجموعة الأمين للحامض الاميني ال قاعدية (الارجينين واللايسين والهستدين) ، كذلك تتفاعل هذه الجزيئة مع كل من الكيتونات و الديهايدرات من مصادر مختلفة كالسكريات أو المنتجات السكرية المرتبطة الى البروتينات أو الدهون والأحماض النوية (Marnett, 1999; Donald and Judithg, 2005; Draper, et al., 2000). جاءت نتائج الدراسة الحالية متفقة مع دراسة (Nahleh et al., 2011) والتي وجدت أن لجزئية MDA المقدرة على التفاعل المباشر مع الحوامض النوية مسببة بذلك حدوث الطفرات الوراثية عبر تحفيز Tumor Suppressor Genes ومن ثم تفاقم مضاعفات الأعراض السرطانية.

اتفقت نتائج الدراسة الحالية مع عدد من الدراسات التي ركزت على متابعة مستويات الإجهاد التأكسدي الناجم عن الإصابات السرطانية المختلفة عبر تقييم معايير كيموحيوية مختلفة (Jozefczak et al., 2012; Hegde, et al., 2015; Matlab and Jasim, 2017; Pasha, et al., 2017). أنت نتائج الدراسة متماشية مع عدد من الدراسات التي تحررت مستويات الإجهاد التأكسدي قبل وبعد تلقى العلاجات غير الجراحية في العديد من السرطانات (Deshcler and Lübbert, 2008; Banerjee and Manda, 2015).

3-3-2: تقييم مستويات الفعالية الإنزيمية و تركيز Ceruloplasmin Oxidase في أمصال المرضى المصابين ببابيضاض الدم اللمفي الحاد و أفراد مجموعة السيطرة

سجلت نتائج الدراسة الحالية وجود اختلافاً معندياً معندياً (p = 0.005) لتركيز إنزيم Ceruloplasmin Oxidase المقياس في عينات مجموعتي الدراسة وكما مبين في الجداول 7-3

الجدول 7-3: مستويات تركيز إنزيم Ceruloplasmin Oxidase (g / L) في عينات مرضى أبيضاض الدم اللمفي الحاد و الأفراد الأصحاء

<i>Subjects (n)</i>	<i>Ceruloplasmin Oxidase Concentration (g / L) Mean ± S.D.</i>	<i>Min-Max Ceruloplasmin Oxidase Concentration (g / L)</i>	<i>Range</i>	<i>p - value</i>
<i>Patients 30</i>	35.660 ± 29.670	$0.440 - 142.800$	142.360	<i>0.005</i>
<i>Controls 30</i>	19.630 ± 25.240	$0.960 - 76.740$	75.780	

في حين جاءت عملية مقارنة مستويات فعالية إنزيم Ceruloplasmin Oxidase في مجموعتي الدراسة مناقضة لنتائج مقارنة مستويات تركيزه حيث لم تلاحظ فروقاً معنوية ($p > 0.05$) لفعالية هذا الإنزيم بين مجموعتي الدراسة (الجدول 8-3).

الجدول 8-3: مستويات فعالية إنزيم Ceruloplasmin Oxidase (U / L) في عينات مرضى أبيضاض الدم اللمفي الحاد و الأفراد الأصحاء

<i>Subjects (n)</i>	<i>Ceruloplasmin Oxidase Activity (U/ L) Mean ± S.D.</i>	<i>Max-Min Ceruloplasmin Oxidase Activity (U/ L)</i>	<i>Range</i>	<i>p - value</i>
<i>Patients 30</i>	111.720 ± 146.740	$0.700 - 602.440$	601.740	<i>0.096</i>
<i>Controls 30</i>	110.500 ± 89.190	$8.380 - 316.230$	307.850	

من النتائج أعلاه يمكن الاستنتاج أن هذا الإنزيم يخلق بمستويات عالية لدى أفراد مجموعة المرضي بأبيضاض الدم اللمفي الحاد كناتج للحالة المرضية (وفقاً لتعريف السرطان) التي يتعرض لها الجسم وهنا يظهر دوره كأحد بروتينات الحالة الحادة Acute Phase Proteins، إلا أن هذا الإنزيم لم يتمكن من إظهار وظيفته الحيوية وقد يعزى ذلك إلى مجموعة التحولات الحاصلة خلال عملية الانتقال من الخلية الطبيعية إلى الخلية السرطانية وما يرافقها من فقدان العديد من المكونات والمنتجات الخلوية لوظائفها الحيوية.

عند تطبيق اختبار ANOVA للمقارنة بين المجاميع الضمنية من الذكور و الإناث في الدراسة الحالية، أخفقت نتائج التحليل الإحصائي في إيجاد فروقاً معنوية لتركيز إنزيم Ceruloplasmin عند مقارنة كل من الذكور إلى الإناث في المجموعة الأفراد الأصحاء في حين لوحظت Oxidase



فروقات لمعدلات تركيز هذا الإنزيم بين مجموعتي الذكور وإناث في مجموعة الأفراد المصابين (كما يظهر في الجدول 3-9)، وبنفس الترتيبة لم تسجل اختلافات معنوية فيها عند مقارنة الذكور المصابين بابيضاض الدم اللمفي الحاد مع نظرائهم في مجموعة السيطرة، في حين سجلت فروقاً عالية عند إجراء المقارنة بين الإناث المصابات مع أولئك السليمات الجداول 3-9.

الجدول 3-9: مستويات تركيز إنزيم Ceruloplasmin Oxidase (g / L) في العينات المصلية لذكور وإناث المرضى بابيضاض الدم اللمفي الحاد والأفراد الأصحاء

Subjects (n)	Gender (n)	Ceruloplasmin Oxidase Concentration (g / L) Mean ± S.D.	Min-Max Ceruloplasmin Oxidase Concentration (g / L)	Range	p - value
<i>Patients</i> 30	<i>Male</i> 19	26.470 ± 24.021	<i>0.44 - 83.13</i>	<i>82.69</i>	<i>0.378</i> <i>For 1vs2</i>
	<i>Female</i> 11	36.062 ± 53.020	<i>2.63 - 142.80</i>	<i>140.17</i>	<i>0.048</i> <i>For 3vs4</i>
<i>Controls</i> 30	<i>Male</i> 18	27.221 ± 16.09	<i>6.56 - 58.28</i>	<i>51.72</i>	<i>0.093</i> <i>For 1vs3</i>
	<i>Female</i> 12	21.282 ± 25.870	<i>0.96 - 76.74</i>	<i>75.78</i>	<i>0.006</i> <i>For 2vs4</i>

1: Male Patients, 2:Female Patients, 3: Healthy Males, and 4:Healthy Females. The Mean Difference is Significant at 0.05 Level

بيّنت نتائج مقارنة مستويات فعالية إنزيم Ceruloplasmin Oxidase في المجاميع الضمنية وجود فروقاً معنوية بين الذكور وإناث في مجموعة المصابين بابيضاض الدم اللمفي الحاد في حين لم تسجل مثل هذه النتيجة عند مقارنة الجنسين في مجموعة السيطرة (الجدول 3-10). أثبتت نتائج الدراسة وجود فروقات عالية عند إجراء المقارنة بين الذكور في مجموعتي الدراسة ($p = 0.023$) وبنفس المنوال ولكن بمستوى معنوية أعلى تم رصد فروقاً معنوية كبيرة ($p = 0.004$) عند إجراء المقارنة بين الإناث المصابات مع نظيراتهن من السليمات.

الجدول 3-10: مستويات فعالية إنزيم Ceruloplasmin Oxidase (U / L) في العينات

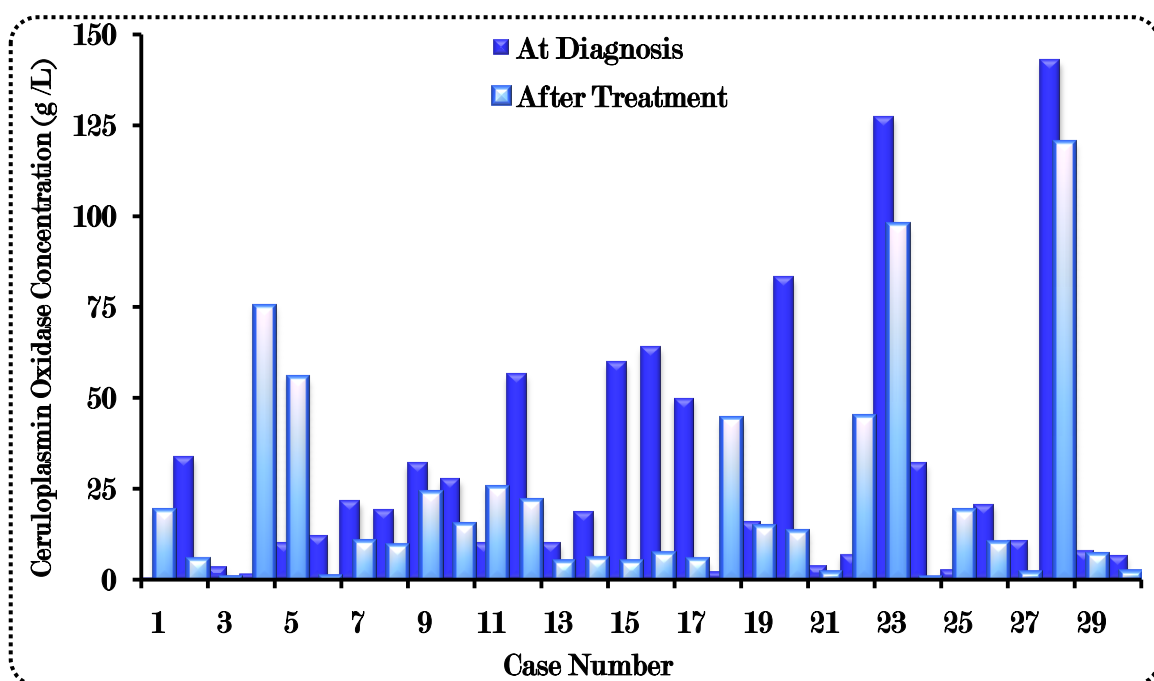
المصلية لذكور و إناث المرضى ببابيضاض الدم اللمفي الحاد و الأفراد الأصحاء

Subjects (n)	Gender (n)	Ceruloplasmin Oxidase Activity (U/ L) Mean ± S.D.	Max-Min Ceruloplasmin Oxidase Activity (U/ L)	Range	p - value
Patients 30	Male 19	83.100 ± 82.710	$0.700 - 261.780$	261.080	0.061 For 1vs2
	Female 11	168.960 ± 222.430	$14.660 - 602.440$	587.780	0.005 For 3vs4
Controls 30	Male 18	128.870 ± 78.320	$33.860 - 269.810$	235.950	0.023 For 1vs3
	Female 12	73.740 ± 102.140	$8.380 - 316.230$	307.850	0.004 For 2vs4

من ابرز الملاحظات المسجلة في الدراسة الحالية ظهر أن أعلى معدلات التركيز (36.062 g/L) لإنزيم Ceruloplasmin Oxidase (168.960 U/L) في عينات الإناث المصابات ببابيضاض الدم اللمفي الحاد، أما في الحالات الطبيعية فقد لوحظ أن معدل مستويات تركيز وفعالية إنزيم Ceruloplasmin Oxidase كانت أعلى في عينات الذكور الأصحاء عنها مما في عينات الإناث.

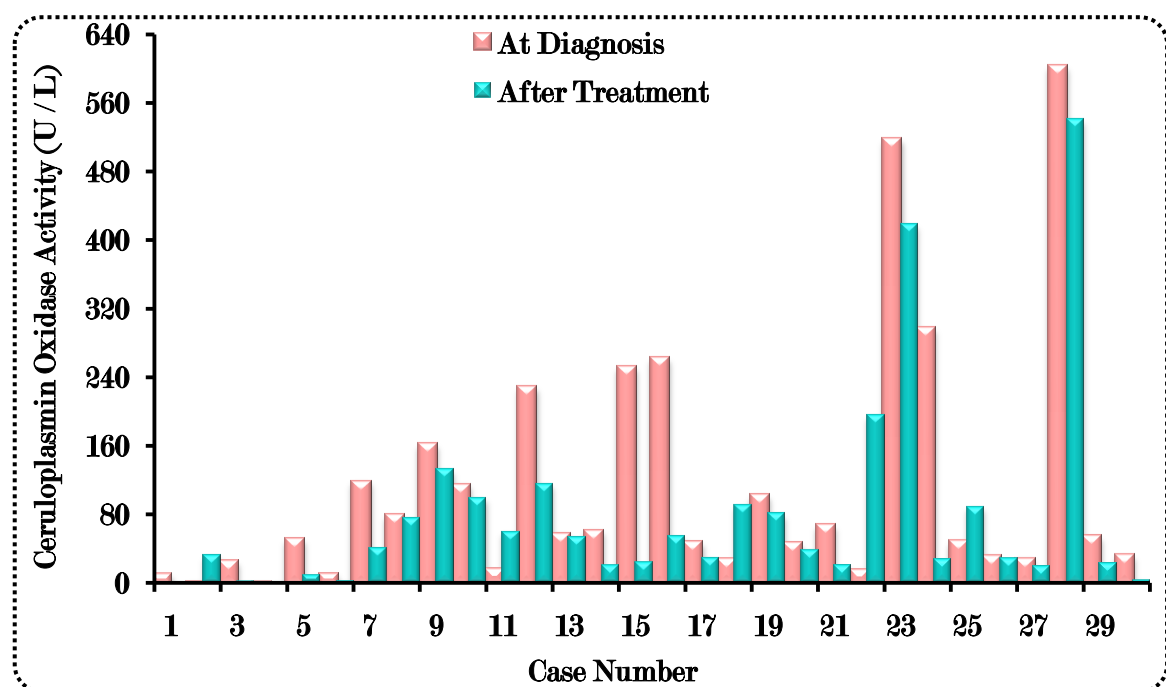
جاءت نتائج الدراسة مقاربة للعديد من الدراسات السابقة حول تقييم مستويات إنزيم Ceruloplasmin Oxidase في أنواع مختلفة من السرطانات (Seenaa, 2014; Demirpençe, et al., 2014; Matlab, 2017).

تعقب مستويات إنتاج إنزيم Ceruloplasmin Oxidase تشير إلى نقصان في تركيز هذا الإنزيم لدى 23 حالة مصابة (حوالي 67% من الحالات المتضمنة في الدراسة) عقب تلقيهم جرعتين على الأقل من العلاج الكيميائي (الشكل 3-3)، وهذه النتيجة من الممكن إن تؤكد دور هذا الإنزيم ضمن منظومة الحماية ضد أي حالة إمراضية قد يتعرض لها الجسم وانخفاض مستوياته دلالة على بدء الاستجابة للعلاج وتراجع انقسام وتكاثر الخلايا السرطانية وهلاك عدد من الخلايا الموجودة في الجسم قبل بدء تلقي العلاج.



الشكل 3-3: تركيز إنزيم Ceruloplasmin Oxidase (g /L) في أمصال عينات المرضى بابيضاض الدم اللمفي الحاد عند التشخيص وبعد تلقي العلاج الكيميائي

إن الانخفاض الكبير والمعنوي المسجل في معدلات فعالية إنزيم Ceruloplasmin Oxidase في 25 حالة (83 %) من المصابين بابيضاض الدم اللمفي الحاد اثر تلقيهم العلاج الكيميائي يشير إلى تراجع عمل منظومة مضادات الأكسدة في خلايا الجسم بعد تلقي العلاج الكيميائي وقد يعود التراجع بفعالية هذا الإنزيم إلى عجز منظومة إنزيمات مضادات التأكسد في التصدي لفيض نواتج الأكسدة الخلوية الناتجة عن التعامل مع العلاج الكيميائي وما يؤيد إمكانية إن يكون هذا الفرض واقعا هو ما تم تسجيله في استمرار إنتاج الخلايا لمعدلات عالية من المؤكسدات بعد تلقي جرعتين من العلاج الكيميائي (الفقرة 3-3-1). علاوة على ما تقدم، لوحظ إن أوطاً مستويات الفعالية الإنزيمية قد سجلت في عينات لمرضى في مراحل إصابة متقدمة.



الشكل 3-4: مستويات فعالية إنزيم Ceruloplasmin Oxidase (U / L) في أمصال عينات المرضى بابيضاض الدم اللمفي الحاد عند التشخيص وبعد تلقى العلاج الكيميائي

3-4: تقييم مستويات هرمون الاريثروبويوتين في أمصال مجموعتي الدراسة

الجدول 11-3: مستويات هرمون EOP في أمصال الأفراد المصابين بابيضااض الدم المفي الحاد و الأفراد الأصحاء

<i>Subjects (n)</i>	<i>EPO Concentration (m IU/ml) Mean \pm S.D.</i>	<i>Min-Max EPO Concentration (m IU/ml)</i>	<i>Range</i>	<i>p - value</i>
<i>Patients 30</i>	<i>84.780 ± 9.541</i>	<i>51.000 - 90.100</i>	<i>39.100</i>	<i>0.000</i>
<i>Controls 30</i>	<i>13.233 ± 1.203</i>	<i>11.200 - 15.000</i>	<i>3.800</i>	

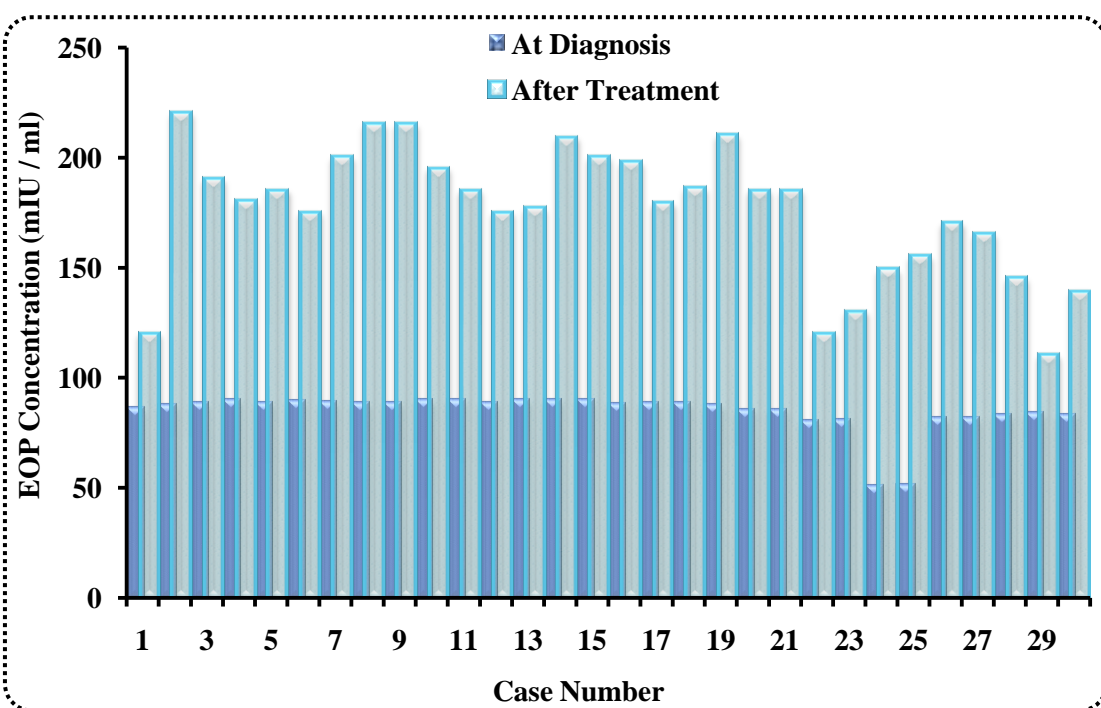


سُجلت أعلى مستويات EOP (**90.100 mIU/ml**) لدى الذكور المصابين بسرطان الدم المفي الحاد في حين أتت أوطأ مستوياته (**11.200 mIU/ml**) لدى الإناث السليمة في مجموعة السيطرة. اظهر التحليل الإحصائي وجود فروقاً معنوية عند مقارنة الذكور و الإناث المصابين معاً، في حين لم تسدل مثل هذه النتائج لدى أفراد مجموعة السيطرة عند مقارنة الجنسين معاً، من جانب آخر فقد نجحت الدراسة في تسجيل فروقٍ معنوية عاليةٍ عند مقارنة الذكور في المجموعة المصابة مع اقرانهم الأصحاء وكذلك الحال عند مقارنة نتائج هذا الهرمون لدى الإناث المصابات مع اولئك السليمات، وكما موضح في الجدول 3-12.

الجدول 3-12: مستويات هرمون EOP في أ虺ال الذكور و الإناث المصابين بابيضاض الدم المفي الحاد و الأفراد الأصحاء من الجنسين

Subjects (n)	Gender (n)	EPO Concentration (m IU/ml) Mean \pm S.D.	Min-Max EPO Concentration (m IU/ml)	Range	p - value
<i>Patients</i> 30	<i>Male</i> 18	88.905 ± 1.128	<i>86.000 - 90.100</i>	4.100	0.000 <i>For 1vs2</i>
	<i>Female</i> 12	76.530 ± 13.312	<i>51.000 - 86.000</i>	35.000	0.301 <i>For 3vs4</i>
<i>Controls</i> 30	<i>Male</i> 19	13.960 ± 0.634	<i>13.000 - 15.000</i>	2.000	0.000 <i>For 1vs3</i>
	<i>Female</i> 11	11.780 ± 0.545	<i>11.200 - 13.100</i>	1.900	0.000 <i>For 2vs4</i>

1: Male Patients, 2:Female Patients, 3: Healthy Males, and 4:Healthy Females. The Mean Difference is Significant at 0.05 Level



الشكل 3-5: مستويات هرمون EOP لدى مرضى ابيضاض الدم اللمفي الحاد عند التشخيص وبعد تلقي العلاج الكيميائي

بعد تلقي العلاج الكيميائي لوحظ ارتفاع في مستويات هرمون EOP في جميع أفراد المجموعة المصابة، وقد بلغ في اغلب العينات مستوى الضعف مقارنة بمستوياتها عند تشخيص الإصابة (الشكل 3).

يفرز هرمون EOP من قبل الكلية والكبد استجابة لانخفاض مستويات الأوكسجين ويعمل على زيادة إنتاج الخلايا الحمر في نخاع العظم وبالتالي يزداد عدد الكريات الحمر الذي يؤدي إلى زيادة إ يصل الأوكسجين إلى الأنسجة (Descatha, *et al.*, 2005).

أشارت العديد من الدراسات السابقة إلى حقيقة ارتفاع مستويات هذا الهرمون كمؤشر لحدوث السرطان بشكل عام وابيضاض الدم اللمفي الحاد بشكل خاص والإصابة بأمراض فقر الدم الخبيث (Valent, 2008; Deneka, *et al.*, 2016).

خلال مراحل التحول السرطاني يحدث نقصان في تعداد كريات الدم الحمراء المنتجة بسبب الخل الذي يطال نخاع مسبباً بذلك حدوث فقر الدم الخبيث والذي يتميز بنقصان معدلات الأوكسجين المجهزة وخلال هذه المرحلة يحدث ان يقوم الجسم بالاستنفار لزيادة كمية الأوكسجين الوارضة للخلايا

عبر رفع إنتاجية هرمون EOP. اتفقت الدراسة الحالية مع عدد من الدراسات السابقة والتي أشارت إلى إصابة مرضى السرطان بفقر الدم الذي يتزامن مع ارتفاع مستويات (Richmond, EOP 2005; Powers, *et al.*, 2007; Ernest, 2008).

أشارت دراسات سابقة إلى إن مستويات هذا الهرمون تعاود الرجوع إلى مستوياتها الطبيعية عقب انتهاء فترة العلاج المقرر من قبل الأخصائيين (Urabe, 2005; Valent, 2008) وهذه النتائج تتفق مع الملاحظات المرصودة في الدراسة الحالية التي بينت أن المرضى الذين تلقوا ما يزيد عن 4 جرعات من العلاج الكيميائي قد سجلوا مستويات أوطن من هرمون EOP عن ما تم تسجيله لديهم عقب تلقي جرعتين فقط من العلاج الكيميائي.

3-5: ارتباطية معايير الدراسة وحساسيتها في التنبؤ بالمرض وتشخيص الإصابة وتعقب الاستجابة للعلاج الكيميائي

بعد تقييم المعايير الأربع المختارة لأجل فحص إمكانية استخدامها كدواء ورمية، عمدت الدراسة الحالية إلى اختبار طبيعة العلاقة الرابطة بين المعايير المقيدة عبر استخدام Person's Correlation بعد ذلك تم تطبيق معادلة احتساب النسبة المئوية لحساسية كل معيار وأخيرا تم الربط بين المعايير لأجل متابعة إمكانية رفع حساسية التقصي عن الإصابة بابيضاض الدم اللمفي الحاد في مراحله الأولى وكذلك متابعة مدى استجابة المرضى للعلاج المقدم.

أشارت حسابات العلاقات الارتباطية بين المعايير المقيدة في الدراسة الحالية إلى وجود علاقة ارتباطية موجبة عند دراسة مستويات Ceruloplasmin Oxidase CLEC4E مع كل من EOP Concentration (في ~36% من العينات المصابة عند مستوى معنوية $p = 0.042$) و (في ~74% من العينات المصابة عند مستوى معنوية $p = 0.015$)، على التوالي. من ناحية أخرى وجد أن مستويات هرمون EOP أظهرت ارتفاعات متزامنة مع مستويات MDA لدى 32% من العينات المصابة وعند مستوى معنوية $p = 0.042$. سجلت أعلى مستويات الارتباطية (في 86% من العينات المصابة عند مستوى معنوية $p = 0.000$) في الدراسة الحالية عند تقييم معامل الارتباط بين تركيز وفعالية إنزيم Ceruloplasmin Oxidase. في حين غابت التوافقية عن التغييرات الحاصلة في المعايير الأخرى عند تقييم علاقتها الارتباطية معاً، مما جعل قيمة معامل الارتباط r واطئ للغاية ومستويات احتمالية المحسوبة غير معنوية إحصائياً، وكما مبين في الجدول 3-13.

الجدول 3-13: مستوى الارتباطية بين المعايير المقيدة كدوال ورمية لتشخيص الإصابة بابيضاض الدم اللمفي الحاد

	Parameters	CLEC4E	MDA	Ceruloplasmin Oxidase Concentration	Ceruloplasmin Oxidase Activity	EOP
جدول 3-14	CLEC4E	1	0.407 0.052	0.359 0.042	0.234 0.213	0.735 0.015
	MDA	0.407 0.052	1	-0.128 0.500	-0.170 0.369	0.321 0.048
	Ceruloplasmin Oxidase Concentration	0.359 0.042	-0.128 0.500	1	0.864 0.000	0.223 0.086
	Ceruloplasmin Oxidase Activity	0.234 0.213	-0.170 0.369	0.864 0.000	1	-0.387 0.062
	EOP	0.735 0.015	0.321 0.048	0.223 0.086	-0.387 0.062	1

استناداً إلى التقرير السريري المقدم من الطبيب المختص تم احتساب مستوى حساسية المعيار المنتقى في الدراسة الحالية وتقييم كفاءته التشخيصية كدالة ورمية. يشير **الجدول 3-14** إلى أن CLEC4E كان قد أظهر استجابة لدى 87% من العينات المشخصة بإصابتها بابيضاض الدم اللمفي الحاد، في حين بلغت استجابة كل من MDA و Ceruloplasmin Oxidase Concentration و Ceruloplasmin Oxidase Activity 63% و 70% و 47% على التوالي. بلغت أعلى استجابة منفردة عند هرمون EOP حيث سجلت مستويات هرمونية أعلى من Cutoff Value لدى 27 عينة من بين الثلاثين (90%) عينة الشخص إصابتها سريرياً.

تشير نتائج الدراسة الحالية إلى أن حساسية الكشف لكل معيار قد ازدادت عند مزاوجة كل معيارين معاً عند القياس حيث ازدادت حساسية CLEC4E في تشخيص الإصابة بسرطان الدم اللمفي الحاد في عينات العمل الحالي لتصل إلى 100% وذلك عند إجراء القياس تزامناً مع هرمون EOP، وبنفس المنوال نجد أن كفاءة التشخيص لهذا الكتين قد ارتفعت إلى 93% و 91% و 88% عند تقييم مستوياته في ان واحد مع كل من MDA و Ceruloplasmin Oxidase Concentration و Ceruloplasmin Oxidase Activity على التوالي. وجد أن حساسية هرمون EOP التشخيصية قد ازدادت لتصل نسبة التحسس الإيجابي إلى 93% عند قياس هذا الهرمون مع كل من MDA و

Ceruloplasmin Oxidase Concentration في حين بقيت عند مستواها الأصلي (90%) عند قياسه تزامنياً مع Ceruloplasmin Oxidase Activity. ازدادت كفاءة التحسس في المعايير المتبقية عند تقييمها بشكل متزامن مع بعضها البعض وكما يلاحظ في الجدول 3-14.

يُستخرج من الملاحظات المسجلة أن كل من CLEC4E و EOP تصلح كدوال ورمية منفردة في تشخيص الإصابة بابيضاض الدم اللمفي الحاد، في حين يمثل قياسهما بشكل متزامن طريقة قطعية لتشخيص الإصابة بهذا النوع من السرطانات.

الجدول 3-14: مستويات الحساسية المحسوبة لكل معيار مقيم ومستويات الحساسية الارتباطية

<i>Sensitivity %</i>	<i>Parameters</i>	<i>CLEC4E</i>	<i>MDA</i>	<i>Ceruloplasmin Oxidase Concentration</i>	<i>Ceruloplasmin Oxidase Activity</i>	<i>EOP</i>
	<i>CLEC4E</i>	87	93	91	88	100
	<i>MDA</i>	93	63	70	67	93
	<i>Ceruloplasmin Oxidase Concentration</i>	91	70	70	77	93
	<i>Ceruloplasmin Oxidase Activity</i>	88	67	77	47	90
	<i>EOP</i>	100	93	93	90	90

بعد تلقي العلاج الكيميائي، تمت دراسة ارتباطية المعايير المقيدة معاً، حيث يبين الجدول 3-15 وجود علاقة ارتباطية موجبة معنوية ($p < 0.05$) لمستويات CLEC4E مع معدلات كل من Ceruloplasmin Oxidase Activity و Ceruloplasmin Oxidase Concentration حين كانت العلاقة معنوية سالبة ($r = -0.866$ at $p = 0.012$) لمستويات هذا اللكتين مع هرمون EOP.

لُوِّحَظَ إِنَّ الْانْفَاضَ الْحَاصِلَ فِي مَسْتَوَيَاتِ تَرْكِيزِ وَفَعَالِيَّةِ إنْزِيم Ceruloplasmin Oxidase جَاءَتْ مُتَنَاغِمَةً فِي 90% مِنِ الْعَيْنَاتِ الْمُشَارِكَةِ فِي الْدِرَاسَةِ الْحَالِيَّةِ، وَقَدْ لُوِّحَظَ ارْتِبَاطُهَا بِشَكْلٍ عَكْسِيٍّ مَعَ مَسْتَوَيَاتِ هِرمُون EOP وَبِمَسْتَوَى مَعْنَوِيَّةِ مُعَنِّدِهَا إِحْصَائِيًا (الْجُدولُ 3-15).

الجدول 3-15: مستوى الارتباطية بين المعايير المقيمة كمعايير متابعة لاستجابة المرضى المصابين ببابيضاض الدم اللمفى الحاد للعلاج الكيميائى

	Parameters	CLEC4E	MDA	Ceruloplasmin Oxidase Concentration	Ceruloplasmin Oxidase Activity	EOP
٢-٣	CLEC4E	1 0.107 0.725	0.107 0.725	0.375 0.026	0.571 0.043	-0.866 0.012
	MDA	0.107 0.725	1	-0.117 0.721	-0.245 0.542	-0.276 0.584
	Ceruloplasmin Oxidase Concentration	0.375 0.026	-0.117 0.721	1	0.901 0.000	-0.783 0.050
	Ceruloplasmin Oxidase Activity	0.571 0.043	-0.245 0.542	0.901 0.000	1	-0.801 0.037
	EOP	-0.866 0.012	-0.276 0.584	-0.783 0.050	-0.801 0.037	1

النتائج المرصودة في الفقرات 3-2 و 3-4 تشير الى حدوث تغيير معنوي متدرج لمستويات كل من EOP و هرمون CLEC4E خلال مرحلة تلقى العلاج الكيميائي مما يدل على إمكانية استخدام هذين المعيارين كدلال تبعية لمدى استجابة المرضى للعلاج المقدم. اما النتائج المثبتة في الفقرة 3-3-1 فقد أكدت عدم جدوى استخدام MDA كدالة في تتبع الحالة الصحية للمرضى ببابيضاض الدم اللمفى الحاد إثناء تلقى العلاج الكيميائي و تقييم مدى استجابتهم للعلاج ومستوى تعافيهم. الفقرة 3-3-2 أشارت الى إن التغيير الحاصل في مستويات تركيز وفعالية إنزيم Ceruloplasmin Oxidase كان متناسقاً بين المعيارين إلا إن الملاحظة العملية بينت إن مقدار التغيير في مستوياتهما لم تكن مترابطة مع مدى الضرر الناجم عن تقدم الإصابة السرطانية أو مع عدد الجرعات المستلمة، ماعدا ما تم رصده في المراحل المتقدمة من الإصابة السرطانية او ما تم تسجيله في أمصال المرضى بعد الجرعة الخامسة من العلاج الكيميائي وهذه الملاحظة تؤكد ان عدم حساسية هذا الإنزيم كدالة للتتبع أو تحديد مدى الاستجابة للعلاج.



3-6: تقييم بعض معايير الدم في عينات مجموعة الدراسة

3-6-1: العدد الكلي لكريات الدم البيض في عينات مرضى بابيضاض الدم اللمفوي الحاد و أفراد مجموعة السيطرة

بينت المعالجة الإحصائية باستخدام **Student t-test** وجود ارتفاع معنوي ($p = 0.000$) في العدد الكلي لكريات الدم البيض لعينات المصابين ببابيضاض الدم اللمفوي الحاد مقارنةً بأقرانهم في مجموعة السيطرة (الجدول 3-16).

الجدول 3-16: تعداد كريات الدم البيض (WBCs/cm^3) لدى الأفراد المصابين ببابيضاض الدم اللمفوي الحاد ومجموعة السيطرة

<i>Subjects (n)</i>	<i>WBCs /cm³ Mean ± S.D.</i>	<i>Min-Max WBCs /cm³</i>	<i>Range</i>	<i>p - value</i>
<i>Patients 30</i>	<i>22.65 ± 33.81</i>	<i>10.000 - 85.000</i>	<i>75.000</i>	<i>0.000</i>
<i>Controls 30</i>	<i>9.067 ± 1.211</i>	<i>5.900 - 11.000</i>	<i>5.100</i>	

بهدف التحري عن احتمالية وجود فروقات بين الجنسين تؤثر في توليد خلايا الدم البيض خلال مراحل التحولات السرطانية، وعليه تم تقسيم كل مجموعة من مجموعة الدراسة إلى مجموعتين أدنى اعتماداً على جنس أفرادها. أظهرت النتائج عدم وجود فروقاً معنوية بين الجنسين ضمن المجموعة الواحدة سواء كانت المجموعة لمصابين أو أصحاء، في حين كانت الفروقات تمتاز بالمعنى العالية ($p = 0.000$) عند تقييم أعداد كريات الدم البيض في المجاميع المصابة مع الأصحاء من نفس الجنس، كما يلاحظ في الجدول 3-17، حيث تشير الدراسة إلى الارتفاع الكبير في تعداد كريات الدم البيض لدى الأفراد المصابين مقارنة بنظرائهم الأصحاء.



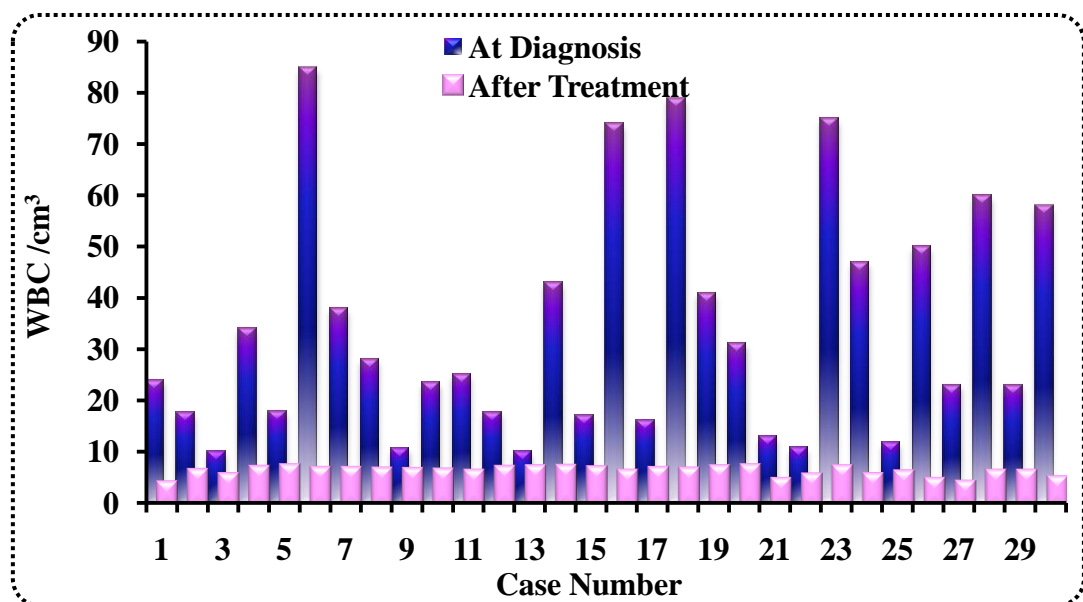
**الجدول 3-17: مستويات كريات الدم البيضاء في عينات الدم لذكور و إناث المرضى بابيضاض الدم
اللمفي الحاد و أفراد مجموعة السيطرة**

Subjects (n)	Gender (n)	WBCs /cm ³ Mean ± S.D.	Min-Max WBCs /cm ³	Range	p - value
<i>Patients</i> 30	<i>Male</i> 19	32.130 ± 22.636	<i>10.000 - 85.000</i>	<i>75.000</i>	<i>0.427</i> <i>For 1vs2</i>
	<i>Female</i> 11	37.160 ± 23.505	<i>10.800 - 75.000</i>	<i>64.200</i>	<i>0.912</i> <i>For 3vs4</i>
<i>Controls</i> 30	<i>Male</i> 18	9.300 ± 1.185	<i>5.900 - 11.000</i>	<i>5.100</i>	<i>0.000</i> <i>For 1vs3</i>
	<i>Female</i> 12	8.600 ± 1.185	<i>6.900 - 10.500</i>	<i>3.600</i>	<i>0.000</i> <i>For 2vs4</i>

1: Male Patients, 2:Female Patients, 3: Healthy Males, and 4:Healthy Females. The Mean Difference is Significant at 0.05 Level

نتائج التعاطي مع العلاج الكيميائي جاءت ممتازة للغاية حيث رصدت الدراسة انخفاضاً ملمسياً في تعداد كريات الدم البيض لدى جميع أفراد المجموعة المصابة بابيضاض الدم اللمفي الحاد بعد أسبوعين من تلقي ثاني الجرع المحددة في برنامج العلاج المحدد من قبل الطبيب المختص، وكما مبين في الشكل 3-6.





الشكل 3-6: تعداد كريات الدم البيض لمرضى ابيضاض الدم الممفي الحاد عند التشخيص وبعد تلقي العلاج الكيميائي

ارتفع العدد المطلق لخلايا الدم البيضاء في عينات مرضى ابيضاض الدم الممفي الحاد، كما شمل هذا الارتفاع أرومات الخلايا أيضاً وهذا يعود إلى الخلل الحاصل في نشوء الخلايا وتأثير الخلايا المنتجة لها Lymphoid Progenitors في نقي العظم. يُعد تعداد خلايا الدم البيض مؤشراً للصحة العامة حيث يتراوح عددها لدى الأسواء ما بين 4×10^3 خلية/مل، وعند نقصان هذا العدد فهو إشارة إلى الإصابة بحالة مرضية تعرف بقلة الخلايا البيض Leucopenia وفيها يكون تعداد كريات الدم البيض دون 4×10^3 خلية/مل، أما إذا كان تعدادها يفوق الـ 11000 خلية/مل عندها تعرف الحالة بزيادة تخلق خلايا الدم البيض Leucocytosis وتعد زيادة إنتاج خلايا الدم البيضاء مؤشراً لحدوث الالتهاب والأورام الدموية والأورام الصلبة في الأنسجة.

في حالات الإصابات الورمية سواء في نسيج الدم أو الأنسجة الصلبة، تتأتى الزيادة في إنتاجية خلايا الدم البيض في الغالب من زيادة العدلات وزيادة المفاويات، ولا يرافق زيادة ملحوظة في تعداد الخلايا البيض الكلية حالات السرطانات ذات القابلية على إخفاء مستضداتها. يحدث انخفاض واضح في تعداد الخلايا البيض في الأورام التي تعالج بالأشعة أو بالعلاج الكيماوي (Sporn and Lippmans, 2000) وبعدها تعود لمعدلاتها السوية بعد العلاج تدريجياً. اتفقت نتائج الدراسة الحالية مع دراسة Kryczek التي سجلت انخفاض أعداد كريات الدم الممفاوية وخلايا T المساعدة (TH17) على وجه الخصوص بعد العلاج الكيميائي (Kryczek, et al., 2007). يعتبر العلاج الكيماي

واستخدام العقاقير الكيميائية هي الأكثر تأثيرا في كريات الدم البيض وبالذات الخلايا المفاوية والمعادلة الوحيدة وربما يعود السبب إلى كون الخلايا المعادلة الوحيدة هي الأكثر تأثيرا لكونها تمثل الخط الأساسي في الدفاع عن الجسم فتكون الهدف الأساسي للعقاقير الكيميائية باعتبارها مواد سامة. بينت الدراسات السابقة أهمية فحص تعداد خلايا الدم البيض ، كونها تعتبر قاعدة معلومات أساسية للطبيب المعالج لغرض اختيار العلاج المناسب لكل حالة، فضلا عن متابعة تطور المرض والاستجابة خلال مراحل العلاج المختلفة (Hoffbrand, *et al.*, 2005).

3-6-2: تقييم تعداد الصفيحات الدموية في عينات مرضى ابيضاض الدم اللمفي الحاد و أفراد مجموعة السيطرة

يشير الجدول 3-18 إلى انخفاض معنوي ($p = 0.000$) في تعداد الصفيحات الدموية لدى مجموعة المرضى في الدراسة الحالية مقارنة بالأفراد الأصحاء.

الجدول 3-18: تعداد الصفيحات الدموية في عينات الأفراد المصابين ب أبيضاض الدم اللمفي الحاد و الأفراد الأصحاء

Subjects (n)	Platelets / cm ³ Mean ± S.D.	Min-Max Platelets / cm ³	Range	p - value
Patients 30	73.000 ±55.644	15.000 - 220.000	205.000	0.000
Controls 30	323.333 ±36.703	245.000 - 400.000	155.000	

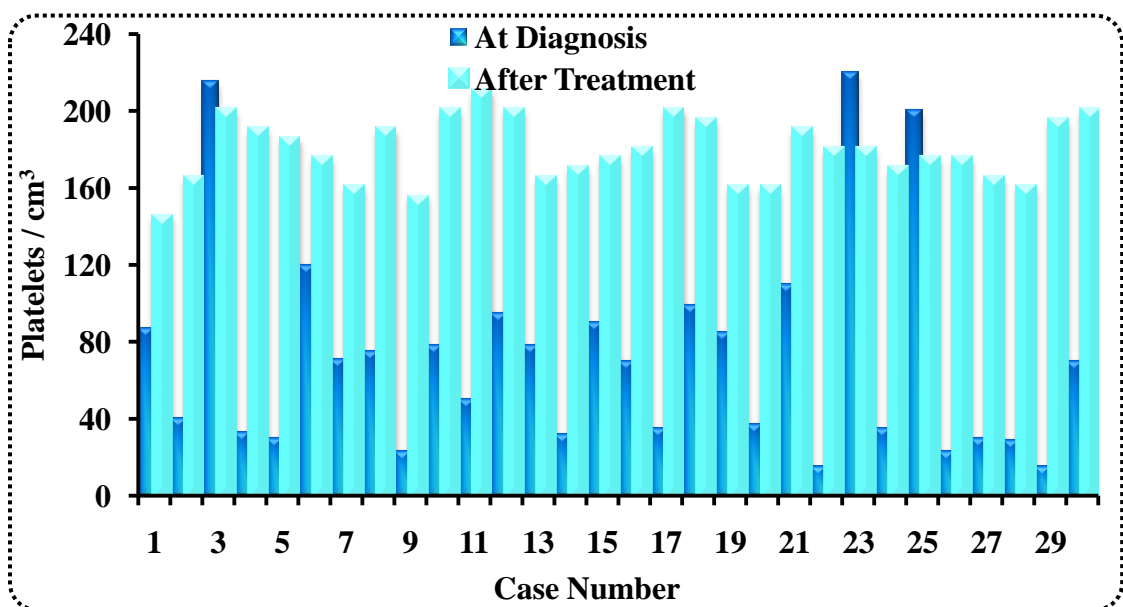
أبرزت نتائج العمل الحالي وجود انخفاضاً معنوياً ($p = 0.000$) في تعداد الصفيحات الدموية في كل من عينات الذكور والإإناث المصابين مقارنة مع أقرانهم من نفس الجنس في مجموعة السيطرة، في حين لم تلاحظ مثل تلك الفروقات عند إجراء المقارنة بين الجنسين ضمن المجموعة الواحدة كلاً على حدا وكما موضح في الجدول 3-19.

الجدول 3-19: تعداد الصفيحات الدموية في عينات الدم لذكور وإناث المرضى بابيضاض الدم
اللمفي الحاد والأفراد الأصحاء

Subjects (n)	Gender (n)	Platelets / cm ³ Mean ± S.D.	Min-Max Platelets / cm ³	Range	p - value
<i>Patients</i> 30	<i>Male</i> 19	72.150 ± 43.651	23.000 - 215.000	192.000	0.891 For 1vs2
	<i>Female</i> 11	74.700 ± 77.132	15.000 - 220.000	205.000	0.891 For 3vs4
<i>Controls</i> 30	<i>Male</i> 18	322.500 ± 37.539	245.000 - 395.000	150.000	0.000 For 1vs3
	<i>Female</i> 12	325.000 ± 36.893	275.000 - 400.000	125.000	0.000 For 2vs4

1: Male Patients, 2:Female Patients, 3: Healthy Males, and 4:Healthy Females. The Mean Difference is Significant at 0.05 Level

الشكل 3-7 يبرز الارتفاع المعنوي في تعداد الصفيحات الدموية المقاسة في 90 % من (27 من 30 مريضاً) من مرضى اللوكيميا اللمفي الحاد بعد تلقيهم ما لا يقل عن جرعتين من العلاج الكيميائي



الشكل 3-7: معدلات الصفيحات الدموية لمرضى ابيضاض الدم اللمفي الحاد عند التشخيص وبعد تلقي العلاج الكيميائي



اتفقت نتائج الدراسة الحالية مع عدد من البحوث والدراسات السابقة ومنها دراسة (Rao, Rao 2010) في حين جاءت نتائج الدراسة غير متوافقة مع دراسة Weeda and Hassan و التي أشارت الى عدم وجود اختلاف إحصائي بين المصابين والأصحاء عند حساب عدد الصفائح الدموية في عيناتهم سواء عند تشخيص الإصابة بسرطان الدم اللمفوي الحاد او بعد تلقي جرعتين العلاج الكيميائي (Weeda and Hassan, 2010).

أوضحت النتائج أن نسبة 10% من مرضى ابيضاض الدم اللمفوي الحاد قد اظهروا النقصان في عدد الصفائح الدموية في عيناتهم بعد تلقيهم العلاج الكيميائي العلاج وهي بذلك تتفق مع ما سجلته دراسة Bassan, et al., 2004. أشارت البحوث السابقة الى إن عدد الصفائح الدموية يعتبر من معايير التقصي عن مصير المرض لدى مرضى سرطان الدم اللمفوي الحاد، حيث وجد ان نسبة خطورة عدم الاستجابة للعلاج الكيميائي او حدوث الانكasaة تقل في حال ازدياد عدد الصفائح الدموية في الدم (Donadieu, et al., 2000; Khalid, et al., 2010).

3-6-3: تقييم مستويات الهيموغلوبين في عينات مرضى ابيضاض الدم اللمفوي الحاد و أفراد مجموعة السيطرة

تشير نتائج الدراسة الحالية الى انخفاض مستويات الهيموغلوبين في عينات مرضى ابيضاض الدم اللمفوي الحاد مقارنة بأفراد مجموعة السيطرة حيث اظهر التحليل الإحصائي لهذه العينات وجود فروقاً معندياً إحصائياً بين مجموعتي الدراسة وكما مبين في الجدول 3-20.

الجدول 3-20: مستويات الهيموغلوبين (L / g) في عينات المصابين بابيضاض الدم اللمفوي الحاد عند تشخيص الإصابة وكذلك في أفراد مجموعة السيطرة

Subjects (n)	Hb Concentration (g / L) Mean \pm S.D.	Min-Max Hb Concentration (g / L)	Range	p - value
<i>Patients</i> 30	7.790 ± 1.158	<i>6.100 - 9.900</i>	3.800	<i>0.000</i>
<i>Controls</i> 30	12.433 ± 0.858	<i>11.000- 14.000</i>	3.000	

أشارت نتائج الدراسة الى إن أوطأ مستويات الهيموغلوبين كانت قد سجلت في عينات الإناث المصابات بالمرض (6.10 g / L)، من جانب آخر لم تسجل الدراسة وجود فروقاً في مستويات هذا

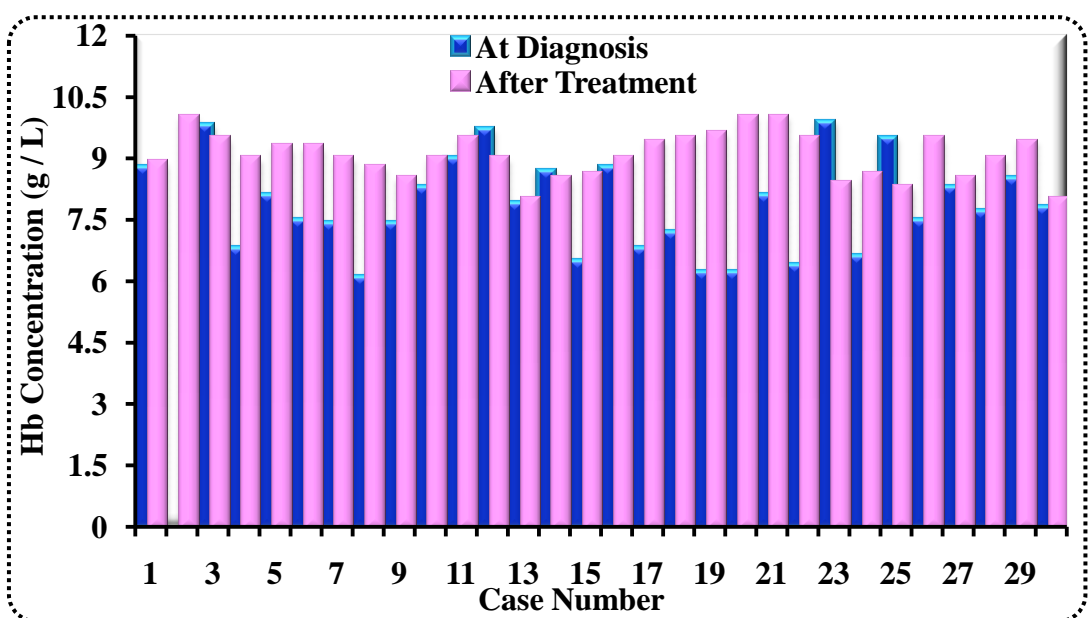
البروتين بين الجنسين في المجموعة المصابة وكذلك بين الجنسين في مجموعة الأصحاء ($p < 0.05$), في حين أظهرت النتائج وجود فرقاً معنوياً كبيراً ($p < 0.05$) عند إجراء تحليل المتغيرات ANOVA للمقارنة بين الذكور المصابين والأصحاء وكذلك الإناث المصابات مع أقرانهن من الأصحاء، كما يلاحظ في الجدول 3-21.

الجدول 3-21: مستويات الهيموغلوبين (g / L) في عينات الذكور و الإناث المرضى ببابيضاstr الدم
اللمفي الحاد و الأفراد الأصحاء

Subjects (n)	Gender (n)	Hb Concentration (g / L) Mean ± S.D.	Min-Max Hb Concentration (g / L)	Range	p - value
<i>Patients</i> <i>30</i>	<i>Male 19</i>	<i>7.670 ± 1.190</i>	<i>6.100 - 9.800</i>	<i>3.700</i>	<i>0.359 For 1vs2</i>
	<i>Female 11</i>	<i>8.030 ± 1.106</i>	<i>6.400 -9.900</i>	<i>3.500</i>	<i>0.100 For 3vs4</i>
<i>Controls</i> <i>30</i>	<i>Male 18</i>	<i>12.650 ± 0.875</i>	<i>11.000 - 14.000</i>	<i>3.000</i>	<i>0.000 For 1vs3</i>
	<i>Female 12</i>	<i>12.000 ± 0.667</i>	<i>11.000 - 13.000</i>	<i>2.000</i>	<i>0.000 For 2vs4</i>

1: Male Patients, 2:Female Patients, 3: Healthy Males, and 4:Healthy Females. The Mean Difference is Significant at 0.05 Level

يبين الشكل 3-8 ارتفاعاً طفيفاً (غير معنوي إحصائياً) في مستويات الهيموغلوبين المقيم في عينات 21 مريضاً بابيضاض الدم اللمفي الحاد بعد تلقى جرعتين من العلاج الكيميائي، في حين ارتفع مستوى هذا البروتين بمقدار يزيد عن نصف تركيزه عند التشخيص بعد تلقى 6 جرعات من العلاج الكيميائي لدى 5 من المرضى، في حين لوحظ انخفاض في مستوى الهيموغلوبين لدى 4 من الحالات المصابة وتلك العينات كانت للأطفال الإناث الأصغر سناً من بين عينات الدراسة.



الشكل 3-8: مستويات الهيموغلوبين لمريضي ابيضاض الدم اللمفي الحاد عند التشخيص وبعد تلقي العلاج الكيميائي

يعاني غالبية مرضى ابيضاض الدم اللمفي الحاد من الشحوب نتيجة لقلة كمية الهيموغلوبين الناتج من قلة مولد كريات الدم الحمر Erythroblast بسبب تراكم الارومات غير الطبيعية لنقي العظم وتكاثرها على حساب بقية الخطوط الخلوية مؤدياً إلى فشل في نقي العظم (Hoffbrand, 2005). يمكن أن يفسر الانخفاض في مستويات الهيموغلوبين لدى اغلب الأفراد المرضى بسرطان الدم اللمفي الحاد وفقاً لدراسات سابقة أكدت إن اغلب المصابين بالسرطان يعانون من فقر الدم (Steinberg, 1989; Wartenberg, *et al.*, 2008; Lanzkowsky, 2011) توافقت نتائج الدراسة الحالية مع عدد من الدراسات منها دراسة Nasir and Hassan and Weeda و دراسة Nasir and Weeda (2010) الذين أشارت نتائج دراستهم إلى انخفاض مستويات الهيموغلوبين عند الإصابة بابيضاض الدم اللمفاوي الحاد قبل اخذ جرعات العلاج، كما اظهرت نتائج الدراسة ارتفاعاً معنوياً في مستويات هيموغلوبين الدم في مجموعة المرضى المعالجين بالقياس مع مجموعة المرضى غير المعالجين مما يشير إلى استجابة المرضى للعلاج الكيميائي (Nasir and Kabir, 2005; Hassan and Weeda, 2010).

أشارت العديد من الدراسات السابقة (Elusoji, *et al*, 2008; Rao, 2010; Hassan and Weeda, 2010) إلى انخفاض مستويات الهيموغلوبين عقب تلقي العلاج الكيميائي وقد عزي ذلك



الانخفاض لتأثير العلاج الكيميائي على نخاع العظم مما أدى إلى انخفاض قيمة الهيموغلوبين. أشارت دراسة Donadieu إلى تناقض نسبة خطورة عدم الاستجابة للعلاج كلما قل تركيز الهيموغلوبين حيث أوضحت الدراسة إلى أن 20% من المرضى يعانون من قلة تركيز الهيموغلوبين بعد العلاج (Donadieu, *et al.*, 2000) كما بينت النتائج أن المرضى يعانون من تباين تركيز الهيموغلوبين وهو مشابه لدراسة Bassan, *et al.*, 2004) ومتواافق مع ما جاء في الدراسة الحالية. أشار Jonathan في دراسته حول مرضي ابيضاض الدم اللمفوي الحاد إلى إن قلة محتوى الهيموغلوبين، يعد من العوامل الجيدة لمتاز المرض إذ يستجيب المرضى للعلاج بصورة جيدة (Jonathan, *et al.*, 1990).

4-6-3: مستويات الحديد و قابلية ارتباط الحديد الكلية في عينات مرضي ابيضاض الدم اللمفوي الحاد ومجموعة السيطرة

استكمالاً لبقية فحوصات الدم الروتينية، تم تقييم مستويات الحديد في عينات الدم لمرضى ابيضاض الدم اللمفوي الحاد علاوة على أفراد مجموعة السيطرة. **الجدول 3-22** يبين انخفاضاً ملمسياً في تركيز الحديد لمجموعة المرضى مقارنة بالأصحاء.

الجدول 3-22: مستويات الحديد ($\mu\text{g/dl}$) في عينات الدم للمصابين بسرطان الدم اللمفوي الحاد والأفراد الأصحاء

Subjects (n)	Iron Concentration ($\mu\text{g/dl}$) Mean \pm S.D.	Min-Max Iron Concentration ($\mu\text{g/dl}$)	Range	p - value
<i>Patients</i> 30	61.533 ± 16.693	33.000 - 88.000	55.000	0.000
<i>Controls</i> 30	87.933 ± 14.189	70.000 - 120.000	50.000	

سُجلت أوطاً معدلات الحديد وكذلك أوطاً تركيز لهذا العنصر لدى الإناث المصابات في حين أنت أعلى معدلات الحديد وأعلى تركيز له لدى عينات الإناث السليمات. يلاحظ في **الجدول 3-23** وجود اختلافات معنوية ما بين الذكور والإإناث في المجموعة الواحدة لصالح الإناث في مجموعة السيطرة وعلى نقض ذلك في مجموعة الأفراد المصابين ب أبيضاض الدم اللمفوي الحاد، وبين المجموعتين فقد رصدت فروقاً معنوية ($p = 0.000$) بين الإناث في المجموعتين المشاركة في الدراسة، كذلك الحال سجلت نفس النتائج عند إجراء المقارنة بين الذكور في كلتا المجموعتين.

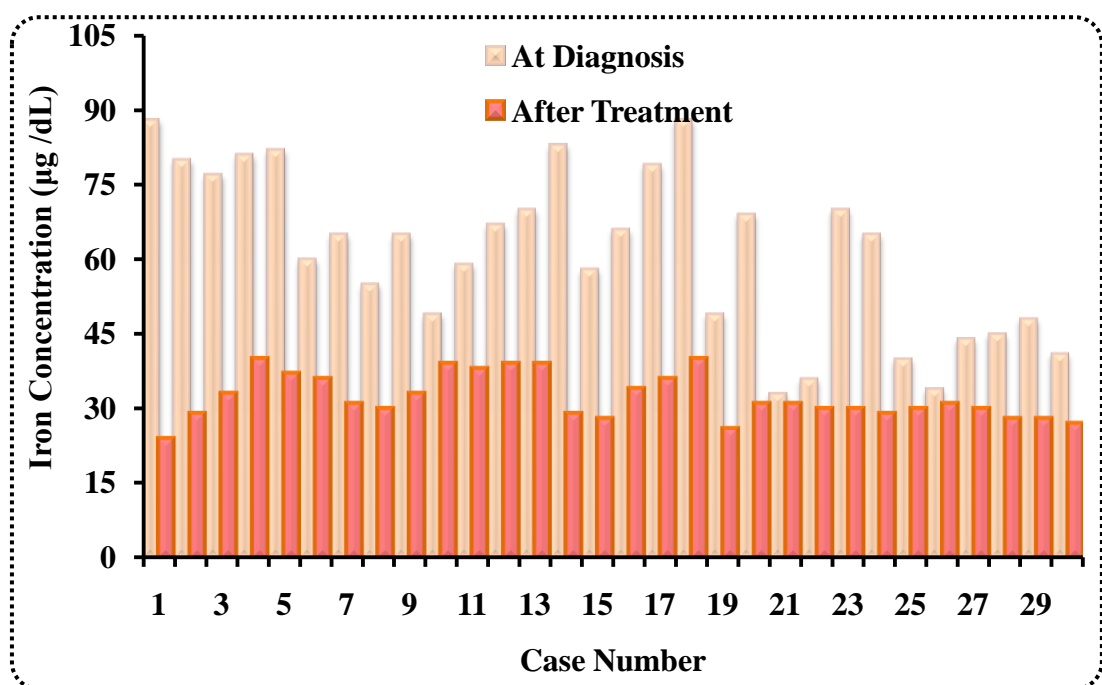


الجدول 3-23: مستويات الحديد في عينات الدم لذكور وإناث المرضى ببابيضاض الدم اللمفيا الحاد و الأفراد الأصحاء

Subjects (n)	Gender (n)	Iron Concentration ($\mu\text{g}/\text{dl}$) Mean \pm S.D.	Min-Max Iron Concentration ($\mu\text{g}/\text{dl}$)	Range	p - value
<i>Patients</i> 30	<i>Male</i> 19	69.500 ± 12.258	49.000 - 88.000	39.000	0.000 <i>For 1vs2</i>
	<i>Female</i> 11	45.600 ± 12.554	33.000 - 70.000	37.000	0.000 <i>For 3vs4</i>
<i>Controls</i> 30	<i>Male</i> 18	79.600 ± 5.695	70.000 - 90.000	20.000	0.003 <i>For 1vs3</i>
	<i>Female</i> 12	104.600 ± 10.977	88.000 - 120.000	32.000	0.000 <i>For 2vs4</i>

1: Male Patients, 2:Female Patients, 3: Healthy Males, and 4:Healthy Females. The Mean Difference is Significant at 0.05 Level

الشكل 3-9 يظهر انخفاض معدلات تركيز الحديد لدى جميع الأطفال بعد تلقيهم العلاج الكيميائي وهذا الرصد أتى متلائماً مع تم ملاحظته فيما يخص ارتفاع مستويات هرمون EOP عقب تلقي العلاج الكيميائي، مما يؤكّد تعرض خلايا الدم الحمر إلى النقصان اثر تأثيرها بالعلاج الكيميائي.



الشكل 3-9: مستويات الحديد في الدم لمريض ابيضاض الدم اللمفي الحاد عند التشخيص وبعد تلقي العلاج الكيميائي

بهدف مراقبة الكمية الحرجة والمرتبطة من الحديد في الدم تمت عملية تقييم مستوى سعة الارتباط الكلية للحديد TIBC عند كل من الأفراد المصابين والأصحاء المشاركين في الدراسة الخالية. يظهر الجدول 3-24 وجود انخفاض معنوي كبير في قيم TIBC في عينات مرضى ابيضاض الدم اللمفي الحاد مقارنة بنظرائهم في مجموعة الأصحاء.

الجدول 3-24: مستويات قابلية ارتباط الحديد الكلية في الدم عند المصابين وأفراد مجموعة

البسيطرة

Subjects (n)	TIBC (mg / dl) Mean \pm S.D.	Min-Max TIBC (mg / dl)	Range	p - value
Patients 30	222.400 ± 26.740	179.000 - 250.000	71.000	0.000
Controls 30	322.283 ± 16.724	290.000 - 341.000	51.000	



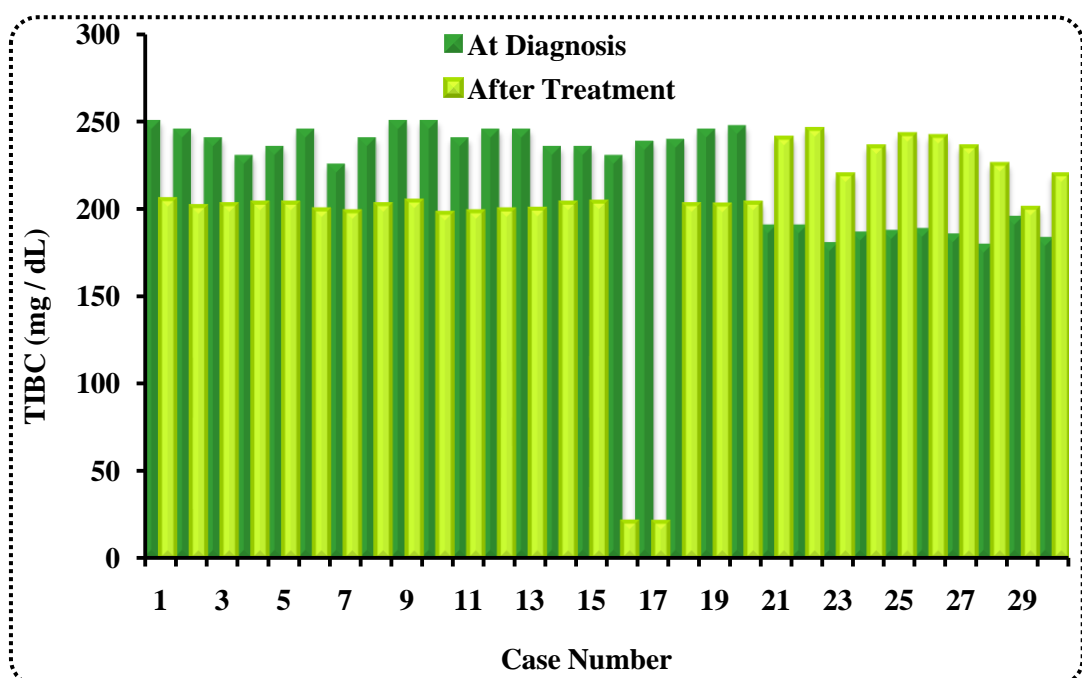
كانت نتائج تقييم مستويات TIBC متوافقة مع ما تم رصده من نتائج عند تقييم مستويات الحديد، حيث سجلت أوسطاً قيماً ومعدلات هذا المعيار عند الإناث المصابات بسرطان الدم اللمفي الحاد، في حين كانت أعلى مستوىاته لدى الذكور الأصحاء. يشير الجدول 3-25 إلى وجود فروقات معنوية إحصائياً ($p = 0.000$) ما بين الجنسين في المجموعة الواحدة (سواء في مجموعة المرضى أو الأصحاء) وكذلك عند إجراء المقارنة ما بين الذكور في المجموعتين وكذلك الإناث، كلاً على حدا.

الجدول 3-25: مستويات قابلية ارتباط الحديد الكلية في عينات الدم لذكور و إناث المرضى بابيضاض الدم اللمفي الحاد والأفراد الأصحاء

<i>Subjects (n)</i>	<i>Gender (n)</i>	<i>TIBC (mg / dl) Mean ± S.D.</i>	<i>Min-Max TIBC (mg / dl)</i>	<i>Range</i>	<i>p - value</i>
<i>Patients 30</i>	<i>Male 19</i>	240.450 ± 7.163	<i>225.000 - 250.000</i>	<i>25.000</i>	<i>0.000 For 1vs2</i>
	<i>Female 11</i>	186.300 ± 4.855	<i>179.000 - 195.000</i>	<i>16.000</i>	<i>0.000 For 3vs4</i>
<i>Controls 30</i>	<i>Male 18</i>	333.350 ± 5.393	<i>324.000 - 341.000</i>	<i>17.000</i>	<i>0.000 For 1vs3</i>
	<i>Female 12</i>	300.150 ± 4.842	<i>290.000 - 305.000</i>	<i>15.000</i>	<i>0.000 For 2vs4</i>

1: Male Patients, 2:Female Patients, 3: Healthy Males, and 4:Healthy Females. The Mean Difference is Significant at 0.05 Level

يظهر الشكل 3-10 انخفاضاً معنوياً ($p = 0.050$) في مستويات TIBC لدى 20 حالة من مرضى الدراسة بعد تقييم العلاج الكيميائي، في حين ارتفع مستوى هذا المعيار لدى 10 من المصابين.



الشكل 3-10: مستويات قابلية ارتباط الحديد الكلية في الدم لمرضى ابيضاض الدم اللمفي الحاد عند التشخيص وبعد تلقي العلاج الكيميائي

أن وجود الحديد بصورته الحرجة في جسم الإنسان بعد مادة سامة، وعادة يكون بكميات ضئيلة أو غير محسوسة عند الأشخاص الأصحاء إذ يكون في اغلب حالاته مرتبطة بجهاز الدوران عن طريق بروتين ناقل للحديد Transferrin ومخزون في الخلايا بواسطة Ferritin أو Hemosiderin (Franchini, *et al.*, 2008). يعد الحديد عنصراً آمناً نسبياً ضمن المكونات الخلوية ولا يمتلك صفات مُسرطنة مقارنة بالمعادن الأخرى كالزرنيخ والكروم والنikel على الرغم من أن حمل الحديد يرتبط بشكل واضح بالمستويات العالية للمُسرطانات (Huang, 2003) Carcinogenesis (Deugnier and Turlin, 2001) والذي يؤثر بنسبة 30% من المرضى متصاحباً مع ترسب الحديد في أنسجة الجسم، وهناك أشكال أخرى للسرطان تزامنت مع اضطرابات في أيض الحديد مثل سرطان المريء Skin Melanoma وسرطان الجلد Esophageal Cancer وابيضاض الدم الحاد (Papanikolaou and Pantopoulos, 2005) Acute Myeloid Leukemia (AML).

بقيت المعلومات حول الآلية التي يستحوذ فيها الحديد تكون الورم محدودة، إلا أنه من الواضح إن حمل الحديد يعرقل التوازن في تفاعلات الأكسدة والاختزال داخل الخلية مسبباً تولد جهد أكسدة



مزمن و الذي يولد شبكة من الإشارات تساهم في إحداث السرطان (Benhar, *et al.*, 2002). يؤدي الإجهاد التأكسدي في كبد الإنسان لتنشيط إنزيمات عملية الموت الخلوي المبرمج Apoptosis لخلايا الكبد وينشط الخلايا النجمية Satellite لإنتاج بروتين النسيج خارج خلوية وبذلك يبدأ لتكوين الكبد. من جانب آخر، فقد أشارت البحوث السابقة إلى إن حمل الحديد المزمن يعمل على استحثاث حدوث الطفرات في الجين المسؤول عن إصلاح DNA (Pietrangelo, *et al.*, 1995).

تتأثر مقدرة الجسم على تجديد الخلايا بشكل كبير في حالة انخفاض مستويات الحديد، وعلى هذا النحو فإن ضمور الأنسجة المخاطية في الفم واللسان وقشرة الرأس وهشاشة الأظافر تكون ناتجة عن هذا الانخفاض كما أن للحديد دوراً مهماً في نمو وتكامل أنسجة الدماغ عند الأطفال، ونقصه يؤدي إلى انخفاض في نسبة الذكاء (Berger, *et al.*, 1992)، في حين أشارت دراسة Berger إلى إن انخفاض الحديد يؤدي إلى انخفاض في أداء الخلايا المفاوية T-lymphocytes بمقدار 20% عند الأطفال (Berger, *et al.*, 1992).

من الممكن أن يفسر انخفاض مستويات الحديد في حالات الإصابة بسرطان الدم اللمفوي الحاد نتيجة لازدياد Cytokines على اعتبار إن الإصابة السرطانية هي إصابة التهابية وفقاً للتعریف الأولي للسرطان، مما يسبب ارتباط Cytokines بالبروتين الناقل للحديد Transferrin مما يقلل من ارتباطية الحديد إليه وبذلك يقل تركيز الحديد في المصل.

بيّنت النتائج انخفاض في مستويات الحديد وسعة الحديد الكلية للمرضى مقارنة بالأصحاء كما تتطابق نتائج الدراسة الحالية مع دراسة Gambino التي تتضمن انخفاض نسبة الحديد وبالتالي انخفاض قابلية ارتباط الحديد الكلية لدى مرضى ابيضاض الدم قبل وبعد العلاج الكيميائي (Gambino, *et al.*, 2005)، في حين أكدت دراسة Mahap أن سبب انخفاض نسبة الحديد في المصابين بسرطان الدم هو انخفاض إعداد خلايا الدم الحمراء علاوة على ذلك زيادة مستويات الفيرتين قبل العلاج الكيميائي (Mahap, *et al.*, 2010).

3-6-5: مستويات الفيرتين في عينات مرضى ابيضاض الدم اللمفوي الحاد و أفراد مجموعة السيطرة

سجلت الدراسة الحالية ارتفاعاً معنوياً في مستويات تركيز الفيرتين لدى الأفراد المصابين Student's (53.341 ng / ml) عند مقارنتهم بالاصحاء في المجموعة الضابطة باستخدام اختبار *t-test* (الجدول 3).



الجدول 3-26: مستويات الفربتين في الدم عند الأفراد المصابين التشخيص مقارنة بأقرانهم من الأصحاء

Subjects (n)	Ferritin Concentration (ng / ml) Mean \pm S.D.	Min-Max Ferritin Concentration (ng / ml)	Range	p - value
Patients 30	53.341 ± 374.63	270.000 - 440.000	170.000	0.000
Control 30	41.110 ± 200.733	115.000 - 270.000	155.000	

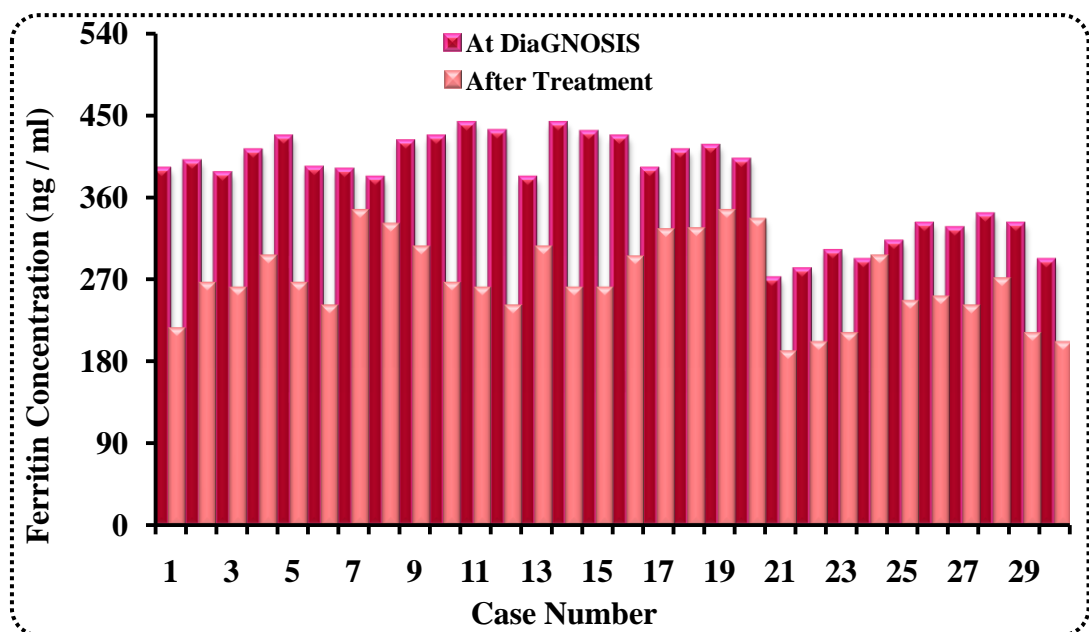
أظهرت نتائج اختبار تحليل المتغيرات ANOVA للمجموعات المتضمنة في العمل الحالي، ارتفاع مستويات الفربتين في عينات الذكور من المصابين والأصحاء مقارنة بإناث كلا المجموعتين عند إجراء المقارنة الضمنية بينهم، حيث سجلت أعلى معدلات هذا البروتين في مجموعة الذكور المصابين (408.700 ng / ml) وكذلك كانت أعلى قيمة مسجلة للفربتين (440.000 ng / ml) في نفس هذه المجموعة. تشير الدراسة إلى وجود فروق معنوية بين الذكور والإإناث في المجموعة الواحدة (سواء كانت مجموعة الأفراد المصابين أو المجموعة الضابطة)، من الجدول 3-27.

الجدول 3-27: مستويات الفربتين في عينات الدم لذكور وإناث المرضى ببابيضااض الدم اللمفى الحاد و الأفراد الأصحاء

Subjects (n)	Gender (n)	Ferritin Concentration (ng / ml) Mean \pm S.D.	Min-Max Ferritin Concentration (ng / ml)	Range	p - value
Patients 30	Male 19	408.700 ± 20.103	380.000 - 440.000	60.000	0.000
	Female 11	306.500 ± 24.043	270.000 - 340.000	70.000	For 1vs2 0.000
Controls 30	Male 18	217.650 ± 35.136	140.000 - 270.000	130.000	For 3vs4 0.000
	Female 12	166.900 ± 30.523	115.000 - 220.000	105.000	For 1vs3 0.000
For 2vs4 0.000					

1: Male Patients, 2:Female Patients, 3: Healthy Males, and 4:Healthy Females. The Mean Difference is Significant at 0.05 Level

يبين الشكل 11-3 تأثر مستويات الفيريتين بتلقي العلاج الكيميائي من قبل مرضى سرطان الدم الممفي الحاد، حيث سجل انخفاض مستويات الفيريتين لدى 97% من المرضى بعد تلقيهم ما لا يقل عن جرعتين من العلاج الكيميائي.



الشكل 11-3: مستويات الفيريتين في الدم لمريض ابيضاض الدم الممفي الحاد عند التشخيص وبعد تلقي العلاج الكيميائي

يُعد الفيريتين أحد الدوافع الطبيعية المهمة والذى يدل على مقدار الحديد في الجسم ويعتبر أحد العلامات المهمة للتشخيص (Waalen, *et al.*, 2008). تتطابق نتائج الدراسة الحالية مع دراسة Maggio التي بينت علاقة ارتفاع مستويات الفيريتين ببعض الأمراض ومنها أمراض القلب الوعائية والأمراض السرطانية (Maggio, *et al.*, 2007). أظهرت دراسة Kabat ارتفاع مستويات الفيريتين لدى مرضى ابيضاض الدم الممفي الحادة ALL والتي اشتملت على فئات عمرية مختلفة ومن سجل لديهم تاريخ عائلي لإصابة بالسرطان، وقد عزى ذلك الارتفاع في مستويات الفيريتين إلى إنتاج كميات كبيرة من الحديد الحر Free iron باعتباره عاملًا مسرطناً مثل بقية الجذور الحرة والذي يعمل على تحطيم الـ DNA (Kabat, *et al.*, 2007)، كذلك تطابقت نتائج الدراسة الحالية مع الدراسة التي أجرتها Mary (Mary, *et al.*, 2009).



3-7: تقييم مستويات بعض العناصر النزرة في أمصال مجموعتي الدراسة

تم تقييم مستويات عدد من العناصر النزرة (ذات الحديد والنحاس والخارصين والنikel) ذات الأهمية الحيوية في أمصال مرضى الدراسة عند التشخيص وبعد تلقى العلاج، علاوة على أفراد مجموعة السيطرة باستخدام تقنية مطابقية الامتصاص الذري الاهبى.

3-7-1: تقييم مستويات بعض العناصر النزرة في أمصال أفراد مجموعة السيطرة و مرضى ابيضاض الدم اللمفى الحاد عند تشخيص الإصابة

عند مقارنة نتائج تقييم مستويات العناصر النزرة الأربع المقيدة في عينات مرضى سرطان الدم اللمفى الحاد (ALL) عند تشخيص الإصابة مع نظيراتها في عينات مجموعة السيطرة، فقد وجد أن مستويات العناصر الأربع كانت منخفضة في عينات المرضى مقارنة بمجموعة الأصحاء، حيث اظهر التحليل الإحصائي باستخدام Student's *t*-test وجود فروق معنوية عالية ($p = 0.000$) عند تقييم كل من الحديد والنحاس والنikel ، في حين كان الفرق اقل معنوية عند تقييم مستوى الخارصين ($p = 0.011$) كما مبين في الجدول 3-28.

الجدول 3-28: مستويات العناصر المقيدة في أمصال الأفراد الأصحاء ومرضى ابيضاض الدم اللمفى الحاد عند التشخيص

<i>Subjects (n)</i>	<i>Fe (ppm) Mean ± S.D. Min-Max Range</i>	<i>Cu (ppm) Mean ± S.D. Min-Max Range</i>	<i>Zn (ppm) Mean ± S.D. Min-Max Range</i>	<i>Ni (ppm) Mean ± S.D. Min-Max Range</i>
<i>Patients 30</i>	<i>6.548 ± 1.055 4.140 - 8.840 4.690</i>	<i>2.338 ± 0.592 1.140 - 3.280 2.140</i>	<i>0.933 ± 0.513 0.100 - 3.210 3.110</i>	<i>12.095 ± 7.889 1.580 - 46.940 45.360</i>
<i>Controls 30</i>	<i>8.883 ± 1.064 6.560 – 10.770 4.210</i>	<i>3.522 ± 2.267 3.170 – 3.980 0.081</i>	<i>1.621 ± 1.493 1.290 – 8.390 8.100</i>	<i>28.046 ± 6.763 15.760 – 40.490 24.720</i>
<i>p - value</i>	<i>0.000</i>	<i>0.000</i>	<i>0.011</i>	<i>0.000</i>

بهدف تقصي الفروقات المحتملة في مستويات العناصر النزرة الأربع المقاسة الناجمة عن الاختلاف في الجنس تم مقارنة نتائج العناصر الأربع بينياً في المجموعة الواحدة من ناحية وبين المجاميع الفرعية (المرضى والأصحاء) من نفس الجنس من ناحية أخرى وذلك بتطبيق اختبار ANOVA.

بيّنت الدراسة وجود فروق معنوية بين الذكور و الإناث المصابين عند تقييم مستويات كل من الحديد ($p = 0.048$) والنحاس ($p = 0.000$) على التوالي، في حين لم تسجل الدراسة نتائج مماثلة عند مقارنة مستويات كل من الخارصين والنيكل عند الذكور و الإناث في مجموعة الأفراد المصابين بابيضاض الدم اللمفي الحاد. من جانب آخر، رصّدت الفروق بين الذكور و الإناث على مستوى تقييم عنصري النحاس ($p = 0.014$) والنيكل ($p = 0.004$) فقط لدى الأفراد في مجموعة السيطرة أما مستويات عنصري الحديد والخارصين فقد كانت متقاربة لدى الذكور و الإناث الأصحاء.

عند مقارنة مجموعة الإناث المصابات (قبل بدء العلاج) مع نظيراتهن السليمات، سجلت الدراسة الحالية وجود فروق معنوية ($p = 0.000$) في كل من عناصر الحديد والنحاس والنikel على التوالي، في حين لم تتحقق الدراسة في إيجاد فروق معندةً بها إحصائياً لمستويات نصر الخارجيين عند مقارنة مجموعة الإناث المصابات مع السليمات (الجدول 3-29).

جاءت نتائج المقارنة بين مجموعتي الذكور (الذكور المصابين بابيضاض الدم اللمفي الحاد عند تشخيص إصابتهم بالمرض و أفراد مجموعة السيطرة الذكور) متوافقة مع ما تم رصده عند إجراء المقارنة بين إناث مجموعتي الدراسة، يستثنى من تلك النتائج ما تم ملاحظته عند مقارنة مستويات عنصر **الخارصين** لدى مجموعتي الذكور حيث لوحظ فرقاً معنوياً معتمداً به إحصائياً ($p = 0.030$) بين هاتين المجموعتين، كما موضح في الجدول 3-29.

الجدول 3-29: مستويات Fe و Cu و Zn و Ni المقيمة في أمصال مجموعتي الدراسة من الذكور و الإناث

Trace Element (ppm)	Subjects (n)				p - value	
	Patients 30		Controls 30			
	Male 19	Female 11	Male 18	Female 12		
	Mean \pm S.D. Min-Max Range	Mean \pm S.D. Min-Max Range	Mean \pm S.D. Min-Max Range	Mean \pm S.D. Min-Max Range		
Fe	6.278 ± 1.028 $4.140 - 8.150$ 4.000	7.089 ± 1.093 $5.520 - 8.840$ 3.310	9.401 ± 1.064 $7.730 - 10.630$ 2.900	8.625 ± 1.099 $6.560 - 10.770$ 4.210	0.048 For 1vs2 0.058 For 3vs4 0.000 For 1vs3 0.000 For 2vs4	
Cu	2.032 ± 1.046 $1.140 - 2.760$ 1.620	2.952 ± 1.024 $2.470 - 3.280$ 1.081	3.743 ± 1.018 $3.460 - 3.980$ 0.520	3.412 ± 1.016 $3.170 - 3.680$ 1.052	0.000 For 1vs2 0.014 For 3vs4 0.000 For 1vs3 0.000 For 2vs4	
Zn	1.019 ± 1.061 $1.010 - 3.210$ 3.110	1.076 ± 1.017 $1.045 - 1.040$ 1.059	1.783 ± 0.825 $0.590 - 3.360$ 2.76	1.540 ± 1.749 $1.029 - 8.390$ 8.100	0.523 For 1vs2 0.545 For 3vs4 0.574 For 1vs3 0.030 For 2vs4	
Ni	11.582 ± 4.138 $3.680 - 18.960$ 15.270	14.121 ± 12.633 $1.580 - 46.940$ 45.360	34.472 ± 3.730 $30.100 - 40.490$ 10.390	24.833 ± 5.532 $15.760 - 33.320$ 17.560	0.442 For 1vs2 0.004 For 3vs4 0.000 For 1vs3 0.000 For 2vs4	

1: Male Patients, 2:Female Patients, 3: Healthy Males, and 4:Healthy Females. The Mean Difference is Significant at 0.05 Level

3-7-2: تقييم العلاقة الارتباطية بين العناصر النزرة في مجموعة الدراسة

عمدت الدراسة الحالية الى تقييم العلاقة الرابطة بين العناصر النزرة المقاسة بتطبيق **Person's Correlation** في كل من مجموعة مرضى سرطان الدم اللمفي الحاد عند التشخيص و قبل تلقي العلاج إضافة الى مجموعة السيطرة.

الجدول 3-30 يبين وجود علاقات ارتباطية معندة بها إحصائيا ($p = 0.021$) بين كل من الحديد والنحاس حيث ارتبطت مستويات هذين العنصرين تواقيعاً في 42% من عينات أفراد مجموعة السيطرة. ارتبط 55% من عينات مجموعة السيطرة بعلاقة ارتباطية موجبة وبمستوى معنوية مرتفع ($p = 0.002$) عند اختبار العلاقة بين عنصري الحديد والنikel.

الجدول 3-30: العلاقات الارتباطية للعناصر النزرة المقيمة في أمصال مجموعة السيطرة

	Trace Element (ppm)	Fe	Cu	Zn	Ni
$r = 0.787$	Fe	1 0.021	0.420 0.021	0.165 0.385	0.549 0.002
	Cu	0.420 0.021	1 0.945	-0.013 0.945	0.787 0.000
	Zn	0.165 0.385	-0.013 0.945	1 0.641	0.089 0.641
	Ni	0.549 0.002	0.787 0.000	0.089 0.641	1

أظهرت الدراسة الحالية وجود علاقة ارتباطية موجبة ذات مستوى معنوية عالياً إحصائياً ($r = 0.787$ عند $p = 0.000$) عند دراسة العلاقة بين عنصري النحاس والنikel المقيمة في عينات مجموعة السيطرة (الجدول 3-30)، من جانب آخر فقد خلت العلاقات الرابطة بين الخارجيين وكل من النحاس والنikel، على التوالي الى المعنوية.

سجلت الدراسة وجود علاقة ارتباطية موجبة معندة بها إحصائيا بين الحديد والنحاس فقط في حين خلت العلاقات الارتباطية بين باقي العناصر الأربع المقاسة من المعنوية. وبين الوثير المسجلة



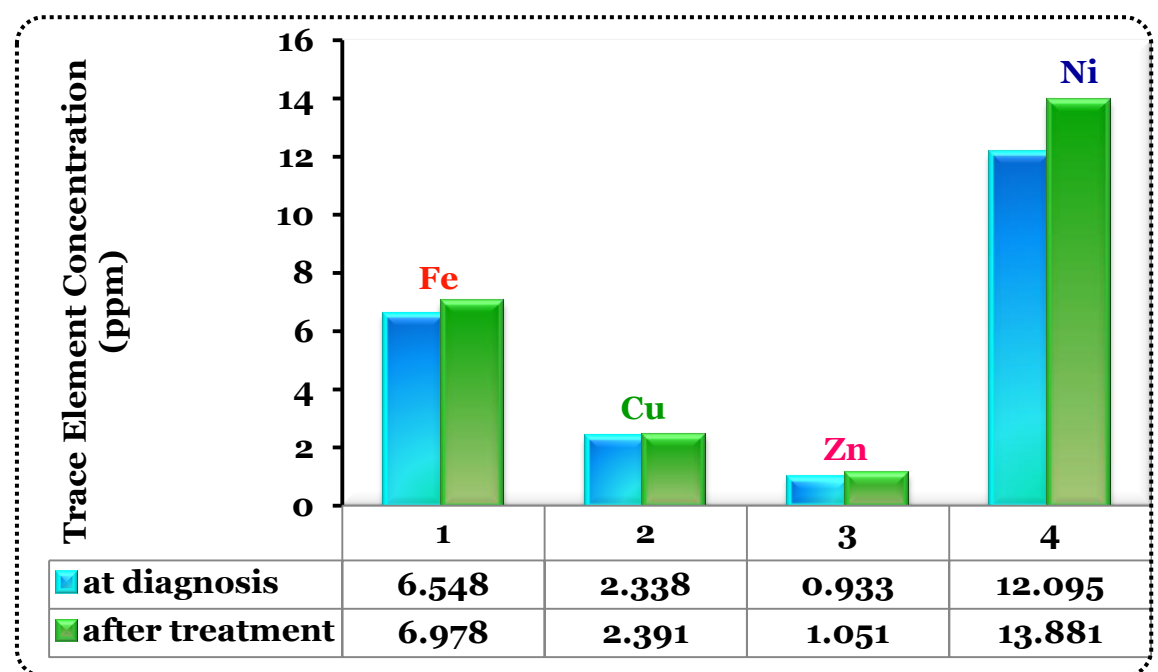
في نتائج مجموعة السيطرة ولكن بمستوى ارتباط اكبر، وجد إن العلاقة بين النحاس والخارصين كانت سالبة في ~ 25% من العينات المقيمة لمرضى الدراسة قبل تلقي العلاج الكيميائي، كما في الجدول 3-31.

الجدول 3-31: العلاقات الارتباطية للعناصر النزرة المقيمة في أمصال المجموعة المصابة قبل تلقي العلاج الكيميائي

	Trace Element (ppm)	Fe	Cu	Zn	Ni
Fe	1	0.515 0.004	0.043 0.822	0.243 0.196	
Cu		0.515 0.004	1	-0.253 0.178	0.121 0.523
Zn		0.043 0.822	-0.253 0.178	1	0.033 0.863
Ni		0.243 0.196	0.121 0.523	0.033 0.863	1

3-7-3: تقييم مستويات العناصر النزرة في أمصال أفراد مجموعة السيطرة و مرضى ابيضاض الدم المفي الحاد بعد العلاج

على الرغم من الارتفاع النسبي في مستويات العناصر النزرة المقيمة في العينات المصابة بعد تلقي العلاج مقارنة بمستوياتها عند التشخيص كما يظهر في الشكل 3-12، إلا أن المعالجة الإحصائية لنتائج عينات المرضى بعد تلقي العلاج الكيميائي ومقارنتها مع مجموعة السيطرة يُظهر أن تلقي العلاج الكيميائي لم يكن ناجعاً بما يكفي لرفع مستوى العناصر الأربع في أمصال عينات الدراسة من المصابين بسرطان الدم المفي الحاد لتصل إلى مستوياتها الطبيعية، حيث بقيت مستويات العناصر المقيمة في العمل الحالي منخفضة معنوية ($p < 0.05$) مقارنة بمجموعة الأصحاء (الجدول 3-32).



الشكل 12-3: مستويات العناصر النزرة (Fe, Cu, Zn, and Ni) المقيمة في أمصال المجموعة المصابة بابيضاض الدم اللمفي الحاد عند التشخيص وبعد تلقي العلاج

الجدول 3-32: مستويات العناصر المقيمة في أمصال أفراد مجموعة السيطرة و مرضى ابيضاض الدم اللمفي الحاد بعد تلقي العلاج

Subjects (n)	Fe (ppm)	Cu (ppm)	Zn (ppm)	Ni (ppm)
	Mean \pm S.D.	Mean \pm S.D.	Mean \pm S.D.	Mean \pm S.D.
	Min-Max	Min-Max	Min-Max	Min-Max
Patients 30	6.978 ± 1.209 $4.420 - 9.870$ 5.450	2.391 ± 1.058 $1.250 - 3.310$ 2.060	1.051 ± 1.081 $1.037 - 4.930$ 4.560	13.881 ± 11.288 $2.510 - 65.210$ 62.710
Controls 30	8.883 ± 1.064 $6.560 - 10.770$ 4.210	3.522 ± 2.267 $3.170 - 3.980$ 0.081	1.621 ± 1.493 $1.290 - 8.390$ 8.100	28.046 ± 6.763 $15.760 - 40.490$ 24.720
p - value	0.000	0.000	0.034	0.000

بهدف متابعة تأثير التعاطي لكل جنس من المرضى مع العلاج الكيميائي واختبار مدى تأثيره في مستويات العناصر النزرة، تم إجراء المقارنة الضمنية بين الجنسين في أعقاب تلقي أفراد مجموعة

المرضى ما لا يقل عن جرعتين من العلاج الكيميائي ومن ناحية أخرى أجريت مقارنة مستويات العناصر النزرة لمجموعتي المرضى من كلا الجنسين مع نظرائهم في مجتمع السيطرة.

الجدول 33 يشير إلى تباين إحصائي عالي في مستويات كلا من **الحديد والنحاس** بين الإناث والذكور في مجموعة مرضى الدراسة الحالية، فعلى الرغم من ارتفاع مستوى هذين العنصرين بعد تلقي العلاج الكيميائي (الشكل 12-3) إلا إن استجابة الإناث كانت أعلى مما سجل لدى ذكور هذه المجموعة بالإضافة إلى أن أعلى مستويات لهذين العنصرين كانت قد سجلت في مجموعة الإناث وكما مبين في **الجدول 33**. لم تسجل فروق معنوية بين الإناث والذكور المصابين بابهضاض الدم اللمفي الحاد عند تقييم مستويات كل من **الخارصين** ($p = 0.255$) والنيكل ($p = 0.242$) على التوالي. أوجدت الدراسة فرقاً إحصائياً معنوياً ($p = 0.000$) عند مقارنة الإناث والذكور المرضى مع نظرائهم في مجموعة السيطرة لكل من الحديد والنحاس والنيكل، في حين أخفقت الدراسة في إيجاد فرقاً معنوياً ($p = 0.305$) بين الإناث المرضى بعد تلقي العلاج والإثاث السليمات عند تقييم مستوى **الخارصين** لديهم، في حين كان الفرق في مستويات هذا العنصر بين الذكور المرضى والأصحاء مقبول إحصائياً ($p = 0.027$).



الجدول 3-3: مستويات Fe و Cu و Zn و Ni المقيمة في أمصال الأفراد الأصحاء ومجموعتي المرضى بابيضاض الدم التمفي الحاد من الذكور و الإناث بعد تلقيهم العلاج الكيميائي

Trace Element (ppm)	Subjects (n)				p - value	
	Patients 30		Controls 30			
	Male 19 Mean ± S.D. Min-Max Range	Female 11 Mean ± S.D. Min-Max Range	Male 18 Mean ± S.D. Min-Max Range	Female 12 Mean ± S.D. Min-Max Range		
<i>Fe</i>	<i>6.616 ± 1.099</i> <i>4.420 - 7.870</i> <i>3.450</i>	<i>7.703 ± 1.328</i> <i>5.730 - 9.870</i> <i>4.140</i>	<i>9.401 ± 1.064</i> <i>7.730 - 10.630</i> <i>2.900</i>	<i>8.625 ± 1.099</i> <i>6.560 - 10.770</i> <i>4.210</i>	<i>0.000</i> <i>For 1vs2 0.058</i> <i>For 3vs4 0.000</i> <i>For 1vs3 0.000</i> <i>For 2vs4</i>	
	<i>2.098 ± 1.047</i> <i>1.250 - 2.800</i> <i>1.550</i>	<i>2.978 ± 1.020</i> <i>2.720 - 3.310</i> <i>1.059</i>	<i>3.743 ± 1.018</i> <i>3.460 - 3.980</i> <i>0.520</i>	<i>3.412 ± 1.016</i> <i>3.170 - 3.680</i> <i>1.052</i>	<i>0.000</i> <i>For 1vs2 0.014</i> <i>For 3vs4 0.000</i> <i>For 1vs3 0.000</i> <i>For 2vs4</i>	
	<i>1.204 ± 1.096</i> <i>1.037 - 4.930</i> <i>4.560</i>	<i>1.075 ± 1.017</i> <i>1.055 - 1.098</i> <i>1.043</i>	<i>1.783 ± 0.825</i> <i>0.590 - 3.360</i> <i>2.76</i>	<i>1.540 ± 1.749</i> <i>1.029 - 8.390</i> <i>8.100</i>	<i>0.255</i> <i>For 1vs2 0.545</i> <i>For 3vs4 0.305</i> <i>For 1vs3 0.027</i> <i>For 2vs4</i>	
<i>Ni</i>	<i>12.925 ± 3.949</i> <i>6.850 - 21.590</i> <i>14.740</i>	<i>16.7940 ± 19.089</i> <i>2.510 - 65.210</i> <i>62.710</i>	<i>34.472 ± 3.730</i> <i>30.100 - 40.490</i> <i>10.390</i>	<i>24.833 ± 5.532</i> <i>15.760 - 33.320</i> <i>17.560</i>	<i>0.242</i> <i>For 1vs2 0.004</i> <i>For 3vs4 0.000</i> <i>For 1vs3 0.000</i> <i>For 2vs4</i>	

1: Male Patients, 2:Female Patients, 3: Healthy Males, and 4:Healthy Females. The Mean Difference is Significant at 0.05 Level



4-7-3: العلاقة الارتباطية بين العناصر النزرة المقيمة في مجموعة المصابين بابيضاض الدم المفي الحاد بعد تلقيهم العلاج

بعد تلقي العلاج الكيميائي، ارتفعت نسبة العينات التي سجلت ارتباطاً ايجابياً عند تقييم عنصري الحديد والنحاس معاً لتصل الى 66% من مجموع عينات مرضى الدراسة، وقد لوحظ إن العلاقة الارتباطية هذه اتسمت بالاتساق والمعنى العالية ($p = 0.000$).

الجدول 34: العلاقات الارتباطية للعناصر النزرة المقيمة في أمصال المجموعة المصابة بعد تلقي العلاج الكيميائي

	Trace Element (ppm)	Fe	Cu	Zn	Ni
Fe	1	0.656 0.000	-0.214 0.256	-0.214 0.256	0.494 0.005
Cu	0.656 0.000	1	-0.438 0.016	-0.438 0.016	0.223 0.235
Zn	-0.214 0.256	-0.438 0.016	1	-0.135 0.477	-0.135 0.477
Ni	0.494 0.005	0.223 0.235	-0.135 0.477	-0.135 0.477	1

ازداد عدد العينات المرتبطة ايجابياً مع بعضها البعض عند تقييم العلاقة بين الحديد والنحاس لتصل الى 50% من مجموع العينات المقيمة وبمستوى معنوية كبير ($p = 0.005$). سجلت نتائج الدراسة ارتفاعاً ملحوظاً في معامل الارتباط ($r = -0.438$) بين النحاس والخارصين وزيادة في تنساق النتائج المسجلة مما أدى الى زيادة المعنوية الإحصائية.

تحولت العلاقة بين عنصري الخارصين وال الحديد وكذلك الخارصين والنحاس لتكون عكسية (سلبية) (0.214 و 0.135 - مع كل من الحديد والنحاس على التوالي) بعد تلقي العلاج الكيميائي وهي بذلك تخالف طبيعة الارتباط المسجلة للخارصين مع هذين العنصرين في عينات مجموعة السيطرة.

نتيجة للدور الحيوي الذي تؤديه مجموعة العناصر المقاسة في العمل الحالي تم افتراض مجموعة من الفرضيات لتفسير التغيرات الناتجة على مستوياتها:

- (1) يؤثر السرطان سلبياً على التوازن الطبيعي للمغذيات ومنها العناصر النزرة على وجه الخصوص بسبب مجموعة من العوامل يأتي في مقدمتها نقص التغذية وفقدان الشهية والتقيؤ وسوء الهضم وسوء الامتصاص (Ursula, 2016; Saadia, et al., 2016).
- (2) من السمات المميزة للتحولات الخلوية غير الطبيعية هو تراجع مقدرة الخلية السرطانية على تخلق عدد من البروتينات وقد تكون البروتينات الخازنة أو الناقلة لعدد من العناصر النزرة او البروتينات المؤثرة عليها بشكل غير مباشر ضمن هذه البروتينات، وقد عززت هذا الفرض عدد من البحوث والدراسات السابقة التي أشارت إلى تناقص مستويات عدد من البروتينات التي تؤدي مثل هذه الوظائف (Mustafa, et al., 2013; Ihsan, 2017) ومن ضمنها دراسة مرتبطة بالبحث الحالي التي أثبتت تناقص في مستويات Ferritin لدى مرضى ابيضاض الدم اللمفي الحاد والذي ارتبط بشكل مباشر بانخفاض مستوى الحديد في عينات مرضى الدراسة (Humam, et al., 2018).
- (3) العناصر المقيمة في العمل الحالي (عدا النيكل) تشتراك في كونها مرافقات إنزيمية لعدد كبير من الإنزيمات المحفزة لتفاعلات الأكسدة والاختزال، وترتبط بشكل مباشر مع الإجهاد التأكسدي الخلوي الحاصل، ولما كان التقدم في الإصابة السرطانية يؤدي إلى تعطل أو نقصان كفاءة منظومة إنزيمات مضادات التأكسد مع تقدم مراحل المرض مما يؤدي إلى تناقص مستويات العناصر المترافقه معها (Zuo, et al., 2006; Inas, et al., 2017).

اتفقت نتائج الدراسة الحالية مع عدد كبير من الدراسات التي أشارت إلى انخفاض مستوى Fe تزامناً مع حدوث الإصابة السرطانية وتقدمها بشكل عام (Suzy and Frank, 2013; Merav, et al., 2016; Yan, et al., 2018) ومع سرطان الدم اللمفي الحاد بشكل خاص (Al-Ganimi, 2011; Terwilliger and Abdul-Ha, 2017) في حين أتت النتائج متعارضة مع دراسات أخرى (Benhar, et al., 2002).

كانت مستويات النحاس منخفضة في عينات المصابين بابيضاض الدم اللمفي الحاد وهذه النتائج كانت متخالفة مع العديد من الدراسات الخاصة بالعديد من أنواع الإصابات المرضية السرطانية وغير السرطانية (Eiman, et al., 2016; Rana and Salah, 2016).

يؤثر Zn على نمو وتطوير وسلامة الجهاز المناعي وقد أشارت العديد من الدراسات إلى أن نقص Zn يمكن أن يسبب خلل الخلايا الثانية ويضعف وظائف المناعة الخلوية (Jackleen, 2014).

جاءت نتائج الدراسة الحالية متوافقة مع عدد من الدراسات التي أثبتت حدوث انخفاضاً كبيراً في

مستويات Zn في أ虺صال مرضى سرطان الدم اللمفي الحاد بالمقارنة مع مجموعة السيطرة (Cengiz, *et al.*, 2011; Atieh, *et al.*, 2012; Hussein, *et al.*, 2015)

بالرغم من تعذر الحصول على دراسات سابقة تشير إلى دور النيكل في عملية حدوث التسربن أو تأثر مستوياته بتقدم مراحل الإصابة وكون البحث السابقة كانت قد أشارت إلى دور هذا العنصر فقط في تحفيز ظهور أعراض المترآمنة الإيضية المتمثلة باكتساب الوزن وارتفاع مستوى الكوليسترول والدهون الثلاثية وارتفاع ضغط الدم (Ihsan and Rasha, 2017)، كذلك أشارت دراسة أخرى إلى إن الذين يتمتعون بمستويات عالية من النيكل كانوا أقل عرضة للإصابة البنكرياس بنسبة تتراوح ما بين 33% و 95%， وذلك مقارنة بمن يعانون من انخفاض مستويات هذه العناصر بالجسم إلا إن نتائج الدراسة الحالية تمثل نقطة شروع للعديد من الأعمال الخاصة بتأثير التغير في مستوى عنصر النيكل في سوائل الجسم المختلفة إثناء الإصابات المرضية المختلفة. تعود الارتفاعات غير المعنوية إحصائياً في مستويات العناصر الأربع المقيدة في الدراسة الحالية إلى طبيعة العلاج الكيميائي وما يحدثه من تأثيرات سمية في الأنسجة المصابة والسليمة والذي بدوره قد يعيق عملية العديد من العمليات الخلوية التي تتضمن إنتاج عدد من البروتينات المؤثرة بشكل مباشر في مستويات العناصر النزرة والآلية عملها في الخلايا، وقد اتفقت العديد من الدراسات السابقة والتي ارتكزت إلى تقييم مستويات العناصر النزرة قبل وبعد تلقي العلاج الكيميائي في العديد من الإصابات السرطانية (استخدم البحث الخاصة بالعلاجات الكيميائية).



3-8: دراسة اثر الإصابة بابيضاض الدم اللمفي الحاد و تقييم تأثير العلاج الكيميائي في وظائف الكلية

تعد الكلية عضو الإخراج الرئيسي ولها دوراً مهماً في تنظيم الماء وتوازن الأيونات طبقاً لاحتياج الجسم لها (Hall, 2011)، كما إن الكليتين تتحسس لتركيز البلازم من الأحماض الأمينية والكرياتينين والكلور وتعمل منظماً مهماً لعملية ضغط الدم وأيضاً الكلوروز (Shimmi, et al., 2011) وتلعب الكليتين دوراً أساسياً في آليات التوازن المائي في جسم الإنسان بواسطة إعادة امتصاص المواد المترشحة والأيونات وإخراج العديد من نواتج الإيذان الثانوية (Newman and Price, 1999)، تم دراسة عدد من المعايير الفسلجية والكيميائية لتقييم وظائف الكليتين لمرضى الدراسة عند تشخيص الإصابة بابيضاض الدم اللمفي الحاد وبعد تلقي العلاج الكيميائي ومقارنتها بنتائج هذه المعايير في مجموعة السيطرة.

3-8-1: تقييم وظائف الكلية لمجموعة الأفراد الأصحاء و مرضى ابيضاض الدم اللمفي الحاد قبل تلقي العلاج الكيميائي

تشير نتائج الدراسة إلى وجود ارتفاع معنوي ($p = 0.000$) في تركيز كل من هرمون البيتين الأذيني المدر للصوديوم (ANP) و Urea في أمصال مجموعة مرضى ابيضاض الدم اللمفي الحاد مقارنة بمستوياتها في أمصال مجموعة السيطرة، وبنفس المنوال فقد سجلت الدراسة ارتفاعات معنوية ($p = 0.000$) في مستوى Microalbumin في العينات البولية لمجموعة المرضى مقارنة بمجموعة الأفراد الأصحاء. بشكل معاكس أشارت الدراسة الحالية إلى انخفاض معنوي ($p = 0.001$) في مستوى Creatinin المصلي لدى أفراد المجموعة المصابة مقارنة بمستوياته لدى الأفراد السليمين. لم تسجل الدراسة وجود أي اختلافات معنوية بها إحصائياً بين مجموعتي الدراسة عند تقييم مستوى Uric Acid في أمصال العينات حيث بقيت مستويات هذا الناتج الأيضي ضمن مدياته الطبيعية (2.4 - 6.5 mg/dl)، وعلى الرغم من حالات فقدان الشهية وسوء التغذية المصاحبة لحالة الإصابة بالمرض إلا إن الدراسة رصدت عدد من القيم العالية نسبياً (5.200 mM) لدى الأطفال المصابين، وكما يلاحظ في الجدول 3.

الجدول 35: مستويات بعض المعايير المستخدمة في تقييم وظائف الكلية لدى أفراد مجموعة السيطرة و المصابين بابيضاض الدم اللمفي الحاد قبل تلقي العلاج

Parameters	Subjects (n)		p - value
	Patients 30	Controls 30	
	Mean \pm S.D. Min-Max Range	Mean \pm S.D. Min-Max Range	
<i>ANP Concentration (pg/ml)</i>	55.773 \pm 7.392 42.500 - 66.000 23.500	9.520 \pm 0.572 8.400 - 10.500 2.100	0.000
<i>Urea Concentration (mM)</i>	29.100 \pm 5.536 18.000 - 41.000 23.000	13.367 \pm 3.681 4.000 - 18.000 14.000	0.000
<i>Creatinin Concentration (mM)</i>	0.737 \pm 0.230 0.300-1.300 3.700	0.957 \pm 0.267 0.600-1.400 0.800	0.001
<i>Uric Acid Concentration (mg/dl)</i>	3.750 \pm 0.774 1.500 - 5.200 1.000	3.527 \pm 0.448 3.000 - 4.200 1.200	0.177
<i>Microalbumin Concentration (mg/dl)</i>	37.767 \pm 3.170 31.000 - 41.900 10.900	17.697 \pm 3.550 9.50 - 22.000 12.500	0.000

بهدف متابعة التأثير المحتمل للاختلاف في الجنس لدى أفراد مجموعة الدراسة في مستويات المعايير المقيمة لمتابعة وظائف الكلية خلال مرحلة الإصابة والعلاج، تمت المقارنة الضمنية للجنسين في المجموعة الواحدة وما بين المجموعتين لنفس الجنس.

أثبت اختبار تحليل المتغيرات ANOVA وجود ارتفاعاً (p = 0.000) في مستوى هرمون ANP عند الذكور المصابين بابيضاض الدم اللمفي الحاد مقارنة بإناث نفس المجموعة، حيث سجلت لدى ذكور هذه المجموعة أعلى معدل لهذا الهرمون وكذلك أعلى قيمة تركيز مسجلة في الدراسة الحالية وكما مبين في الجدول 36، في حين لم تسجل أية فروقات إحصائية بين الجنسين

لدى أفراد مجموعة السيطرة . أثبتت الدراسة وجود ارتفاعاً كبيراً وذو معنوية إحصائية (p = 0.000) في مستويات هرمون ANP لدى كل من ذكور وإناث المجموعة المصابة مقارنة بنظرائهم في مجموعة السيطرة .

على الرغم من أن أعلى معدلات Urea كانت قد سجلت لدى الأطفال الإناث المصابات بسرطان الدم اللمفي الحاد، في حين سجلت أعلى قيمة لهذا المعيار لدى ذكر مصاب بالمرض ، إلا ان نتائج العمل الحالي لم تسجل وجود فروقات مقبولة إحصائياً في مستويات Urea عند مقارنة إناث وذكور أفراد كل مجموعة من مجموعتي الدراسة معاً. وجدت الدراسة اختلافاً كبيراً في مستوى هذا المعيار لدى كل من ذكور و إناث المجموعة المصابة بسرطان الدم اللمفي الحاد مقارنة بنظرائهم في مجموعة السيطرة (الجدول 3-36).

جاءت نتائج مقارنة فحوصات Creatinin للجنسين في المجموعة الواحدة مشابهاً لما تم ملاحظته في نتائج فحوصات Urea على الرغم من النقصان المسجل في مستويات هذا المعيار لدى المصابين مقارنة بالاصحاء وكما يظهر في الجدول 3-36. أظهرت الدراسة وجود فروقاً إحصائية (p = 0.007) عند مقارنة الذكور المصابين مع الأصحاء، في حين أخفقت الدراسة في إيجاد اختلافاتٍ معنوية عند إجراء المقارنة الإناث في مجموعتي الدراسة.

أظهرت الدراسة ارتفاعاً في مستوى Acid Uric (من حيث معدل Acid Uric وأعلى قيمة منفردة مسجلة للمعيار) عند إناث المجموعة المصابة مقارنة بذكور تلك المجموعة (سجلت أوطاً مستويات Acid Uric لدى الذكور المصابين بابيضااض الدم اللمفي الحاد من بين جميع الأفراد المشاركون في العمل الحالي) في حين لم تسجل مثل هذه النتيجة عند المقارنة بين الإناث والذكور الأصحاء، من جاب آخر فقد كان للتقارب بين معدلات Acid Uric لدى الذكور في المجموعتين أثراً في غياب الفرق المعنوي عند مقارنة المجموعتين، في حين رصدت الدراسة وجود فروقاً معنوية (p = 0.001) عند إجراء المقارنة بين إناث مجموعتي الدراسة (الجدول 3-36).

الجدول 3-36: مستويات بعض معايير تقييم وظائف الكلية لدى الأفراد الأصحاء من الذكور و الإناث و المرضى بابيضاض الدم اللمفي الحاد عند التشخيص

Parameters	Subjects (n)				p - value	
	Patients 30		Controls 30			
	Males 19 Mean ± S.D. Min-Max Range	Females 11 Mean ± S.D. Min-Max Range	Males 18 Mean ± S.D. Min-Max Range	Females 12 Mean ± S.D. Min-Max Range		
ANP Concentration (pg/ml)	59.950 ± 3.374 54.000 - 66.000 12.000	47.42 ± 5.98 2.900 - 42.500 20.400	9.870 ± 0.230 9.500 - 0.500 1.000	8.820 ± 0.391 8.400 - 9.500 1.100	0.000 For 1vs2 0.386 For 3vs4 0.000 For 1vs3 0.000 For 2vs4	
Urea Concentration (mM)	28.100 ± 5.955 18.000 - 41.000 23.000	31.100 ± 4.149 25.000 - 38.000 13.000	12.500 ± 3.940 4.000 - 18.000 14.000	15.100 ± 2.424 11.000 - 18.000 7.000	0.097 For 1vs2 0.149 For 3vs4 0.000 For 1vs3 0.000 For 2vs4	
Creatinin Concentration (mM)	0.7200 ± 0.248 0.300 - 1.300 1.000	0.770 ± 0.195 0.500 - 1.200 0.700	0.945 ± 0.254 0.600 - 1.400 0.800	0.980 ± 0.305 0.600 - 1.400 0.800	0.612 For 1vs2 0.722 For 3vs4 0.007 For 1vs3 0.068 For 2vs4	
Uric Acid Concentration (mg/dl)	3.4900 ± 0.711 1.500 - 4.600 3.100	4.270 ± 0.643 3.400 - 5.200 1.800	3.595 ± 0.457 3.000 - 4.200 1.200	3.390 ± 0.418 3.000 - 4.000 1.000	0.001 For 1vs2 0.366 For 3vs4 0.569 For 1vs3 0.001 For 2vs4	
Microalbumin Concentration (mg/dl)	39.775 ± 1.260 38.000 - 41.900 3.900	33.750 ± 1.465 31.000 - 36.000 5.000	19.040 ± 2.732 11.500 - 22.000 10.500	15.010 ± 3.591 9.500 - 18.600 9.1000	0.000 For 1vs2 0.000 For 3vs4 0.000 For 1vs3 0.000 For 2vs4	

1: Male Patients, 2:Female Patients, 3: Healthy Males, and 4:Healthy Females. The Mean Difference is Significant at 0.05 Level



بصورة عامة لوحظ إن أوطأ مستويات Microalbumin البولي كانت قد سجلت في عينات الإناث بصرف النظر عن كونها مصابة أو سلية. بيت الدراسة وجود اختلافات معنوية كبيرة بين الذكور والإثاث في كل مجموعة من مجموعتي الدراسة على حدا، كذلك لوحظت الفروق ذاتها عند مقارنة الذكور المصابين مع أقرانهم الأصحاء وبنفس المنوال سجلت فروقاً مماثلة عند مقارنة مستويات Microalbumin في العينات البولية للإناث المصابات بسرطان الدم المفهـي الحاد مع نظيرـاتـهم السليمـاتـ (الجدول 36-3).

3-8-2: دراسة العلاقة الارتباطية لمعايير تقييم وظائف الكلية في مجموعتي الدراسة

بهـدـفـ تـقيـيـمـ العـلـاقـاتـ الـاـرـتـبـاطـيـةـ بـيـنـ الـمـعـاـيـرـ الـمـنـتـقـاهـ فـيـ الـعـلـمـ الـحـالـيـ لـمـتـابـعـةـ وـظـائـفـ الـكـلـيـهـ وـماـ يـطـرـأـ عـلـيـهـ مـنـ تـأـثـيرـ نـاجـمـ عـنـ إـلـاصـابـةـ السـرـطـانـيـهـ،ـ تمـ اـعـتـمـادـ Person's Correlationـ لإـيجـادـ مـدىـ تـزـامـنـيـهـ التـغـيـيرـ فـيـ مـسـتـوـيـاتـ الـمـعـاـيـرـ الـمـخـبـرـةـ مـعـ.

يشير الجدول 37 إلى غياب المعنوية عن العلاقات الارتباطية المختبرة في أربع من المعايير المقـيـمةـ لـمـتـابـعـةـ وـظـائـفـ الـكـلـيـهـ لـدـىـ الـأـفـرـادـ فـيـ مـجـمـوعـةـ السـيـطـرـةـ،ـ فـيـ حـيـنـ سـجـلـتـ الـدـرـاسـةـ وـجـودـ عـلـاقـةـ اـرـتـبـاطـيـةـ مـوـجـبـةـ لـمـسـتـوـيـاتـ هـرـمـونـ ANPـ الـمـصـلـيـ مـعـ Microalbuminـ الـمـقـاسـ فـيـ إـدـرـارـ عـيـنـاتـ الـأـطـفـالـ السـلـيـمـينـ.

الجدول 37: العلاقات الارتباطية لمعايير تقييم وظائف الكلية في أمصال مجموعـةـ السـيـطـرـةـ

	Parameters	ANP	Urea	Creatinin	Uric Acid	Microalbumin
R	<i>ANP</i>	<i>1</i>	-0.340 0.066	-0.010 0.959	0.252 0.180	0.560 0.001
	<i>Urea</i>	-0.340 0.066	<i>1</i>	-.0008 0.967	-0.058 0.759	-0.186 0.326
	<i>Creatinin</i>	-0.010 0.959	-0.0008 0.967	<i>1</i>	0.229 0.224	0.227 0.228
	<i>Uric Acid</i>	0.252 0.180	-0.058 0.759	0.229 0.224	<i>1</i>	0.303 0.103
	<i>Microalbumin</i>	0.560 0.001	-0.186 0.326	0.227 0.228	0.303 0.103	<i>1</i>

أما في مجموعة الأفراد المصابين بابيضاض الدم اللمفي الحاد (قبل تقييم العلاج) فقد سجلت الدراسة وجود علاقات ارتباطية معنوية معنوية 66%، حيث لوحظت علاقة ارتباطية سالبة لدى 66% من أفراد المجموعة المصابة وبمستوى معنوية $p = 0.031$ عند مقارنة مستويات هرمون ANP مع الهرمون مع مستويات Microalbumin في ما يقارب 86% من عينات المجموعة المصابة وبمستوى معنوية $p = 0.000$. من جانب آخر، سجلت الدراسة وجود علاقة ارتباطية سالبة لمستويات Uric Acid مع مستويات Microalbumin ($r = -0.607$ at $p = 0.026$)، في حين فشلت كل من Urea و Creatinin في إظهار علاقة ارتباطية مع بعضهما أو مع باقي المعايير المقدمة، وكما مبين في الجدول 3-38.

الجدول 3-38: العلاقات الارتباطية لمعايير تقييم وظائف الكلية في أمصال المجموعة المصابة عند التشخيص

	Parameters	ANP	Urea	Creatinin	Uric Acid	Microalbumin
	ANP	1 0.235	-0.224 0.235	0.051 0.790	-0.660 0.031	0.864 0.000
	Urea	-0.224 0.235	1 0.119 0.531	0.119 0.531	0.304 0.103	-0.221 0.240
	Creatinin	0.051 0.790	0.119 0.531	1 0.523	-0.121 0.523	-0.182 0.337
	Uric Acid	-0.660 0.031	0.304 0.103	-0.121 0.523	1 0.607 0.026	-0.607 0.026
	Microalbumin	0.864 0.000	-0.221 0.240	-0.182 0.337	-0.607 0.026	1

3-8-3: تقييم وظائف الكلية لمجموعة الأفراد الأصحاء ومرضى ابipyاض الدم اللمفي الحاد بعد تلقي العلاج الكيميائي

تشير نتائج الدراسة الحالية إلى حدوث خلاً في كفاءة الكلية مما يؤدي إلى تلؤها للقيام بوظائفها نتيجة للإصابة السرطانية، و لأجل متابعة تراجع الأذى الخلوي المفترض حصوله نتيجة تلقي العلاج الكيميائي تم مراقبة معايير تقييم الكفاءة الكلوية لدى أفراد المجموعة المصابة.



يظهر الجدول 3-39 وجود فروقاً إحصائية امترأة بالمعنى (p = 0.000) عند مقارنة المعايير المنتقاة لتقدير وظائف الكلية عند المرضى ببابيضاض الدم اللمفي الحاد بعد تلقيهم العلاج الكيميائي مع أقرانهم الأصحاء، حيث لوحظ ارتفاعاً كبيراً للمعايير الخمس المقيدة في عينات المرضى مقارنة بمستوياتها لدى الأصحاء.

الجدول 3-39: مستويات بعض المعايير المستخدمة في تقييم وظائف الكلية لدى أفراد مجموعة السيطرة و المصابين ببابيضاض الدم اللمفي الحاد بعد تلقي العلاج

Parameters	Subjects (n)		p - value
	Patients 30	Controls 30	
	Mean \pm S.D. Min-Max Range	Mean \pm S.D. Min-Max Range	
<i>ANP Concentration (pg/ml)</i>	50.413 \pm 3.876 41.200 - 54.600 13.400	9.520 \pm 0.572 8.400 - 10.500 2.100	0.000
<i>Urea Concentration (mM)</i>	46.867 \pm 3.277 39.000 - 54.000 15.000	13.367 \pm 3.681 4.000 - 18.000 14.000	0.000
<i>Creatinin Concentration (mM)</i>	1.730 \pm 0.218 1.300 - 2.300 1.000	0.957 \pm 0.267 0.600-1.400 0.800	0.000
<i>Uric Acid Concentration (mg/dl)</i>	4.907 \pm 0.840 3.600 - 6.600 3.000	3.527 \pm 0.448 3.000 - 4.200 1.200	0.000
<i>Microalbumin Concentration (mg/dl)</i>	65.807 \pm 5.434 58.400 - 73.500 15.100	17.697 \pm 3.550 9.50 - 22.000 12.500	0.000

يبين الجدول 3-40 وجود فروقاً معنوية (p = 0.000) بين الإناث والذكور المصابين بعد تلقيهم العلاج الكيميائي عند مقارنة مستويات هرمون ANP في أمصال المجموعةتين لصالح مجموعة



الذكور، في حين لم تسجل الدراسة مثل هذه الفروق بين الجنسين في مجموعة السيطرة. كانت الاختلافات معنوية ($p = 0.000$) عند مقارنة المصابين مع أقرانهم الأصحاء من ذات الجنس.

لم تسجل الدراسة وجود اختلافات بين الإناث والذكور المصابين بعد تلقي العلاج عند تقييم مستويات Urea لديهم، حيث بقيت مستوياتها متقاربة في الجنسين، في حين سجلت الدراسة ارتفاعات كبيرة لمستويات Urea عند الذكور والإناث المرضى مقارنة بنظرائهم من الأصحاء.

Creatinin بعد تلقي العلاج الكيميائي، بينت نتائج الدراسة حدوث تغييرات كبيرة في مستويات لدى مجموعة المرضى من الجنسين مقارنة بأقرانهم من كلا الجنسين في مجموعة السيطرة، في حين بقيت الفروقات بين الجنسين في المجموعة الواحدة (مجموعة المرضى أو مجموعة الأصحاء على حد سواء) تخلو من المعنوية (الجدول 3-40).

على الرغم من الارتفاع في مستويات Uric Acid بعد تلقي العلاج الكيميائي بمقدار كبير لدى مجموعة المرضى بابيضاض الدم اللمفي الحاد مقارنة بالأفراد الأصحاء في مجموعة السيطرة إلا إن مستوياته بقيت مرتفعة (5.390 mg/dl) بمقدار ملحوظ لدى الإناث المصابات مقارنة بالذكور في نفس المجموعة.

ظهرت مستويات Microalbumin مرتفعة لدى ذكور كلا المجموعتين مقارنة بإناثها، وكما يظهر في الجدول 3-40، من جانب آخر سجلت الدراسة فروقاً إحصائية كبيرة عند مقارنة الذكور المصابين بعد تلقي العلاج مع الأصحاء، وبنفس المنوال سجلت الدراسة فروقاً معنوية عالية ($p = 0.000$) عند مقارنة الإناث المصابات بأقرانهن السليمات في مجموعة السيطرة.

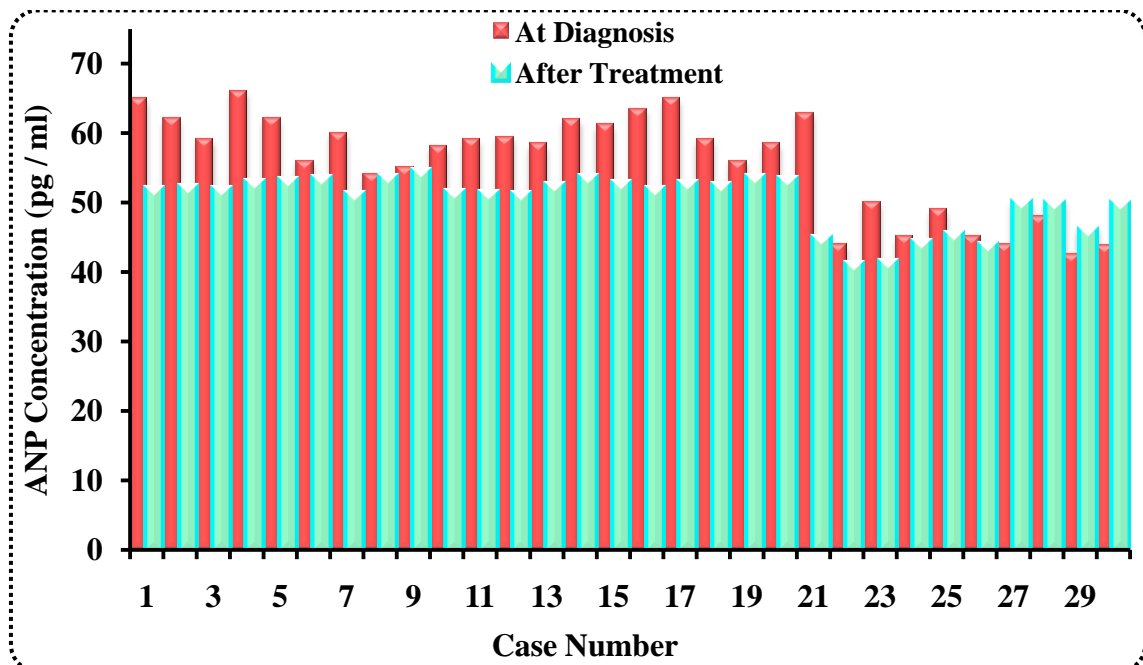
الجدول 3-40: مستويات بعض معايير تقييم وظائف الكلية لدى الأفراد الأصحاء من الذكور و الإناث و المرضى بابيضاض الدم المنفي الحاد بعد تلقي العلاج الكيميائي

Parameters	Subjects (n)				p - value	
	Patients 30		Controls 30			
	Males 18 Mean ± S.D. Min-Max Range	Females 12 Mean ± S.D. Min-Max Range	Males 19 Mean ± S.D. Min-Max Range	Females 11 Mean ± S.D. Min-Max Range		
ANP Concentration (pg/ml)	52.720 ± 0.963 51.200 - 54.600 3.400	45.800 ± 3.315 41.200 - 50.100 8.900	9.870 ± 0.230 9.500 - 0.500 1.000	8.820 ± 0.391 8.400 - 9.500 1.100	0.000 For 1vs2 0.068 For 3vs4 0.000 For 1vs3 0.000 For 2vs4	
Urea Concentration (mM)	47.150 ± 3.774 39.000 - 54.000 15.000	46.300 ± 2.003 44.000 - 50.000 6.000	12.500 ± 3.940 4.000 - 18.000 14.000	15.100 ± 2.424 11.000 - 18.000 7.000	0.524 For 1vs2 0.055 For 3vs4 0.000 For 1vs3 0.000 For 2vs4	
Creatinin Concentration (mM)	1.730 ± 0.166 1.500 - 2.100 0.600	1.730 ± 0.309 1.300 - 2.300 1.000	0.945 ± 0.254 0.600 - 1.400 0.800	0.980 ± 0.305 0.600 - 1.400 0.800	0.996 For 1vs2 0.717 For 3vs4 0.000 For 1vs3 0.000 For 2vs4	
Uric Acid Concentration (mg/dl)	4.665 ± 0.764 3.600 - 6.600 3.000	5.390 ± 0.809 4.000 - 6.600 2.600	3.595 ± 0.457 3.000 - 4.200 1.200	3.390 ± 0.418 3.000 - 4.000 1.000	0.005 For 1vs2 0.407 For 3vs4 0.000 For 1vs3 0.000 For 2vs4	
Microalbumin Concentration (mg/dl)	68.785 ± 4.064 61.000 - 73.500 12.500	59.850 ± 1.059 58.400 - 61.200 2.800	19.040 ± 2.732 11.500 - 22.000 10.500	15.010 ± 3.591 9.500 - 18.600 9.1000	0.000 For 1vs2 0.000 For 3vs4 0.000 For 1vs3 0.000 For 2vs4	

1: Male Patients, 2:Female Patients, 3: Healthy Males, and 4:Healthy Females. The Mean Difference is Significant at 0.05 Level

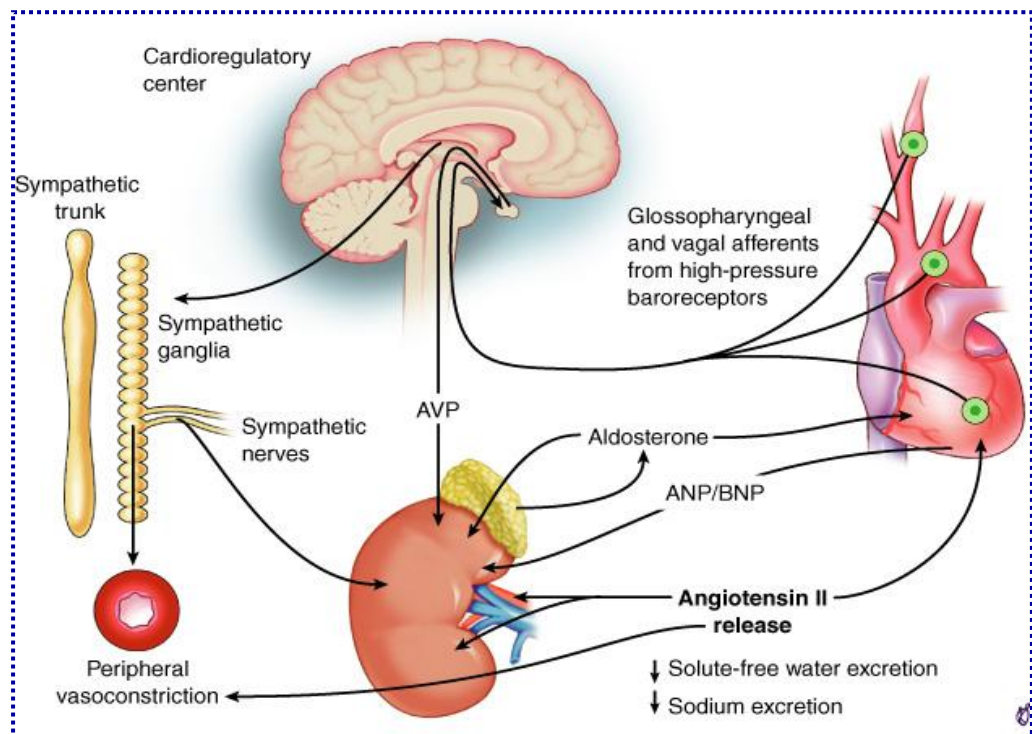


يشير الشكل 3-13 إلى انخفاض معتدل نسبياً في مستويات هرمون الببتيد الأذيني المدر للصوديوم لدى 27 حالة من المرضى المشاركون في الدراسة الحالية، في حين بقيت مستويات هذا الهرمون دون تغيير لدى 3 من المصابين، في حين سجلت الدراسة وجود ارتفاع ($p \leq 0.005$) في مستويات كل من و Urea و Creatinin و Microalbumin لدى جميع الأفراد المصابين بسرطان الدم اللمفي الحاد عقب تلقيهم العلاج الكيميائي وكما مبين في الأشكال 3-15 و 3-16 و 3-17 و 3-18؛ على التوالي.



الشكل 3-13: مستويات هرمون ANP في أمصال مرضى ابيضاض الدم اللمفي الحاد عند تشخيص إصابتهم بالمرض وبعد تلقيهم العلاج الكيميائي

هناك عدة أدلة على قيام هرمون ANP في السيطرة على ضغط الدم بعدة طرق منها أن يعمل هرمون ANP بالحث المباشر على استرخاء الأوعية بواسطة القنوات الأيونية في خلايا العضلات الملساء للأوعية الدموية وبالتالي يحدث فرط استقطاب غشاء الخلية (Dora, *et al.*, 2001). يحدث تأثير الهرمون عند ارتباط هرمون ANP بمستقبلاته في غشاء الخلية، معظم هذه المستقبلات موجودة في الكلية وارتباط ANP إلى مستقبلاته يمكن أن تنتج عنه عدة استجابات منها انخفاض ضغط الدم وزيادة معدل ترشيح الكبيبة، وبالتالي ذلك سيفقود إلى إدرار المزيد من البول Diuresis وطرح الصوديوم (Birkenfeld, *et al.*, 2005; Sarzani, *et al.*, 2008).

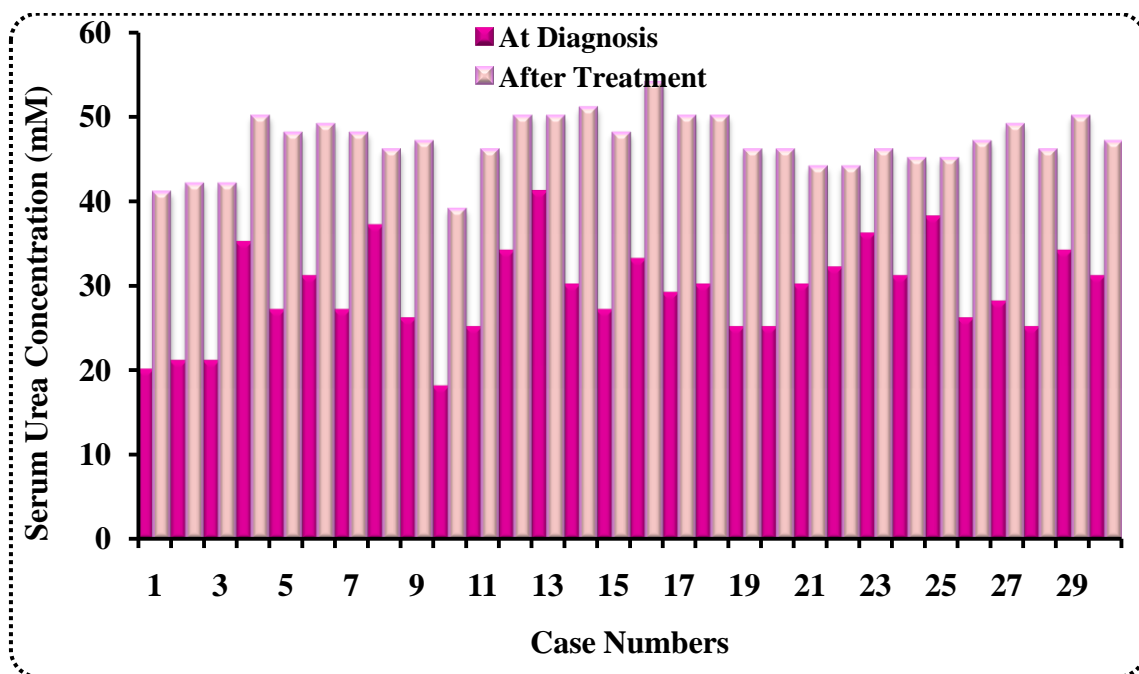


الشكل 14-3: الأعضاء الحيوية التي يتدخل هرمون ANP في تنظيم وظائفها بشكل مباشر أو غير مباشر

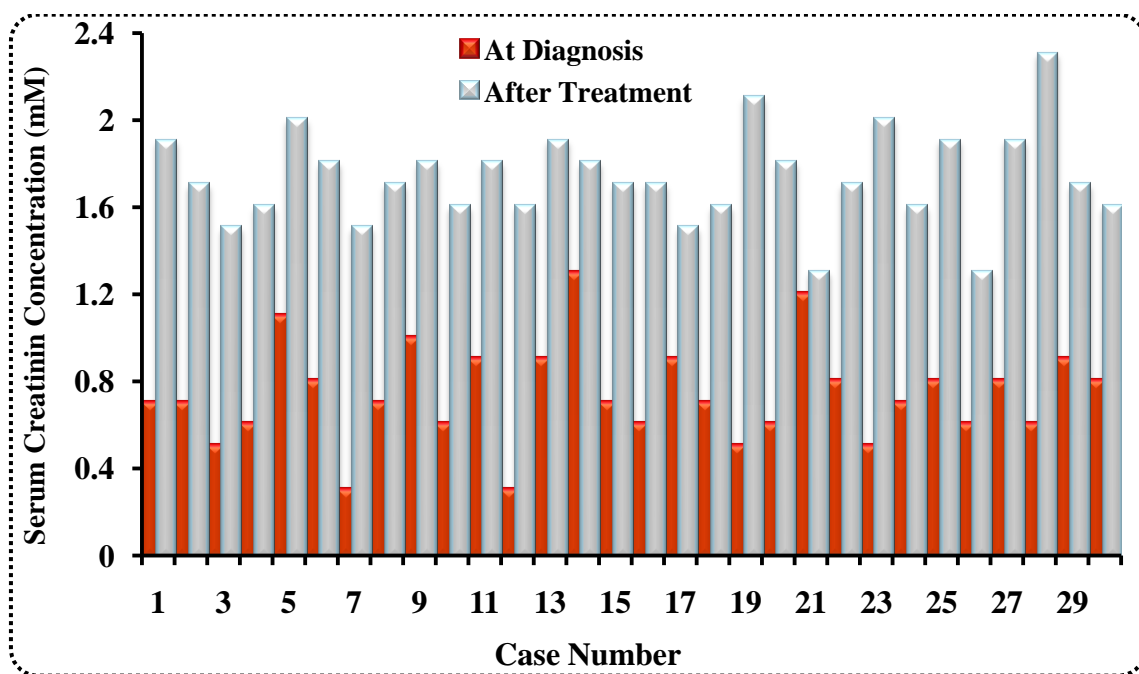
بيفت عدد من الدراسات أن ارتفاع مستوى هرمون ANP يستخدم كأحد الدوالي المهمة للعديد من الأمراض منها الأمراض التي لها علاقة بالقلب وتحديداً الاحتساء القلبي الحاد والأمراض السرطانية (Andrade, et al., 2011; Benedini, et al., 2012; Wang, et al., 2013)، في حين أظهرت دراسات سابقة أن ارتفاع مستويات الـ ANP لدى مرضى السرطان بشكل كبير مقارنة بالأفراد الأصحاء وربما يعود السبب إلى تداخله مع عمل الألبومين (Milman and Pedersen, 2007).

تفق نتائج الدراسة الحالية مع دراسة Keiichi التي أشارت إلى ارتفاع مستويات الـ ANP في عينات أمصال مرضى لعدد من السرطانات (Keiichi, et al., 2007)، كذلك كانت النتائج متناسبة مع دراسة Hayakawa والتي بينت ارتفاع مستويات الـ ANP لدى الأطفال الذين يعانون من ابيضاض الدم اللمفي الحاد والذين خضعوا للعلاج الكيميائي بعقار الدوكسوروبين (Hayakawa, et al., 2006) في حين أشارت دراسات حديثة إلى الأدوار الحيوية التي يظهرها هرمون ANP في كبح حدوث التحولات السرطانية من ناحية وتنبيط عملية انبثاث الخلايا السرطانية إلى أنسجة جديدة لذلك

(Serafino and Pierimarchi, 2014; Takashi, *et al.*, 2015; Nojiri, *et al.*, 2015).



الشكل 3-15: مستويات Urea في أمصال مرضى أبيضاض الدم اللمفي الحاد عند تشخيص إصابتهم بالمرض وبعد تلقيهم العلاج الكيميائي



الشكل 3-16: مستويات Creatinin في أمصال مرضى أبيضاض الدم اللمفي الحاد عند تشخيص إصابتهم بالمرض وبعد تلقيهم العلاج الكيميائي



تعد **Urea** احدى المركبات النتروجينية التي تنتج بشكل رئيسي من عمليات التمثيل الغذائي للبروتينات في الكبد حيث تنتقل في الدم إلى الكلى و تطرح مع البول (Mani, 2003). رغم أن مستوى **Urea** في الدم يعتبر مؤشراً غير حساس لتقدير الوظيفة الكلوية إلا أن سهولة قياسه جعلته من الاختبارات الشائعة، وترجع عدم حساسية هذا الاختبار إلى كون **Urea** تترشح بصورة حرة خلال النبضات الكلوية. 50% من اليوريا المترشحة يعاد امتصاصها لهذا يتم استخدام فحص **Creatinin** للقحري عن الوظيفية الكلوية حيث يتراوح كليا دون إن يعاد امتصاصه من قبل النبضات الكلوية (Loughridge and Lewis, 2008).

ترتفع مستويات **Urea** في الدم تزامناً مع عدد من الاعتلalات منها الالتهاب الكلوي الحاد والمزمن والتهاب الكبيبة الكلوية والفشل الكلوي و تصلب الكلية والانسداد البولي والاصابات السرطانية.

سجلت الدراسة الحالية ارتفاعات كبيرة لـ **Urea** في عينات المصابين بسرطان الدم اللمفوي الحاد عند التشخيص وبعد تلقى العلاج الكيميائي، ويمكن ان يفسر هذا الارتفاع كناتج لزيادة عمليات الهدم الخلوي من ناحية وتعزيز للمسارات الايضية الهدمية للبروتينات في الخلايا السليمية بهدف امداد الخلايا السرطانية بالمواد الاولية لمواكبة النشاط البنائي المفرط وغير المسطير عليه، اما العلاج الكيميائي فله اثر كبير في تعزيز مستويات **Urea** المنتجة بسبب حالات الجفاف وذلك لفقد كمية كبيرة من السوائل مثل القيء المستمر والإسهال الشديد الناتج من الأعراض الجانبية للعلاج الكيميائي. جاءت نتائج الدراسة متفقة مع عدد كبير من الدراسات (Whitby, et al., 1987; Dixon and Brunskill, 1999; Braunwald, et al., 2005; Ghafil, et al., 2012).

يعتبر **Creatinin** من المركبات النتروجينية غير البروتينية ينتج من فقدان جزئية ماء من **Creatine**، اما في الانسجة العضلية الهيكلية فينتج من **Creatine Phosphate** ويستخلص من الدم بوساطة الكلى، إذا يتراوح في النبضات الكلوية ويطرح عن طريق الإدرار للخارج من دون إعادة امتصاص من قبل النبضات الكلوية الصغيرة (Miyauchi and Hruska, 1990)، يكون تركيزه ثابتاً تقررياً في الدم لدى الأشخاص الأصحاء و حتى عند وجود خلل طفيف في عمل الكلية، إذ لا ترتفع مستوياته في عامة الامراض الكلوية إلا في حالة وجود تلف كبير في الكلية يمنعها من الترشيح وطرح الفضلات.

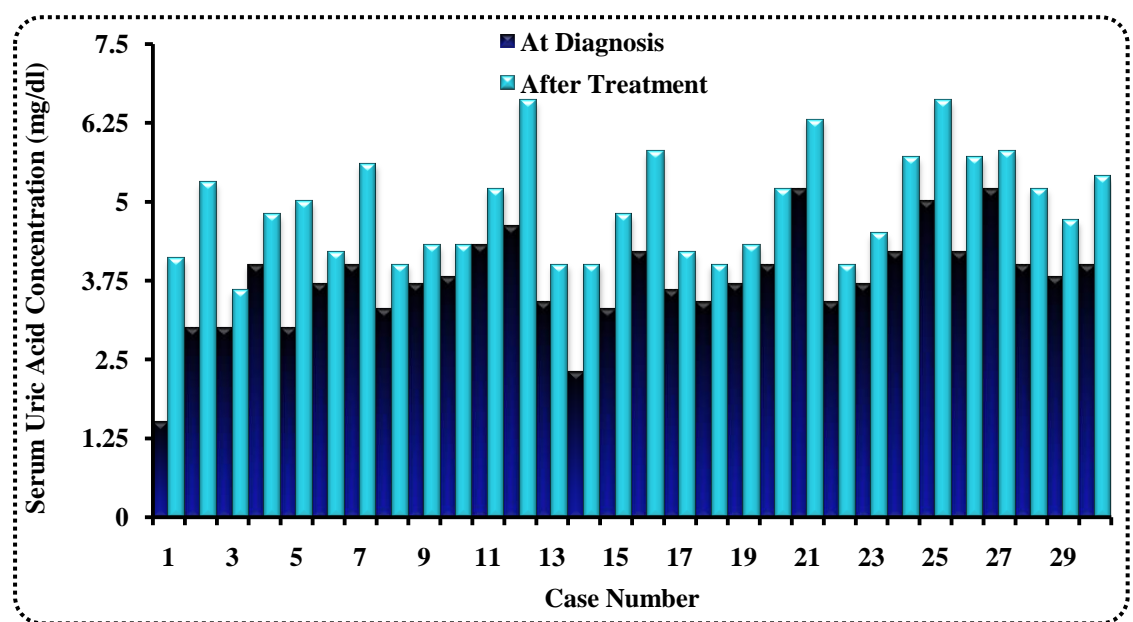
بشكل عام وجد ان مستويات Creatinin لدى الذكور أعلى منها في الإناث، من جانب آخر وجد إن مستويات هذا المركب لدى النباتين تعد واطئة مقارنة بمن تكون وجباتهم الغذائية حاوية على اللحوم. يزداد مستوى Creatinin في الدم في حالات ضرر النسيج الكلوي او حالات الفشل الكلوي الحاد او المزمن او انسداد المجاري البولية (Roger, et al., 1997) ونتيجة لثبات مستوى في الدم إلى حد كبير لذا يستعمل ل المؤشر لوظيفية الكبيبة (Stevens and Levy, 2005).

اشارت الدراسة الحالية الى وجود انخفاض كبير في مستويات Creatinin لدى افراد المجموعة المصابة وبالاخص الذكور منهم، وقد يعزى النقصان هذا الى:

- (1) نقصان البروتين المتناول تغذوياً بسبب سوء التغذية وفقدان الشهية المترافق مع الاصابة بالسرطان
- (2) ضمور العضلات الناجم عن تقدم الاصابة السرطانية وقلة الحركة والوهن الجسمي
- (3) اضطراب عمل الكليه الناجم عن نقصان حجم الدم المترافق مع حدوث السرطان مما يؤدي الى انخفاض في كفاءة الترشيح عبر الكبيبة.

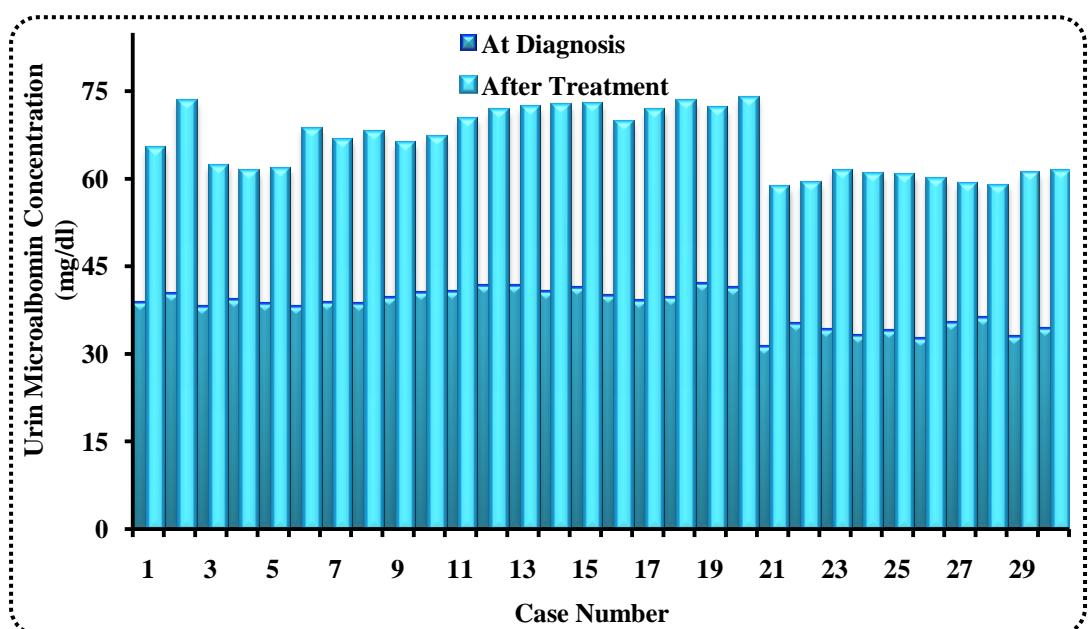
في حين سجلت الدراسة ارتفاعاً في مستويات Creatinin عقب العلاج الكيميائي وقد يعود ذلك الارتفاع الى:

- (1) الضرر الذي يلحق بالأنسجة بعد معاملتها بالعلاج الكيميائي مسبباً لها انحلال لعدد كبير من الخلايا
- (2) كذلك قد يعود الارتفاع في مستوى Creatinin عقب التعاطي مع العلاج الكيميائي الى الفشل الكلوي المحتمل الحدوث في عدد كبير من المصابين بالأمراض السرطانية
- (3) وأخيراً قد يكون ذلك الارتفاع ناجم عن الجفاف والذي يمثل احد التعقيبات المهمة المترافقه مع تطبيق العلاج الكيميائي ويكون ذلك التأثير في أشدته عند الأطفال.



الشكل 17-3: مستويات Uric Acid في أمصال مرضى ابيضاض الدم اللمفي الحاد عند تشخيص إصابتهم بالمرض وبعد تلقيهم العلاج الكيميائي

لم تسجل الدراسة فروقاً معنوية لمستويات Uric Acid عند مقارنة المرضى بالأصحاء، في حين كانت الفروقات واضحة للغاية بين الجنسين في عينة مرضى الدراسة من ناحية ومن ناحية أخرى بين الإناث المصابات والسليمات، ومن الممكن أن يعود ارتفاع مستوى Uric Acid إلى الخل في التمثيل الأيضي لمركيبات Purines الناجم عن الإصابة السرطانية (Johnstone, 2005; Olayinka and Olukowade, 2010) جاءت الدراسة متوافقة مع دراسة Chaudhary (Chaudhary, *et al.*, 2013).



الشكل 3-18: مستويات Microalbumin في عينات الإدرار لمرضى ابيضاض الدم اللمفوي الحاد عند تشخيص إصابتهم بالمرض وبعد تلقيهم العلاج الكيميائي

تبادر سمية العقاقير المستعملة في العلاج الكيميائي للسرطان تبعاً لعدة عوامل منها: سمية العقار وجرعته وجدول إعطائه وطريقة وقابلية المريض للتأثر به و الجنس المريض، اذ وجد أن الإناث يمكن أن تتأثر عند جرعة منخفضة من العقار مقارنة بالرجال (Eli and Company, 2003)، من جانب آخر أكدت دراسة Engstrom إن الاختلافات التركيبية و الفسلجية بين الجنسين أدت دوراً مهماً باختلاف مستويات الإنزيمات إضافة إلى عوامل أخرى منها مستوى تخلص الجسم من العقار الكيميائي وهذا بدوره يعتمد على عاملين جنس الشخص و عمره (Engstrom, et al., 1998).

3-8-4: دراسة العلاقة الارتباطية بين معايير تقييم وظائف الكلية لدى مجموعة المصابين ب أبيضاض الدم اللمفوي الحاد بعد تلقي العلاج الكيميائي

بعد تلقي العلاج الكيميائي ودراسة تأثيره في معايير تقييم وظائف الكلية، تمت دراسة العلاقات بين تلك المعايير وقد بيّنت الدراسة وجود علاقات ارتباطية معترف بها إحصائياً ($p < 0.05$) عند اختبار المعايير الخمس المقيدة مع بعضها البعض. أشارت الدراسة الى وجود علاقة معنوية سالبة لمستويات هرمون ANP مع مستويات Uric Acid ($r = -0.631$ $p = 0.044$) في حين امتاز الارتفاع في مستوى هذا الهرمون بالانسجام والتوافقية مع الارتفاع في مستوى



لدى ~90% من العينات المضمنة في العمل الحالي، وبنفس المنوال وجد ان الارتفاع في مستويات Microalbumin جاء متوافقاً في ما يقارب 65% من عينات الدراسة مع الارتفاع في مستويات Uric Acid، في حين لم تسجل باقي المعايير المقاسة أي علاقات ارتباطية مقبولة إحصائياً وكما مبين في الجدول 3-41.

الجدول 3-41: العلاقات الارتباطية لمعايير تقييم وظائف الكلية في أمصال المجموعة المصابة بعد تلقي العلاج الكيميائي

	<i>Parameters</i>	<i>ANP</i>	<i>Urea</i>	<i>Creatinin</i>	<i>Uric Acid</i>	<i>Microalbumin</i>
<i>ANP</i>	<i>1</i>	<i>0.222</i> <i>0.238</i>	<i>0.173</i> <i>0.360</i>	<i>-0.631</i> <i>0.044</i>	<i>0.895</i> <i>0.000</i>	
<i>Urea</i>	<i>0.222</i> <i>0.238</i>	<i>1</i>	<i>0.020</i> <i>0.915</i>	<i>0.114</i> <i>0.548</i>	<i>-0.221</i> <i>0.240</i>	
<i>Creatinin</i>	<i>0.173</i> <i>0.360</i>	<i>0.020</i> <i>0.915</i>	<i>1</i>	<i>-0.168</i> <i>0.374</i>	<i>-0.182</i> <i>0.337</i>	
<i>Uric Acid</i>	<i>-0.631</i> <i>0.044</i>	<i>0.114</i> <i>0.548</i>	<i>-0.168</i> <i>0.374</i>	<i>1</i>	<i>0.549</i> <i>0.012</i>	
<i>Microalbumin</i>	<i>0.853</i> <i>0.000</i>	<i>-0.221</i> <i>0.240</i>	<i>-0.182</i> <i>0.337</i>	<i>0.649</i> <i>0.012</i>		<i>1</i>



9-3: دراسة اثر الإصابة بابيضاض الدم الممفي الحاد و تقييم تأثير العلاج الكيميائي في وظائف الكبد

صممت الدراسة الحالية لتقدير وظائف الكبد الرئيسية الثلاث التصنيعية والوظائف التنظيمية المعتمدة على سلامة الخلايا الكبدية وأخيرا الوظيفية الإستخراجية في أمصال مرضي ابيضاض الدم الممفي الحاد عند التشخيص الأولى بالإصابة بهدف التتحقق عن تأثير الإصابة السرطانية في فعالية الخلايا الكبدية ثم متابعة التحرى عن الأثر الناجم عن تلقي العلاج الكيميائي في وظائف الكبد، ولأجل تحقيق عملية التقييم هذه تم انتقاء مجموعة معايير مرجعية هي : تقدير مستوى البروتينات الكلية في المصل (STP) Serum Total Proteins كأساس لتقدير **الوظيفة التصنيعية** وتقدير مستوى الفعالية الإنزيمية لكل من Aspartate Aminotransferase (AST/GOT) and Alanine Aminotransferase (ALT/GPT) كأساس لتقدير **كفاءة الكبد التنظيمية** ، في حين تم اعتماد مستوى الفعالية الإنزيمية لإنزيم Alkaline Phosphatase (ALP) كمرجع للوظيفة الإستخراجية في الكبد.

9-3-1: تقييم وظائف الكبد لمجموعة الأفراد الأصحاء و مرضى ابيضاض الدم الممفي الحاد قبل تلقي العلاج الكيميائي

خلال فترة التشخيص الأولى بالإصابة وقبل تلقي العلاج الكيميائي تم تقييم مستويات معايير تتبع فاعالية الخلايا الكبدية في القيام بوظائفها الحيوية عبر مقارنتها بالأفراد الأصحاء في مجموعة السيطرة وذلك من خلال تطبيق **Student's t-test**.

يشير الجدول 42 إلى بقاء مستويات كل من إنزيمي GOT و GPT لدى مرضى سرطان الدم ضمن المدى المسجل لدى الأفراد الأصحاء في مجموعة السيطرة، حيث لم تسجل أي اختلافات معنوية عند مقارنة المجموعة المصابة مع أولئك في مجموعة السيطرة مما يؤكّد استمرارية قيام الخلايا الكبدية بوظيفتها التنظيمية دون المساس بكفاءة تلك الوظيفة بتأثير الإصابة السرطانية. من جانب آخر، سجلت الدراسة الحالية وجود ارتفاع في مستويات إنزيم ALP تجاوز ضعف ما تم تسجيله في مجموعة الأطفال الأصحاء، هذه النتيجة تشير إلى حدوث خلل في الوظيفة الإخراجية للخلايا الكبدية مما يؤكّد تراكم منتجات الأيض الحيوي غير المرغوب بها حيويا ضمن أنسجة الجسم لدى المصابين بسرطان الدم.



لم تسجل نتائج العمل الحالي وجود أي فروقات معنوية عند مقارنة مستويات STP في عينات مرضى سرطان الدم اللمفي الحاد بأقرانهم في مجموعة السيطرة وكما مبين في الجدول 39-3، هذه النتيجة تشير إلى استمرارية الخلايا الكبدية بداء وظيفتها الحيوية في إنتاج البروتينات ضمن المعدلات الطبيعية.

الجدول 3-42: مستويات بعض المعايير المستخدمة في تقييم وظائف الكبد لدى المصابين بابيضاض الدم اللمفي الحاد عند التشخيص الأولى بالإصابة و أفراد مجموعة السيطرة

Parameters	Subjects (n)		p - value
	Patients 30	Controls 30	
	Mean \pm S.D. Min-Max Range	Mean \pm S.D. Min-Max Range	
GOT (U / L)	28.233 \pm 5.399 13.000 - 36.000 23.000	26.100 \pm 4.3180 17.000 - 33.000 16.000	0.096
GPT (U / L)	30.200 \pm 6.244 20.000 - 44.000 24.000	29.467 \pm 4.960 19.000 - 40.000 21.000	0.616
ALP (U / L)	150.200 \pm 44.495 53.000 - 231.000 178.000	78.567 \pm 10.398 54.000 - 95.000 41.000	0.000
STP Concentration (g / dl)	6.637 \pm 0.596 5.300 - 8.100 2.800	6.747 \pm 0.556 5.300 - 8.100 2.800	0.463

أشارت الدراسة الحالية إلى غياب الفروقات الإحصائية ($p > 0.05$) لمستويات المعايير المقيدة في متابعة كفاءة الكبد لقيام بوظائفه وذلك عند إجراء المقارنة بين الجنسين ضمن المجموعة الواحدة سواء كانت المقارنة قد تمت في مجموعة الأطفال الأصحاء أو في مجموعة الأطفال المصابين بسرطان الدم، من ناحية أخرى نجد إن المعنوية الإحصائية قد غابت أيضاً عن نتائج التحليل الإحصائي عند المقارنة بين الأصحاء والمصابين من نفس الجنس، عدا ما تم رصده عند تقييم فعالية

إنزيم ALP، حيث رصدت فروقات معنوية كبيرة ($p < 0.05$) عند مقارنة مستويات هذا الإنزيم عند الذكور المصابين مع أقرانهم الأصحاء وبنفس المنوال تم تسجيل ذات الفروق الإحصائية عند مقارنة الإناث المصابات مع أقرانهن السليمات وكما موضح في الجدول 3-43.

الجدول 3-43: مستويات بعض معايير تقييم وظائف الكبد لدى الذكور و الإناث المرضى ببابيضاstr
الدم اللمفي الحاد عند التشخيص الأولي بالإصابة والأفراد الأصحاء

Parameters	Subjects (n)				p - value	
	Patients 30		Controls 30			
	Males 19	Females 11	Males 18	Females 12		
GOT (U / L)	27.450 ± 6.013 $13.000 - 36.000$ 23.000	29.800 ± 3.676 $23.000 - 35.000$ 12.000	25.700 ± 4.932 $17.000 - 33.000$ 16.000	26.900 ± 2.767 $24.000 - 31.000$ 7.000	0.220 For 1vs2 0.529 For 3vs4 0.263 For 1vs3 0.190 For 2vs4	
GPT (U / L)	30.000 ± 5.876 $22.000 - 44.000$ 22.000	30.600 ± 7.245 $20.000 - 41.000$ 21.000	28.700 ± 5.602 $19.000 - 40.000$ 21.000	31.000 ± 3.019 $27.000 - 36.000$ 9.000	0.786 For 1vs2 0.300 For 3vs4 0.472 For 1vs3 0.875 For 2vs4	
ALP (U / L)	143.850 ± 43.611 $53.000 - 231.000$ 178.000	162.900 ± 45.776 $89.000 - 217.000$ 128.000	77.050 ± 11.473 $54.000 - 95.000$ 41.000	81.600 ± 7.427 $69.000 - 91.000$ 22.000	0.132 For 1vs2 0.716 For 3vs4 0.000 For 1vs3 0.000 For 2vs4	
STP Concentration (g / dl)	6.535 ± 0.568 $5.300 - 7.400$ 2.100	6.840 ± 0.628 $5.900 - 8.100$ 2.200	6.760 ± 0.504 $6.000 - 7.600$ 1.600	6.720 ± 0.676 $5.600 - 7.600$ 2.000	0.177 For 1vs2 0.858 For 3vs4 0.222 For 1vs3 0.643 For 2vs4	

1: Male Patients, 2:Female Patients, 3: Healthy Males, and 4:Healthy Females. The Mean Difference is Significant at 0.05 Level



3-9-2: دراسة العلاقة الارتباطية بين معايير تقييم وظائف الكبد في مجموعتي الدراسة

تشير نتائج التحليل الإحصائي باستخدام Person's Correlation Test إلى وجود علاقة ارتباطية لمستويات إنزيمي GPT في كلاً مجموعتي الدراسة ولكن هذه العلاقة كانت أعلى نسبة ومعنىًّا لدى مجموعة المصابين من الأطفال وكما ملاحظ في الجداول 3-44 و 3-45.

غابت العلاقة الارتباطية عن المعايير المقيدة عند دراستها مع بعضها البعض وفي كلتا مجموعتي الدراسة.

الجدول 3-44: العلاقات الارتباطية لمعايير تقييم وظائف الكبد في أمصال مجموعة السيطرة

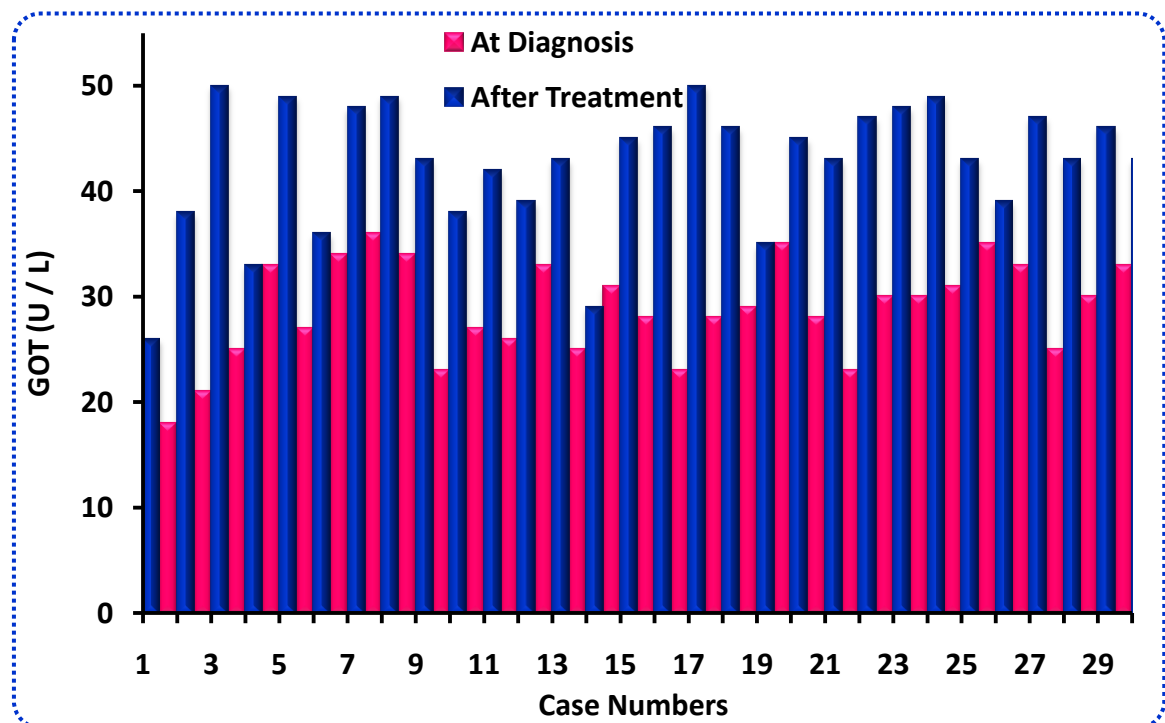
	Parameters	GOT	GPT	ALP	STP
	GOT	1 0.378 0.039	0.378 0.039	0.079 0.679	0.093 0.626
	GPT	0.378 0.039	1 -0.137 0.470	-0.137 0.470	0.261 0.163
	ALP	0.079 0.679	-0.137 0.470	1 0.178 0.347	0.178 0.347
	STP	0.093 0.626	0.261 0.163	0.178 0.347	1

الجدول 3-45: العلاقات الارتباطية لمعايير تقييم وظائف الكبد في أمصال المجموعة المصابة عند التشخيص

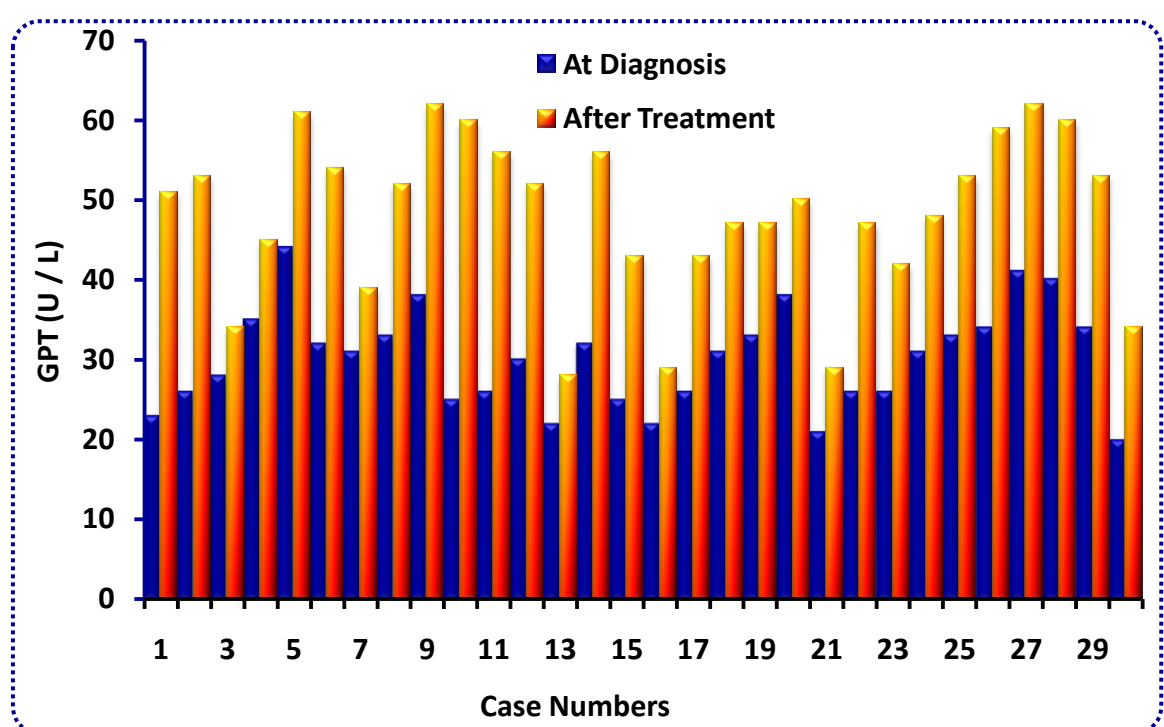
	Parameters	GOT	GPT	ALP	STP
	GOT	1 0.658 0.013	0.658 0.013	0.079 0.679	0.093 0.626
	GPT	0.658 0.013	1 -0.137 0.470	-0.137 0.470	0.261 0.163
	ALP	0.079 0.679	-0.137 0.470	1 0.178 0.347	0.178 0.347
	STP	0.093 0.626	0.261 0.163	0.178 0.347	1

3-9-3: تقييم وظائف الكبد لمجموعة الأفراد الأصحاء ومرضى ابيضاض الدم اللمفوي الحاد بعد تلقي العلاج الكيميائي

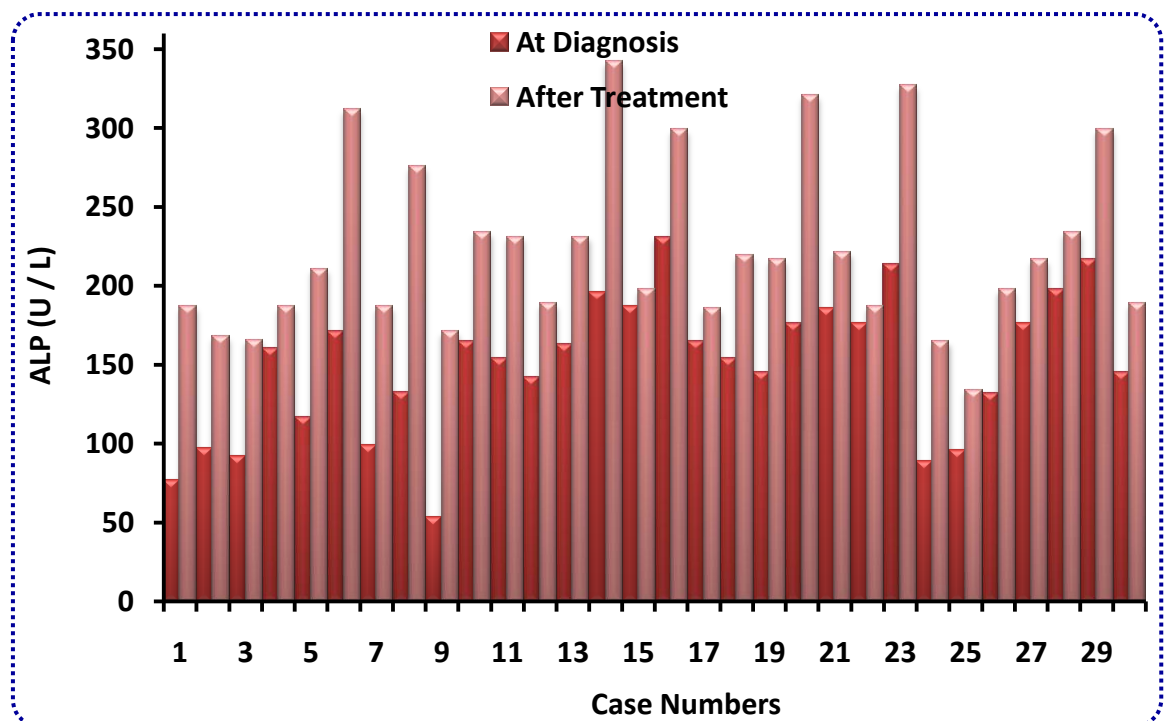
بعد تلقي العلاج الكيميائي، أظهرت نتائج الدراسة ارتفاعاً كبيراً في مستويات الإنزيمات المقيمة في العمل الحالي لدى الأطفال المصابين ب أبيضاض الدم اللمفوي الحاد مقارنة بمستويات هذه الإنزيمات قبل تلقي العلاج الكيميائي وكما مبين في الأشكال 3-19 و 3-20 و 3-21 على التوالي، في حين يظهر الشكل 3-22 انخفاض مستويات البروتينات الكلية في أمصال المرضى بعد تقييم العلاج الكيميائي مقارنة بمستوياتها عند التشخيص الأولي للمرض.



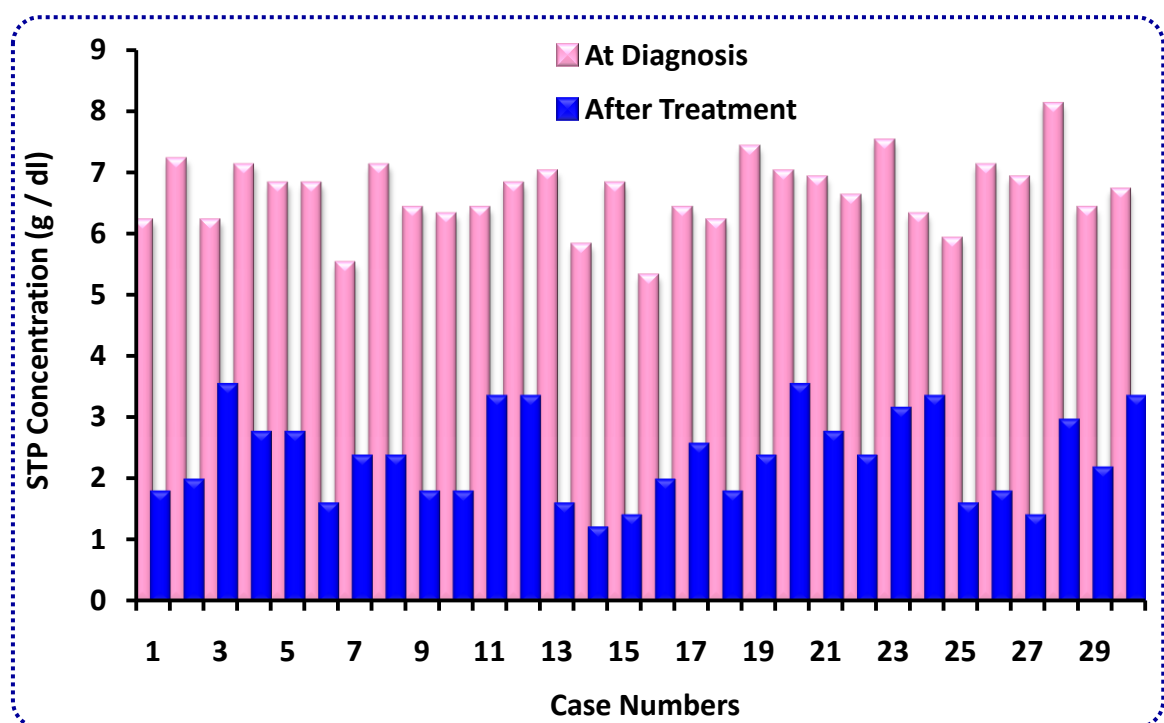
الشكل 3-19: مستويات GOT في عينات أمصال مرضى ابيضاض الدم اللمفوي الحاد عند تشخيص إصابتهم بالمرض وبعد تقييمهم العلاج الكيميائي



الشكل 3-20: مستويات GPT في عينات أمصال مرضى ابيضاض الدم اللمفي الحاد عند تشخيص إصابتهم بالمرض وبعد تلقيهم العلاج الكيميائي



الشكل 3-21: مستويات ALP في عينات أمصال مرضى ابيضاض الدم اللمفي الحاد عند تشخيص إصابتهم بالمرض وبعد تلقيهم العلاج الكيميائي



الشكل 3-22: مستويات STP في عينات أمصال مرضى ابيضاض الدم اللمفي الحاد عند تشخيص إصابتهم بالمرض وبعد تلقيهم العلاج الكيميائي

يشير الجدول 3-46 إلى وجود اختلافات معنوية ($p = 0.000$) للإنزيمات المقيمة عند مقارنة مستوياتها في أمصال مرضى ابيضاض الدم اللمفي الحاد مع الأفراد الأصحاء، حيث سجلت ارتفاعات كبيرة في مستوياتها عند المرضى مقارنة بالأصحاء.

لوحظ انخفاض كبير للغاية في مستويات البروتينات الكلية في المصل لدى أفراد المجموعة المصابة بعد تلقيهم العلاج الكيميائي مقارنة بالأصحاء، حيث يبين الجدول أوطا قيمة مسجلة للبروتين المصل (1.170 g / dl) في المجموعة المصابة، وكما مبين في الجدول 3-46.

الجدول 3-46: مستويات بعض المعايير المستخدمة في تقييم وظائف الكبد لدى المصابين بابيضااض الدم اللمفي الحاد بعد تلقي العلاج الكيميائي و أفراد مجموعة السيطرة

Parameters	Subjects (n)		p - value
	Patients 30	Controls 30	
	Mean \pm S.D. Min-Max Range	Mean \pm S.D. Min-Max Range	
GOT (U / L)	42.600 \pm 6.157 26.000 - 50.000 24.000	26.100 \pm 4.3180 17.000 - 33.000 16.000	0.000
GPT (U / L)	48.300 \pm 10.076 28.000 - 62.000 34.000	29.467 \pm 4.960 19.000 - 40.000 21.000	0.000
ALP (U / L)	223.433 \pm 55.037 134.000 - 342.000 208.000	78.567 \pm 10.398 54.000 - 95.000 41.000	0.000
STP Concentration (g / dl)	2.327 \pm 0.722 1.170 - 3.510 2.340	6.747 \pm 0.556 5.300 - 8.100 2.800	0.000

عند إجراء المقارنة بين الجنسين في مجموعة الدراسة الحالية، لوحظ ان معدلات منتجات الكبد من البروتينات ومن ضمنها الإنزيمات كانت متقاربة لدى الجنسين في المجموعة الواحدة، في حين لوحظ ارتفاع كبير في معدلات إنزيمات الكبد الثلاث المقيدة في مجاميع كل من الذكور والإإناث المصابين مقارنة بمستوياتها لدى مجموعة السيطرة (لاحظ الجدول 3-47)، وبنفس المنوال ولكن بشكل معكوس سجلت الدراسة حدوث انخفاض معنوي كبير للغاية لمستويات البروتينات الكلية في المصل عند أفراد مجموعة الأطفال المصابين بابيضااض الدم اللمفي الحاد من كلا الجنسين مقارنة بأقرانهم في مجموعة السيطرة.

الجدول 3-47: مستويات بعض معايير تقييم وظائف الكبد لدى الذكور و الإناث المرضى ببابيضاstr

الدم اللمفي الحاد بعد تلقي العلاج الكيميائي والأفراد الأصحاء

Parameters	Subjects (n)				p - value	
	Patients 30		Controls 30			
	Males 19	Females 11	Males 18	Females 12		
GOT (U / L)	41.500 ± 7.038 $26.000 - 50.000$ 24.000	44.800 ± 3.084 $39.000 - 49.000$ 10.000	25.700 ± 4.932 $17.000 - 33.000$ 16.000	26.900 ± 2.767 $24.000 - 31.000$ 7.000	0.112 <i>For 1vs2 0.559</i> <i>For 3vs4 0.000</i> <i>For 1vs3 0.000</i> <i>For 2vs4</i>	
GPT (U / L)	48.100 ± 9.846 $28.000 - 61.000$ 34.000	48.700 ± 11.056 $29.000 - 62.000$ 33.000	28.700 ± 5.602 $19.000 - 40.000$ 21.000	31.000 ± 3.019 $27.000 - 36.000$ 9.000	0.848 <i>For 1vs2 0.463</i> <i>For 3vs4 0.000</i> <i>For 1vs3 0.000</i> <i>For 2vs4</i>	
ALP (U / L)	226.600 ± 54.5184 $166.000 - 342.000$ 176.000	217.100 ± 58.468 $134.000 - 327.000$ 193.000	77.050 ± 11.473 $54.000 - 95.000$ 41.000	81.600 ± 7.427 $69.000 - 91.000$ 22.000	0.544 <i>For 1vs2 0.771</i> <i>For 3vs4 0.000</i> <i>For 1vs3 0.000</i> <i>For 2vs4</i>	
STP Concentration (g / dl)	2.262 ± 0.728 $1.170 - 3.510$ 2.340	2.457 ± 0.731 $1.365 - 3.315$ 1.950	6.760 ± 0.504 $6.000 - 7.600$ 1.600	6.720 ± 0.676 $5.600 - 7.600$ 2.000	0.443 <i>For 1vs2 0.875</i> <i>For 3vs4 0.000</i> <i>For 1vs3 0.000</i> <i>For 2vs4</i>	
1: Male Patients, 2:Female Patients, 3: Healthy Males, and 4:Healthy Females. The Mean Difference is Significant at 0.05 Level						

يتبيّن من النتائج المتحصلة من تتبع الكبد للقيام بوظائفه، إن الضرر الناجم عن الإصابة السرطانية يطال الوظيفة الإخراجية تحديداً (ارتفاع مستوى إنزيم ALP) وهذا يتماشى مع النتائج

يتبيّن من النتائج المتحصلة من تتبع الكبد للقيام بوظائفه، إن الضرر الناجم عن الإصابة

السرطانية يطال الوظيفة الإخراجية تحديداً (ارتفاع مستوى إنزيم ALP) وهذا يتماشى مع النتائج



المسجلة فيما يخص متابعة مستويات الضرر الخلوي وارتفاع محصلة ايسبيات التأكسد الخلوي بشكل مفرط وكذلك الانحرافات الملموسة في معايير الدم والحاصلة خلال مرحلة التسرطن وهذا يؤكّد إمكانية افراص ارتفاع كبير لمستويات المركبات ذات السمية والواجب طرحها خارج الجسم أو التعامل معها من قبل الكبد في سوائل الجسم المختلفة، في حين استمر الكبد في اداء وظيفتيه التصنيعية والتحويلية بكفاءة حيث بقيت مستويات البروتينات الكلية للمصل وكذلك مستويات الإنزيمين الناقلين لمجموعة الأمين (GPT و GOT).

بعد تلقي العلاج الكيميائي من قبل الأفراد المصابين، النتائج جاءت مغایرة بشكل كامل لما تم رصده في عينات الدراسة قبل تلقي العلاج الكيميائي حيث لوحظ اختلال تام لوظائف الكبد الثلاث من خلال الارتفاع الكبير والملموس لكل من الإنزيمات الكبدية الثلاثة مقابل انخفاض كبير للغاية لمستويات البروتينات المصلية الكلية حيث سجلت مستويات بروتين واطئة للغاية في مجموعة الذكور المصابين (1.170 dl / g)، إضافة إلى ذلك فقد رصدت أكبر التغيرات لدى الأطفال الذين تلقوا جرعات أكثر من العلاج الكيميائي وهذا يتماشى مع الفرض الأصلي الذي ارتكزت إليه الدراسة الحالية في كون المواد المستخدمة في العلاج الكيميائي يتم التعامل معها من قبل أنسجة الجسم المختلفة بشكل عام والكبد على وجه الخصوص، على أنها مركبات تسبب الضرر للخلايا السليمة والخلايا المصابة على حد سواء.

جاءت نتائج الدراسة الحالية متوافقة مع دراسات سابقة تتبع مقدار الضرر الذي يطال الخلايا الكبدية بفعل الإصابات السرطانية المختلفة وأنباء مراحل تلقي العلاج الكيميائي وكيفية التعامل معه (Geen and Flamm, 2002; Chan. et al., 2003; Golan, et al., 2005; Eroschenko, 2005; Skandalakis, et al., 2009; Milne, et al., 2011; Bertino, et al., 2013).



4-9-3: دراسة العلاقة الارتباطية بين معايير تقييم وظائف الكبد في المجموعة المصابة بعد تلقي

العلاج الكيميائي

تشير العلاقات الارتباطية المحسوبة في الدراسة الحالية لمعايير وظائف الكبد بعد تلقي العلاج الكيميائي إلى وجود علاقة ارتباطية موجبة بين الإنزيمين التحويليين GOT و GPT لدى 70% من المرضى بعد تلقيهم العلاج لكن الارتفاعات المرصودة لم تكن متوافقة في العينة نفسها مما جعل العلاقة بين هذين الإنزيمين تفتقد إلى المعنوية.

جاءت العلاقة طردية ومعنوية بمقدار كبير عند مقارنة مستويات إنزيم GPT و ALP حيث ارتفعت بشكل توافقى لدى 52% من العينات المصابة بعد تلقيهم العلاج، في حين كانت العلاقة بين مستويات البروتينات الكلية في المصل ومستويات ALP عكسية (سالبة) في 70% من الأفراد المصابين و تمتاز بالمعنى الإحصائية العالية ($p = 0.008$)، وكما مبين في الجدول 3-48.

الجدول 3-48: العلاقات الارتباطية لمعايير تقييم وظائف الكبد في أمصال المجموعة المصابة بعد

تلقي العلاج الكيميائي

	Parameters	GOT	GPT	ALP	STP
GOT	1 0.213	-0.644 0.213	-0.083 0.663	-0.347 0.061	
GPT	-0.644 0.213	1 0.032	0.516 0.032	-0.225 0.232	
ALP	-0.083 0.663	0.516 0.032	1 0.032	-0.701 0.008	
STP	-0.347 0.061	-0.225 0.232	-0.701 0.008	1	



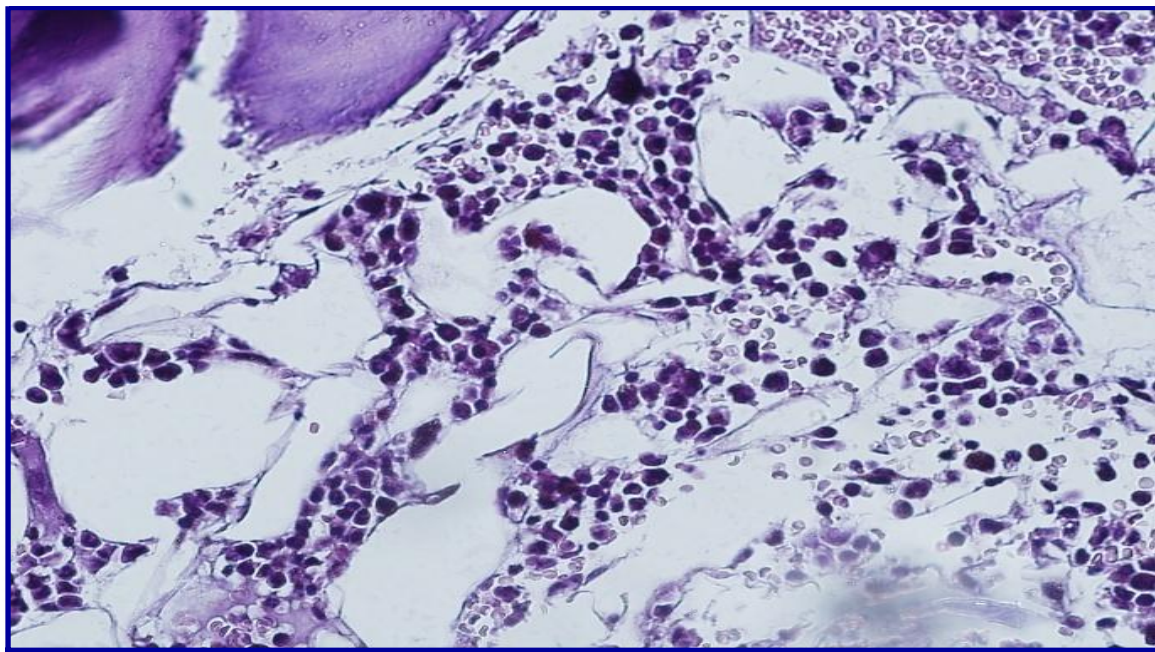


10-3: الدراسة النسجية لأثر الإصابة بابيضاض الدم اللمفي الحاد و تقييم تأثير العلاج الكيميائي في الدم المحيطي ونخاع العظم

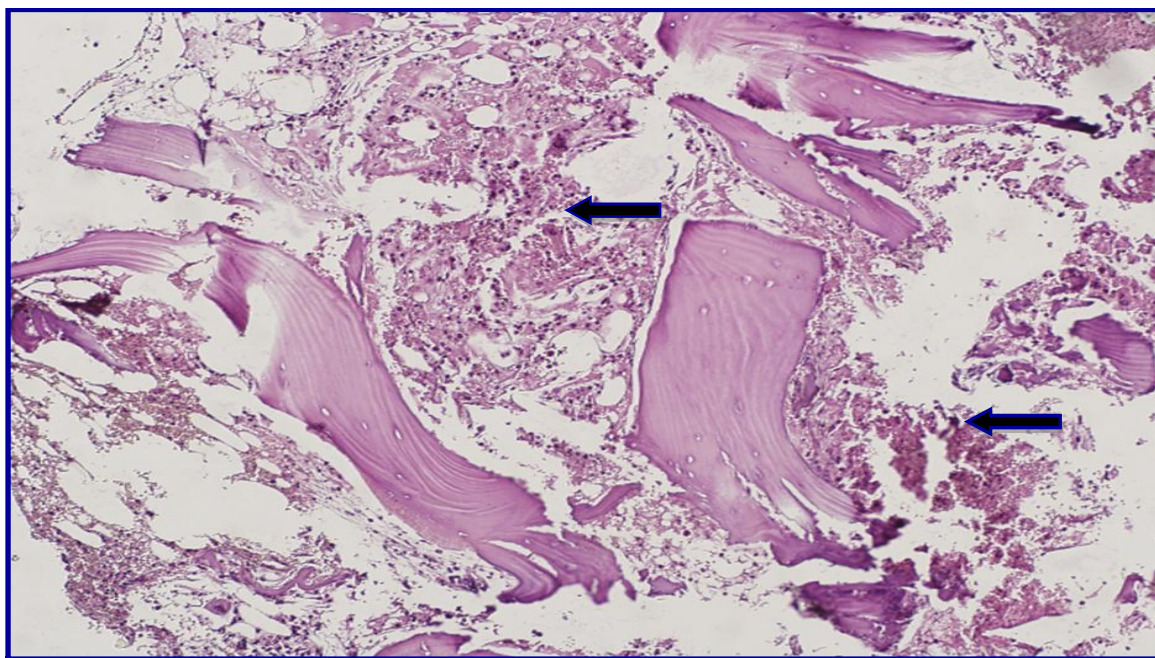
يتمثل **الشكل 3-23** مقطع نسجي لخزعة نخاع العظم لمريض بابيضاض الدم اللمفي الحاد قبل العلاج الكيميائي وتتميز خلايا الأرومة بكونها متقاوتة و أيضا تميزت خلايا الأرومة في نقى العظم بحجمها الكبير مع بروز الفجوات في سايتوبلازم الأرومة اللمفية ، اما **الشكل 3-24** مقطع نسجي لخزعة نخاع العظم لمريض بابيضاض الدم اللمفي الحاد بعد العلاج الكيميائي.

الشكل 3-25 يُظهر مسحة لنخاع العظم لمريض بعمر أربع سنوات مصاب بابيضاض الدم اللمفي الحاد قبل تلقي العلاج الكيميائي إذ تتميز خلية الأرومة بكونها صغيرة الحجم وكبير حجم النواة الى السايتوبلازم، أما **الشكل 3-26** فيظهر مسحة لنخاع العظم لنفس المريض بعد تلقيه العلاج الكيميائي. **الشكل 3-27** مسحة الدم لمريض مصاب بابيضاض الدم اللمفي الحاد قبل العلاج الكيميائي اذ يبين خلية الأرومة اللمفية و **الشكل 3-28** يظهر مسحة الدم لمريض مصاب بابيضاض الدم اللمفي الحاد بعد العلاج الكيميائي حيث يلاحظ اختفاء الارومات اللمفية بعد العلاج الكيميائي مما يدل على الاستجابة للعلاج ومن اجل التشخيص النهائي للمرض استخدمت الصبغتين التقاضليتين وهما صبغة PAS و سودان السوداء نوع B، لغرض التصنيف التقريري لمرض ابيضاض الدم الحاد اللمفي عن النخاعي إذ إن أرومة الخلايا اللمفية سالبة لصبغة سودان السوداء نوع B، في حين تكون موجبة لصبغة PAS لأغلب الحالات (Swerdlow, et al., 2008).

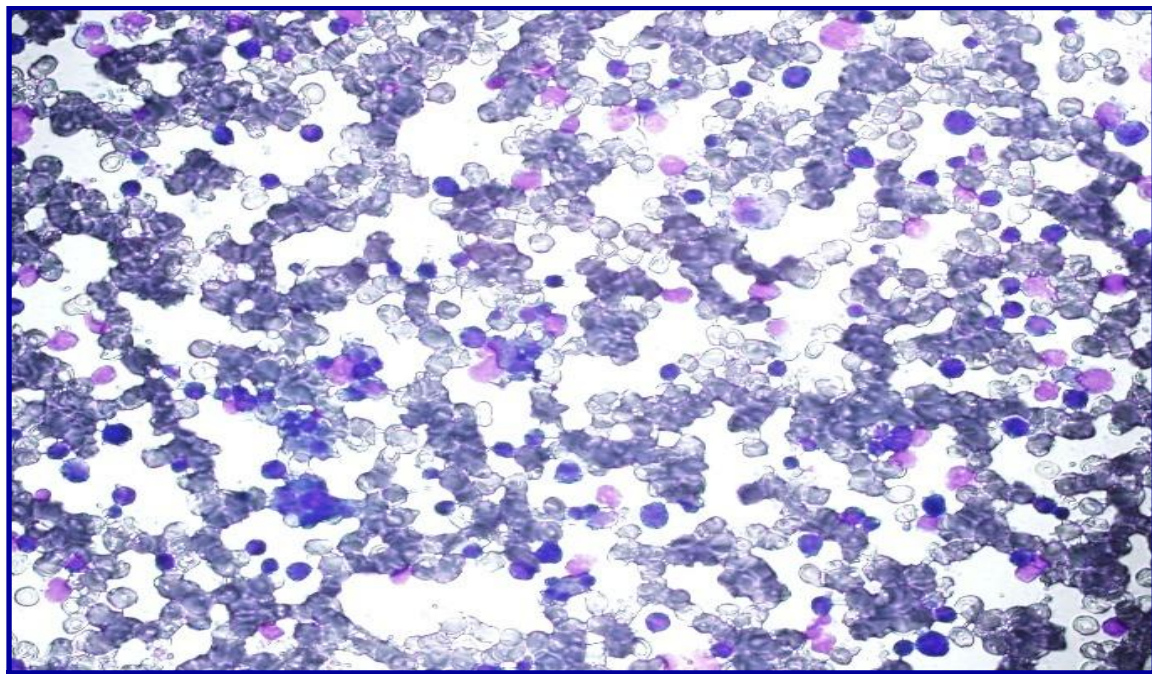
أظهرت نتائج الدراسة إلى أن نسبة 80% من الأطفال المصابين بابيضاض الدم اللمفي الحاد كانوا من الصنف الاول L₁ و 17% من الصنف الثاني L₂ و 3% من النوع الثالث L₃، وعد الصنف الأول ذو مآل جيد للمرض إذ تكون الاستجابة جيدة للعلاج ويمررون بمرحلة الشفاء بعدأخذ العلاج وجاءت النتائج متفقة مع دراسة (Kalid, et al., 2010)، إذ إن فحص نخاع العظم يعد العامل الرئيس لتشخيص المرض والذي يعتمد أساساً على وجود خلايا الأرومه في نخاع العظم بنسبة أكثر من 20% من خلايا الأرومة اللمفية السرطانية لنخاع العظم (Dacie and Lewis, 2006) حيث لا تظهر الأعراض السريرية للمرض لبعض المرضى عند بداية الإصابة المرض.



الشكل 3-23: مقطع نسجي لخزعة نخاع العظم لمريض بابيضاstr الدم اللمفي الحاد قبل العلاج
X400 الكيميائي تحت القوة

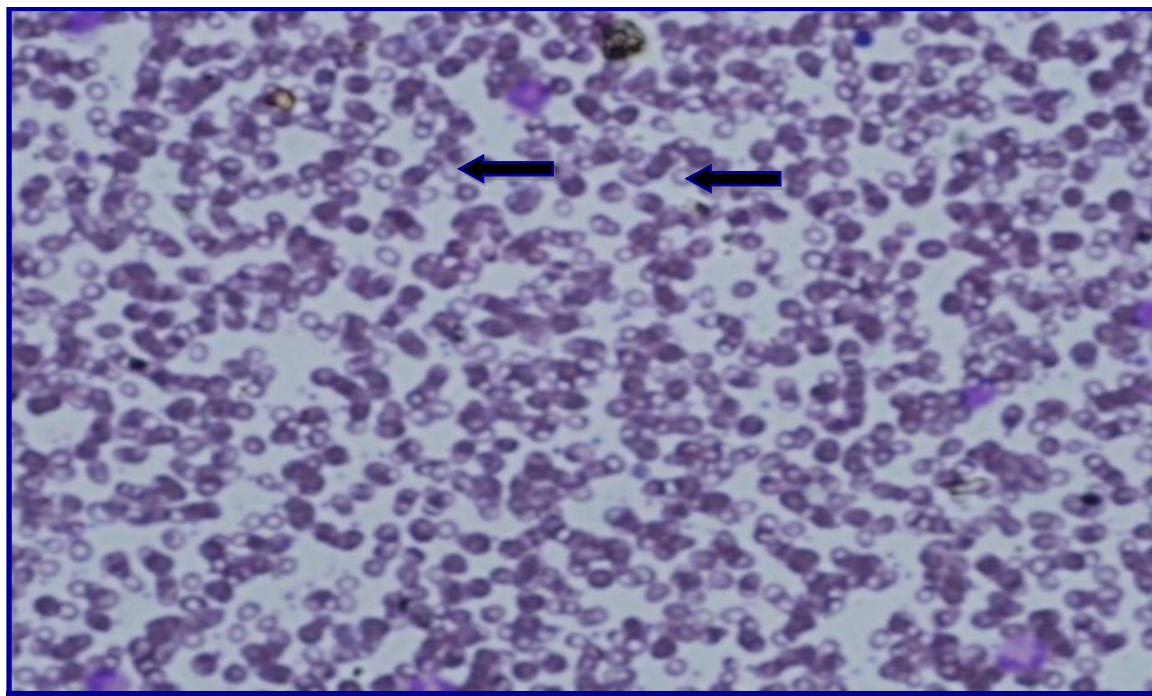


الشكل 3-24: مقطع نسجي لخزعة نخاع العظم لمريض بابيضاstr الدم اللمفي الحاد بعد العلاج
X400 الكيميائي تحت القوة



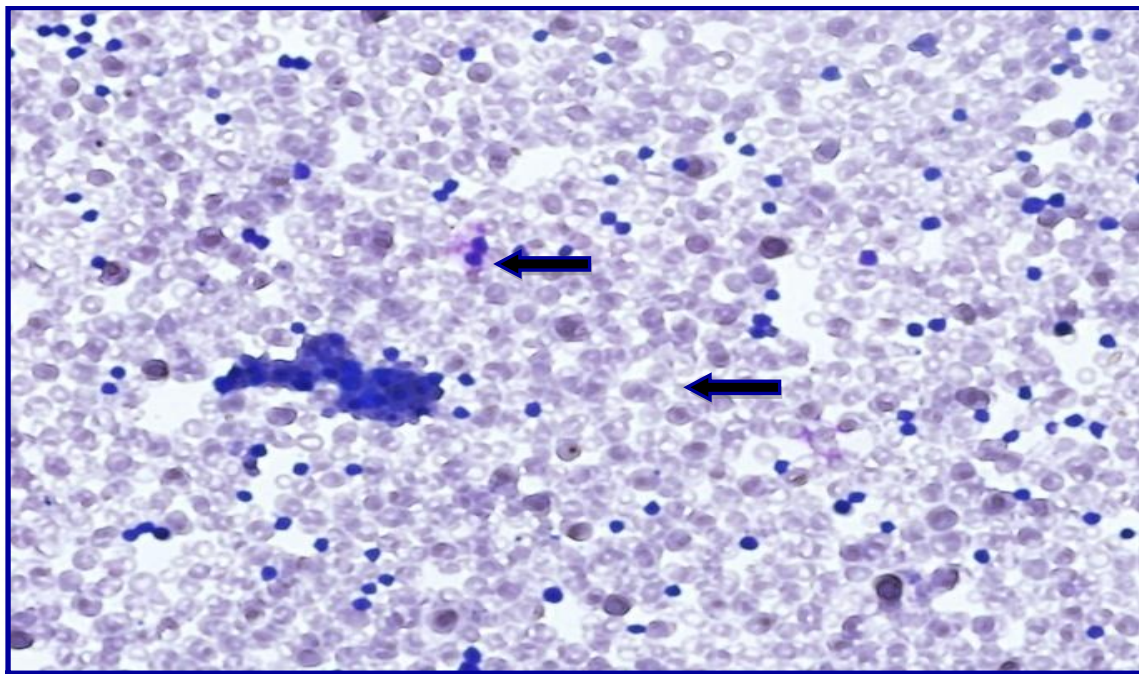
الشكل 3-25: مسحة لنخاع العظم لمريض مصاب بابيضاض الدم اللمفي الحاد قبل العلاج الكيميائي

X400

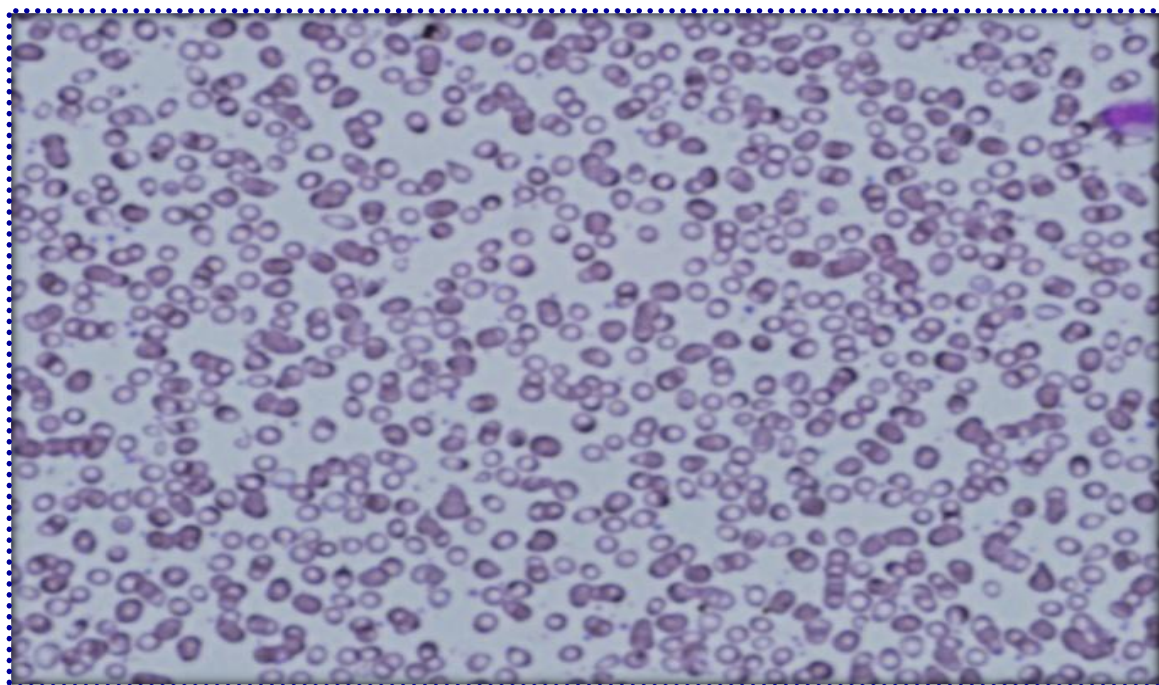


الشكل 3-26: مسحة لنخاع العظم لمريض مصاب بابيضاض الدم اللمفي الحاد بعد العلاج الكيميائي

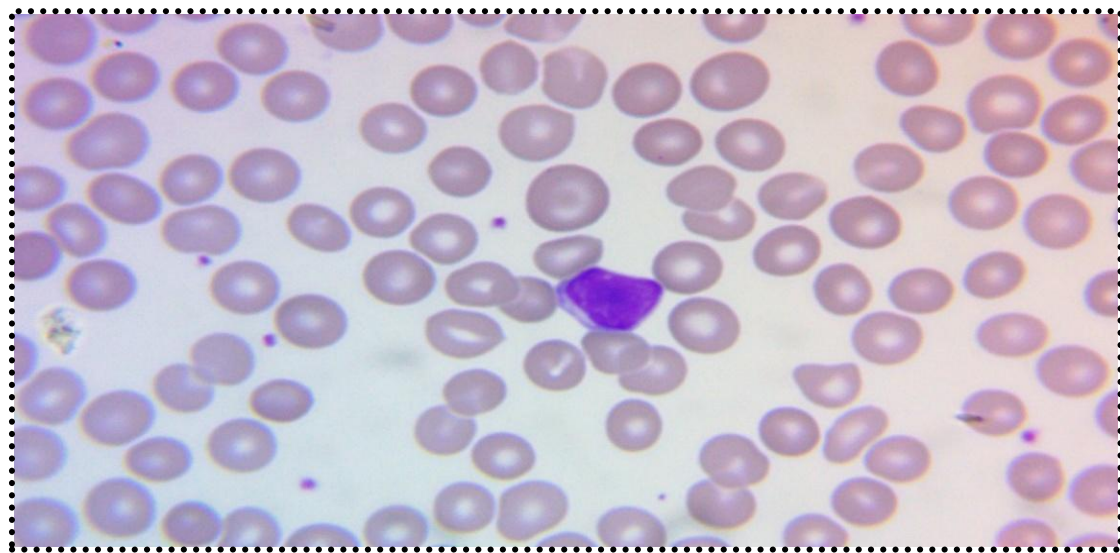
يلاحظ الأرومدة اللمفية بصورة قليلة تحت القوة X400



الشكل 3-27: مسحة الدم المحيطي لمريض مصاب بابيضاض الدم اللمفي الحاد قبل العلاج الكيميائي
يلاحظ الخلايا اللمفاوية الغير ناضجة باللون القرمزي الباهت تحت القوة X400

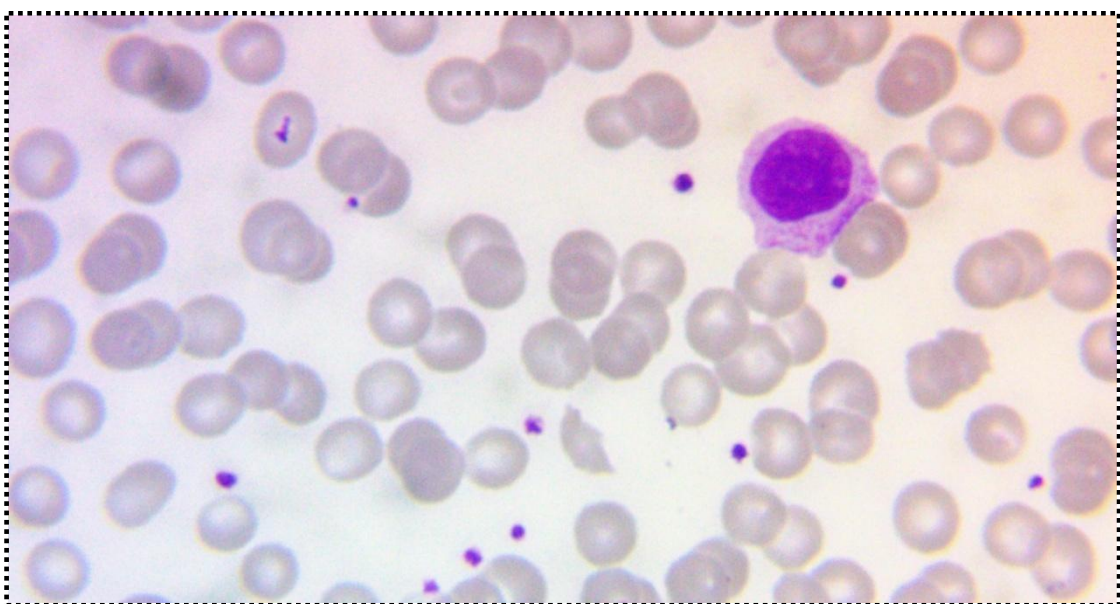


الشكل 3-28: مسحة الدم لمريض مصاب بابيضاض الدم اللمفي الحاد بعد العلاج
الكيميائي تحت القوة X400



شكل 3-29: خلية لمفية غير ناضجة في الدم المحيطي لمريض مصاب بابيضاض الدم الممفي الحاد قبل العلاج الكيميائي يلاحظ حجم النوات كبير جدا وكرماتيد النوية باهت والسايتو بلازم قليل جدا بقوة

تكبير $\times 1000$



الشكل 3-30: مسحة من الدم المحيطي لمريض مصاب بابيضاض الدم الممفي الحاد بعد تلقى العلاج يلاحظ شكل الخلية الممفية المنتظم وحجم السايتو بلازم قوة التكبير $\times 1000$

الاستنتاجات

الاستنتاجات

استناداً إلى النتائج المتحصل عليها من العمل الحالي يمكن التوصل إلى مجموعة من الاستنتاجات أهمها:

- الذكور أكثر عرضة للإصابة بابضاض الدم اللمفي الحاد من الإناث بالرغم من خلو التاريخ العائلي لكلا الجنسين من الإصابات السرطانية.
- المناطق التي تعرضت إلى الأسلحة الكيميائية هي الأكثر تسجيلاً للإصابات من المناطق الأخرى.
- يصلاح CLEC4E كدالة ورمية جديدة تميز الإصابة بسرطان الدم اللمفي الحاد وفي مراحلها الأولى كذلك في التحري عن مدى تقدم الإصابة السرطانية والاستجابة للعلاجات المقدمة من قبل الأخصائيين.
- العلاج الكيميائي يطال بضرره أنظمة دفاعات الجسم مما يجعل دون التخلص من الضرر التأكسدي الناجم عن الإصابة السرطانية ويزداد هذا الضرر عند التعاطي مع العلاج الكيميائي من قبل الأطفال في مراحل الإصابة المقدمة.
- يعد هرمون الإيرثروبويوتين دالة ساندة وحساسة في التحري عن الإصابة بسرطان الدم وتعيين مستوى الإصابة، إلا إنها لا تصلح في أن تكون دالة لتعقب مدى الاستجابة للعلاج الكيميائي.
- الخلل الناجم عن الإصابة بسرطان الدم اللمفي الحاد يطال كافة مكونات الدم وموقع تصنيعه لا يقتصر على الخلايا اللمفية فقط.
- التغيير في مستويات العناصر النزرة مرتبط بشكل مباشر إلى الخلل في منظومة مضادات التأكسد الداخلية Endogenous Antioxidant System حيث تعمل هذه العناصر كعوامل مرافقة لأنزيماتها المختلفة مما يؤهلها أن تكون مؤشرات ممتازة لتقييم حالة الجسم الداخلية ومدى مقاومته للعديد من الإصابات المرضية.
- تتأثر فعالية الأعضاء في أداء بعض وظائفها الحيوية نتيجة للإصابة بسرطان الدم اللمفي الحاد، في حين يكون للعلاج الكيميائي الأثر الأكبر في تردی كفاءة هذه الأعضاء.

الدراسات المستقبلية

توصي الدراسة الحالية المستفيدين في حقل الاختصاص للشروع بمجموعة من البحوث أهمها:

- + إجراء دراسة على المستوى النسيجي لمقارنة التغيرات الحاصلة على المستوى الخلوي لصابين بسرطان الدم اللمفيا الحاد من يضم تاريخهم العائلي إصابات سرطانية سابقة مع عينات الدراسة الحالية.
- + العمل على دراسة الجين المسؤول عن تخلق CLEC4E ومتابعة آلية عمله والعوامل المؤثرة عليه.
- + إجراء دراسة مقارنة لمعايير العمل الحالي تطبق في الأنواع الأخرى من سرطانات الدم ومقارنة نتائجها مع نتائج العمل الحالي.
- + انتخاب وسطيات أخرى تنتج في عمليات الأكسدة الخلوية المفرطة وتقييم مستوياتها في عينات مماثلة لعينات العمل الحالي.
- + دراسة تأثير قامعات الأكسدة خارجية المصدر في كبح تقدم الإصابة السرطانية وكذلك في التقليل من الآثار المترتبة على تلقي العلاج الكيميائي.
- + متابعة مستويات المعايير المنخبة في الدراسة الحالية في عينات الأطفال المشاركون في العمل الحالي في مرحلة ما بعد الشفاء، للتقصي عن إمكانية استخدامها كدوال متابعة.

المصادر

المصادر

- الدليمي، اياد عبد المحسن احمد حسين . (2003): النشاط الإشعاعي البيئي في جنوب العراق. اطروحة دكتوراه، كلية العلوم / جامعة بغداد.
- العبيدي ، لمى حسن علوان . (2002) : دراسة انتقال اليورانيوم المنصب عبر المنتجات الغذائية الحيوانية وتأثيره في بعض العوامل الحيوية والجزئية في الكائنات المترسبة له . رسالة ماجستير ، كلية العلوم / جامعة بغداد .
- الشمري، علي عطيه عبد . (2005). تقييم مياه الشرب في محافظة كربلاء من الناحية البكتريولوجية والفيزيوكيميائية. رسالة ماجستير، كلية العلوم / الجامعة المستنصرية.
- Aapro M S, Martin C, & Hatty S. (1998): **Gemcitabine A Safety Review**, J. Anticancer Drugs, 9 (3) : 191-201.
- Alberts B, Johnson A, Lewis, J, Raff M, Roberts K, & Walter P. (2002): **Peroxisomes, In Molecular Biology Of The Cell** . 4th Ed. Garl& .
- AL-Amery H, & Abdul-Baki. (2002): **Free Radicals & Carcenoma Of Urinary Bladder. Basic**. Med. 2(2): 148-152.
- AL-Ganimi Y. (2011): **Genetic & Physiological Study For Sample Of Acute Myeloid Leukemia Patient In Karbala City.**, Ph.D. , College Of Education , University Karbala.
- Al-Hasnawi S M , Al Mosawi A J , Al Khzaie A, Unan O F, Fadhil H M, & Sami S. (2009): **Cancer In Iraq: Distribution By Primary Tumor Site**. New Iraqi J. Med., 5 (1): 5- 8.
- AL-Maskari, Al-Maskari, &Al-Sudairy, S. (2011): **Oral Manifestations & Complications Of Diabetesmellitus: A Review**. Sultan Qaboos Univ. Med. J. 11, 179–186.
- Appelbaum FR, Gundacker H, & DR Head. (2006):**Age & acute myeloid leukemia. Blood**, 107: 3481-3485.
- Amer MA. (2001): **Modulation Of Age-Related Biochemical Changes& Oxidative Stress By Vitamin C & Glutathione Supplementation In Old Rats**, Ann. Nut. Metab. J. 46: 165-168.
- American Cancer Society. (2013): **Leukemia--Chronic Myeloid (Myelogenous)**. [Www.Cancer.Org](http://www.cancer.org) .
- &radeE ,GonçalvesN, De OliveiraT, Dos SantosC, Souza,C FirmesL, De MagalhãesA,& SoaresT, Et Al.(2011): **Natriureticpeptide System: A Link Between Fat Mass & Cardiac Hypertrophy &hypertension In Fat-Fed Female Rats Regulatory Peptides**. 167 149–155.

- Angeli F, Angeli E ,Verdecchia P.(2015): **Novel Electrocardiographic Patterns For The Prediction Of Hypertensive Disorders Of Pregnancy—From Pathophysiology To Practical Implications.** Int. J. Mol. Sci., 16 :18454-18473 .
- Angelova M, Asenova S, Nedkova V, &Koleva R. (2011): **Copper In The Human Organism.** Trakia Journal Of Sciences. Vol. 9, No. 1, P:88-98.
- Aprikian P,Tchesnokova V, Kidd B, Yakovenko O, Yarovyarovoy V, Trinchina E, Vogel V,Thomas W, & Sokurenko E , (2007): **Interdomain Interaction In The Fim H Adhesion Of E. Coli Regulates The Affinity To Mannose.** Bio. Chem.,282(32): 23437 – 23446.
- Arain SS, Kazi TG, Arain JB, Afridi HI, Kazi AG, Nasreen S, & Brahman KD, (2014): **Determination Of Nickel In Blood & Serum Samples Of Oropharyngeal Cancer Patients Consumed Smokeless Tobacco Products By Cloud Point Extraction Coupled With Flame Atomic Absorption Spectrometry.** Environ Scipollut Res Int. 21(20):12017-12027.
- Asano N, Manabe T, YoshimuraT, Ohshio G, & Imanishi, K.(1991): Role Of Free Radical Scavengers In Pancreatic Carcinoma Of Hamsters. Nippon Gekahokan; 60 (6): 387-395.
- Asgharzadeh M, Samadi Kafil H, Pourostadi M. (2015): **Mannose Binding Lectin (MBL) & Its Clinical Significance .** J Babol Univ Med Sci Vol 17, Issu 4; Apr P:61-73.
- Atalay M , & EL-Aaksone D. (2000): **Diabetes Oxdative Stress & Physical Exercise.** J. Of Spo. Sci.& Med. 1: 1-14.
- Atieh, M, Molouk H, AhmadR, Rocsanna N, Mohammad A, Ardeshir G. (2012): **Trace Elements (Se, Zn, & Cu) Levels In Patients With Newly Diagnosed Acute Leukaemia.** International Journal Of Haematology Oncology & Stem Cell Research, 6: 5-10.
- Bain B.(2010): **Leukemia Diagnosis.John Wiley & Sons Ltd The Atrium, Southern Gate, Chichester, West Sussex, PO19 8SQ, UK.**
- Ballmer PE, Reinhart WH, & Gey K F. (1994) : **Antioxidant Vitamins & Disease – Risks Of A Suboptimal Supply.** The Chirop. Reso. Organ. 51 (7): 467-474.

- B&o S, Soeki T, Matsuura T, Tobiume T, Ise T, Kusunose K, Yamaguchi K, Yagi S, Fukuda D, Iwase T, Et Al. (2017): **Plasma Brain Natriuretic Peptide Levels Are Elevated In Patients With Cancer.** Plos ONE12, E0178607
- Banerjee K, & M&al M. (2015): **Oxidative Stress Triggered By Naturally Occurring Flavone Apigenin Results In Senescence &chemotherapeutic Effect In Human Colorectal Cancer Cells.** Redox Biology, Vol. 5, Pp. 153–162.,
- Bartosikova L, NecasJ, Kubinova R, Iliek J, Saplachate J, Florian T, Frydruch M, Frana P., Frana L, & Dzurova J. (2003a): **Atioxidative Effect Of Morine In Ischemia Reperfusionof Kidney In The Laboratory Rate.** Acta Vet. Br. 72 :87-94.
- BassanR, Gatta **G**, Tondini**C**, & Willemze R. (2004): **Adult Acute Lymphoblastic Leukaemia.** Critical Reviews In Oncology/ Hematology, 50: 223-261.
- Beckman KB, & Ames BN. (1999): **Endogenous Oxidative Damage Of Mtdna.** Mutat Res.424:51-58.
- Belson M, Kingsley B. , & Holmes A. (2007) : **Risk Factors For Acute Leukemia In Children .** Environmental Health Perspective ,115(1) :138-145 .
- Bene MC, Castoldi G, & Knapp W. (1995): **European Group For The Immunological Characterization Of Leukemias (EGIL). Proposals For The Immunological Classification Of Acute Leukemias.** Leukemia., 9:1783-1786.
- Benedini S, VillaP, Luz iL, & Bevilacqua M.(2012): **Pioglitazone Does Not Modify ANP Levels Of Type 2 Diabetic Patients.** World Journal Of Cardiovascular Diseases., 2: 277-282.
- Benhar M, Engelberg D,&Levitzki A. (2002): **ROS, Stress-Activated Kinesis & Stress Signaling In Cancer.** EMBO. Rep., 3:420– 425.
- Bennett JH, BassanR, Gatta **G**,Tondini **C**, & Willemze R.(2004): **Adult Acute Lymphoblastic Leukaemia.** Critical Reviews In Oncology/ Hematology, 50: 223-261
- Bertino G, Ardiri AM, Calvagno GS, Malaguarnera G, Interl& D, Vacante M, Bertino N, Lucca F, Madeddu, R, Motta, M. (2013): **Carbohydrate 19.9 Antigen Serum Levels In Liver Disease.** Biomed. Res. Int531640.
- Berger & Gravitis , E . (1997): **Overview Of Developing Clinical Importance & Antibiotic Resistance Of Acinetobacter Spp .** J.Med . Bacteriol. ,46:721-736.

- Bethesda,M D.(2006). **Childhood acute myeloid leukemia .National cancer Institute** .9.25-39.
- BirkenfeldL, BudziarekP, BoschmannM, MoroC, Frauke AdamsF ,FrankeG, BerlanM, LuftF, MarquesM, Lafontan C G, & JensJ.(2008): **Atrial Natriuretic Peptide Induces Postpr&ial Lipid Oxidation In Humans. Diabetes.** 57: 3199–3204.
- Bjelakovic G, Gluud LL, Nikolova D, Et Al. (2011): **Antioxidants supplements For Liver Diseases.** Cochrane Database Of Systematic Reviews Issue 3.
- Block C, Dietrich M, Norkus E, Morrow, J.D, & Poker L. (2002): **Factors Associated With Oxidative Stress In Human Populations.** Am J. Of Epidemiol. 156 (3): 274-278.
- Boon NA, Colledge NR, Walker B.R, & Hunter J.A.A. (1975):(Eds .)Davidson S **Principle & Practice Of Medicine** . 20th Ed. . Churchill Livingstone Elsevier , New York . Pp : 999-1065 . Continents . UICC. (Cited By Peto Et Al.,
- Bor NM, Unver Y, Kiling K, & Dereagzi, H. (1994): **Tissue Malondialdehyde Levels In Zinc Deficient Rats.** J. Of Islam. Acad. Of Sci. 7.(12).
- Bosch FX, de Sanjosé S.(2003) : **Human papillomavirus & cervical cancer-burden & assessment of causality.** J Natl Cancer Inst Monogr.;(31):3-13.
- Boyle P , & Levin B. (2008): **World Cancer Report (2008). International Agency For Research On Cancer. France** . Pp: 12-43.
- Braunwald E, Isselbacher K,J, Petersdorf, R.G.; Wilson, J.D, Martin J.B, & Fauci AS. (1987): **Harrison's Principles Of Internal Medicine,Vol2,11th Ed., The McGraw-Hill Companies**, New York., Pp: 1140
- Buettner G R. (1993): **The Pecking Order Of Free Radical &antioxidants: Lipid Peroxidation , A-Tocopherol, & Ascorbate.** Arch Of Biochem & Biophys. 300 (2): 535-543.
- Butel JS. (2007) : **Human Cancer Viruses . In : Brook G.F, Carroll KC, Butel , J.S. & Morse , S.A. (Eds.) . Jawetz , Melnick&Adelberg'S Medical Microbiology . 24th Ed. , McGraw-Hill , Inc. USA. PP: 585-602**
- Berger R, BernheimA, Le Coniat M, Vecchione D, PacotA, Daniel , M.-T, & Fl&rin G. (1986): **Abnormalities Of The Short Arm Of Chromosome 12 In Acute**

Nonlymphocytic Leukemia & Dysmyelopoietic Syndrome . Cancer Genetics & Cytogenetics , 19(3-4) :281-289

- Canalle R, Burim RV, Tone L.G, & Takahashi C.S. (2004): **Genetic Polymorphism & Susceptibility To Childhood Acute Lymphoblastic Leukemia .** Environ Mol Mutagen. ,43(2):100-109.
- Carl A, Edward R, David E, & Barbara G. (2008): **Fundamentals Of Clinical Chemistry.** 6th Edition.
- Carpentieri U, Myers J, Thorpe L, Daeschnercw& Haggard ME. (1986): **Copper, Zinc, &iron In Normal & Leukemic Lymphocytes Fromchildren.** Cancer Research. 46 (2): 981-984.
- Castagnola C, Lunghi M, Caberlon S, Bonfichi M, Pascutto C, & Lazzarino M. (2005): **Long Term Outcome Of Ph-Negative Acute Lymphoblastic Leukemia In Adults : A Single Centre Experience.** Acute Haematol., 113 (4) : 234 – 40.
- Catovsky D .(2005)Del(9q) acute myeloid leukaemia: clinical & cytological characteristics & prognostic implications.J, Swansbury First published: 31 August
- Cengiz D, Halit D, Ramazan E, Abidin S, Murat A, Murat A. (2011):**Altered Serum Levels Of Elements In Acute Leukemia Cases In Turkey .** Asian Pacific Journal Of Cancer Prevention, Vol 12: 3471-3474
- Chrasekaran A, Srinivasan1 A, Raman R, Viswanathan K, Raguram S,Tumpey T M, Sasisekharan V, & Sasisekharan R. (2008): **Glycan Topology Determines Human Adaptation Of Avian H5N1 Virus Hemagglutinin.** Nature Biotechnology .J. Vol. 10, P 1-7.
- Chang KH, Et Al. (2017): "**NADPH Oxidase (NOX) 1 Mediates Cigarette Smoke-Inducedsuperoxide Generation In Rat Vascular Smooth Muscle Cells.** (In Eng), Toxicol. Invitro 38 Feb 49–58.
- Charushila YK & Subodhini AA. (2015):**Evaluation Of Serum Antioxidants During Adjuvant Chemotherapy Of Breast Cancer- A Prospective Observational Study.** Biochem Anal Biochem.:4:171
- Chaudhary K, Malhotra K, Sowers J, Aroor A. (2013): **Uric Acid — Key Ingredient In Therecipe For Cardiorenal Metabolic Syndrome.** Cardiorenal Med. 3 208–220.

- Chen FD, Wu, M.; Wang HE, Hwang JJ, Hong CY, HuangyT, Yen SH, & Ou Y.H. (2001): **Sensitization Of Tumor But Not Normal Tissue, To The Cytotoxic Effect Of Ionizing Radiation Using Panax Notoginseng Extract.** Am J. Chin. Med., 16:234-242.
- Chessells JM, Bailey C, & Richards SM. (1995):**Intensification Of Treatment & Survival In All Children With Lymphoblastic Leukemia: Results Of UK Medical Research Council Trial UKALL X.** Medical Research Council, Childhood Leukemia. Lancet; 345 Pp: 143-80.
- Ching-Hon M.D, Mary V, Relling PD, James R, & Downing MD. (2004): **Acute Lymphoblastic Leukemia.** N. Engl. J. Med., 350:1535-48.
- Choson BD, Cassileth PA, & Head DR. (1990): **Report Of The National Cancer Institute-Sponsored Workshop On Definitions Of Diagnosis & Response In Acute Myeloid Leukemia.** J. Clin. Oncol., 8: 813–9.
- Chu T, et al. (2006): **New component of ESCRT-I regulates endosomal sorting complex assembly.** *J Cell Biol* 175(5):815-23
- Ciesla B.(2007):**Hematology In Practice.** Davis Company .Arch Street Philadelphia.
- Cleary K.M.C. (2001): **The Role Of Natural Medicine In Conventional Cancer Treatment.** Reprinted From Soil & Health. 60 (5): 15-17.
- Cortes J. (2001): **Central Nervous System Involvement In Adult Acute Lymphocytic Leukemia.** Hematol. Oncol. Clin. North. Am., 15:145-162.
- Costantini D. (2014): **Oxidative Stress & Hormesis In Evolutionary Ecology &physiology.** Berlin: Springer.
- Craig JIO, McClell& DB L , & Ludlam CA .(2006) : **Blood Disorders . In**
- Damianaki A, Bakogeorgou E, Kampa M, Notas G, & Castancas E. (2000): **Potent Inhibitory Action Of Red Wine Polyphenols On Human Breast Cancer Cells.** Cellular Biochem. J. 78: 429-441.
- Dar N A, Mir I, Salam Et Al. (2008): **Association Be-Tween Copper Excess, Zinc Deficiency, & TP53 Mu-Tations In Esophageal Squamous Cell Carcinoma From**

Kashmir Valley, India: A High Risk Area. Nutrition & Cancer, Vol. 60, No. 5, Pp. 585-591.

- Das K, Das S, &Dhundasi S. (2008): **Nickel, Its Adverse Health Effects & Oxidative Stress.** Indian J Med Res. Vol. 128, P:412-425.
- **Das, UN.** (2002) **A Radical Approach To Cancer.** Med Scimonit. 8:79-92.
- DavicoL, Sacerdote C, Ciccone G, Pegoraro L, Kerim S, Ponzio G, & Vineis P. (1998): **Chromosome 8Occupational Exposure Smoking & Acute Nonlymphocytic Leukemia : A Population –Based Study .** Cancer Epidemiol Biomarkers Prev , 7:1123-1125.
- David C, Ernestina F, Gerardo C, &Liliana D. (2011): **Pediatric Trace Elements. Clinical Update. Actapediatrica De Mexico.** Vol. 32, No. 5, P:287-291.
- Davies, KJA. (1987): **Protein Damage & Degradation By Oxygen Radicals.** J. Biol Chem. 262:9895-9902.
- Demir S, Yilmaz M, Akalin N, & Aslan D. (2003): **Role Of Free Radicals In Peptic Unclear & Gastritis.** Turk J. Gastroenterol. 14 (1) : 39-43.
- Demirpençe O, Sevim B., Yıldırım M, Nurlu N.A, Mert D O, Evliyaoglu . (2014): **Serum Paraoxonase, TAS, TOS & Ceruloplasmin In Brucellosis,** Int. J. Clin. Exp. Med. , 7 (6), 1592-1597.
- Deneka A. (2016):**Differentiating Chronic Lymphocytic Leukemia From Small Lymphocytic Lymphoma: A Manitoba Cancer Registry Perspective.** J Registry Manag43:90-1.
- DescathaA,JenabianA,CosoF,& AmeilleJ.(2005):**Occupational Contributing To Disease –Manifestation In Low Risk MDS.**Leuk.Res.32 Data.Cancer .16(8).939-953.
- Deschler B , & Lübbert M. (2008): **Acute Myeloid Leukemia: Epidemiology & Etiology.** In: Estey, E.H.; Faderl, S.H. & Kantarjian, H.M. (Eds.). Hematologic Malignancies: Acute Leukemias. Springer. Berlin. PP: 47-57
- De Wolf F A, & Brett G M. (2000): **Lig&-Binding Proteins: Their Potential For Application In Systems For Controlled Delivery & Uptake Of Lig&s.** Pharmacological Reviews. Vol. 52, No. 2, P 207-236.

- Deugnier Y,& Turlin, B. (2001): **Iron & Hepatocellular Carcinoma.** J. Gastroente. Hepatol., 16: 491– 494.
- Dietrich M, Block G, Hudes M, Morrow D, Norkus P , & Packer, Disease J, Nutr .(2001):131:S616-33. **Disorder Or An Adaptive, Beneficial Response?** Can Med Assoc J
- Dietrich M, Block G, Hudes M, Morrow D, Norkus P, & Packer J. (2002):**Antioxidnt Supplementation Decreases Lipid Peroxidation Biomarker F(2)-Isoprostanes In Plasma Of Smokers.** Can. Epidem. Biomar. 11 (5): 501-506.
- Dixon R , & Brunskill NJ. (1999):**Activalion Or Mitogenic Pathways By Albumin In Kidney Proximal Tubule Eithelial Cells: Implicationsfor The Pathophysiology Or Proteinuric States.** J Am Socnephrol. 10: 1487–1497
- Doll R, Muir C , & Water House J. (1970):**Cancer Incidence In Five**
- Donadieu J, Auclerc M-F, Baruchel A, Perel Y, Bordigoni P , & L&man-Parker J.(2000): **Prognostic Study Of Continuous Variables (White Blood Cell Count, Peripheral Blast Cell Count, Haemoglobin Level, Platelet Count & Age) In Childhood Acute Lymphoblastic Leukaemia.** Analysis Of A Population Of 1545 Children Treated By The French Acute Lymphoblastic Leukaemia Group (FRALLE). British Journal Of Cancer 83, (12): 1617–1622.
- Donadieu J, Auclerc M-F, Baruchel A, Perel Y, Bordigoni P, & L&man-Parker J.(2000): **Prognostic Study Of Continuous Variables (White Blood Cell Count, Peripheral Blast Cell Count, Haemoglobin Level, Platelet Count & Age) In Childhood Acute Lymphoblastic Leukaemia.** Analysis Of A Population Of 1545 Children Treated By The French Acute Lymphoblastic Leukaemia Group (FRALLE). British Journal Of Cancer 83, (12): 1617–1622.
- Donald V, & Judithg V. (2005): **Biochemistry. 2nd Ed. Johan , Wiley & Sons, INC,** New York, USA 791.
- DorshkindK, & Montecino-Rodriguez E. (2007): **Fetal B-Cell Lymphopoiesis & The Emergence Of B-1-Cell Potential.** Nat. Rev. Immunol., 7:213.
- Doubek M, Folber F, & Koristek Z Et.(2009): **AI Autologous Hematopoietic Stem Cell Transplantation In Adult Acute Lymphoblastic Leukemia:** Still Not Out Of Fashion. Ann Hematol. Sep 88(9) Pp: 881-70.

- Eiman A, Abdalsalam A, Amel O. (2016): **Assessment Of Serum Level Of Electrolytes & Trace Elements In Leukaemia Patients In Sudan** . Sudan Journal Of Science & Technology 17(2): 26-32
- Edmunds SC. (2007): **Genetics & Cancer.** In: Gabriel, J. (Ed.). **The Biology Of Cancer.** 2nd edn. John Wiley & Sons Ltd. Engl& . Pp: 63-78.
- Eidenschenk C, Jouanguy E, & Alcaïs A. (2006): **Familial NK Cell Deficiency Associated With Impaired IL-2- & IL-15-Dependent Survival Of Lymphocytes.** J. Immunol.,177:8835.
- Epstein W. (1889). Cited By Ciesla, B.(2007):**Hematology In Practice.** Davis Company .Arch Street Philadelphia.
- Ernest,H.(2008):**Anemia Causes & Treatment .Hematology.15.1-7. Exposures & Hematological Malignancies Overview On Human Recent Carcinogenesis** .Pub Med .18(10).1047-1053.
- EroschenkoVP.(2005): **Difiore's Atlas Of Histology With Functional Correlations ,10thed** .Lippincott Williams & Wilkins,Philadelphia ,339-340 .
- Eyal C, Attar M.D. (2010)**Massachusetts General HospitalCancer Center Leukemia** .Review: Types, Diagnostics, Treatments
- Fairbanks VF, & Tefferi A. (2000): **Normal Ranges For Packed Cell Volume & Hemoglobin Concentration In Adults: Relevance To 'Apparent Polycythemia'** . *Eur J Haematol* , 65: 285-296 .
- FahmySR, Abdel-Ghaffar F, Bakry, F.A., Sayed S.A. (2014): **Ecotoxicologicaleffectofsublethal Exposure To Zinc Oxide Nanoparticles On Freshwater Snailbiomphalariaalex&rina.** *Arch. Environ. Contam. Toxicol.* 67, 192–202.
- Fenech M. (2000):**The Role Of Folic Acid & Vitamin B12 In Genomic Stability Of Human Cells.** *Mutationresearch* 475:57–67.
- Fang EF, Lin P, Wong JH, Tsao SW, Ng TB A. (2010):**lectin withanti- HIV-1 reverse transcriptase, antitumor, & nitric oxide inducingactivities from seeds of Phaseolus vulgaris cv. extralong autumn purplebean.** *J Agric Food Chem.*; 58: 2221–2229.

- Foa, R. & Vitale, A. (2002): **Towards An Integrated Classification Of Adult Acute Lymphoblastic Leukemia.** Rev. Clin. Exp. Hematol., 6:181-199.
- Franchini M, Targher G, Montagnana M, Lippi G. (2008): **Iron & Thrombosis.** Ann. Hematol., 87:167–73.
- Freireich Emil J. (2008): **Acute Leukemia.** Leukemia. Mercll Manual 10.1-6.
- Frustaci A, Neri M, Cesario A, Adams JB, Domenici E, Dallabernardina B Et Al. (2012): **Oxidative Stress-Related Biomarkers In Autism: Systematic Review & Meta-Analyses.** Free Radicbiol Med. 52: 2128-2141
- Gabriel J. (2004): **The Biology Of Cancer.** Printed & Bound In The UK By Athenaeum Press Limited, Gateshead, Tyne & Wear.
- Gaetke LM, Chow-Johnson HS, Chow CK. (2014): **Copper: Toxicological Relevance& Mechanisms.** Arch Toxicol. Nov; 88(11): 1929-38.
- Gambino T, Sit H, & Lone J. (2005): **Iron & Iron Binding Capacity**
- Garbino R. (2006): **The Relationships Between Chemically Measured Total Iron – Binding Capacity Concentration & Immunologically Measured transferin Concentration .** Clin. Chem. 43(12).240-242.
- Gaynon PS, Angiolillo AL, Franklin J.L, & Reaman GH. (2003): **Childhood Acute Lymphoblastic Leukemia In.** Cancer Medicine. 6th Ed. Hamilton, Ontario: BC Decker Inc.
- Gessain A, & Mahieux R. (2003): **HTLV-1 & associated adult t-cell leukemia/lymphoma.** rev clin exp hematol. dec;7(4):336-61.
- Ghafil F A, Al-Zubaidi F A, & Almedeny S A. (2012): **Assessment Of Nephro Protective Role Of Irbesartan Against Gentamicin Induced Nephrotoxicity In Rats.** Kufa Journal For Veterinary Medical Sciences Vol. (3) No. (2).
- Ghareeb DA, & Sarhan EME. (2014): **Role Of Oxidative Stress In Male Fertility & Idiopathic Infertility:Causes & Treatment.** J Diagn Tech Biomed Anal. 2:107.
- Gillil &, D.G. & Tallman, M.S. (2002): **Focus On Acute Leukemias.** Cancer Cell, 1:417-420.
- Golestan University Of Medical Sciences Comparison Of The Serum Levels Of Trace Elements In Areas With High Or Low Rate Of Esophageal Cancer

- Gore SD, Kastan MB, & Civin CI. (1991): **Normal Human Bone Marrow Precursors That Express Terminal Deoxynucleotidyltransferase Include T-Cell Precursors & Possible Lymphoid Stem Cells.** Blood, 77:1681-1690.
- Greaves M. (1993): **A Natural History For Pediatric Acute Leuke-Mia.** Blood, 82: 1043-51.
- Greaves, M. (2005): **In Utero Origins Of Childhood Leukaemia.** Early Hum. Dev., 81:123-129.
- Greaves M F, & Alex&er F E. (1988): **An Infectious Etiology For Common Acute Lymphoblastic Leukemia In Childhood?** Leukemia, 7: 349–360.
- Greaves M.(1999): **Molecular Genetics, Natural History & The Demise Of Childhood Leukaemia.** Eur. J. Cancer, 35:173-185.
- Greaves MF. (1997): **Aetiology Of Acute Leukaemia. Lancet.**, 349:344-349.
- Habib SO, Al-Ali J, Al-Wiswasi, K.M, AH Ajeel,N, Al-Asady, GO, Khalaf,A.A, Al-Mayah ZA.(2005): **Cancer Registration In Basrah 2005: Preliminary Results,** Asian Pacific J Cancer Prev., 8: 187- 190.
- Hall J E. (2011): **Guyton & Hall Textbook Of Medical Physiology.** Twelfth Edition. Copyright© 2010 Saunders, An Imprint Of Elsevier. Philadelphia.
- Hall M.H, Muldoon, M.F, JenningsJ.R, Buysse, DJ Flory, JD. & Manuck SB.(2008):**Selfreported Sleep Duration Is Associated With The Metabolic Syndrome In Midlife Adults.**Sleep., 31(5): 635–643.
- Hamidreza J, Honey-Sadatmirkarimi, Sima B, Gholamrezaresh&el, Omidsanaei, Mojgann. (2017):**Golestan Leukemia From Diverse Ancestry.** Blood.
- Hangauer M J , Viswanathan, V. S. , Ryan, M. J. , Bole, D, Eaton, J. K, Matov, A. , Galeas, J. , Dhruv, H. D. , Berens, M. E. , Schreiber, S. L. , McCormick, F. , Mcmanus, M. T. (2017) :**Drug - Tolerant Persister Cancer Cells Are Vulnerable To GPX4 Inhibition.** Nature. 10.1038/Nature24297
- Hanna J. (2014): **Expression Of Cd95 In Acute Lymphocytic Leukemia (All) In Egyptianchildren Before & After Treatment,** J. Blood Disorders Transf, 6:1
- Harris N.L, Jaffe E.S, & Diebold J. (1999): **World Health Organization Classification Of Neoplastic Diseases Of The Hematopoietic & Lymphoid Tissues: Report Of The**

Clinical Advisory Committee Meeting-Airlie House, Virginia. J. Clin. Oncol., 17:3835-3849.

- Haroon Z.A, AminK,& JiangX.(2003):**A novel Role Of Erythropoietin During Fibrin Induced Wound Healing Response.**AM.J. Pathol. 3.993-1000.
- Hassan HR, Husain, M. K & Jasiem R H. (2009): **Evaluation Of Lectin Level As New Tumor Marker For Urinary Tract & Prostate Cancers .**J. Of Kufa For Chemical Science .42-62 .
- Hegde, M. Chianeh Y.R., Shetty J., Fern&es D.J., Rao P. (2015): **CA-125 & Ceruloplasmin Levels In Ovarian Cancer Patients,** Cukurova Medica Journal40 (3), 510-516. Hematological Diseases .Haematol.183(4).407-421.
- Hoffbr& A.V, Pettit J.E, & Moss P.A.(2005): Essential Hematology, Blackwell Sceintific Publication, Oxford, ISBN 0-62305-153-1.
- Hoffman, Donna L. & Novak, Thomas P. (2000). **How to acquire customers on the Web.** Harvard Business Review, 78(3), 179–188.
- Howard S, Pedrosa, M. & Lins M.(2004): **Establishment of a pediatric oncology program & outcomes of childhood acute lymphoblastic leukemia in a resource-poor area.** JAMA,291 :2471–2475.
- Huang X, Tsuji N, Miyoshi T, Nakamura-Tsuruta S, Hirabayashi J, & Fujisaki K. (2007): **Molecular Characterization & Oligosaccharidebinding Properties Of A Galectin From The Argasid Tick Ornithodoros Moubata.** Glycobiology. Vol. 17, No.3, P 313-323.
- Humam A H , Rasha H J, & Sattar JH. (2018): **CLEC4E As Novel Tumor Marker. A Biochemical Study For Prediction Acute Lymphocytic Leukemia At Iraqi Children.,** J. Pharm. Sci. & Res. Vol. 10(3), 556-561 .
- Hussein K. (2015): **Determination The Levels Of Zinc & Copper In Patients With Leukemia** Int.J.Curr.Microbiol.App.Sci 4(8): 812-816
- IARC. (1991): **Occupational Exposures In Insecticide Application, & Some Pesticides. IARC Working Group On The Evaluation Of Carcinogenic Risks To Humans.** Lyon, 16–23 October 1990. IARC Monogr Eval Carcinog Risks Hum 53:5–586.

- Ibrahim M E,& Osman E. I. (2011): **Myeloid Leukemia: A Molecular Focus On Etiology & Risk Within Africa.** In: Koschmieder, S. (Ed.). Myeloid Leukemia-Basic Mechanisms Of Leukemogenesis.465-484.
- Ikediobi O, Badisa, V, Ayuk-Takem L, Latinwo, M, & West J. (2004): **Response Of Antioxidant Enzymes & Redox Metabolites To Cadmium-Induced Oxidative Stress In CRL-1439 Normal Rat Liver Cells.** Int. J. Mol. Med. 14 (1): 87-92.
- Inas A, Hany M, Rasha M, Mahmoud S. (2017): **Assessment Of Copper, Zinc & Nitric Oxide Status In Patients With Chronic Lymphocytic Leukemia.** Can Res Metastasis Vol 1 No 1
- Iraqi Cancer Board/Cancer Registry Center. (2000): **Iraqi Cancer Registry. Ministry Of Health. Baghdad- Iraq**
- Ivanova S, Vasileva, L .(2017): **Current & Emerging Strategies In Osteoporosis Management.** Curr. Pharm. Des.
- Jaffe ES, Harris N.L, Stein H, & Vardiman JW. (2001): **Pathology & Genetics Of Tumours Of Haematopoietic & Lymphoid Tissues.** Lyon, France:
- IARC Press. (2001):111-187. World Health Organization Classification Of Tumours Series.
- Jasim RH. (2011): **Evaluation Of Oxidative – Ant Oxidative Balance In Serum Of Patients With Non Acute Hepatitis Virus Type B.** International Conference On Chemistry & Chemical Process. Vol. 10, P:237 – 244.
- Jemal A, Siegel, R, Ward E, Murray T, & Thun M.J.(2007): **Cancer Statistics.** CA Cancer J.Clin., 57:43-66.
- Jemal A, Tiwari, RC, & Murray T. (2004): **Cancer Statistics, 2004.** CA Cancer J. Clin., 54:8-29.
- Jujic' A, Nilsson PM, Engstro'M, G, Hedblad B, & Melander O. (2014): **Atrial Natriuretic Peptide & Type 2 Diabetes Development – Biomarker & Genotype Association Study.** Plos ONE 9(2):1-6.
- Johnson S. (2001): **The Possible Crucial Role Of Iron Accumulationcombined With Low Tryptophan, Zinc & Manganese Incarcinogenesis.** Med Hypotheses.

- Johnston S D, Starrs, A P, Danids, C. B., & Orgeiny S. (2002): **Ontogeny Of The Pulmonary Surfactant & Antioxidant Enzyme Systems In The Viviparous Lizard,Tiliquarugosa.** Physiol & Biochem. Zoology. 15(3): 260-272.Jun 28
- Johnstone A. (2005) : **Gout – The Disease & Non-Drug Treatment – Hospital Pharmacist**, Vol. 12, 391-393.
- Jonathan J, Shuster, J.M, Falletta, D, Jeanette P, William M, Crist, G, Bennett H, & Barry L.D. (1990): **Prognostic Factors In Childhood T-Cell Acute Lymphoblastic Leukemia: A Pediatric Oncology Group Study.** Blood, Vol 75, No 1 (January 1) , Pp 166-173
- Jozefczak M. F, Remans, T, Vangronsveld, J,& Cuypers A. (2012): **Glutathione Is A Key Player In Metal-Induced Oxidative Stress Defenses.** Int. J. Mol. Sci. 13: 3145-3175
- Junqueira L. (2010): **Basic Histology. Mcgraw-Hill Companies. In The United States Of America. Cancer .ASTRO.69(5).1417-1423** In Atrial Natriuratic Peptides After Radiotherapy For Thoracic Esophagel
- KabatG,Rohan,T,& SalonenR.(2007):**Dose Excess Iron Play Arol In In Leukemia Patiants .Hemattology .9.44-48.**
- Kampa M, Hatzoglou A, Notas G, Damianaki A, Bakogeorgou E, Gemetz C, & Castanas E. (2000): **Wine Antioxidant Polyphenols Inhibit The Proliferation Of Human Prostate Cancer Cell Lines.** Nutr & Cancer . 37(92):223-233.
- Kanner, J., Harel, S. & Grant R. (1991) :Nitricoxide In Atherosclerosis As Antioxidant. Arch Biochembiophys. 289: 130-136
- KeherJC, Zilliges Y, Springer, A,Disney ,M.D. ;Ratner DD, Bouchier C, Seeberger P . H , Marsac N T , & Dittmann E . (2006): **A Mannan Binding Lectin Is Involved In Cell – Cell Attachment In A Toxic Strain Of Microcystis Aeruginosa.** Mol. Microbiol., 59 (3) : 893 – 906.
- KeiichiJ,Kengi,N,TomohiroK,&minakoO. (2007):Temporal Changes
- Ker, J.(2009):Diagnostic Heamatology.Springer-Verlag London.
- Keyaerts E, Vijgen L, Pannecouque C, Van Damme E, Peumans W, Egberink H, Balzarini J, & Van R. M. (2007) : **Plant Lectins Are Potent Inhibitors Of**

Coronaviruses By Interfering With Two Targets In The Viral Replication Cycle.

Antivir Res ., 75:179–187 .

- Khalid S, Moiz B, Naseem S, & Khurshid M. (2010): **Retrospective Review Of Pediatric Patients With Acute Lymphoblastic Leukemia: A Single Center Experience.** Indian J. Pathol.,: 53 : 704-710.
- Khan HA. (2007): **Benzene's Toxicity: A Consolidated Short Review Of Human & Animal Studies .** Human & Experimental Toxicology ,
- Khoshdel Z, Naghibalhossaini F, Abdollahi K, Shojaei S, Moradi M, Malekzadeh M. (2011): **Serum Copper & Zinc Levels Among Iranian Colorectal Cancer Patients.** Biol Trace Elel Res 2015;170:294-9. Doi: 10.1007/S1015-0483-4.
- Kim J Y, Kim Y M, Cho S K, Choi K S, & Cho M. (2008): **Noble T&em -Repeat Galectin Of Manila Clam Ruditapes Philippinarum Is Induced Upon Infection With The Protozoan Parasite Perkinsus Olsenii.** Developmental & Comparative Immunology J. Vol. 32, P 1131-1141.
- Kinlen, L. J. (1995): **Epidemiological Evidence For An Infective Basis In Childhood Leukemia [Editorial].** British Journal Of Cancer, 71:1–5.
- Knight K, Wade S, Balducci L. **Prevalence & Outcomes Of Anemia In Cancer: A Systematic Review Of The Literature.** Am J Med. (2004):Apr 5;116 Suppl 7A:11S-26S.
- Kollingj,Scherereb,Da Cunha AA,Da Cunha MJ,Wyse AT.(2011): **Homocysteine Induces Oxidative-Nitrative Stress In Heart Of Rats.** Prevention By Folic Acid. Cardiovasctoxicol11: 67–73.
- Krupanidhi S, Sreekumar A, & Sanjeevi C B. (2008): **Copper & Biological Health.** Indian J. Med Res. Vol. 28, P:448-461.
- Kryczek,I;Wei,S.&zou,L.(2007):**T H 17 & Regulatory T Cell Dynamics & The Regulation By IL-2 In Tumor Microenvironment .** J Immunol.178.
- Kufe DW, Advani S, & Weichselbaum R.R.(2000): **Cancer Gene Therapy .In: Bast, R.C.; Kufe, D.W.; Pollock, R.F.; Weichselbaum, R.R.; Holl&, J.F.; Ferri III, E. & Ganster, T.E. (Eds.). Cancer Medicine (5th Ed.). BC. Decker Inc. Canada.**

- Kuo C. Y Wong R. H., Lin J. Y, Lai J C, & Lee H. (2006): **Accumulation Of Chromium & Nickel Metals In Lung Tumors From Lung Cancer Patients In Taiwan.** Journal Of Toxicology & Environmental Health, Part A, 69(14), 1337-1344.
- Labib HA, Hassanein M, Etewa RL. (2014): **Serum Copper Is A Simple But Valuable Prognostic Marker In B-Cell Chronic Lymphocytic Leukemia.** Int J Hematol 100:575-81. Doi: 10.1007/S12185-014-1686-8.
- Lacklitz,B.(2003):**Adult Leukemia.A comprehensive Guide For Patients & Families.** Med.Line.10.1-9.
- Lam S K, & Ng T.B .(2011): Lectins: **Production & Practical Applications.** Appl Microbiol Biotechnol ., 89:45–55.
- Lamprecht M, Greilberger J, Oettl K. (2004): **Analytical Aspects Of Oxidatively Modified Substances In Sports & Exercises.** Nutrition 20:728–730
- Lanzkowsky P.(2011):**Manual Of Pediatric Hematology & Oncology (5th Ed.).**Burlington ,MA: Academic Press
- Larson R. A, & Anastasi J.(2008): **Acute Lymphoblastic Leukemia: Clinical Presentation , Diagnosis , & Classification .** In : Estey , E.H. ; Faderl , S.H. & Kantarjian , H.M. (Eds.). Hematologic Malignancies: Acute Leukemias . Springer . Berlin . PP: 109-119 . Leukemia Therapy .Oncologist.12.14-21.
- Lee J , Tsang W , Lee Y , Yang , S , Hung P . & Chen C . (2005): **Association Of GSTP1 Polymorphism & Survival For Esophageal .** American Association For Cancer Research .11 : 4749 – 4753.
- Lefta A A. (2017): **Biochemical Evaluation Of The Levels Of Oxytocinserotonin & Some Oxidative Stress Parameters In Sera Of Patients With Morbid Obesity.** ,M.S., Department Of Chemistry / Faculty Of Education For Girls/ University Of Kufa
- Lehihosh, M.; Ueda, M. & Budiyanto, A. (2003): **UV-Induced Skin Damage .** J. Toxicology. 189: 21-39.
- Lehtinen M, Koskela P, & Ogmundsdottir H. M. (2003): **Maternal Herpes Virus Infections & Risk Of Acute Lymphoblastic Leukemia In The Offspring.** American Journal Of Epidemiology, 158: 207–213.

- Liang D, & Pui C-H. (2005): **Childhood Acute Lymphoblastic Leukemia** . In : **Hoffbr& , A.V. ; Catovsky , D. ; & Tuddenham , E.G.D.** . (Eds.) . Postgraduate Hematology. 5th.Ed. . Blackwell . U.K. , PP: 542-560.
- Linet M.S, Schubauer-Berigan M.K, Weisenburger , D.D, Richardson , D.B, L&gren , O, Blair , A, Silver , S, Field , R.W. Caldwell , G, Hatch , M. & Dores G.M. (2007): **Chronic Lymphocytic Leukaemia: An Overview Of Aetiology In Light Of Recent Developments In Classification & Pathogenesis** . Br J Haematol ,139: 672–686 .
- Linet M.S, Wacholder S, & Zahm S.H. (2003): **Interpreting Epidemiologic Research: Lessons From Studies Of Childhood Cancer** . Pediatrics , 112(1): 218-232.
- Liu YC, Li F H, Dong B, Wang B, Luan W, & Zhang X J. (2007): **Molecular Cloning, Characterization & Expression Analysis Of A Putative C-Type Lectin (Fclectin) Gene In Chinese Shrimp Fenneropenaeus Chinensis**. Mol Immunol. Vol. 44, No. 4, P 598-607.
- Lombardi L, Newcomb E.W, & Dalla-Favera, R. (1987): **Pathogenesis Of Burkitt Lymphoma: Expression Of An Activated C-Myconcogene Causes The Tumorigenic Conversion Of EBV-Infected Human B Lymphoblasts**. Cell, 49:161-170.
- Losada M, & Alio L. (1997): **Malondialdehyde Serum Concentration In Type I Diabetic With & Without Retinopathy**. Doc-Ophthalmol. 93 (3) :223-229. (Sited By (الراشدي، 2001)
- Liu J, & Cordess J.F. (2004): **DNA Marker Technology & Their Applications In Aquaculture Genetics** , Aquaculture1-37.
- Lucio L. (1993): **Leukemia:A Genetic Disorder Of Haemopoietic Cells**. B.MJ., 307: 579-580.
- Maggio A.(2007):**Light & Shadows In The Iron Chelation Treatment Of Therapy In Myelodysplastic Syndrome** .Hematology .5.1-5.
- Maha A,Linda,V,Jocelyn,M. & Heather A.(2010):**Red Blood Cell**
- Malcolm A, Smith R.S, Howard D, Strickler, G.M, Lynn, A.; Gloeckler, R. & Martha, S.L.(1998):**Evidence That Childhood Acute Lymphoblastic Leukemia Is Associated**

With An Infectious Agent Linked To Hygiene Conditions. Cancer Causes & Control, 9, Pp. 285-298.

- Marie E, Gaine, Daniel J, Sharpe, James S, Smith, Hilary A.A, Colyer, Vivien M. Hodges, Terry R. Lappin, & **Ken I. (2017): Millsgata2 Regulates The Erythropoietin Receptor In T(12;21) Alloncotarget.** Sep 12; 8(39): 66061–66074.
- Marnett L. (1999): **Lipid Peroxidation-DNA Damage By Malondialdehyde.** Mutat. Res. 424 (2): 83-95.
- Mary E, & JacobR.(2007):**Recent Developments In Acute Myelogenous**
- Masaki H, Astumi T, & Sakurai H. (1995): **Deteection Of Hydrogen Peroxide & Hydroxyl Radicals In Murine Skin Fibroblasts Under UVB Irradiation.** Biochimbiophys Res Comm. 206: 474-479.
- Matlab N, & Jasim R. (2017): **Assessment Of The Cellular Balance For Production Of Oxidants – Antioxidants In Serum Samples Of Patients With Advanced Stages Of Cancer Tumors.** J. International Peer Reviewed , Published Online On 27th May
- Mazdak H, Yazdekhasti F, Movahedian A, Mirkheshtin, Shafieian M. (2010): **The Comparative Study Of Serum Iron, Copper, & Zinc Levels Between Bladder Cancer Patients& A Control Group.** Inturolnephrol. 42:89-93.
- Mazdak H, Yazdkhasty F, Mirkhesht N, Shafieyan M, Behzad E. (2010):**Serum Iron, Copper, Zinc Levels In Bladder Cancer Patients In Comparison With Healthy Individuals.** Res Med 34:56-60.
- McKinney P A, Juszczak E, Findlay E, Smith K, & Thomson C S. (1999): **Pre- & Perinatal Risk Factors For Childhood Leukaemia & Other Malignancies: A Scottish Case Control Study.** British Journal Of Cancer, 80: 1844–1851.
- McNally RJE, & Eden TOB. (2004): **An Infectiousaetiology Of Childhood Acute Leukaemia: A Review Of The Evidence.** Br. J. Haemato1., L27: 243-263.
- Merav D, Yair P, Mingyang L, Yang-Sung S, Ola Karmia, Sagi Tamira, Fang BaicDE, Luhua Songf, Patricia A. Jenningsg, Eli Pikarskyh, Tamar Geigerb, José N. OnuchiccDE. (2016) :**Ron Mittlerf,2, & Rachel Nechushtaia., Breast Cancer Tumorigenicity Is Dependent On Highexpression Levels Of NAF-1 & The Lability Of Itsfe-S Clusters.** PNAS | September 27, Vol. 113 No. 39

- Miller K B , & Daoust, P. R. (2000): **Clinical manifestations of acute myeloid leukemia In : Hematology Basic Principles & Practice** . 3rd ed. Hoffman R., Benz EJ, Shattil SJ et al (eds.). Churchill Livingstone, Edinburgh, pp999-1023.
- Ministry Of Health , Iraqi Cancer Board. (2017) : **Results Of Iraqi Cancer Registry 2017** .
- Ministry Of Health , Iraqi Cancer Board(1993): **Results Of Iraqi Cancer Registry 1989** .
- Ministry Of Health , Iraqi Cancer Board (2008): **Results Of Iraqi Cancer Registry 1993** .
- Mittal,P. &. Meehan, K.(2001):**The Acute Leukemias.Clinical Review Article.**
- Milne E, Royle J.A, Bennett L, Klerk, N, Bailey H, Bower C, & Miller M. (2011): **Maternal Consumption Of Coffee & Tea During Pregnancy & Risk Of Childhood ALL: Results From An Australian Case–Control Study.** Cancer Causes Control, 22:207–218.
- Miyauchi A,&hruska K.(1990): **Osteoclast Cytosolic Calcium.** J. Cell Bio.,11:2593.
- Molina-Lopez J, Florea, D, Herrera-Quintana, L , Adam V , Kizek, R , Quintero ,B& Planells, E Et Al. (2015): **Biomarkers Of Zn Status Associated To Colorectal Cancerpathogenesis** .Journal Of Metallomics & Nanotechnologies, 2: 11—18.
- Morgan W T, & Watkines W M.(2000): **Unraveling The Biochemical Basis Of Blood Group ABO & Lewis Antigenic Specificity.** Glycoconj. J. 17:501 – 530.
- Morikis VA, Radecke C, Jiang Y, Heinrich V, Curry FR, Simon SI. (2015): **Atrial Natriuretic Peptidetdown-Regulates Neutrophil Recruitment On Inflamed Endothelium By Reducing Cell Deformability &resistance To Detachment Force.** Biorheology52, 447–463.
- Moriyama T, Yang YL, Nishii R Et Al. (2013):**Novelvariants In & Thiopurine Intolerance In Children With Acute Lymphoblastic Micronutrients/Wheat_Maize_Fort.Pdf** [Last Accessed On Dec].
- Mody R , Joshi S , & Chaney W . (1995): **Use Of Lectins As Diagnostic & Therapeutic Tools For Cancer.** J. Pharmacol. Toxicol. Methods.,33:1 –

- Mostafa T, Rashed L A, Osman I, & Marawan M.(2014): **Seminal Plasma Oxytocin & Oxidative Stress Levels In Infertile Men With Varicocele.** First International Journal Of &rology. Vol. 47, No. 2, P:209-213.
- Movafagh A, Ghanati K, Amani D, Mahdavi SM, HashemiM, Davood Zare Abdolahi Z, Darvish H, Gholami M, HaghNejad L, Mosammami S, Safari S, Darehgazani R., Rahimi M, Naini NS, Motlagh MG, Zamani M.(2013):**The structure Biology & Application of Phytohemagglutinin (PHA) in Phytomedicine: With special up-to-dated references to lectins.** Journal of Paramedical Sci.; 4.
- Mustafa K, Ibrahim K, Mutalip C, Fatih C. (2013): **The Relationship Between Trace Elements & Ceruloplasmin With Severity Offascioliasis Patients.** J. Acta Medica Mediterranea, , 29: 177.
- Nahleh Z, Bhatt M, & Mal, M.(2011): **How To Reduce Your Cancer Risk: Mechanisms & Myths.** International Journal Of General Medicine. PP277-287.
- Nasir T A, & Kabir A. (2005): **Chemotherapy Induced Toxicities In Therapeutics Trials Of Acute Lymphoblastic Leukemia.** Mymensingh Med. J. , 14 (1) : 61 – 6.
- Nathanson D, Frick M, Bengt Ullman B,& Nyström T.(2016):**Exenatide Infusion Decreases Atrial Natriuretic Peptide Levels By Reducing Cardiac Filling Pressures In Type 2 Diabetes Patients With Decompensated Congestive Heart Failure.** Diabetol Metab Syndr., 8:5.
- Naumburg E, Bellocchio, R, Cnattingiu S, Jonzon, A. & Ekbom, A. (2002): **Perinatal Exposure To Infection & Risk Of Childhood Leukemia Med.** Pediatroncol., 8:391-397.
- Nemeroff C B, & P J. (2012):**Goldschmidt-Clermont, “Heartache& Heartbreak-The Link Between Depression & Cardiovascular disease,”** Nature Reviews Cardiology, Vol. 9, No. 9, Pp. 526–539,,
- Nielsen F, Davis C, & Milne D. (2003):**Lowdietary Zinc & Coppernegatively Affect Plasma & Urine Indicators Of Bone Health .** USDA , ARS , Gr& Forks Human Nutrition Research Centergr& Forks , N.D.
- Nielsen F H. (1980): **Effect Of Form Of Iron On The Interaction Between Nickel & Iron In Rats: Growth & Blood Parameters.** J Nutr. Vol. 110, P: 965-73.

- Nielsen F H. (2008): **Ultratrace Elements Possible Importance For Human: A Update. Hyper Trace Elements & Disease.** Vol. 101, P:355-376.
- Ng T B , Ngai PH , Xia L . (2006): **An Agglutinin With Mitogenic & Antiproliferative Activities From The Mushroom Flammulina Velutipes.** Mycologia 98:167–171 .
- Ngai P, & Ngi T. (2004): **Isolation Of A Mushroom (Ganoderma Carpense) Lectin With Spectacular Thermo Stability, Potent Mitogenic Activity On Splenocytes & Antiproliferative Activity On Tumour Cells.** Biochem. Biophys. Res. Commun., 314, 988- 993 .
- Ngai P.H, & Ng TB . (2007): **A Lectin With Antifungal & Mitogenic Activities From Red Cluster Pepper (Capsicum Frutescens) Seeds.** Appl Microbiol Biotechnol 74:366–371.
- Nojiria TB, Hosodac H, Tokudomea T, Miurack, Shin Ishikanea, Kentaro Otanic, Ichiro Kishimotod, Yasushi Shintanib, Masayoshi Inoueb, Toru Kimuraa,B, Noriyoshi Sawabatab, Masato Minamib, Tomoyuki Nakagirib, Soichiro Funakib, Yukiyasu Takeuchie, Hajime Maedae, Hiroyasu Kidoyaf, Hiroshi Kiyonarig, Go Shioig, Yuji Araih, Takeshi Hasegawai, Nobuyuki Takakuraf, Megumi Horij, Yuko Ohnoj, Mikiya Miyazatoa, Naoki Mochizukik, Meinoshin Okumurab, & Kenji Kangawaa 1. (2015):**Atrial Natriuretic Peptide Prevents Cancer Metastasis through Vascular Endothelial Cells.**J. Medical Sciences .,March 31, . Vol. 112 . No. 13 | 4091
- Noll C, Hamelet J, Matulewicz E, Paul JL, Delabar JM, Janel N.(2009): **Effects Of Red Wine Polyphenolic Compounds On Paraoxonase-1 & Lectin-Like Oxidized Low-Density Lipoprotein Receptor-1 In Hyperhomocysteinemic Mice.** J Nutrbichem20: 586–596.
- Nomura T, Huang W C, Zhau H E, Wu D, Xie Z, Mimata H, Zayzafoon M, Young A N, Marshall F F, Weitzmann M N, & Chung L W.(2006): **B2-Microglobulin Promotes The Growth Of Human Renal Cell Carcinoma Through The Activation Of The Protein Kinasea, Cyclic Amp-Responsive Element-Binding Protein, & Vascular Endothelial Growth Factor Axis.** Clin Cancer Res. Vol. 12, No. 24, P 7294-7305.
- Ohrr HC, Nam CM, & Lee SH. (1991): **A Cohort Study On The Relationship Between Pesticide Use & Mortality, & Cancer Mortality.** Korean J Prev Med 24:390–399.

- Olayinka E T, & Olukowade I L. (2010): **Effect Of Amoxicillin / Clavulanic Acid (Augmentin 625) On Antioxidant Indices & Markers Of Renal & Hepatic Damage In Rats.** J. Toxicol. Environ. Health. Sci. 2(6):85-92.
- Onciu M, Lai R, Vega F, Bueso-Ramos C, & Medeiros LJ. (2002): **Precursor Tcell Acute Lymphoblastic Leukemia In Adults: Age-Related Immunophenotypic, Cytogenetic, & Molecular Subsets.** Am. J. Clin. Pathol., 117:252-258.
- Opitz L, Salakang J, Büttner H, Reichl U, & Wolff M W. (2007): **Lectin-Affinity Chromatography For Downstream Processing Of MDCK Cell Culture Derived Human Influenza A Viruses.** Vaccine. Vol. 25, P 939-947.
- Ortiz-Ardila AE, Correa-Cuadros JP, Celiz-Zambrano CA , Rodriguez-Bocanegra MX, Robles-Carmago J, Sequeda-Castañeda LG. (2017):**Antioxidant & Antimicrobial Capacity Of Cecropiamutisianamildbr. (Cecropiaceae) Leave Extracts.** Emir J Food Agric.; 29(1):25-35.
- Ozgur E, Halit D, Erkan D, Ramazan E , Tugba G ,Canan D , Edip G ,Nedim T,& Mehmet F . (2013): **Plasma Concentrations Of Some Trace Element & Heavy Metalsin Patients With Metastatic Colon Cancer .** Journal Of Cancer Therapy, 4: 1085-1090
- Ozmen H F A, Erulas F, Karatas A, Cukurovali & Yalcin O.(2006) :**Comparison Of The Concentration Of Trace Metals (Ni, Zn, Co, Cu & Se), Fe, Vitamins A, C & E, & Lipid Peroxidation In Patients With Prostate Cancer,”** Clinical Chemistry & Laboratory Medicine, Vol. 44, No. 2, , Pp. 175-179.
- Palmieri B, &Sblendorio V. (2007): **Oxidative Stress Tests : Overview On Reliability & Use. European Review For Medical & Pharmacological Sciences.** Vol. 11, P:309 – 342.
- Pages F,Berger A,& Camus M.(2005):**Effector momory T cells ,early metastasis & survival in colorectal cancer .**N Engl.J.Med.353.205- 209.
- P&ey S K, & Banik RM. (2012):**Selection & Optimization Of Nutritional Constituents For Enhanced Production Of Alkaline Phosphatase By Bacillus Licheniformis MTCC 1483,** J. Of Agricultural Technology;8(4): 1317-1333.

- Papanikolaou G.& Pantopoulos K.(2005): **Iron Metabolism & Toxicity.** *Toxicol App.L Phar .,202:199-211.*
- Paredes-Aguilera R, Romero-Guzman L, Lopez-Santiago N, Burbano-Ceron L, Camacho-Del Monte O. & Nieto-Martinez S. (2001): **Flow Cytometric Analysis Of Cell-Surface & Intracellular Antigens In The Diagnosis Of Acute Leukemia.** *Am. J. Hematol., 68:69-74.*
- Parolini M, Romano M, Caprioli M., Rubolini D, & Saino N. (2015): **Vitamine Deficiency In Last-Laid Eggs Limits Growth Of Yellow-Legged Gull Chicks.** *Funct. Ecol. 29, 1070-1077.*
- Pasha K, Reddy DM, Kumar RB, Ayesha Q, Srinivasulu M, Et Al. (2017): **Study Of Oxidative Stress & Antioxidant Status In Ascitic Patients With Ovarian Cancer In Comparison To Liver Cirrhosis Patients.** *MOJ Proteomics Bioinform 6(1): 00186.* DOI: 10.15406/Mojpb.2017.06.00186
- Pathak S.K, Sharma RA, & Mellon J. (2003): **Chemoprevention Of Prostate Cancer By Diet-Derived Antioxidant Agent & Hormonal Manipulation.** *Int. J. Oncol; 22:5-13.*
- Percy MJ.(2008):**Again – Of – Function Mutation In The HIF2A Gene In The Familial Erythrocytosis .***N Eng J Med .8.162.200.*
- Plastaras J P, Guengerich F P, Nebert D W, &Marnett L J. (2000): **Xenobiotic-Metabolizing Cytochromes P450 Convert Prostaglandin Endoperoxide To Hydroxyheptadecatrienoic Acid & The Mutagen, Malondialdehyde.** *J Biol Chem. Vol. 275, P:11784 –11790.*
- Plummer M, De Martel C, Vignat J, Ferlay J, Bray F, Franceschi S.(2016):**Global Burden Of Cancers Attributable To Infections: A Synthetic Analysis.** *Lancet Glob Health. Sep;4(9):E609-16.*
- Potter L R.(2011):**Natriuretic Peptide Metabolism Clearance & Degradation.** *FEBS Journal., 278 : 1808–1817.*
- Porporato P E N, Filigheddu J M B S, Pedro G, Kroemer, & Galluzzi.(2017): **“Mitochondrial Metabolism & Cancer,”** *Cellresearch.,*

- Pradhan V, Gorakshakar A. (2011): Are Mannose-Binding Lectin Gene 2 (MBL2) Polymorphisms & MBL Deficiency Associated With Infections?. Indian J Hum Genet.;17(2):45-7.
- Qian SY. & Buettner G R. (1999): **Iron & Dioxygen Chemistry Is An Important Route To Initiation Of Biological Free Radical Oxidation: An Electron Paramagnetic Resonance Spin Trapping Study.** Free Radical Biol. & Med.26 (11/12). 1447-1456.
- Quesenberry M S, Ahmed H, Elola M T, O'Leary N, & Vasta G R. (2003): **Diverse Lectin Repertoires In Tunicates Mediate Broad Recognition & Effector Innate Immune Responses.** Integrative & Comparative Biology. Vol. 43, No. 2, P323-330.
- Rana K. Mohammed & Salah M. (2016): **Determination Of Some Trace Element Levels In Iraqi Male Patients With Colorectal Cancer**. Ibn Al-Haitham Jour. For Pure & Appl. Sci. Vol. 29 (2).
- Rao DS, Shih MS, & Mohini R. (1993): **Effect Of Serum Parathyroid Hormone & Bone Narrow Fibrosis On The Response To Erythropoietin Uremia.** Eng. J. Med., 328: 171 – 175.
- Rao PN, Hayworth-Hodge R, Carroll A.J, Bowden DW, & Pette-Nati MJ.(1994) : **Further Definition Of 20q Deletion In Myeloid Leukemia Using Fluorescence In Situ Hybridization . Blood ,** 84:28212823 .
- Rasha H, Hathama R, & Majed K. (2011): **Detection, Isolation, Purification, & Characterization Of Mannose Binding Lectin (Manbl) From Patients With Different Kidney Diseases & Healthy Individuals.** Pakistan Journal Of Chemistry.Vol. 1, No. 2, P 4-15.
- Raymond R W. (2007): **Biochemistry Of Cancer. In: Cancer Biology.** Section 1.P 108-120.
- Reya T, Morrison SJ, Clarke MF, & Weissman IL. (2001): **Stem Cells, Cancer, & Cancer Stem Cells.** Nature, 414:105.
- Rice E W. (1962): **Ceruloplasmin Assay In Serum: Standardization Of Ceruloplasmin Activity In Terms Of International Enzyme Unit "Standard Methods Of Clinical Chemistry".** 4th Edition, Siligson D., New York, Academic Press.

- Ries L, Smith M, & Gurney J. (1999): **Cancer Incidence & Survival Among Children & Adolescents:** United States SEER Program 1975–1995. [NIH Pub.No. 99-4649]. Bethesda, MD: National Cancer Institute, SEER Program.
- Reis L A G, Melbert D, & Krapcho M. (2008). **SEER cancer statistics review, 1975–2005. Bethesda: National Cancer Institute.** http://seer.cancer.gov/csr/1975_2005/, based on 2007 SEER data submission, posted to SEER web site 2009.
- Robert L, Gearhart J, Hogan B, Melton D, Pedersen R, Thomson J, Thomas E, & West, M. (2006): **Essentials Of Stem Cell Biology.** Elsevier Inc.
- Robison L, & Ross J. (1995). **Epidemiology of leukaemias & lymphomas in childhood.** In **Bailliere's Clinical Paediatrics** (Chessells J, Hann I, eds). London: WB Saunders Co., pp pp. 639-657.
- Roger K, Low MD, Marshall L, & Stoller M.D.(1997):**Uric Acid Related Nephrolithiasis ,Urologic Of North America.** 24:135-148 .
- Rogers K. (2011): **Blood Physiology & Circulation.** Encyclop Britannica, Inc.
- Roos A, Daha M R, Pelt J, & Berger S P. (2007): **Mannose-Binding Lectin & The Kidney.** Nephrol Dial Transplant. Vol. 22, P3370-3377.
- Ross J A, Spector L G, & Davies S M. (2005): **Biological Basis Of Cancer & Blood Disorder. Etiology Of Childhood Cancer:** Recent Reports. Pediatric Blood & Cancer, 45: 239–241.
- Rothman KJ GS, Lash TL.(2008): **Modern Epidemiology, 3rd. Ed.: Lippincott Williams & Wilkins.**
- Ruddon RW. (2007): **Cancer Biology .** 4th Ed. Oxford University Press, Inc. New York . Pp:321-351.
- Sadzuka Y, Sugiyama T, & Hirota S. (1998): **Modulation Of Cancer Chemotherapy By Green Tea.** Clin. Cancer Res. 4:153-156.
- Saedi TA, Noor SM, Ismail P, Othman F. (2014):**The Effects Of Herbs & Fruits On Leukaemia.** Evid Based Complement Alternat Med, 2014;: 494136.
- Sallenbach S, Thiel S, Aebi C, Otth M, Bigler S, Jensenius JC Et Al. (2011):**Serum Concentrations Of Lectin-Pathway Components In Healthy Neonates, Children & Adults: Mannan-Binding Lectin (MBL) M-, L-, & H-Ficolin, & MBL-Associated Serine Protease-2 (MASP-2).** Pediatr Allergy Immunol.;22(4):424-30.

- Seenaa A. (2014): **Study Of Some Biochemical Parameters In Iraqi Children With Acute Lymphoblastic Leukemia .** Baghdad Science Journal Vol.12(2)2015
- Sastre-Serra J, Company MM, Garau I, .(2010): **Estrogen Down-Regulates Uncoupling Proteins & Increases Oxidative Stress In Breast Cancer.** Free Radicbiol Med 48: 506–512
- Schrag M, Mueller C, Zabel M, Crofton A, Kirsch WM, Ghribi O, Squitti R, Perry G. (2013): **Oxidative Stressin Blood In Alzheimer's Disease & Mild Cognitive Impairment: A Meta-Analysisneurobiol. Dis**59, 100–110.
- Serafino A., & Pierimarchi P. (2014): **Atrial Natriuretic Peptide: A Magic Bullet For Cancer Therapy Targetingwnt Signaling & Cellular Ph Regulators.** J.,Current Medicinal Chemistry, 21, 2401-2409 2401.
- Seiter J, & Dutson E. (2007): **The effect of compliments on tippingbehavior in hairstyling salons.** Journal of Applied Social Psychology, 37, 1999–2007.
- Sewerynek J, Wiktorska J, Nowak D, & Lewinski M. (2000): **Methimazole Protection Against Oxidative Stress Induced By Hyperthyrodism InGraves Disease.** Endocrine Regulations34 :
- Schlueter N, De Sterke A, Willmes M, Spranger J, Jordan J,& Birkenfelda L. (2014): **Metabolic Actions Of Natriuretic Peptides & Therapeutic Potential In The Metabolic Syndrome.** Pharmacology & Therapeutics., **144** : 12–27.
- Singh K, Kaur M, Rup PJ, Singh J. (2009):**Effects of Indian coraltree, Erythrina indica lectin on eggs & larval development of melon fruitfly, Bactrocera cucurbitae.** J. Environ. Biol.; 318: 509-514. Sitohy M., Doheim M., Badr H. Isolation & characterization
- Sharon N , & Lis H .(2004): **History Of Lectins: From Hemagglutinins To Biological Recognition Molecules.** Glycobiol.,14(11) : 53 – 62 .
- Sheikh N, Abid R, Qureshi AW, & Basheer T.(2012): **Expression Of Low Molecularweight Proteins In Patients With Leukaemia .**West Indian Med J 61 (3): 235-239

- Shils ME ,&Shike M. (2006): **Modern Nutrition Inhealth & Disease.** Lippincott Williams &Wilkins
- Shu X.O, Perentesis JP, Wen W, BuckleyJ.D, Boyle E, Ross JA, & Robison LL. (2004): **Parental Exposure To Medications & Hydrocarbons & Ras Mutations In Children With Acutelymphoblastic Leukemia: A Report From The Children's Oncology Group .** Cancer Epidemiol Biomarkers Prev ,13(7):1230-1235.
- Steinberg A G. (I960): **The Genetics Of Acute Leukemia In Children.** Cancer (Philad.), 13: 985 Pp.
- Steven LA, & Levy AS. (2005): **Measurement Of Kidney Function.** Medical Clinical North America.,89:457-473.
- Suzy V,& Frank M. (2013): **Iron & Cancer: More Ore To Be Minednat Rev Cancer.** May ; 13(5): 342–355.
- Sinner PJ, James R, Cerhan JR, Folsom AR, & Ross JA. (2005) : **Positive Association Of Farm Or Rural Residence With Acute Myeloid Leukemia Incidence In A Cohort Of Older Women .** Cancer Epidemiol Biomarkers Prev ,14(10):2446- 2448 .
- Smith M A, Simon R. & Strickler HD. (1998): **Evidence That Childhood Acute Lymphoblastic Leukemia Is Associated With An Infectious Agent Linked To Hygiene Conditions.** Cancer Causes & Control,9: 285–298.
- Sohal RS. (2002): **Oxidative Stress Hypothesis Of Aging.** Free Radicbiol Med 33: 573–574
- Solvason N, & Kearney JF. (1992): **The Human Fetal Omentum: A Site Of B Cell Generation.** J. Exp. Med., 175:397.
- Song J, Sun X, Sokoll L J, Maki M, Chan D W, & Zhang Z. (2008): **Prevalence & Characteristics Of Autoantibodies To Annexin A11 In Different Types Of Human Cancer.** Abstracts From The 4th Annual USHupo Conference, Bethesda.
- Steine-Martin E.A, Lotspeich-Steininger CA, & Koepke JA. (1998): **Clinical Hematology: Principles, Procedures, & Correlations.** 2nd Ed. Philadelphia: Lippincott, 326–327.
- Stevens A, & Lowe J.(2000): **Pathology, (2nded), Mosby,** London. Pp: 79-104

- Suwimol J. (2005): **Malondialdehyde (MDA), A Lipid Oxidation Product. Free Radicals In Biology & Medicine.** Vol. 77, No. 222, P:1 – 10.
- Swanson MD, Winter HC, Goldstein IJ,& Markovitz DM . (2010): **A Lectin Isolated From Bananas Is A Potent Inhibitor Of HIV Replication.** J Biol Chem., 285:8646–8655 .
- Saadia R, Asma E, Tariq M, & Asma R . (2016): **Distributive Variability Of Selected Trace Elements In The Blood Samples Of Leukemia Patients.** Journal Of Heavy Metal Toxicity & Diseases ,Vol 1.
- Switzerl& . (2009) : H P://Www.Who.Int/Nutrition/Publications/
- Takashi B, Hiroshi H, Takeshi T, Koichi M, Shin I, Kentaro O, Ichiro K, Yasushi S, Masayoshi I, Toru B, Noriyoshi S, Masato M, Tomoyuki N, Soichiro F, Yukiyasu T, Hajime M, Hiroyasu K, Hiroshi K, Go S, Yuji A, Takeshi H, Nobuyuki T, Megumi H, Yuko O, Mikiya M, Naoki M, Meinoshin O, & Kenji K. (2015): **Atrial Natriuretic Peptide Prevents Cancer Metastasis through Vascular Endothelial Cells.** J. Pnas , March 31vol. 112 No. 13.
- Terstappen LW, Huang, S. & Picker, L.J. (1992): **Flow Cytometric Assessment Of Human T-Cell Differentiation In Thymus & Bone Marrow.** Blood, 79:666-667.
- Terwilliger T., & Abdul-Hay M., (2017): **Acute Lymphoblastic Leukemia: A Comprehensive Review &2017 Update ,**Blood Cancer Journal 7, E577
- Thomas K,Daniel B,LipkaC,& Thomas F.(2010):**FLT3 as therapeutic target in AML .still challenging after all these years .**Blood .116(24). 1-19.
- Tielker D, Hacker S, Loris R,Strathmann M,Wingender J, Wilhelm, S Rosena F, & Jaeger K E . (2005): **Pseudomonas Aeruginosa Lectin Lec B Is Located In The Outer Membrane & Is Involved In Biofilm Formation.** Microbiol.,151:1313 - 1323.
- Tirape A, Bacque C, Brizard R, V&enbulcke F, & Boulo V. (2007): **Expression Of Immune-Related Genes In The Oyster Crassostrea Gigas During Ontogenesis.** Dev Comp Immunol. Vol. 31, No. 9, P 859-873.
- Tormos C, Javier C F, Garcia MJ, Garrido F, Jover R, & Saez GT. (2004): **Role Of Glutathione In The Induction Of Apoptosis & C-Fos & C -Jun Mrnas By Oxidative Stress In Tumor Cells.** Cancer J. 208 (1): 103-113.

- Tournier C, Feron G, Sulmont-Rossé C. (2016): **Salivary Flow Decreases In Healthy Elderly People Independently Of Dental Status & Drug Intake.** J. Texture Stud., 47, 353–360.
- Toyokuni S. (2002) :**Iron & Carcinogenesis: From Fenton Reaction To Target Genes.** Redox Rep 7:189-197.
- Travis LB, Holowaty EJ, Bergfeldt K, Lynch CF, Kohler BA, Wiklund T, Curtis RE, Hall P, &ersson M, Pukala E, Sturgeon J, & Stovall M. (1999) : **Risk Of Leukemia After Platinum –Based Chemotherapy For Ovarian Cancer .** N Engl J Med ,340(5):351-357 .
- Tsuboi H, et al. (2003): **Analysis of the pyruvate permease gene (JEN1) in glucose derepression yeast (*Saccharomyces cerevisiae*) Isolated from a 2-deoxyglucose-tolerant mutant, & its application to sake making.** Biosci Biotechnol Biochem 67(4):765-71
- Turkdogan MK, & Hekim H. (1998): **Lipid Peroxidation & Upper Gastrointestinal Cancers.** Eastern J. Med. 3(2): 39-42.
- Turner MC,Wigle DT, & Krewski D. (2010): **Residential Pesticides & Childhood Leukemia: A Systematic Review & Meta-Analysis.** Environ. Health Perspect., 118:33–41.
- Udeogu E, Awuchi C. (2016):**Effect Of Some Processing Methods On Hemagglutinin Activity Of Lectin Extracts From Selected Grains (Cereals & Legumes)** I. J., Advanced Academic Research Vol. 2, Issue 12 (December
- Uhlman MA, Bing MT, Lubaroff DM. (2014): **Prostate Cancer Vaccines In Combination With Additional Treatmentmodalities.** Immunol. Res., 59, 236–242.
- Urabe A.(2005):**Erythropoietin Determination In Clinical Medicine.** Pub Med.
- Ursula R,Mauro F, Luís G, Maria D. (2006):**Nutritional Assessment & Serumzinc & Copper Concentrationamong Children With Acutelymphocytic Leukemia: A Longitudinal Study.** Sao Paulo Med J.;124(6):316-20.
- Ursula RS, Mauro F, Luís G T, Maria RL. (2006): **Nutritional Assessment & Serum Zinc & Copper Concentration Among Children With Acute Lymphocytic Leukaemia: A Longitudinal Study.** Sao Paulo Medical Journal, 124: 316- 320

- Valent,P.(2008):**Low erythropoietin production as nononcogenic cofactor transfusion independence Following The Initiation Of Iron Chelation**
- Veena S, Munish K, Kiran D, Rakesh D, & Ragini S. (2012): **Erythrocytic Pyruvate Kinase & Malondialdehyde Levels In Acute Leukaemia Patients.** JCDR .6:3- (361-363)
- Waalen J, Felitti V, Gelbart T, & Beutler F. (2008): **Screening For Hemochromatosis By Measuring Fe Rritin Levels.Amor Effective Approach**
- Wang X, Raulji P, Mohapatra SS, Patel, R.; Hellermann G, Kong X, Vera PL, Meyer-Siegler KL, Coppola D, Mohapatra S. (2011): **Natriuretic Peptide Receptor A As A Novel Target For Prostate Cancer.** Mol. Cancer,10, 56.
- Wartenberg D, Groves FD, & Adelman AS. (2008): **Acute Lymphoblastic Leukemia: Epidemiology & Etiology . In : Estey , E.H. ; Faderl , S.H. & Kantarjian, H.M. (Eds.). Hematologic Malignancies: Acute Leukemias . Springer . Berlin . PP: 77-95.**
- Wani IH, Makhdoomi M A,Sakeena RafiqS, Ganie S A, Khan M , Mustafa K G, Ganai B. A , Masood A , & Hamid R. (2011): Isolation & Partial Characterization Of A Lectin From Prunella Vulgaris& Evaluation Of Its Potential Antimicrobial Activity .J Pharm :4(10): 3531-3534 .
- Wang Z , Zhang K, Sun X, Tang K, Zhang J. (2005): **Enhancement Of Resistance To Aphids By Introducing The Snowdrop Lectin Gene Gna Into Maize Plants.** J Biosci 30:627–638 .
- Wang J, Lee b C, Hsieh J, ChenY, & Hsu B.(2013): **Inverse Association Of Long-Acting Natriuretic Peptide With Metabolic Syndrome In Congestive Heart Failure Patients.** Diabetology & Metabolic Syndrome., 5(19).
- Wartenberg D, Groves FD, & Adelman AS. (2008): **Acutelymphoblastic Leukemia: Epidemiology & Etiology. In: Estey, E.H.; Faderl, S.H. & Kantarjian, H.M. (Eds.). Hematologic Malignancies: Acute Leukemias.** Springer. Berlin. PP: 77-95.
- Wearne K A , Winter H C , O'Shea K , & GoldsteinIJ.(2006): **Use Of Lectins For Probing Differentiated Human Embryonic Stem Cell For Carbohydrates.** Glycobiol.,16(10):981 – 990.

- WHO/ FAO .[2002]: **Zinc. In: Human Vitamin & Mineral Requirements. Report of a Joint FAO/WHO Expert Consultation.** FAO, Rome; p: 257-270.
- WHO, FAO.(2000): **Meeting Report: Interim Consensus Statement, WHO, Regional Office For Europe, Air Quality Guidelines. Second Edition,** Copenhagen, Denmark.
- WHO. (2007): **Recommendations On Wheat & Maize Fl Our Fortification.**
- Wood B, Borowitz M, Abraham N, Massey H, Bluth M Miller J, Threatte G, Hutchison R, Unger, E. & Lifshitz, M. (2007): "**Henry's Clinical Diagnosis & Management BY Laboratory Methods**", Twenty First Edition Pp.599-600.
- World Cancer Research Fund & American Institute for Cancer Research. (2014)Available at: <http://www.diet&cancerreport.org/>. Accessed August 19,.
- Wood J N D D, Glynn B, Phillips M D, Hauser. (2007): **The perception of rational goaldirectedaction in non-human primates.** Science 317, 1402
- Yamanishi,H.;Kimura, S. & Yanagihara, T. (2005): **Fully Automated Of Serum Iron Measurements** .Clin.Chem.40.540-551.Cromosomal Modifications. Int. J. Cancer, 125(8):1764-1770.
- Yang WC .(2015): **Iron Metabolism & Leukemia Advanced Techniques In Biology & Medicineadv** Tech Biol Med 2015, 3:1
- Yaris F, Dikici M, Akbulut T, Yaris E, & Sabuncu H. (2004): **Story Of Benzene & Leukemia : Epidemiologic Approach Of Muzafferakosy** . J Occup Health ,46: 244-247 .26: 677–685.
- Yelinova V, Glazachev Y, Khramtsov V, Kudryashova L, Rykova V, Salganik R. (1996): **Studies Of Human & Rat Bloodunder Oxidative Stress: Changes In Plasma Thiol Level, Antioxidant Enzyme Activity, Protein Carbonyl Content, &fluidity Of Erythrocyte Membrane.** Biochimbiophysrescommun. 221:300-3.
- Yu Y, Kovacevic Z, Richardson DR. (2007): **Tuning Cell Cycle Regulation With An Iron Key.** Cell Cycle 6: 1982-1994.
- Zaki FS . (2007) : **Purification & Characterizatiuon Of The Surface Mannos Specific Lectin From Escherichia Coli . Msc . Thesis,** Genetic Engineering & Biotechnology Institute,Baghdad University.

- Zuo X, Chen J, Zhou X, Li X, & Mei G. (2006): **Levels Of Selenium, Zinc, Copper, & Antioxidantenzyme Activity In Patients With Leukemia.** Biological Trace Element Research. 114 (1-3): 41-53.
- Zur H. (1996): **Papilloma Virus Infection: A major Cause Of Human Cancer.** Biochem. Biophys. Acta., 1288:155-159.
- Zur H. (2009): **Childhood Leukemias & Other Hematopoietic Malignancies: Interdependence Between An Infectious Event & Blood** (9).100-110.

Summary

The rate of cancer infection has increased with a clear rise in the incidence of leukemia in Iraq's common diseases in 2017, which was the seventh place in 1989, as follows. Generally, about 10 among 100,000 people are infected with leukemia, male have the biggest ratio between the patients with leukemia, finally, Acute Lymphocytic Leukemia is increased at patients with 3 to 7 years old. During the period from the beginning of February 2016 to the first week of 2017 in the Center of Oncology of Hematology in the medical city of Hussein in Karbala', 30 patients with acute lymphocytic leukemia their age were ranged from 2-13 years old (19 male and 11 female), without familiar history with cancerous disease. The samples were collected before treatment with chemotherapy, and they were follow-up during the stages of treatment. The control group included 30 samples ranging from 1-13 years (18 males and 12 females)

Numerous biochemical and histological parameters were assessed in the samples of study patients before and after receiving treatment and the recorded results were compared to the control group. The results of the study showed significant results ($p<0.05$) at the levels of CLEC4E, MDA, Ceruloplasmin Oxidase Concentration and EOP in the group of animals with acute lymphocytic leukemia before receiving treatment compared to healthy individuals. The current study showed decreased concentrations of CLEC4E, Ceruloplasmin Oxidase Concentration, Ceruloplasmin Oxidase Concentration and Ceruloplasmin Oxidase Activity, while EOP levels increased after chemotherapy, while MDA remained at an unrecognized level at diagnosis.

The study showed significant differences ($p=0.000$) when elevating a number of blood parameters, WBC level and Ferritin concentration. When the stud recorded statistically significant rise in the level of platelets and Hb concentration before chemotherapy.

At diagnosis, the present study showed a significant difference ($p<0.05$) in Fe, Cu, Zn and Ni levels in the patients group, before treatment. However, statistical analysis of trace elements in the sera of patients after treatment didn't show significant differ than their levels at diagnosis.

The study the effect of acute lymphocytic leukemia in the function of kidney showed significant increase in the levels of ANP and Urea in sera of patient samples as well as levels of urinary microalbumin comparison to control group levels, contrast to that, Creatinin levels showed significant ($p=0.001$) decrease in serum of patients group. Comparative study showed that there were statistically significant differences ($p=0.000$) of ANP, Urea, Creatinin, Uric Acid, and Microalbumin in patients with acute lymphocytic leukemia after receiving chemotherapy compared to healthy peers.

In order to evaluate liver function, GOT and GPT levels as well as STP levels in patients with leukemia were observed within the range recorded in healthy individuals. On the other hand, the current study showed a rise in the levels of ALP enzyme in patients exceeded twice that recorded in the group of healthy children. After receiving chemotherapy, the study showed a significant increase ($p=0.000$) for GOT, GPT and ALP levels for the group of patients compared to healthy individuals, a significant decrease ($p=0.000$) of STP levels in the group of patients compared to healthy patients. The study identified many differences between patients and healthy males as well as between infected and healthy females at the level of implicit

Summary

comparisons between the two groups at diagnosis and after treatment, as shown in the table below which summarizes the relationship between patients of both genders with their healthy peers.

Parameters	Before Treatment		Parameters	After Treatment	
	Male	Female		Male	Female
CLEC4E	↑**	↑*	CLEC4E	N.S.	N.S.
MDA	↑*	↑*	MDA	↑*	↑*
Ceruloplasmin Oxidase Concentration	N.S.	↑*	Ceruloplasmin Oxidase Concentration	N.S.	N.S.
Ceruloplasmin Oxidase Activity	↑*	↑**	Ceruloplasmin Oxidase Activity	N.S.	N.S.
EOP	↑**	↑**	EOP	↑**	↑**
WBC	↑**	↑**	WBC	N.S.	N.S.
Platelets	↓**	↓**	Platelets	↓*	↓*
Hb Concentration	↓**	↓**	Hb Concentration	↓*	↓*
Iron Concentration	↓**	↓**	Iron Concentration	↓**	↓**
TIBC	↓**	↓**	TIBC	↓**	↓**
Ferritin Concentration	↑**	↑**	Ferritin Concentration	N.S.	↑*
Fe	↓**	↓**	Fe	↓**	↓**
Cu	↓**	↓**	Cu	↓**	↓**
Zn	N.S.	↓*	Zn	N.S.	↓*
Ni	↓**	↓**	Ni	↓**	↓**
ANP	↑**	↑**	ANP	↑**	↑**
Urea	↑**	↑**	Urea	↑**	↑**
Creatinin	↓*	N.S.	Creatinin	↑**	↑**
Uric Acid	↑**	↑**	Uric Acid	↑**	↑**
Microalbumin	↑**	↑**	Microalbumin	↑**	↑**
GOT	N.S.	N.S.	GOT	↑**	↑**
GPT	N.S.	N.S.	GPT	↑**	↑**
ALP	↑**	↑**	ALP	↑**	↑**
STP	N.S.	N.S.	STP	↓**	↓**

*: Meaning there are higher differences ($p \leq 0.05$), **: Meaning there are highest differences ($p \leq 0.00$)

The current study showed statistically significant statistically associations, the clearest among them was recorded when CLEC4E correlated to EOP, which were positive in 100% of the study samples at diagnosis and negative in the same samples after receiving chemotherapy.

The results of the study showed that 80% of children with acute lymphocytic leukemia were with type 1, L₁, 17% of type 2, L₂ and 3% of the third type L₃, the promise of the first type has a good outcome of the disease as the response is good for treatment and go through recovery after treatment.

Republic of Iraq
Ministry of Higher Education and Scientific Research
University of Karbala
College of Education for Pure Science
Department of Biology



A Physiological, Biochemical, and Histological Study to Non-Genetic Acute Lymphocytic Leukemia for Patients in Karbala City

A Thesis
Submitted to The College of Education for Pure Science,
University of Karbala
In Partial Fulfillment of The Requirements for The Degree
of Doctorate of Philosophy Ph.D. in Biology / Physiology

By

Humam Ali Hade

Supervised by

Assist. Prof. Dr. Rasha Hasan Jasim Prof. Dr. Sattar Jasim Hatrosh

Shawal 1439

July 2018